



# نشریه پژوهشی کاربردی دینی

## (علمی-پژوهشی)

سال هجدهم، شماره ۴، زمستان ۱۴۰۳

- |  |
|--|
| <p>۱ نانوماد در تولید هیدروژن سبز: دیدگاه‌های فنی پیرامون انتخاب نانوماد، ویژگی‌ها، روش‌های تولید و کاربردهای تجاری<br/>مجید میرزاei، طیبه محبی و مسعود همدانیان</p> <p>۱۷ ستز نانوچندسازه نیکل-مس به عنوان یک ماده آندی کارآمد در پیل سوختی الکلی به کمک تابش ریزموج برای اکسایش<br/>الکتروکاتالیستی متanol<br/>محمدعلی کامیابی و بابک جلیلیان</p> <p>۲۷ رابطه کمی ساختار - فعالیت تعدادی از مشتق‌های فلاونوئیدی به عنوان مهارکننده‌های استیبل کولین استراز برپایه الگوریتم مونت<br/>کارلو<br/>زهرانظری، شهریں احمدی و علی الماسی راد</p> <p>۴۹ ستز، شناسایی و کاربرد چارچوب فلز-آلی MIL-۱۰۰ (Fe) به عنوان جاذب حشره‌کش ایمیداکلوبپرید<br/>ترانه حاجی‌اشرفی، سارا کامل‌شیخ‌رجه، عطیه حسین‌جانی و معصومه محمدنژاد</p> <p>۶۲ حذف آلاینده‌های پساب صنعت خمیر و کاغذ با جاذب‌های زیستی و بررسی عامل‌های موثر<br/>سید مهدی خوش‌فطرت و علی توکید</p> <p>۷۲ حذف رنگ آزو (زرد مستقیم ۸۶) از پساب واحدهای رنگزی پارچه‌های کتانی با ۴ سولفوکالیکس [۴] آرن<br/>مجتبی قربانی، سعید تقواei گنجعلی، علی اکبر طرانی و مرسدہ ملک‌زاده</p> |
|--|



# نشریه پژوهش‌های کاربردی دینی

## (علمی-پژوهشی)

سال هجدهم، شماره ۴، زمستان ۱۴۰۳

صاحب امتیاز:  
دانشگاه آزاد اسلامی واحد تهران شمال

براساس نامه‌ی شماره‌ی ۳/۱۹۶۲۱۹ مورخ ۹۱/۱۰/۹ ارسالی از وزارت علوم، تحقیقات و فناوری، نشریه‌ی "پژوهش‌های کاربردی در شیمی" از بهار سال ۹۰، دارای درجه‌ی علمی-پژوهشی است.

مدیر مسؤول: دکتر حمیدرضا آقابزرگ

سردبیر: دکتر سعید تقوای

مدیر داخلی: دکتر فرشته مطیعی

### ویراستاران:

دکتر غلامرضا اسلامپور

دکتر حمیدرضا آقابزرگ

دکتر سعید تقوای

دکتر علیرضا محجوب

### مسؤول دبیرخانه:

دکتر معصومه عالم

طرح و صفحه‌آرا: محمد ساکی انتظامی

نشانی:

تهران، بزرگراه شهید بابایی (غرب به شرق)، خروجی حکیمی، خیابان شهید صدوqi، بلوار شهید عباسپور، دانشکده‌ی شیمی دانشگاه آزاد اسلامی واحد تهران شمال، دبیرخانه‌ی نشریه‌ی پژوهش‌های کاربردی در شیمی

تلفن - دورنگار: ۰۲۱-۷۷۰۰۹۸۴۸

پست الکترونیک: [jacr@iau-tnb.ac.ir](mailto:jacr@iau-tnb.ac.ir)

وب‌گاه: [www.jacr.ir](http://www.jacr.ir)

# JARC

نشریه پژوهش‌های کاربردی در شیمی  
(علمی - پژوهشی)

سال هجدهم، شماره ۴، زمستان ۱۴۰۳

خلاصه مقاله‌های این نشریه در پایگاه‌های زیر نمایه می‌شود:

---

SID.ir  
ISC.gov.ir  
Magiran.com  
Google scholar  
Linkedin

---

## (اعضای هیات تحریریه (به ترتیب حروف الفبا)

استاد شیمی معدنی، پژوهشگاه صنعت نفت ایران	دکتر حمیدرضا آقابزرگ
استاد شیمی آلی، دانشگاه آزاد اسلامی، واحد تهران شمال	دکتر سعید تقوای
استاد مهندسی شیمی، شرکت پژوهش و فناوری پتروشیمی	دکتر محمدرضا جعفری نصر
استاد شیمی کاربردی، دانشگاه آزاد اسلامی، واحد تهران شمال	دکتر مرتضی خسروی
دانشیار شیمی آلی، پژوهشگاه شیمی و مهندسی شیمی ایران	دکتر رضا زادمرد
استاد شیمی تجزیه، دانشگاه آزاد اسلامی، واحد تهران شمال	دکتر محمود رضا شهرابی
استاد مهندسی پلیمر، دانشگاه امیرکبیر	دکتر علی اصغر کنیاب
استاد شیمی معدنی، دانشگاه تربیت مدرس	دکتر علیرضا محجوب
استاد شیمی پلیمر، دانشگاه تهران	دکتر حسین مهدوی

## مشاوران علمی (به ترتیب حروف الفبا)

استاد مهندسی شیمی، دانشگاه صنعتی اصفهان	دکتر محمدرضا احسانی
استاد شیمی فیزیک، دانشگاه خوارزمی	دکتر غلامرضا اسلامپور
استاد شیمی آلی، دانشگاه گیسن آلمان	دکتر یونس ایپکچی
استادیار مهندسی شیمی، پژوهشگاه صنعت نفت ایران	دکتر اکبر ایراندوخت
دانشیار شیمی تجزیه، دانشگاه آزاد اسلامی، واحد تهران شمال	دکتر هادی پرستار شهری
دانشیار شیمی تجزیه، دانشگاه صنعتی شریف	دکتر حمیدرضا پوراعتدال
استاد شیمی تجزیه، دانشگاه صنعتی مالک اشتر اصفهان	دکتر سیدمهبدی پورمترضوی
دانشیار شیمی معدنی، دانشگاه صنعتی مالک اشتر	دکتر سجاد پیرسا
دانشیار شیمی ارومیه	دکتر حنانه جباری
استادیار شیمی معدنی، دانشگاه الزهرا	دکتر مهران دولو
دانشیار شیمی، دانشگاه آزاد اسلامی، واحد تهران شمال	دکتر فرهاد رحمانی
استادیار مهندسی شیمی، دانشگاه کردستان	دکتر مرتضی رضابور
استادیار شیمی تجزیه، پژوهشگاه صنعت نفت ایران	دکتر پیام زاهدی
دانشیار مهندسی شیمی، دانشگاه تهران	دکتر محسن شیدایی
دانشیار شیمی تجزیه، دانشگاه خوارزمی	دکتر ماندانا صابر تهرانی
استادیار شیمی کاربردی، دانشگاه آزاد اسلامی، واحد تهران شمال	دکتر صدیقه صادق حسنی
استادیار شیمی تجزیه، پژوهشگاه صنعت نفت ایران	دکتر سجاد صداقت
استاد شیمی کاربردی، دانشگاه آزاد اسلامی، واحد شهر قدس	دکتر علی اکبر طرانی
دانشیار شیمی معدنی، پژوهشگاه شیمی و مهندسی شیمی ایران	دکتر علی عباسیان
استادیار مهندسی پلیمر، دانشگاه آزاد اسلامی واحد علوم و تحقیقات	دکتر الهام عزتزاده
استادیار شیمی آلی، دانشگاه آزاد اسلامی، واحد اردبیل	دکتر هونمن فتوه چی
استادیار مهندسی شیمی، دانشگاه تهران	دکتر مهین فکور
استادیار شیمی کاربردی، دانشگاه آزاد اسلامی، واحد تهران شمال	دکتر محمد رضا گنجعلی
استاد شیمی تجزیه، دانشگاه تهران	دکتر محمد مجید مجتبه‌ی
استاد شیمی آلی، پژوهشگاه شیمی و مهندسی شیمی ایران	دکتر ابوالقاسم مقیمی
استاد شیمی آلی، دانشگاه امام حسین (ع)	دکتر مریم میرزا آقایان
استاد شیمی آلی، پژوهشگاه شیمی و مهندسی شیمی ایران	دکتر مجتبی هادی بیداخویدی
دانشیار شیمی تجزیه، دانشگاه قم	دکتر هنگامه هنرکار

**نانومواد در تولید هیدروژن سبز: دیدگاه‌های فنی پیرامون انتخاب نانومواد، ویژگی‌ها، روش‌های تولید و کاربردهای تجاری**

۱

مجید میرزایی، طیبه محبی و مسعود همدانیان

**ستنتر نانوچندسازه نیکل-مس به عنوان یک ماده آندی کارآمد در پیل سوختی الکلی به کمک تابش ریزموچ برای اکسایش الکتروکاتالیستی متانول**

۱۷

محمدعلی کامیابی و بابک جلیلیان

**رابطه کمی ساختار - فعالیت تعدادی از مشتق‌های فلاونوئیدی به عنوان مهارکننده‌های استیل کولین استراز برپایه الگوریتم مونت کارلو**

۲۷

زهرنا نظری، شهین احمدی و علی الماسی راد

**ستنتر، شناسایی و کاربرد چارچوب فلز-آلی (Fe) MIL-100 به عنوان جاذب حشره‌کش ایمیداکلوپرید**

۴۹

ترانه حاجی‌اشرفی، سارا کامل‌شیخ‌جرج، عطیه حسین‌جانی و مقصومه محمدنژاد

**حذف آلاینده‌های پساب صنعت خمیر و کاغذ با جاذب‌های زیستی و بررسی عامل‌های موثر**

۶۲

سید مهدی خوش‌فطرت و علی توکیه

**حذف رنگ آزو (زرد مستقیم ۸۶) از پساب واحدهای رنگزنانی پارچه‌های کتانی با ۴ سولفوکالیکس [۴] آرن**

۷۲

مجتبی قربانی، سعید تقواوی گنجعلی، علی اکبر طرانی و مرسدہ ملک‌زاده

## نانومواد در تولید هیدروژن سبز: دیدگاه‌های فنی پیرامون انتخاب نانومواد، ویژگی‌ها، روش‌های تولید و کاربردهای تجاری

مجید میرزاچی<sup>۱\*</sup>، طیبه محبی<sup>۲</sup> و مسعود همدانیان<sup>۳</sup>

۱. استادیار گروه پژوهشی مواد غیرفلزی، پژوهشگاه نیرو، تهران، ایران.

۲. دانشجوی دکتری گروه نانوژیمی، دانشگاه کاشان، کاشان، ایران.

۳. دانشیار گروه نانوژیمی، دانشگاه کاشان، کاشان، ایران.

دریافت: تیر ۱۴۰۳ بازنگری: مرداد ۱۴۰۳ پذیرش: اسفند ۱۴۰۳



DOI: 10.30495/JACR1.1403.1125887

### چکیده

هیدروژن بهدلیل فراوانی و ویژگی‌های برجسته‌اش، گزینه‌ای دلخواه برای بسیاری از کاربردهای انرژی بشمار می‌رود. ذخیره‌سازی و تولید آن به عنوان اولویت‌های توسعه‌ای مطرح شده‌اند. همچنین، نقش نانومواد در تولید، ذخیره‌سازی و استفاده تجاری هیدروژن بسیار مهم است. این مقاله به بررسی ویژگی‌های انرژی هیدروژن، هیدروژن سبز، نانومواد مورداستفاده برای تولید، روش‌های تولید آن‌ها و کاربردهای تجاری پرداخته است. در ابتدا، یک مرور کلی بر انرژی هیدروژن و ویژگی‌های اصلی آن ارائه و سپس، اهمیت هیدروژن سبز به دقت بررسی شده است. افزون بر استفاده از نانومواد در تولید هیدروژن سبز، به روش‌های تولید نانومواد نیز توجه شده است. ارزیابی‌های فنی و اقتصادی و امکانات استفاده از هیدروژن در کاربردهای انرژی نیز مطالعه شده است. استفاده از نانوذرهای سازگار با محیط‌زیست برای تولید هیدروژن به جای نانوذرهای شیمیایی می‌تواند به کاهش هزینه‌های عملیاتی کمک کند. استفاده دوباره از نانوذرهای با استفاده از روش‌های محبوس‌سازی نیز یک راه ممکن برای صرفه‌جویی در هزینه‌ها است. در پایان، برپایه نتیجه‌های پژوهش، جهت‌گیری‌های آینده تشریح شده‌اند.

**واژه‌های کلیدی:** انرژی، هیدروژن سبز، نانومواد، تولید، ذخیره‌سازی، فتوستتر.

### مقدمه

سوخت‌های فسیلی، مانند زغال‌سنگ، نفت و گاز، بیش از ۷۵

درصد از کل گازهای گلخانه‌ای آزادشده و به‌طور تقریبی ۹۰

درصد از کل انتشار کربن دی‌اکسید را تشکیل می‌دهند.

هیدروژن به‌طور گسترده‌ای به عنوان یک جایگزین بدون

آلودگی و قابل دوام برای سوخت‌های معمولی شناخته شده است.

شکل‌های متفاوت در گیاهان، حیوانات، انسان، سوخت‌های فسیلی و سایر ترکیب‌ها تولید می‌شود. زغال سنگ، آب، زیست‌توده، گاز طبیعی و انواع مواد دیگر همگی ممکن است برای تولید هیدروژن با فرایندهای گرمایی، الکتروولتی یا فوتولیتیکی با ترکیب‌های مانند هیدروژن سولفید و بوروهیدرید استفاده شوند. با کاهش ذخایر سوخت‌های فسیلی، نگرانی‌های زیست‌محیطی در حال افزایش است و به‌احتمال هیدروژن یکی از گزینه‌های سبز‌آینده خواهد بود. این یک حامل انرژی شیمیایی است که به‌طور فزاینده‌ای اهمیت پیدا می‌کند و ممکن است روزی از سایر حامل‌های انرژی شیمیایی پیشی گیرد [۶]. نانومواد با اندازه کوچک خود به‌دلیل واکنش‌پذیری بالاتر و ماهیت قابل توجیه برخی از ویژگی‌ها، سطح بزرگتری نسبت به مواد حجیم مربوط فراهم می‌کنند [۷ و ۸]. در سال‌های اخیر، نانومواد با ویژگی فیزیکی و شیمیایی و اندازه نانو خود در مقایسه با سایر مواد حجیم‌تر، دانشمندان و پژوهشگران را مجدوب خود کرده‌اند. از آنجایی که نانومواد ویژگی‌های الکترونیکی، مکانیکی، مغناطیسی، نوری و سطحی فوق العاده‌ای دارند، توجه زیادی را به خود جلب کرده‌اند. با توجه به ذخیره انرژی، نسبت سطح به حجم بالای این مواد، پیامدهای مهمی دارد. ویژگی‌های اصلی این مواد جدید برای دستگاه‌های ذخیره‌سازی هیدروژن، مساحت سطح بزرگ و قابلیت تجمعی نانومواد است. این نانوذره‌ها برپایه شکل، منبع، اندازه و ترکیب شیمیایی گروه‌بندی می‌شوند. انواع نانومواد از منابع متفاوت سنتز و براین‌پایه نام‌گذاری شده‌اند. بسته به کاربردها و نیازهای صنعتی، نانومواد در مقدارهای زیاد تولید می‌شوند. منبع طبیعی و منبع مصنوعی دو منبع اصلی هستند که از راه آن‌ها نانومواد تولید می‌شوند [۹ و ۱۰]. بررسی حاضر به نقش نانومواد در تولید و ذخیره هیدروژن می‌پردازد. هدف اصلی این کار، شناسایی نانومواد بر جسته به کاررفته در تولید هیدروژن، مراحل درگیر و روش‌ها همراه با کاربردهای آن‌ها است. تحلیل‌های فنی-اقتصادی و جهت‌گیری‌های آتی نیز در

ازین‌رو، تا حد زیادی بزرگترین عامل تغییرهای آب‌وهواهی در جهان هستند. کلید حل این فاجعه آب و هواهی جایگزینی زغال سنگ و نفت که در حال حاضر بیشتر آلاینده‌ها را تولید می‌کنند، با منابع انرژی‌های تجدیدپذیر است. نگرانی اصلی در مورد منابع تجدیدپذیر، نوسان‌های قیمت افزون بر نیاز به پایداری است. هیدروژن به‌عنوان یک گزینه مناسب در نظرگرفته می‌شود، زیرا سوخت پاک است. توانایی موتورهای احتراق دوگانه سوخت با سطح متفاوت زیست‌گاز برای کاهش انتشار گازهای گلخانه‌ای و همچنین، تأثیر آن بر احتراق و عملکرد موتور توسط چندین پژوهشگر آزمایش شد [۱ و ۲]. برای موتورهای گزینه‌های مناسب زیادی برای جایگزینی وابستگی به سوخت‌های فسیلی وجود دارد. زیست‌دیزل چربی‌های حیوانی (AFBD) نیز به‌عنوان یک گزینه بالقوه بازیابی سوخت از زیست‌توده زباله در نظرگرفته می‌شود [۳]. جدای از سوخت، انرژی هیدروژن برای بسیاری از کاربردها، به‌ویژه در رشد انرژی کارآمد، اقتصادی و پایدار، به‌ویژه برق کافنده تقسیم‌کننده آب و سلول‌های سوختی استفاده می‌شود. در حین احتراق، هیدروژن تنها بخار آب از خود ساطع می‌کند و هیچ باقی‌ماندای در اتمسفر باقی نمی‌گذارد، بنابراین، به‌عنوان انرژی پاک نامیده می‌شود. بازده تبدیل انرژی با برق کافنده تقسیم آب و سلول‌های سوختی بهبود می‌یابد. به کارگیری الکتروکاتالیست‌های پایدار و فراوان برای تسريع در کاهش سرعت واکنش هیدروژن و اکسیژن ضروری است. نانومواد غنی از کربن به‌عنوان الکتروکاتالیست‌های مناسب برای واکنش هیدروژن و اکسیژن معرفی شده‌اند. تقاضا برای یک منبع انرژی غیرآلاینده تبدیل به یکی از مهم‌ترین نگرانی‌ها در آینده می‌شود. هیدروژن به‌دلیل هزینه پایین و اثرات زیست‌محیطی کم، بهترین گزینه در نظرگرفته می‌شود. افزون‌براین، انرژی خورشیدی و منابع آبی فراوان از مزایای بزرگ برای تولید انرژی هیدروژن هستند [۴ و ۵]. هیدروژن یک جزء مهم است و به

عملکرد آن بیشتر شبیه «حامل انرژی» ثانویه برای الکتریسیته است، که ابتدا باید با استفاده از منبع دیگری ایجاد شود و سپس به مکانی منتقل شود که انرژی شیمیایی نهان آن به- طور کامل استفاده شود. ویژگی هیدروژن آن را به یکی از بادوام‌ترین گزینه‌ها برای بسیاری از کاربردهای انرژی تبدیل می‌کند. ویژگی اولیه هیدروژن در جدول ۱ ارائه شده است.

پایان این گزارش برپایه حقایق بررسی شده از راه گزارش‌ها گنجانده شده است.

**انرژی هیدروژن و ویژگی آن**  
هیدروژن ساده‌ترین و فراوان‌ترین عنصر در جهان است. هیدروژن نقش کلیدی در این حامل‌های انرژی در سامانه انرژی جهان دارد. هیدروژن نیز یک سوخت جایگزین مطلوب است. برخلاف زغال‌سنگ و بنزین، هیدروژن منبع اصلی انرژی نیست.

جدول ۱ ویژگی‌های اولیه هیدروژن [۱۱ تا ۱۳]

عامل	مقدار در واحد SI
وزن مولکولی	۱/۰۰۷۸۴ گرم به ازای هر مول
فشار بخار	۱۰۱,۲۸۳ در دمای ۲۵۲,۸ - درجه سلسیوس
چگالی گاز	۰,۱۳۳۱ کیلوگرم بر مترمکعب در نقطه جوش و فشار ۱ اتمسفر
وزن مخصوص گاز	۰,۰۶۹۶ در دمای صفر درجه سلسیوس و فشار ۱ اتمسفر
حجم مخصوص گاز	۱۱,۱۹۹ مترمکعب بر کیلوگرم در دمای ۲۱/۱ درجه سلسیوس و فشار ۱ اتمسفر
حجم مخصوص مایع	۰,۰۷۱۰ در نقطه جوش و فشار ۱ اتمسفر
چگالی مایع	۶۷,۷۶ کیلوگرم بر مترمکعب در نقطه جوش و فشار ۱ اتمسفر
چگالی گاز	۰,۰۸۲۶ کیلوگرم بر مترمکعب
نقطه جوش	۲۵۳ درجه سلسیوس در فشار اتمسفری
نقطه انجماد/ذوب	-۲۵۹ درجه سلسیوس در فشار اتمسفری
دما برانی	۲۴ درجه سلسیوس
فشار برانی	۱۲۹۶ کیلونیوتون بر مترمربع به صورت مطلق
گرمای نهان تبخر	۴۴ کیلوژول بر کیلوگرم در نقطه جوش
محلول‌پذیری در آب	۰/۰۰۲۴ حجم / حجم در دمای ۱۵/۶ درجه سلسیوس
ظرفیت گرمایی ویژه در فشار ثابت C <sub>P</sub>	۱۴/۳ کیلوژول بر کیلوگرم درجه سلسیوس
ظرفیت گرمایی ویژه در حجم ثابت C <sub>V</sub>	۱۰/۱ کیلوژول بر کیلوگرم درجه سلسیوس
دما خود اشتغالی	۵۸۵ درجه سلسیوس
ارزش گرمایی پایین برپایه وزن	۱۱۹,۷۹ کیلوژول بر کیلوگرم
ارزش گرمایی بالا برپایه وزن	۱۴۲,۰۰ کیلوژول بر کیلوگرم
ارزش گرمایی پایین برپایه حجم	۱۱,۰۰۰ کیلوژول بر مترمکعب در شرایط اتمسفری
ارزش گرمایی بالا برپایه حجم	۱۳,۰۰۰ کیلوژول بر مترمکعب در شرایط اتمسفری
نسبت هوا به سوخت استوکیومتری	۳۴,۲ کیلوگرم بر کیلوگرم در دمای ۲۷ درجه سلسیوس و ۱ اتمسفر
حدود اشتعال‌پذیری درصد حجمی در هوا	۴ تا ۷۵ درصد
حدود انفجاری	۱۸,۲ تا ۵۸,۹ درصد حجمی در هوا
بیشینه دما شعله	۱۵۲۷ درجه سلسیوس
بیشینه نرخ احتراق در هوا	۲/۷ تا ۳/۵ متر بر ثانیه

### ویژگی‌های هیدروژن

در مقایسه با بیشتر سوخت‌ها، مانند بنزین، که ارزش گرمایی آن  $40\text{ MJ/kg}$  تا  $45\text{ MJ/kg}$  در  $K_{298}$  است، هیدروژن دارای ارزش گرمایی هیدروژن  $120\text{ MJ/kg}$  تا  $140\text{ MJ/kg}$  است. با این حال، چگالی انرژی حجمی هیدروژن مایع ( $\text{L}/\text{MJ}$ ) به طور تقریبی  $4\text{ MJ/L}$  برابر کمتر از سوخت‌های هیدروکربنی مانند بنزین ( $\text{L}/\text{MJ}$ ) است. اگرچه گاز هیدروژن چگالی انرژی ثقلی بالاتری نسبت به سوخت‌های هیدروکربنی دارد، ولی بدليل چگالی انرژی حجمی کمتر، به مخزن بزرگتری نیاز دارد. هیدروژن به عنوان یک گاز قابل اشتعال با دمای اشتعال بهنسبت پایین، هنگام استفاده خطراتی را ایجاد می‌کند. همچنین، به دلیل اندازه مولکولی کوچک آن‌ها، ممکن است به راحتی از مواد عبور کنند و موجب تردی هیدروژنی، تخریب و نشت در برخی مواد شوند [۱۳].

هر وسیله‌ای که به انرژی نیاز دارد، مانند ماشین‌های الکتریکی و وسائل الکترونیکی، ممکن است با استفاده از هیدروژن در سلول‌های سوختی، انرژی بگیرد. تا زمانی که انرژی سلول‌های سوختی با هیدروژن تأمین می‌شود، برخلاف باقی ها، هرگز نیاز به باردارکردن دوباره یا تمامشدن انرژی ندارند. یک پیل سوختی مشابه باقی، کار می‌کند. آند و کاتد به ترتیب با هیدروژن و اکسیژن تأمین می‌شوند. فقط پروتون‌های بار مثبت می‌توانند از راه غشای الکتروولیت به کاتد بروند. پروتون‌ها با بار مثبت می‌توانند از راه کاتد وارد الکتروولیت شوند، پروتون‌ها با الکترون‌ها در کاتد بهم می‌رسند، با اکسیژن ترکیب می‌شوند و آب را تشکیل می‌دهند. الکترون‌ها می‌توانند از یک مدار خارجی عبور کنند تا الکتریسیته ایجاد شود [۱۴].

### هیدروژن سبز

هیدروژنی که با استفاده از منابع انرژی تجدیدپذیر یا کم‌کربن ایجاد شود به عنوان هیدروژن سبز ( $\text{GH}_2$ ) شناخته می‌شود. در مقایسه با هیدروژن ساخته شده از اصلاح بخار گاز طبیعی، هیدروژن سبز کربن بسیار کمتری منتشر می‌کند.

هیدروژن سبز شامل تولید انرژی از روش برق‌کافت و فرایند احتراق است که هیچ زباله خطوطناکی برای محیط‌زیست تولید نمی‌کند. هیدروژن سبز تولیدشده با برق‌کافت آب کمتر از  $0.1\text{ MJ/kg}$  درصد از کل تولید هیدروژن را تشکیل می‌دهد که می‌توان از آن برای کربن‌زدایی صنایعی مانند تولید فولاد و سیمان که به سختی برق‌رسانی می‌شوند، استفاده کرد و در نتیجه تغییرهای آب و هوایی را محدود کرد.

دلیل اصلی استفاده کم از هیدروژن سبز هزینه تولید بالای آن است. با وجود این، پیش‌بینی می‌شود که تقاضا برای هیدروژن افزایش یابد و هزینه‌های تولید هیدروژن کاهش یابد. هیدروژن سبز ممکن است برای ساخت آمونیاک سبز، یک جزء حیاتی در تولید کود، استفاده شود و همچنین، می‌تواند در خطوط لوله فلی گاز طبیعی مخلوط شود. صنعت هیدروژن برای رقابت با آمونیاک تولیدشده به‌طور سنتی (آمونیاک خاکستری) به آمونیاک سبز نیاز دارد [۱۵].

روشی که امروزه برای تولید بیشتر هیدروژن به کار می‌رود، اصلاح بخار متان نام دارد. در این روش، متان داغ و بخار آب در حضور یک کاتالیست با هم واکنش می‌دهند و هیدروژن، کربن مونوکسید و مقدار کمی کربن دی اکسید تولید می‌کنند. در مرحله بعدی، کربن مونوکسید با بخار و کاتالیست واکنش داده و هیدروژن و کربن دی اکسید بیشتری تولید می‌شود. پس از حذف ناخالصی‌ها و کربن دی اکسید، هیدروژن خالص به‌دست می‌آید. هیدروژن می‌تواند از راه فرایند اصلاح بخار از سایر سوخت‌های فسیلی مانند زغال سنگ، پروپان و بنزین نیز تولید شود. در فرایند برق‌کافت آب نیز هیدروژن تولید می‌شود و تنها فراورده جانبی آن اکسیژن است. در این روش، آب در داخل یک سلول الکتروولیتی به هیدروژن و اکسیژن تجزیه می‌شود. یکی از دلایل افزایش علاقه به هیدروژن سبز، کاهش سریع هزینه‌های انرژی‌های تجدیدپذیر است [۱۶].

هیدروژن سبز نقش مهمی در دستیابی به اهداف زیست‌محیطی ایفا می‌کند، چراکه حذف انتشار گازهای

تولید می‌شود که آب به هیدروژن و اکسیژن تجزیه شود، فناوری تولید برق هیدروژن سبز هنوز با کارایی و هزینه مطلوب در دسترس نیست. انرژی از منابع تجدیدپذیر مانند زیست‌توده، باد و خورشید نیز در دسترس است و کربن آزاد نمی‌کند. چون هیدروژن سبز در فرایند تولید یا اختراق هیچ گاز مضری را آزاد نمی‌کند و به آسانی قابل ذخیره‌سازی است، می‌تواند در زمان‌های دیگر و برای مقاصد متفاوتی استفاده شود [۱۹ و ۲۰].

#### نانومواد برای انرژی هیدروژن

نانومواد به طور چشمگیری در رشد رشته‌های علمی جدید و فناوری‌های نانو تاثیرگذار هستند. اگر قرار است هیدروژن به سوخت اصلی اقتصاد آینده مبتنی بر منابع انرژی تجدیدپذیر تبدیل شود، باید روش‌های تولید و ذخیره هیدروژن سازگار با محیط‌زیست ایجاد شود. به طور معمول، موادی با کمینه یک بعد خارجی ۱۰۰ نانومتر یا کمتر به عنوان نانومواد نامیده می‌شوند. برای درک کامل قابلیت انرژی تجدیدپذیر، لازم است در فناوری‌های تبدیل، ذخیره‌سازی و استفاده مؤثر از منابع انرژی تجدیدپذیر پیشرفت‌هایی صورت پذیرد. همچنین، بررسی کامل قابلیت‌های نانومواد در ستز و ذخیره هیدروژن ضروری است.

در این بخش، مروری کوتاه بر انواع نانومواد، و روش‌های تولید آن‌ها و سپس، بحث گسترهای در مورد نانومواد متفاوتی که برای تولید و ذخیره هیدروژن سبز در کاربردهای متفاوت استفاده می‌شوند، ارائه شده است. نانومواد را می‌توان به عنوان نانومواد بر پایه معدنی، کربن، آلی و چندسازه گروه‌بندی کرد. نانومواد معدنی می‌تواند حاوی عناصر فلزی یا غیرفلزی یا به شکل اکسید، هیدروکسید، کالکوژنید یا ترکیب‌های فسفات باشند. این مواد کاربردهای زیادی در الکترونیک، فوتونیک، حسگرهای شیمیایی و زیستی و دستگاههای زیست‌پژوهشی دارند و برای جامعه ضروری هستند [۲۱ و ۲۲].

روش‌های تولید نانومواد

گلخانه‌ای در برخی از بخش‌های اقتصادی چالش‌برانگیز است. استفاده از برق مستقیم، انرژی‌های تجدیدپذیر و بهبود کارایی انرژی می‌تواند به کاهش چشمگیر انتشارات در تولید برق و برخی از انواع حمل و نقل کمک کند، مانند سفرهای دوربرد، کشتیرانی، هوایپمایی و تولید بتن و فولاد که کربن‌زدایی آن‌ها به دلیل نیاز به سوخت‌های پرانرژی یا گرمای بالا، چالش‌برانگیز است. هیدروژن سبز می‌تواند این نیاز در بخش حمل و نقل را برآورده سازد. هیدروژن به‌فور یافت می‌شود و به راحتی قابل دسترس است. می‌توان آن را به مکان‌های دیگر منتقل کرد یا در همان محل تولید استفاده کرد. هیدروژن می‌تواند در مقادیر بزرگ برای مدت‌های طولانی ذخیره شود، در حالی که با تری‌ها قادر به ذخیره‌سازی حجم زیادی از انرژی برای مدت زمان طولانی نیستند [۱۷].

با استفاده از هیدروژن، انرژی کمتری برای انجام کارها لازم است، زیرا هیدروژن به طور تقریبی سه برابر انرژی بیشتری نسبت به سوخت‌های فسیلی دارد. هیدروژن سبز همچنین، این مزیت بی‌همتا را دارد که می‌تواند در هر جایی که آب و برق موجود باشد برای تولید برق و گرمای بیشتر تولید شود. کاربردهای متنوعی برای هیدروژن وجود دارد و افزون بر استفاده در صنایع، می‌توان هیدروژن سبز را در شبکه‌های لوله‌کشی گاز موجود ذخیره کرد و برای راهاندازی وسایل خانگی به کار برد. برق کافت یکی از روش‌های سازگار با محیط‌زیست برای تولید هیدروژن است که می‌تواند به عنوان نمونه‌ای عملی با قطعه‌های رایج پیاده‌سازی شود.

تولید هیدروژن به‌روش برق کافت امکان ذخیره‌سازی انرژی‌های تجدیدپذیر نامنظم را فراهم می‌آورد. در همه روش‌های تولید هیدروژن سبز، از سامانه‌های تولید برق فتوولتائیک (PV) استفاده می‌شود که از نظر کارایی، هزینه و اقتصادی بودن برای کاربردهای تولید هیدروژن در مقیاس‌های بزرگ و کوچک ارزیابی شده‌اند [۱۸]. چون هیدروژن سبز زمانی

می‌دهند [۲۸]. سنتز نانوذره‌ها با روش تخلیه قوس را می‌توان در حالت تپی یا پیوسته انجام داد [۳۹]. روش سل-ژل یکی از بهترین روش‌ها برای ایجاد نانومواد اکسید فلزی با فعالیت چشمگیر فوتوكاتالیستی است [۳۰]. روش سل-ژل یک روش اقتصادی است و ترکیب شیمیایی فراورده به دلیل گستره دمای پایین به راحتی قابل واپاپش است [۲۹]. موارد زیر برخی از قابل توجه‌ترین نانوموادی هستند که برایه نتیجه‌های گزارش شده، سنتز و در تولید هیدروژن استفاده شده‌اند.

#### نانوذره‌های نقره

نانوذره‌های نقره می‌توانند به طور کارآمد از راه هر یک از روش‌های تولیدی که بررسی شده‌اند، تولید شوند. نانوذره‌های نقره (Ag NPs) به دلیل ویژگی‌های بی‌همتا، کاربردهای متنوعی در ثابت‌سازی پروتئین‌ها، صنایع الکترونیک، مواد غذایی و تولیدهای دارویی مبتنی بر زیست‌مواد دارند. پژوهش‌هایی با Ag NPs برای سنتز زیست‌هیدروژن از ماده اولیه گلوکز از روش تخمیر تاریک با استفاده از کشت‌های مختلف در شرایط واپاپش شده، انجام شده است [۳۱]. در این مرحله، بهبود در فرایند تولید هیدروژن با نانوذره‌های نقره (Ag NPs) در اندازه ۱۰ تا ۲۰ نانومتر به دست آمد، به شکلی که این روند از این گستره تا رسیدن به پایداری در اندازه ۲۰۰ نانومتر به طور چشمگیری مورد اطمینان است. در کل، بیشترین تولید ۲/۴۸ mol H<sub>2</sub>/mol glucose درصدی در بازده تولید نسبت به شریط کنترل (۶۷/۶٪) است. تولید میان فراورده‌های دگرگشته<sup>۳</sup> فعال برای Ag NPs، مانند اتانول، مشتق‌های استات، بوتیرات، والرات و پروپیونات به طور چشمگیری تنظیم شده‌اند. در این مورد، افزایش تولید هیدروژن با افزایش استیک اسید و کاهش چشمگیر در مشتق‌های بوتیریک اسید، اتانول، پروپیونیک اسید و والریک

روش‌های تولید نانومواد بسته به کاربرد ویژه‌ای که برای آن تولید می‌شوند، متفاوت است [۲۳ و ۲۴]. در روش فاز بخار، بخار ناهمگون یا همگن هنگامی که مولکول‌های بخار متراکم می‌شوند، هسته‌هایی را بدون وجود ذره‌ها یا یون‌های ماده خارجی تولید می‌کنند، این فرایند به عنوان هستمزایی همگن شناخته می‌شود [۲۵ و ۲۶]. دانه‌های نانوبلوری زمانی تشکیل می‌شوند که اجزای بخار متراکم و دانه‌ها در نتیجه برخورد و ادغام، حجمی شوند. ذره‌های اولیه هنگام کاهش دما جمع می‌شوند تا توده‌ها را تشکیل دهند. سنتز شعله یک فرایند کم‌هزینه و محبوب برای تولید نانوذره‌ها برای کاربرد در صنعت است. تیتانیا، میکروسیلیکا و کربن سیاه معمولی‌ترین انواع نانوذره‌ها هستند که با سنتز شعله با نرخ تولید سالانه بیش از چندین میلیون تن، ساخته می‌شوند. پیش‌ساز پنتاکربونیل آهن در دماهای بالا قرار می‌گیرد تا تکپارهای آهن اکسید را با یک واکنش شیمیایی بخار تشکیل دهد [۲۷]. در روش لیزر فرسایشی، معمولی‌ترین منبع لیزر برای فرسایش، گارنت آلومینیم ایتریم است که با نیودیمیم دویه شده است. یک پرتو لیزر بر سطح ماده موردنظر در مدت فرسایش لیزر با یک زاویه تابش مشخص (۴۵٪ یا ۹۰ درجه) پرتاب می‌شود. انرژی پرتو لیزر بسته به شدت لیزر، طول موج و مدت زمان تپ<sup>۱</sup> از راههای متفاوت به ماده موردنظر می‌رسد. الکترون‌های آزاد یا محدود درون ماده هدف، انرژی را در طول فرسایش نورگرمایی<sup>۲</sup> جذب می‌کنند. از راه برهمه کش‌های برخوردی با سایر الکترون‌های برانگیخته و فوتون‌های شبکه، دمای ماده افزایش می‌یابد و همچنین، الکترون‌های برانگیخته انرژی را منتقل و ماده موردنظر را ذوب می‌کنند. همان‌طور که مواد مذاب به جذب انرژی پرتو لیزر ادامه می‌دهند، یک ابر پلاسمای بر سطح ایجاد می‌شود. در روش تخلیه قوس، دو الکترون که به عنوان کاتد یا آند عمل می‌کنند، ساختار بسیار ساده تخلیه قوس را تشکیل

1. Pulse 2. Photothermal\*

3. Metabolic

\* پدیده نورگرمایی به اثر تبدیل انرژی نورانی به انرژی گرمایی اشاره دارد و زمانی رخ می‌دهد که مواد خاصی نور را جذب و آن را به گرمایی تبدیل می‌کنند. این فرایند در کاربردهای متفاوتی مانند تولید برق، گرمایش و پزشکی به کار گرفته می‌شود.

نشریه پژوهش‌های کاربردی در شیمی (JARC)

۱/۰۱ افزایش یافت. به طور کلی، تولید هیدروژن شامل دو مرحله  $\frac{\text{mol}}{\text{kg TS}}$  ۱/۸۸ برای یک رویکرد یکپارچه توصیه می‌شود، استفاده از هر دو روش تخمیر تاریک و روشن برای دستیابی به بازیابی هیدروژن بالا از لجن زباله منطقی است. استفاده از نانوذره‌های تیتانیم دی‌اکسید ( $\text{TiO}_2$  NPs) به اندازه ۲۵ نانومتر بر بازده تولید هیدروژن که در گیر پروتئین‌های مانند نیتروژناز<sup>۱</sup> و جذب هیدروژن در فرایند تخمیر تاریک است، تأثیر دارد. در مقایسه با تیتانیم دی‌اکسید به غلظت  $100 \text{ mg/lit}$ ، تولید هیدروژن و فعالیت نیتروژناز به طور چشمگیری نسبت به نمونه‌های کنترل بهتر بود. در مقابل، فعالیت جذب هیدروژناز هنگام استفاده از  $\text{TiO}_2$  به شکل محسوسی کاهش و مقدار زیست‌توده افزایش یافت. افزایش تولید هیدروژن با نانوذره‌های  $\text{TiO}_2$  به مقدار تقریبی  $46/1$  درصد مشاهده شد و به  $\frac{\text{mol}}{\text{kg TS}}$  ۱/۰۱ رسید.

#### نانوذره‌های آهن

چندین کشت باکتریایی در فرایندهای تولید زیست‌هیدروژن تخمیری تیره با زباله‌های زیستی و کربوهیدرات‌ها، قندها و مواد غذایی با استفاده از نانوذره‌های آهن ارزیابی می‌شوند. اثرها بر تولید تخمیری با استفاده از نانوذره‌های آهن با تخمیر بی‌هوایی گلوکز نشان داده شد که گستره ثابتی  $50\text{--}500 \text{ میلی‌گرم در لیتر را در مقایسه با ذره‌های یون } \text{Fe}^{2+}$  ایجاد کرد. برخلاف شاهد  $\frac{\text{L}}{\text{kg VS}}$  ۳۴۷، هر دو ذره‌های  $\text{Fe}^{2+}$  و نانوذره‌های آهن افزایش بازده هیدروژن را در حدود ۱۵ و ۳۷ درصد در غلظت‌های  $10 \text{ mg/lit}$  و  $25 \text{ mg/lit}$  نشان دادند. در این مرحله، بازده هیدروژن بالا با تغییر یک دگرگشته میانی بسیار مهم به مشق‌های استات بالاتر در بخش بوتیرات و کاهش تثبیت اتانول و پروپیونات، همراه بود. جالب توجه است که نانوذره‌های آهن ۷۵ درصد کاهش تشکیل پروپیونات و ۳۵ درصد کاهش تشکیل پروپیونات در نزدیکی ذره‌های یون  $\text{Fe}^{2+}$  نشان دادند [۳۵]. یک روش مکانیکی نشان می‌دهد که نانوذره‌های آهن می‌توانند به طور موثر انتقال الکترون را در قالب یون‌های  $\text{Fe}^{2+}$  بین

اسید در حضور Ag NPs نسبت به نمونه‌های کنترل همراه بوده است. نکته جالب این است که نانوذرات نقره به شکل قابل توجهی موجب کاهش نرخ تولید زیست‌توده تحریک شده می‌شوند و همچنین فاز تأخیری در تولید هیدروژن را محدود می‌کنند [۳۲].

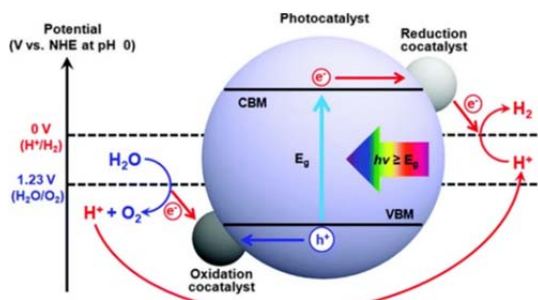
#### نانوذره‌های طلا

نانوذره‌های طلا (Au NPs) نیز برای افزایش ویژگی هم‌افزایی در واکنش‌های شیمیایی مانند تولید هیدروژن، اکسایش و فرایندهای طبیعی شناخته شده‌اند که این موضوع به‌نوبه‌خود منجر به فعال‌سازی و ثابت‌سازی آنزیم‌ها می‌شود. در مطالعاتی که بر نانوذره‌های طلا به اندازه ۵ نانومتر با پساب‌های صنعتی حاوی ساکارز انجام شده، کشت‌های بی‌هوایی به-طور تقریبی  $62/3$  درصد  $\frac{\text{mol H}_2}{\text{mol hexose}}$  (۲۲۸) نسبت به نمونه کنترل  $(1/38 \frac{\text{mol H}_2}{\text{mol hexose}})$  بازده بیشتری داشته‌اند (جدول ۱). به-طور غیرمنتظره‌ای، غلظت نانوذره‌های طلا تأثیر مستقیمی بر افزایش تولید هیدروژن داشته است. در طول فرایند تولید هیدروژن، نانوذره‌های طلا ترکیب‌های دگرگشته را دچار تغییر کرده‌اند. پیشرفت‌های چشمگیر در تولید هیدروژن با سطوح بالا و پایین تولید مشتق‌های استیک اسید در مقایسه با بوتیریک اسید و اتانول مرتبط است [۳۳].

#### نانوذره‌های تیتانیم دی‌اکسید

استفاده از نانوذره‌های  $\text{TiO}_2$  ۲۵ نانومتر در بازده تولید هیدروژن شامل پروتئین‌ها (نیتروژناز و جذب هیدروژن) از فرایند تخمیر تاریک است. در پژوهشی [۳۶]، در مقایسه با  $\text{TiO}_2$  با غلظت  $100 \text{ mg/lit}$ ، تولید هیدروژن و فعالیت نیتروژناز به-طور چشمگیری نسبت به گروه شاهد بهبود یافت. در مقابل، فعالیت هیدروژناز در حضور  $\text{TiO}_2$  به طور چشمگیری کاهش پیدا کرد. افزون براین، زیست‌توده نیز افزایش یافت. تولید هیدروژن با نانوذره‌های  $\text{TiO}_2$  با حدود  $46/1$  درصد افزایش به  $\frac{\text{mol}}{\text{kg TS}}$

سولفات (ZnSO<sub>4</sub>) و چهاروجهی‌ها به وجود آید. این تغییرها با افزایش ممان‌های دوقطبی و میدان الکترواستاتیکی ایجاد می‌شود و برای جداسازی الکترون‌ها و حفره‌ها در فرایند تولید هیدروژن با فتوکاتالیست بسیار مفید است [۴۱].



شکل ۱ طرح‌واره فرایند فتوکاتالیستی شکافت آب [۴۰]  
(دارای مجوز از ناشر مربوط)

همچنین، ساختارهای نانودوقلویی در سنتر محلول‌های جامد برای فعالیت‌های فتوکاتالیستی به کاررفته‌اند. هیدروژن از آب بدون نیاز به فلزهای گرانبهای و با بازدهی بسیار بالا در برابر نور مرئی تولید می‌شود. جداسازی الکترون‌ها و حفره‌های تولیدشده با نور و همچنین، فعالیت فتوکاتالیز می‌تواند به‌طور چشمگیری با قابلیت ایجادشده با بلورهای نانودوقلویی موادی بهبود یابد. تعداد الکترون‌های آزاد در مرکز دوقلویی بسیار زیاد است و جداسازی موثر دوقلویی از راه محل ایجاد واکنش هیدروژن (الکترون) و واکنش اکسایش ممکن می‌شود [۴۲].

نانومواد حالت جامد برای کاربرد ذخیره‌سازی هیدروژن انرژی خورشیدی به‌طور پیوسته با یک فرایند شناخته‌شده به نام فتوشیمی به هیدروژن تبدیل می‌شود، ولی برای رسیدن به یک اقتصاد مبتنی بر هیدروژن، هنوز با چالش‌های بزرگی در زمینه ذخیره‌سازی هیدروژن مواجه هستیم. به‌طور کلی، هیدروژن می‌تواند در سکل‌های جامدی مانند ترکیب‌های کربنی، هیدریدهای فلزی و اسکلت‌های آلی فلزی، یا به صورت گاز فشرده، مایع کربوژنیک، یا در مواد جامد مناسب

فردوسکسین‌ها و هیدروژن‌ها تسهیل کنند و درنتیجه فعالیت آنزیم‌های کلیدی را ارتقاء دهد. افزون براین، نانوذرهای آهن به آسانی به Fe<sup>2+</sup> اکسید و موجب تولید هیدروژن‌ها و پروتئین‌های آهن-گوگرد از فردوسکسین می‌شوند. نانوذرهای آهن می‌توانند به‌طور موثری روش‌های تولید هیدروژن و تخمیر مواد زیست‌توده را تسريع کنند.

نانوذرهای فتوکاتالیست برای تولید هیدروژن در سامانه فتوکاتالیستی، الکترون‌ها و حفره‌هایی که تحت تأثیر نور در نواحی رسانش و ظرفیت ایجاد می‌شوند، به سطح فتوکاتالیست‌های ذرهای ذرهای ریز منتقل می‌شوند و در واکنش‌های اکسایش و کاهش مشارکت می‌کنند که در نتیجه آن‌ها به ترتیب هیدروژن و اکسیژن تولید می‌شود [۳۶ و ۳۷]. با بررسی دقیق سازوکارها و فرایندهای پایه، مشخص می‌شود که شکافت آب به‌روش فتوکاتالیستی یکی از روش‌های بسیار مؤثر است که نیازمند فتوکاتالیست‌هایی با کاف نوار مناسب است [۳۸]. یک ساختار که نور خورشید فراوانی را جذب و نیم‌واکنش‌های تولید هیدروژن و اکسیژن را فعال می‌کند، باید قابلیت انتقال بار خوبی داشته باشد که الکترون‌ها و حفره‌ها را به‌فصل مشترک نیمرساناً/الکترولیت منتقل کند و موجب تأخیر در ترکیب مجدد بار و افزایش واکنش‌پذیری کاتالیستی سطح نیم‌واکنش شود. در چند دهه اخیر، تلاش‌های فراوانی برای دستیابی به این شرایط مهم در فتوکاتالیست‌های طراحی شده برای تولید هیدروژن با کارایی بالا از راه آب صورت گرفته است [۳۹]. در شکل ۱، فرایند شکافت آب با نانوفتوکاتالیست‌ها برای تولید هیدروژن نشان داده شده است. فعالیت فتوکاتالیستی بهشت به انتقال و جداسازی بارهای الکتریکی القاء شده به‌وسیله نور، بستگی دارد. برای این کار، از نیمرساناهای فتوکاتالیست استفاده می‌شود تا جداسازی بارها را آسان‌تر کند. میدان الکترواستاتیکی درونی روی-ایندیم سولفید (ZnIn<sub>2</sub>S<sub>4</sub>) را می‌توان به دقت تنظیم کرد تا فضای بیشتری ایجاد شود و در نتیجه، کجی بیشتری در ساختارهای روی-ایندیم سولفید، روی

به ترتیب تا ۱۸ و ۷ درصد وزنی باشد [۴۵]. این مواد با ترکیب هیبریدهای فلزی با دیگر مواد برای ایجاد ساختارهای بیشتر پیچیده تولید می‌شوند. هیبریدهای فلزی پیچیده قابلیت ذخیره‌سازی هیدروژن به صورت قابل برگشت را فراهم می‌کنند، ولی ممکن است به دلیل دماهای بالای عملیاتی و واکنش‌های کند، استفاده از آن‌ها محدود باشد. مواد مبتنی بر کربن مانند گرافن و نانولوله‌های کربنی با ظرفیت‌هایی بین  $6/3$  تا ۸ درصد وزنی، توانایی کمتری در ذخیره‌سازی هیدروژن نسبت به هیبریدهای فلزی و پیچیده دارند. این مواد به دلیل سطح وسیع تر و هزینه‌های باحتمال کمتر، برای کاربردهای ذخیره‌سازی هیدروژن مطلوب هستند. با این حال، معایبی مانند فرایندهای سنتز پیچیده و تمایل به‌زوال در طول زمان دارند [۴۶].

یکی از بزرگترین چالش‌ها در استفاده از نامواد حالت جامد برای ذخیره‌سازی هیدروژن، رسیدن به مقدارهای مناسب ذخیره‌سازی هیدروژن به صورت قابل برگشت است. حتی اگر ظرفیت‌های ذخیره‌سازی هیدروژن واقعی کمتر از مقادیر نظری باشند، ممکن است به دلیل مشکلاتی مانند کندی نرخ جذب و آزادسازی هیدروژن، چرخه‌های ناپایدار و دماهای بالای عملیاتی با محدودیت‌هایی روبرو شوند. با ایجاد مواد جدید با ویژگی‌های بهبود یافته و ارتقاء سنتز و فرایندهای پردازش مواد موجود، می‌توان این محدودیت‌ها را کاهش داد [۴۷].

#### امکان‌سنجی استفاده تجاری هیدروژن

هیدروژن سبز در بسیاری از صنایع کاربرد دارد و بکی از مهم‌ترین کاربردهای آن در بخش حمل و نقل است، جایی که به عنوان سوختی عمل می‌کند که فقط آب را به عنوان فراورده جانبی منتشر می‌کند. همچنین، صنایع پتروشیمی و شیمی سبز نیز از این نوع هیدروژن بهره می‌برند. در زمینه استفاده از آن برای گرمایش منازل و تأمین برق نیز پیشرفت‌هایی صورت گرفته است. هیدروژن به خودی خود منبع اصلی انرژی مانند نور خورشید، باد یا آب نیست، بلکه نقش یک حامل انرژی را دارد.

ذخیره شود. برخلاف دو روش اول که هیدروژن را به شکل گازی و مایع ذخیره می‌کنند، ذخیره‌سازی هیدروژن به صورت جامد می‌تواند با جذب شیمیایی یا فیزیکی هیدروژن در مواد، در دما و فشارهایی نزدیک به شرایط محیطی صورت گیرد. نیاز به مخزن بزرگ برای ذخیره هیدروژن به صورت مایع یا گاز، نگرانی‌های اینمی‌جذبی است. بنابراین، ذخیره‌سازی به صورت جامد می‌تواند یک راه حل فنی با مزايا و امنیت بالا باشد. دینامیک و ظرفیت ذخیره‌سازی هیدروژن در حالت جامد به شدت تحت تاثیر برهمه‌کنندهای سطحی مواد متفاوت است. برای اینکه سامانه مبتنی بر  $MgH_2$  به یک گزینه قوی برای ذخیره‌سازی هیدروژن تبدیل شود، باید ترمودینامیک آن بهبود یابد. مواد ذخیره‌سازی هیدروژن، ظرفیت بالایی برای ذخیره‌سازی هیدروژن دارند [۴۳].

با توجه به مساحت زیاد سطح، ویژگی‌های انعطاف‌پذیر و توانایی جذب و رهاسازی هیدروژن به شکل قابل برگشت، پژوهش‌های گسترده‌ای در مورد نانوذره‌های جامد به عنوان مواد بسیار امیدوارکننده‌ای برای ذخیره‌سازی هیدروژن انجام شده است. در این مطالعه مروری که توسط نویسنده‌گان انجام شده است، سه گروه اصلی نامواد جامد هیبریدهای فلزی، هیبریدهای فلزی مرکب و مواد مبتنی بر کربن و ویژگی‌های آن‌ها بررسی شده‌اند. هیبریدهای فلزی می‌توانند تا ۲۰ درصد وزنی بیشتر هیدروژن را در مقایسه با دو ماده دیگر ذخیره کنند. با این حال، به دلیل مشکلهایی مانند کندی سرعت جذب و رهاسازی هیدروژن و پایداری چرخه‌ای نامطلوب، ظرفیت واقعی ذخیره‌سازی هیدروژن آن‌ها ممکن است کمتر باشد. هنگامی که هیدروژن به شکل شیمیایی با فلز پیوند داشته باشد، ماده‌ای جامد به نام هیبرید فلزی تشکیل می‌شود که می‌تواند هیدروژن را با جذب بر سطح خود یا درون ساختار شبکه‌ای خود ذخیره کند [۴۴]. ظرفیت‌های ذخیره‌سازی هیدروژن نظری برای هیبریدهای فلزی مرکب مانند  $NaAlH_4$  و  $LiBH_4$  می‌تواند

کاهش می‌دهد. نانوذره‌ها قابلیت چشمگیری را برای استفاده در بخش شیمیایی برای تولید کودهای سبز نشان داده‌اند. ویژگی‌های منحصر به فرد نانوذره‌ها، مانند نسبت سطح به حجم بالا، واکنش‌پذیری و فعالیت کاتالیستی، آن‌ها را به کاندیدای عالی برای افزایش کارایی کود، کاهش اثرات زیستمحیطی و تشویق کشاورزی پایدار تبدیل می‌کند. در این بخش، روش‌های متفاوت استفاده از نانوذره‌ها در بخش شیمیایی برای تولید کودهای سبز را بررسی شده است. نانوذره‌ها را می‌توان به عنوان کاتالیست یا واکنش‌دهنده در تولید کودهای سبز استفاده کرد که موجب افزایش کارایی و کاهش اثرات زیست محیطی می‌شود. از نانوذره‌ها می‌توان برای پاکسازی زباله‌های صنعتی و تبدیل آن به کودهای سبز استفاده کرد و در نتیجه روش‌های مدیریت پسماند سازگار با محیط‌زیست را تقویت کرد. کیفیت و محتوای تغذیه‌ای کودهای سبز را می‌توان با به کارگیری نانوذره‌ها به عنوان حسگر واپايش و تضمین کرد که آن‌ها به الزامات قانونی پاییند و در حمایت از شیوه‌های کشاورزی پایدار، مفید هستند. پیشبرد شیوه‌های کشاورزی پایدار و کاهش اثرهای زیستمحیطی تولید کود با استفاده از نانوذره‌ها در بخش شیمیایی برای ایجاد کودهای سبز بسیار امکان‌پذیر است. کودهای سبز می‌توانند با نانوذره‌ها به روش‌های متفاوتی مانند کپسوله‌سازی، پوشش‌دهی و نانوحسگرها بهره‌مند شوند. شیوه‌های کشاورزی پایدار و کاهش اثرهای زیستمحیطی تولید کود از طریق توسعه و اجرای مستمر نانوذره‌ها در بخش شیمیایی امکان‌پذیر است [۵۰ و ۵۱].

#### آمونیاک سبز در صنعت کود

یکی از معیارهای کلیدی برای کاهش انتشار، به ویژه در صنایعی که کاهش انتشار گازهای گلخانه‌ای دشوار است، آمونیاک سبز است. حذف نیاز به سوختهای فسیلی، با به‌دست آوردن نیتروژن از جو و تولید هیدروژن از برق کافت آب، آمونیاک را دوستدار محیط‌زیست می‌کند. فشار و دمای موردنیاز برای واکنش هیدروژن-نیتروژن در طول حلقه ستتر

این به این معناست که برای تولید هیدروژن نیاز به انرژی است و این انرژی زمانی که هیدروژن استفاده می‌شود، آزاد می‌شود. به همین دلیل است که گفته می‌شود هیدروژن می‌تواند به عنوان یک روش برای ذخیره‌سازی انرژی به کار رود؛ برایه گزارش‌های بسیار، مصرف هیدروژن در صنایع بیشتر به صورت توزیع شده است و به طور عمده در تولید آمونیاک، متanol و فرایند اصلاح بخار به کار می‌رود [۴۸].

صنایع شیمیایی برای تولید کودهای سبز یکی از عنصرهای خام اصلی که بیشتر در صنایع شیمیایی استفاده می‌شود، هیدروژن است. این یک جزء کلیدی در تولید متanol است که برای ایجاد بسیارهای متعدد و همچنین، آمونیاک که منجر به تولید کود می‌شود، به کار می‌رود. کودهای سبز کودهای معدنی مبتنی بر نیترات هستند که ساختار فیزیکی و شیمیایی مشابه کودهای ساخته شده با سوختهای فسیلی دارند، ولی ردپای کربن به مقدار چشمگیری کاهش می‌یابد، زیرا با انرژی‌های تجدیدپذیر (نیروی آبی، بادی، خورشیدی) ساخته می‌شوند. هیدروژن موردنیاز برای تولید آمونیاک، که برای تولید کودهای سبز استفاده می‌شود، از آب با برق کافت با به کارگیری انرژی تجدیدپذیر به دست می‌آید. همه مرافق باقی‌مانده پس از حذف هیدروژن برای تولید آمونیاک سبز به همان شیوه انجام می‌شود. بنابراین، استفاده از کودهای سبز برای کربن‌زدایی تولید مواد غذایی یک روش ساده، موثر و بدون فسیل است. همه کودهای معدنی از آمونیاک به عنوان واکنشگر اصلی خود تولید می‌شوند [۴۹]. این شامل به کارگیری یک فرایند کاتالیستی است که از بزرگترین فناوری موجود برای کاهش گازهای گلخانه‌ای در طول پردازش استفاده می‌کند. ضرورت تغییر به هیدروژن سبز با توانایی این فناوری برای به کمینه رساندن انتشار نیتروژن اکسید ( $N_2O$ )، یک گاز گلخانه‌ای قوی، در طول فرایند تولید کود، برجسته شده است که آسیب‌پذیری در برابر نوسان‌های قیمت گاز طبیعی و کود در مقیاس جهانی را

بی‌همتایشان، نویدهای بی‌همتایی در بهبود کارایی کودهای مبتنی بر آمونیاک سبز نشان داده‌اند [۵۴].

برای ایجاد یک کود آهسته رهش، نانوذره‌ها را می‌توان در یک پوسته بسپار محصور کرد و با آمونیاک سبز ترکیب کرد. این فناوری تحويل طولانی‌مدت کود را تضمین می‌کند و احتمال شستشو را کاهش می‌دهد و در نتیجه جذب مواد مغذی را با فراورده کشاورزی را افزایش می‌دهد و اثرات زیست‌محیطی را کاهش می‌دهد. برای بهبود دوام ذره‌های سبز آمونیاک و محدود کردن اتلاف آمونیاک در اثر تبخیر، نانوذره‌ها را می‌توان بر روی سطوح آن‌ها پوشش داد. این فناوری ضمن کاهش اثرهای زیست‌محیطی، کارایی را بهبود می‌بخشد. نانوذره‌ها می‌توانند به عنوان حسگر برای تشخیص سطوح مواد مغذی در خاک و ارائه بازخورد به کشاورزان استفاده شوند. این اطلاعات را می‌توان برای تغییر نرخ کاربرد کود که منجر به بازده فراورده بالاتر و اثر زیست‌محیطی کمتر می‌شود، به کار گرفت [۵۵].

**هیدروژن در صنایع پتروشیمی**  
در صنایع شیمیایی و پتروشیمی معاصر، هیدروژن بکی از مهم‌ترین فراوردها و واسطه‌ها است. امروزه بیشتر با به کارگیری روش‌های تبدیل هیدروکربن که با واکنشگرهای مبتنی بر فسیل، ساخته می‌شود.

با توجه به شدت انرژی بالای بخش‌های پتروشیمی، اگر هیدروژن با روش‌های کم‌هزینه و بدون انتشار (مانند جذب و جداسازی کربن) تولید شود، ممکن است کلید کربن‌زدایی این بخش باشد. مواد شیمیایی و ترکیب‌های موسوم به پتروشیمی‌ها به طور معمول از نفت خام به دست می‌آیند. این فریندها شامل اکسایش، هیدروژن‌دارشدن، شکست حرارتی، فرایندهای کاتالیستی و روش‌های مشابه دیگر هستند. آن‌ها در ایجاد لاستیک مصنوعی، فراوردهای لاستیکی مصنوعی، الیاف مصنوعی، پلاستیک، حشره‌کش‌ها، داروها و مواد شوینده و رنگ‌ها به کار برده می‌شوند [۵۶].

آمونیاک با منابع تجدیدپذیر انرژی مانند انرژی باد یا خورشید تولید می‌شود.

تولید غذا و تغذیه جمعیتی که به سرعت در حال گسترش است، هر دو به شدت به نیتروژن، یک ماده مغذی اصلی برای گیاهان، بستگی دارد. مشابه شکل ۲، آمونیاک سبز ممکن است به عنوان سوخت زیست‌توده به‌وسیله کارخانه‌های تولید کود برای تولید کودهای نیتروژن استفاده شود [۵۳].



شکل ۲ صنعت کود مبتنی بر انرژی تجدیدپذیر [۵۳]  
(دارای مجوز از ناشر مربوط)

آمونیاک در درجه اول در تولید کودهای پیچیده مانند دی‌آمونیم فسفات و کودهای مبتنی بر نیتروژن (اوره) استفاده می‌شود. پیش‌بینی می‌شود در ده سال آینده، به دلیل افزایش جمعیت و افزایش مصرف مواد غذایی، نیاز به کود نیتروژن با نرخ ترکیبی سالانه ۳ درصد افزایش یابد. آمونیاک همچنین، می‌تواند به طور مستقیم یا حتی به صورت محلول در آب به خاک تزریق شود. اگرچه آمونیاک بی‌آب به طور گسترده در دسترس است و استفاده از آن در خاک ساده است، تحويل آن باید به دقت برنامه‌ریزی شود [۵۲].

آمونیاک سبز، یک جایگزین مناسب برای آمونیاک معمولی، در تجارت کود به عنوان یک راه حل بی‌خطر برای محیط‌زیست است. نانوذره‌ها به دلیل اندازه کوچک و ویژگی‌های

چرخه عمر برای ارزیابی تأثیرات زیستمحیطی یک فراورده یا فرایند در طول چرخه عمر به کار می‌رود [۵۹]. روش زیستگاز به عنوان یک جایگزین عملی برای روش سنتی بازسازی بخار است که می‌توان از آن برای تولید هیدروژن استفاده کرد. مشابه گاز طبیعی، زیستگاز مزیت اضافی داشتن یک منبع تجدیدپذیر را دارد که با حذف انتشار متان، که به صورت اقتصادی و به مقادیر چشمگیری تولید می‌شود، آلودگی را کاهش می‌دهد. این امر منجر به ایجاد تأسیسات بازیابی گاز محل دفن و هضم‌کننده‌های بی‌هوایی برای درمان زیست‌پسماندها، مانند زباله‌های جامد شهری، کودها و فراورده‌های انرژی می‌شود. افزون بر کاهش زباله‌های محل دفن، تولید زیستگاز کودی غنی از مواد مغذی را به عنوان یک فراورده جانبی تولید می‌کند [۶۰].

هیدروژن یک عنصر کلیدی در ایجاد سامانه‌های انرژی پایدار و پاک است، ولی هنوز تولید آن از نظر اقتصادی مقرن به صرفه نیست. با وجود پروژه‌های نمایشی بسیاری که استفاده از هیدروژن را تشویق می‌کنند و پژوهش‌های جهانی برای ارائه نقشه‌های راه برای پذیرش فناوری، فناوری‌های جدید برای تولید، ذخیره‌سازی، توزیع و استفاده از هیدروژن در حال توسعه هستند [۶۰].

این فناوری‌ها به عنوان ابزارهایی برای رسیدن به سامانه‌های انرژی کم‌کربن با پروژه‌هایی که سعی در تسریع پذیرش تجارتی این فناوری‌ها دارند، تایید شده‌اند. پسماندهای خانگی به عنوان یک ماده معیار برای تولید زیستگاز به کار رفته‌اند. بازیافت پسماندهای به جامعه منفعت می‌رساند [۶۱]. نانوذره‌های سازگار با محیط‌زیست برای تولید هیدروژن به جای نانوذره‌های شیمیایی می‌تواند به کاهش هزینه‌های عملیاتی کمک کند. استفاده دوباره از نانوذره‌ها با روش‌های محبوس‌سازی نیز یک راه ممکن برای صرفه‌جویی در هزینه‌ها است. بازیافت نانوذره‌ها در پژوهش‌های بسیاری با موفقیت نشان داده شده است. هرچند پیشنهادشده که استفاده از

در فرایند هیدروکرائینگ که فراورده‌های نفتی مانند بنزین و گازوئیل را تولید می‌کند، بیشتر از هیدروژن استفاده می‌شود. برای تولید مтанول که از آن برای از بین بردن آلاینده‌هایی مانند گوگرد نیز استفاده می‌شود، این ماده به عنوان یک محصول جانبی طی فرایند ذوب تولید می‌شود. کک نفتی باید در دماهای بسیار بالا و با اکسیژن و بخار، در دستگاه‌های تخصصی گازی‌ساز پخته شود تا از این ماده اولیه، هیدروژن تولید شود. [۶۲]. در بسیاری از واکنش‌های شیمیایی با استفاده از هیدروژن، مانند سنتر آمونیاک، متانول و سایر ترکیب‌های کاتالیست‌ها ضروری هستند. نانوذره‌های روتینیم، نیکل و آهن فعالیت کاتالیستی خوبی در تبدیل بخار گاز طبیعی برای ایجاد هیدروژن نشان داده‌اند [۶۳].

ذخیره‌سازی هیدروژن به دلیل چگالی کم و قابلیت اشتعال قوی این گاز، دشوار است. نانوذره‌ها به عنوان مواد ذخیره‌سازی هیدروژن نوید چشمگیری را نشان داده‌اند. هیدریدهای فلزی که از برهم‌کش نانوذره‌های فلزی با هیدروژن تولید می‌شوند، به عنوان مواد ذخیره‌سازی هیدروژن بالقوه، مطالعه شده‌اند. هیدریدهای فلزی ظرفیت ذخیره‌سازی بالایی دارند و می‌توانند هیدروژن را در دماها و فشارهای پایین آزاد کنند. غشاها اینتخابی هیدروژن در بخش پتروشیمی برای جداسازی و تصفیه گاز حیاتی هستند. برای افزایش گزینش‌پذیری و نفوذپذیری، می‌توان نانوذره‌های فلزی مانند پالادیم و پلاتین را به غشاها بسپار افود. این نانوذره‌ها می‌توانند انتقال هیدروژن را با غشاء بهبود بخشدند و گزینش‌پذیری هیدروژن را نسبت به گازهای دیگر فراهم کنند [۶۴].

چرخه عمر و تحلیل فنی-اقتصادی تحلیل‌های فنی-اقتصادی و چرخه عمر راههایی را برای افزایش سودآوری و در عین حال کاهش تأثیرهای زیست‌محیطی نشان می‌دهند. تحلیل فنی-اقتصادی (TEA) یک ابزار قدرتمند برای سنجش تأثیر پژوهش و توسعه بر اقتصادی بودن فرایندهای ادغامی است. یک روش به نام تحلیل

اقتصاد در حال ظهور هیدروژن می‌تواند تغییرهای چشمگیری در بخش انرژی ایجاد کند. هیدروژن سبز و سایر سوختهای سنتزی بدون کربن ممکن است در نهایت جایگزین بنزین به عنوان سوخت حمل و نقل و گاز طبیعی به عنوان منبع انرژی شوند [۶۳].

### نتیجه‌گیری

هیدروژن به عنوان یک ماده انرژی مفید و کارآمد شناخته می‌شود که می‌تواند جایگزینی برای منابع انرژی سنتی باشد. این پژوهش مروری به بررسی همه مزایا و معایب منابع هیدروژنی پرداخته است. منابع انرژی سنتی دارای معایبی هستند که شامل نرخ تخلیه سریع‌تر، نوسان‌های قیمتی و محدودیت در دسترسی می‌شوند. برای چیرگی بر این چالش‌های اساسی، هیدروژن ممکن است گزینه‌ای بهتر باشد. با این حال، تولید و ذخیره‌سازی هیدروژن به پیشرفت‌های چشمگیری در فناوری نیاز دارد. از نظر فنی، پژوهش‌ها در زمینه هیدروژن هنوز در مراحل ابتدایی خود قرار دارد، زیرا گزینه‌های ذخیره‌سازی محدود و هزینه‌ها بالا هستند. نانومواد به عنوان یک گزینه عملی برای بازه گسترده‌ای از کاربردها ظهور کرده‌اند. نقش نانومواد در تولید و ذخیره‌سازی هیدروژن سبز در این مقاله به‌طور مفصل توضیح داده شده است. برایه نتیجه‌های این پژوهش، نانومواد فلزی در تولید و ذخیره‌سازی هیدروژن عملکرد خوبی داشته‌اند. از نظر فنی، ذخیره‌سازی هیدروژن ضعیف است و برایه روندهای بازار کنونی، استفاده از هیدروژن هنوز از مواد انرژی موجود گران‌تر است. هیدروژن سبز تولیدشده با نانومواد ممکن است به اندازه نیاز مؤثر واقع شود. با این حال، برایه نتیجه‌های این پژوهش، می‌توان گفت که پژوهش‌های عمده‌ای در زمینه تولید هیدروژن از طریق تخمیر تاریک انجام شده است. هنوز روش‌های دیگری برای کاوش وجود دارند. افزون‌براین، به جز تعدادی از نانوذرهای مانند نقره، طلا، آهن و غیره، کاوش در زمینه سایر نانوذرهای برای تولید و ذخیره‌سازی هیدروژن همچنان ادامه دارد.

نانوذرهای سبز ممکن است به کاهش هزینه‌های عملیاتی کمک کند، ولی از داده‌های جمع‌آوری شده از گزارش‌های متفاوت مشخص است که فرایند جذب حتی با نانوذرهای سبز تولیدشده همچنان، گران است. توسعه نانوذرهای ارزان‌قیمت و محیط‌زیستی توجه زیادی را به خود جلب کرده است. با این حال، برای اینکه استفاده از آن‌ها در هزینه‌های عملیاتی معمولی جای گیرد، باید تلاش‌های بیشتری صورت گرفته شود.

چالش‌ها و چشم‌ندازهای آینده با وجود توانایی‌های موجود برای تسريع در تغییرهای انرژی، اقتصاد مبتنی بر هیدروژن سبز همچنان، با چالش‌هایی در زمینه‌های فنی، اقتصادی و اجتماعی دست و پنجه نرم می‌کند. اگرچه ممکن است بتوان گفت که انرژی‌های تجدیدپذیر گزینه‌ای بهتر از انرژی‌های موجود مبتنی بر سوخت‌های فسیلی هستند، ولی این انرژی‌ها به تنها ی نمی‌توانند پاسخ‌گوی همه مشکل‌های انرژی باشند. استفاده از فناوری‌های تجدیدپذیر، هرچند تاکید شده است، ولی برای رسیدن به اهداف کافی نیست. افزون‌براین، تنها حدود ۱۶/۵ درصد از کل مصرف انرژی با برق تامین می‌شود. برای کاهش بیشتر انتشار گازهای گلخانه‌ای از ۸۳/۵ درصد باقی‌مانده بخش انرژی، نیاز به اقدامات بیشتری است [۶۲]. هیدروژن برای دهه‌ها در پالایشگاه‌ها و صنایع شیمیایی به کاررفته و به استفاده از آن به عنوان یک منبع انرژی در سال‌های اخیر بهشدت توجه شده است. با افزایش این علاقه و کاربردهای نهایی، انتظار می‌رود تقاضا برای هیدروژن نیز با رشد سالانه مرکب افزایش یابد.

برای اطمینان از اینکه این تقاضا برای هیدروژن به طور پایدار و با کمترین تاثیر زیستمحیطی برآورده شود، تولید هیدروژن باید با کمینه یا بدون انتشار کربن صورت گیرد. تجاری‌سازی و استقرار در مقیاس بزرگ هیدروژن سبز با چالش‌های اساسی رو به رو است. از آنجاکه می‌توان از آن به عنوان سوخت برای حمل و نقل و تولید برق استفاده کرد.

## مراجع

- [1] Fan Z, Zhang X, Li Y, Guo X, Jin Z. Construct 3D NiCo-LDH/Cu<sub>2</sub>O pn heterojunction via electrostatic self-assembly for enhanced photocatalytic hydrogen evolution. *Journal of Industrial and Engineering Chemistry*. 2022;110:491-502. doi: [10.1016/j.jiec.2022.03.027](https://doi.org/10.1016/j.jiec.2022.03.027)
- [2] Mirzaee M, Mohebbi T, Rezakhani D. A Comprehensive review of the corrosion and erosion resistant coating on the fireside in power plant boilers. *Farayandno*. 2023;18(82):73-93. doi: [10.22034/farayandno.2023.2001252.1920](https://doi.org/10.22034/farayandno.2023.2001252.1920)
- [3] Yaman H, Yesilyurt MK, Uslu S. Simultaneous optimization of multiple engine parameters of a 1-heptanol/gasoline fuel blends operated a port-fuel injection spark-ignition engine using response surface methodology approach. *Energy*. 2022;238:122019. doi: [10.1016/j.energy.2021.122019](https://doi.org/10.1016/j.energy.2021.122019)
- [4] Dincer I. Green methods for hydrogen production. *International Journal of Hydrogen Energy*. 2012;37(2):1954-71. doi: [10.1016/j.ijhydene.2011.03.173](https://doi.org/10.1016/j.ijhydene.2011.03.173)
- [5] Mirzaee M, Mohebbi T. A review of anti-corrosion and erosion protective coatings in offshore wind power devices. *Journal of Studies in Color World*. 2024;14(2):133-59. doi: [10.30509/jsew.2024.82001](https://doi.org/10.30509/jsew.2024.82001)
- [6] Rosen MA, Koohi-Fayegh S. The prospects for hydrogen as an energy carrier: an overview of hydrogen energy and hydrogen energy systems. *Energy, Ecology and Environment*. 2016;1:10-29. doi: [10.1007/s40974-016-0005-z](https://doi.org/10.1007/s40974-016-0005-z)
- [7] Pourhashem S, Seif A, Zhou Z, Ji X, Sgroi MF, Duan J, et al. Theoretical and experimental investigations about the role of MXene nanosheets covered with ZnO quantum dots on barrier resistance of epoxy coatings. *Journal of Environmental Chemical Engineering*.
- 2024;12(1):111869. doi: [10.1016/j.jece.2023.111869](https://doi.org/10.1016/j.jece.2023.111869)
- [8] Mirzaee M, Dehghanian C. Flower-like mesoporous nano NiCo<sub>2</sub>O<sub>4</sub>-decorated ERGO/Ni-NiO foam as electrode materials for supercapacitor. *Materials Research Bulletin*. 2019;109:10-20. doi: [10.1016/j.materresbull.2018.09.020](https://doi.org/10.1016/j.materresbull.2018.09.020)
- [9] Dincer I, Zamfirescu C. Sustainable hydrogen production options and the role of IAHE. *International Journal of Hydrogen Energy*. 2012;37(21):16266-86. doi: [10.1016/j.ijhydene.2012.02.133](https://doi.org/10.1016/j.ijhydene.2012.02.133)
- [10] Mirzaee M, Dehghanian C. Pulsed electrodeposition of reduced graphene oxide on NiNiO foam electrode for high-performance supercapacitor. *International Journal of Hydrogen Energy*. 2018;43(27):12233-50. doi: [10.1016/j.ijhydene.2018.04.173](https://doi.org/10.1016/j.ijhydene.2018.04.173)
- [11] Zhang Y, Ying Z, Zhou J, Liu J, Wang Z, Cen K. Electrolysis of the Bunsen reaction and properties of the membrane in the sulfur-iodine thermochemical cycle. *Industrial & Engineering Chemistry Research*. 2014;53(35):13581-8. doi: [10.1021/ie502275s](https://doi.org/10.1021/ie502275s)
- [12] Roessler PG, Lien S. Activation and de novo synthesis of hydrogenase in Chlamydomonas. *Plant Physiology*. 1984;76(4):1086-9. doi: [10.1104/pp.76.4.1086](https://doi.org/10.1104/pp.76.4.1086)
- [13] McCarty RD, Hord J, Roder HM. Selected properties of hydrogen (engineering design data), NBS monograph 168. US: National Bureau of Standards; 1981.
- [14] Dawood F, Anda M, Shafiullah G. Hydrogen production for energy: An overview. *International Journal of Hydrogen Energy*. 2020;45(7):3847-69. doi: [10.1016/j.ijhydene.2019.12.059](https://doi.org/10.1016/j.ijhydene.2019.12.059)
- [15] Staffell I, Scamman D, Abad AV, Balcombe P, Dodds PE, Ekins P, et al. The role of hydrogen and fuel cells in the global energy system. *Energy & Environmental Science*.

- 2019;12(2):463-91. doi: **10.1039/C8EE01157E**
- [16] Nikolaidis P, Poulikkas A. A comparative overview of hydrogen production processes. *Renewable and sustainable energy reviews*. 2017;67:597-611. doi: **10.1016/j.rser.2016.09.044**
- [17] Majumdar A, Deutch JM, Prasher RS, Griffin TP. A framework for a hydrogen economy. *Joule*. 2021;5(8):1905-8. doi: **10.1016/j.joule.2021.07.007**
- [18] Zhou Y, Li R, Lv Z, Liu J, Zhou H, Xu C. Green Hydrogen: A promising way to the carbon-free society. *Chinese Journal of Chemical Engineering*. 2022;43:2-13. doi: **10.1016/j.cjche.2022.02.001**
- [19] Ko DH, Kang SC, Lee CW, Im JS. Effects of support porosity of Co-Mo/MgO catalyst on methane catalytic decomposition for carbon and hydrogen production. *Journal of Industrial and Engineering Chemistry*. 2022;112:162-70. doi: **10.1016/j.jiec.2022.05.008**
- [20] Oliveira AM, Beswick RR, Yan Y. A green hydrogen economy for a renewable energy society. *Current Opinion in Chemical Engineering*. 2021;33:100701. doi: **10.1016/j.coche.2021.100701**
- [21] Khin MM, Nair AS, Babu VJ, Murugan R, Ramakrishna S. A review on nanomaterials for environmental remediation. *Energy & Environmental Science*. 2012;5(8):8075-109. doi: **10.1039/C2EE2181F**
- [22] Yeo M-K, Nam D-H. Influence of different types of nanomaterials on their bioaccumulation in a paddy microcosm: A comparison of TiO<sub>2</sub> nanoparticles and nanotubes. *Environmental Pollution*. 2013;178:166-72. doi: **10.1016/j.envpol.2013.03.040**
- [23] Mirzaee M, Dehghanian C, Sabet Bokati K. ERGO grown on Ni-Cu foam frameworks by constant potential method as high performance electrodes for supercapacitors. *Applied Surface Science*. 2018;436:1050-60. doi: **10.1016/j.apsusc.2017.12.145**
- doi: **10.1007/s13738-018-1505-x**
- [24] Mirzaee M, Dehghanian C. Synthesis of nanoporous copper foam-applied current collector electrode for supercapacitor. *Journal of the Iranian Chemical Society*. 2019;16(2):283-92. doi: **10.1007/s13738-018-1505-x**
- [25] Mirzaee M, Rashidi A, Zolriasatein A, Rezaei Abadchi M. A simple, low cost, and template-free method for synthesis of boron nitride using different precursors. *Ceramics International*. 2021;47(5):5977-84. doi: **10.1016/j.ceramint.2020.10.171**
- [26] Mirzaee M, Rashidi A, Zolriasatein A, Rezaei Abadchi M. Solid-state synthesis and characterization of two-dimensional hexagonal BCN nanosheet using a free template method. *Diamond and Related Materials*. 2021;115:108350. doi: **10.1016/j.diamond.2021.108350**
- [27] Zhou G, Goshi E, He Q. Micro/Nanomaterials-augmented hydrogen therapy. *Advanced Healthcare Materials*. 2019;8(16):1900463. doi: **10.1002/adhm.201900463**
- [28] Bhanja P, Bhaumik A. Porous nanomaterials as green catalyst for the conversion of biomass to bioenergy. *Fuel*. 2016;185:432-41. doi: **10.1016/j.fuel.2016.08.004**
- [29] Niemann MU, Srinivasan SS, Phani AR, Kumar A, Goswami DY, Stefanakos EK. Nanomaterials for hydrogen storage applications: A review. *Journal of Nanomaterials*. 2008;950967:1-9. doi: **10.1155/2008/950967**
- [30] Mirzaee M, Vaezi M, Palizdar Y. Synthesis and characterization of silver doped hydroxyapatite nanocomposite coatings and evaluation of their antibacterial and corrosion resistance properties in simulated body fluid. *Materials Science and Engineering: C*. 2016;69:675-84. doi: **10.1016/j.msec.2016.07.057**
- [31] Alaqqad K, Saleh TA. Gold and silver nanoparticles: synthesis methods, characterization routes and applications towards drugs. *J Environ Anal Toxicol.*

- 2016;6(4):525-2161. doi: **10.4172/2161-0525.1000384**
- [32] Janardhanan R, Karuppaiah M, Hebalkar N, Rao TN. Synthesis and surface chemistry of nano silver particles. *Polyhedron*. 2009;28(12):2522-30. doi: **10.1016/j.poly.2009.05.038**
- [33] Shi H, Magaye R, Castranova V, Zhao J. Titanium dioxide nanoparticles: A review of current toxicological data. *Particle and fibre toxicology*. 2013;10:1-33. doi: **10.1186/1743-8977-10-15**
- [34] Schwarz JA, Contescu CI, Putyera K. Dekker encyclopedia of nanoscience and nanotechnology. US: CRC press; 2004.
- [35] Khot LR, Sankaran S, Maja JM, Ehsani R, Schuster EW. Applications of nanomaterials in agricultural production and crop protection: A review. *Crop Protection*. 2012;35:64-70. doi: **10.1016/j.cropro.2012.01.007**
- [36] Pourhashem S, Seif A, Saba F, Nezhad EG, Ji X, Zhou Z, et al. Antifouling nanocomposite polymer coatings for marine applications: A review on experiments, mechanisms, and theoretical studies. *Journal of Materials Science & Technology*. 2022;118:73-113. doi: **10.1016/j.jmst.2021.11.061**
- [37] Mirzaee M, Seif A, Rashidi A, Silvestrelli PL, Zhou Z, Pourhashem S, et al. Investigating the effect of PDA/KH550 dual functionalized h-BCN nanosheets and hybridized with ZnO on corrosion and fouling resistance of epoxy coating: Experimental and DFT studies. *Journal of Environmental Chemical Engineering*. 2022;10(6):108746. doi: **10.1016/j.jece.2022.108746**
- [38] Gruere GP, Narrod CA, Abbott L. Agriculture, food, and water nanotechnologies for the poor: Opportunities, constraints, and role of the Consultative Group on International Agricultural Research. Netherlands: IFPRI Discussion Paper 1064; 2011.
- [39] Gajanan K, Tijare S. Applications of nanomaterials. *Materialstoday: Proceedings*. 2018;5(1):1093-6. doi: **10.1016/j.matpr.2017.11.187**
- [40] Chen C, Zhou Y, Fang H, Peng X, Jiang L. Progress and challenges in energy storage and utilization via ammonia. *Surface Science and Technology*. 2023;1(1):13. doi: **10.1007/s44251-023-00013-6**
- [41] Peralta-Videa JR, Zhao L, Lopez-Moreno ML, de la Rosa G, Hong J, Gardea-Torresdey JL. Nanomaterials and the environment: A review for the biennium 2008–2010. *Journal of hazardous materials*. 2011;186(1):1-15. doi: **10.1016/j.jhazmat.2010.11.020**
- [42] Ghasemzadeh G, Momenpour M, Omidi F, Hosseini MR, Ahani M, Barzegari A. Applications of nanomaterials in water treatment and environmental remediation. *Frontiers of Environmental Science & Engineering*. 2014;8:471-82. doi: **10.1007/s11783-014-0654-0**
- [43] Ostadi M, Paso KG, Rodriguez-Fabia S, Ørle, Manenti F, Hillestad M. Process integration of green hydrogen: Decarbonization of chemical industries. *Energies*. 2020;13(18):4859. doi: **10.3390/en13184859**
- [44] Dagdougui H. Models, methods and approaches for the planning and design of the future hydrogen supply chain. *International Journal of Hydrogen Energy*. 2012;37(6):5318-27. doi: **10.1016/j.ijhydene.2011.08.041**
- [45] Froudakis GE. Hydrogen storage in nanotubes & nanostructures. *Materials Today*. 2011;14(7-8):324-8. doi: **10.1016/S1369-7021(11)70162-6**
- [46] Sakintuna B, Lamari-Darkrim F, Hirscher M. Metal hydride materials for solid hydrogen storage: A review. *International Journal of Hydrogen Energy*. 2007;32(9):1121-40. doi: **10.1016/j.ijhydene.2006.11.022**
- [47] Bouaricha S, Dodelet J, Guay D, Huot J, Boily S, Schulz R. Hydriding behavior of Mg-Al and leached Mg-Al compounds prepared by high-energy ball-milling. *Journal of Alloys and Compounds*. 2000;297(1-2):282-93. doi: **10.1016/j.ijhydene.2006.11.022**

- [48] Glenk G, Reichelstein S. Economics of converting renewable power to hydrogen. *Nature Energy.* 2019;4(3):216-22. doi: [10.1038/s41560-019-0326-1](https://doi.org/10.1038/s41560-019-0326-1)
- [49] Adnan N, Nordin SM, Bahrudin MA, Tareq AH. A state-of-the-art review on facilitating sustainable agriculture through green fertilizer technology adoption: Assessing farmers behavior. *Trends in Food Science & Technology.* 2019;86:439-52. doi: [10.1016/j.tifs.2019.02.040](https://doi.org/10.1016/j.tifs.2019.02.040)
- [50] Ahmed A, He P, He P, Wu Y, He Y, Munir S. Environmental effect of agriculture-related manufactured nano-objects on soil microbial communities. *Environment international.* 2023;173:107819. doi: [10.1016/j.envint.2023.107819](https://doi.org/10.1016/j.envint.2023.107819)
- [51] ul Ain Q, Hussain HA, Zhang Q, Rasheed A, Imran A, Hussain S, et al. Chapter thirteen- Use of nano-fertilizers to improve the nutrient use efficiencies in plants. In: Aftab T, Hakeem KR, editors. Sustainable plant nutrition. US: Academic Press 2023. p. 299-321. doi: [10.1016/B978-0-443-18675-2.00013-4](https://doi.org/10.1016/B978-0-443-18675-2.00013-4)
- [52] Tamhankar S, Green hydrogen by pyroreforming of glycerol. In: Hydrogen Systems: Enabling Energy Solutions. 19<sup>th</sup> World Hydrogen Energy Conference; 2012 Jun 3-7; Toronto, Canada. Elsevier Procedia; 2013.
- [53] Palys MJ, Daoutidis P. Optimizing renewable ammonia production for a sustainable fertilizer supply chain transition. *ChemSusChem.* 2023;16(22):e202300563. doi: [10.1002/cssc.202300563](https://doi.org/10.1002/cssc.202300563)
- [54] Dubas ST, Pimpan V. Green synthesis of silver nanoparticles for ammonia sensing. *Talanta.* 2008;76(1):29-33. doi: [10.1016/j.talanta.2008.01.062](https://doi.org/10.1016/j.talanta.2008.01.062)
- [55] Qureshi S, Mumtaz M, Chong FK, Mukhtar A, Saqib S, Ullah S, et al. A review on sensing and catalytic activity of nano-catalyst for synthesis of one-step ammonia and urea: Challenges and perspectives. *Chemosphere.* 2022;291:132806. doi: [10.1016/j.chemosphere.2021.132806](https://doi.org/10.1016/j.chemosphere.2021.132806)
- [56] Valente A, Iribarren D, Dufour J. Life cycle assessment of hydrogen energy systems: A review of methodological choices. *The International Journal of Life Cycle Assessment.* 2017;22:346-63. doi: [10.1007/s11367-016-1156-z](https://doi.org/10.1007/s11367-016-1156-z)
- [57] Peng B, Tang J, Luo J, Wang P, Ding B, Tam KC. Applications of nanotechnology in oil and gas industry: Progress and perspective. *The Canadian Journal of Chemical Engineering.* 2018;96(1):91-100. doi: [10.1002/cjce.23042](https://doi.org/10.1002/cjce.23042)
- [58] Singh R, Altaee A, Gautam S. Nanomaterials in the advancement of hydrogen energy storage. *Heliyon.* 2020;6(7):e04487. doi: [10.1016/j.heliyon.2020.e04487](https://doi.org/10.1016/j.heliyon.2020.e04487)
- [59] Zhao G, Nielsen ER, Troncoso E, Hyde K, Romeo JS, Diderich M. Life cycle cost analysis: A case study of hydrogen energy application on the Orkney Islands. *International Journal of Hydrogen Energy.* 2019;44(19):9517-28. doi: [10.1016/j.ijhydene.2018.08.015](https://doi.org/10.1016/j.ijhydene.2018.08.015)
- [60] Heijungs R. Chain management by life cycle assessment (CMLCA). *Journal of Environmental Science and Sustainable Development.* 2003;3:1-29. doi: [org/10.7454/jessd.v3i1.1045](https://doi.org/10.7454/jessd.v3i1.1045)
- [61] Ajanovic A, Sayer M, Haas R. The economics and the environmental benignity of different colors of hydrogen. *International Journal of Hydrogen Energy.* 2022;47(57):24136-54. doi: [10.1016/j.ijhydene.2022.02.094](https://doi.org/10.1016/j.ijhydene.2022.02.094)
- [62] Muradov NZ, Veziroğlu TN. “Green” path from fossil-based to hydrogen economy: An overview of carbon-neutral technologies. *International Journal of Hydrogen Energy.* 2008;33(23):6804-39. doi: [10.1016/j.ijhydene.2008.08.054](https://doi.org/10.1016/j.ijhydene.2008.08.054)
- [63] Dash SK, Chakraborty S, Roccotelli M, Sahu UK. Hydrogen fuel for future mobility: Challenges and future aspects. *Sustainability.* 2022;14(14):8285. doi: [10.3390/su14148285](https://doi.org/10.3390/su14148285)

## ستنتز نانوچندسازه نیکل- مس به عنوان یک ماده آندی کارآمد در پیل سوختی الکلی به کمک تابش ریزموج برای اکسایش الکتروکاتالیستی متانول

محمدعلی کامیابی<sup>۱\*</sup> و بابک جلیلیان<sup>۲</sup>

۱. استاد تمام گروه شیمی، دانشکده علوم، دانشگاه زنجان، زنجان، ایران.

۲. دانشجوی کارشناس ارشد گروه شیمی، دانشکده علوم، دانشگاه زنجان، زنجان، ایران.

دریافت: مرداد ۱۴۰۲ بازنگری: اسفند ۱۴۰۳ پذیرش: اسفند ۱۴۰۳



DOI: 10.30495/JACR1.1403.1044398

### چکیده

در این مطالعه، نانوچندسازه‌های دو فلزی نیکل - مس و کاهش گرافن اکسید به طور همزمان با به کارگیری تابش ریزموج ستنتز و کارایی کاتالیستی آن‌ها بررسی شد. روش ستنتز پیشنهادی یک فرایند ساده، سریع و قابل واپاپیش بشمار می‌رود. رفتار الکتروشیمیایی کاتالیست ستنتزشده برای واکنش اکسایش متانول (MOR) در محیط قلایی بررسی شد. اثر ملامین بر فعالیت الکتروکاتالیستی نمونه ستنتزشده با روش‌های آمپرولت‌سنجدی چرخه‌ای (CV)، زمان-آمپرسنجدی (CA) و طیف‌سنجدی رهبندي الکتروشیمیایی (EIS) مطالعه شد. استفاده از ملامین به عنوان منبع نیتروژن برای دوپه‌شدن نیتروژن در شبکه گرافن اکسید کاهش یافته تا حدی منجر به تشکیل ساختارهای NiCu-N شد. این پیوند فلز-نیتروژن موجب افزایش فعالیت کاتالیستی نسبت به MOR شد. اثر ملامین با افزایش ۲۰۳ میکروآمپری در جریان و کاهش ۲۰ میلی‌oltی در پتانسیل شروع در مقایسه با سایر کاتالیست‌های شاهد ستنتزشده در طی فعالیت MOR، تایید شد. نتیجه‌ها نشان‌دهنده کارایی عالی کاتالیست ستنتزشده به عنوان آند در پیل سوختی مستقیم متانول بود.

**واژه‌های کلیدی:** پیل سوختی، تابش ریزموج، اکسایش الکتروکاتالیستی متانول، بسیار رسانا، ملامین.

دست‌آمده از فناوری‌های فعلی تولید انرژی به‌علت احتراق، مضر برای محیط‌زیست هستند و منجر به سیاری از نگرانی‌های جامعه جهانی از جمله تغییرهای آب‌وهوا، تخریب لایه اوزون و باران‌های اسیدی می‌شوند، درحالی که پیل‌های سوختی سازوکار کارآمد و پاک برای تبدیل انرژی ارائه می‌کنند. افزون‌براین، پیل‌های سوختی برای توسعه پایدار و امنیت انرژی با منابع

### مقدمه

پیل سوختی دستگاهی الکتروشیمیایی است که انرژی شیمیایی را بدون واسطه به انرژی الکتریکی تبدیل می‌کند. پیل‌های سوختی نسبت به منابع انرژی سنتی مانند موتورهای احتراق داخلی و باتری‌ها مزایای بسیاری دارند. آن‌ها بسیار کارآمد هستند و آلودگی بسیار کمی منتشر می‌کنند. مواد به-

نیکل بهدلیل رسانایی بالا و فعالیت الکتروکاتالیستی مناسب و مس بهدلیل پایداری الکتروشیمیابی بالا و مقاومت بالا در برابر مسومومیت، گرینه‌های خوبی برای واکنش MOR هستند [۱۳ و ۱۴]. در مقایسه با روش‌های معمول برای تهیه نانوذره‌های فلزی، مانند روش‌های الکتروترسیب هم‌زمان متداول [۱۵ و ۱۶] یا روش آب گرمایی [۱۷]، روش استفاده از تابش ریزموج اقتصادی و قابل‌وایش‌تر است و از ایجاد گرادیان‌های گرمایی جلوگیری و یک محیط یکنواخت برای واکنش فراهم می‌کند. از این‌رو، ریخت نانوذره‌های فلزی تهیه شده با این روش، یکنواخت و قابل‌وایش است [۱۸ و ۱۹]. از دیگر مزایای این روش، می‌توان به زمان کوتاه‌تر واکنش، بازده بالا، خلوص فراورده، کاهش مواد خطرناک، نانوساختارهایی با اندازه‌های کوچک‌تر و توزیع اندازه‌های یکنواخت‌تر اشاره کرد که امروزه بسیار مورد توجه هستند [۱]. در این پژوهش، با به‌کارگیری تابش ریزموج، نانوچندسازه‌های نیکل‌مس و گرافن اکسید کاهش‌یافته، سنتر شدند. در واقع کاهش یون‌های فلزی نیکل و مس هم‌زمان با کاهش گرافن اکسید در حلال اتیلن گلیکول، انجام و در حضور ملامین ( $\text{Me}^\ominus$ )، نانوچندسازه مربوط تهیه و کارایی آن برای اکسایش الکتروکاتالیستی متابول در محیط قلیایی بررسی شد. ملامین‌بهعنوان یک منع غنی از نیتروژن بهصورت‌های متفاوتی برای اصلاح سطح الکترود استفاده شد. پلی‌لامین، بهعنوان یک بسپار رسانا، شامل گروه‌های آمین و یک حلقه بنزن است که محل‌های پیوند برای جذب و انباست آنالیت‌ها را فراهم می‌کند و موجب بهبود حساسیت می‌شود [۲۰ تا ۲۲]. در این مطالعه، از ملامین برای دوپه‌کردن نیتروژن در ساختار گرافن اکسید کاهش‌یافته ( $\text{rGO}^\ominus$ ) استفاده و نقش ملامین با تهیه نمونه‌های شاهد مشخص شد.

### بخش تجربی

#### مواد شیمیابی

تجددی‌پذیر و خوارک‌های انرژی مدرن (برای مثال، هیدروژن) سازگار هستند. در اصل، پلی‌سوختی وسیله‌ای است که سوخت و اکسنده پیوسته به آن وارد می‌شود و جریان الکتریکی از آن به‌دست می‌آید. تفاوت آن با باتری در این است که باتری‌ها حاوی تمام واکنش‌دهنده‌های شیمیابی در ابتدا هستند و جریان الکتریکی از برهم‌کنش‌های مواد داخل باتری به‌دست می‌آید. بنابراین، پس از تخلیه الکتریکی، باتری نیاز به باردارشدن دارد. تفاوت پلی‌سوختی با مولدهای برق مورداستفاده در منازل و صنعت در این است که یک پلی‌سوختی می‌تواند به‌گونه‌ای طراحی شود که هیچ آلاینده‌ای در هوا منتشر نکند، نیازی به خنک‌کننده یا آب تغذیه نداشته باشد و بی‌صدای و ارزان‌تر از مولد برق کار کند. پلی‌های سوختی برای کاربردهایی مانند منابع انرژی کمکی در فضایپماها و زیردریایی‌ها یا سایر وسایل نقلیه نظامی، جایگزینی مناسب برای مولدهای بتزینی و دیزلی و موتورهای خودرو هستند [۱]. در نتیجه، آن‌ها به عنوان دستگاه‌های تبدیل انرژی در آینده در نظر گرفته می‌شوند [۲ و ۳]. پلی‌های سوختی متابولی مستقیم (DMFC) به‌دلیل دمای پایین عملیاتی، راه‌اندازی به‌نسبت سریع و چگالی توان بالا، منبع انرژی امیدوارکننده‌ای برای کاربردهای متفاوت هستند. واکنش اکسایش متابول (MOR)، واکنش کلیدی در DMFC است [۴ تا ۶]. متابول به‌دلیل مزایای متفاوت، مانند انرژی ویژه برتر، قیمت مقرر به‌صرفه و حالت فیزیکی مایع که به‌طورروشن ایمنی کارکردی سامانه را تعیین می‌کند، بیش از پلی‌های سوختی دیگر، مورد توجه است [۱۰]. نانومواد مبتنی بر پلاتین در درجه اول به عنوان الکتروکاتالیست‌های آندي برای اکسایش متابول استفاده می‌شوند. با این حال، هزینه بالا، مسومومیت سریع کاتالیست، سینتیک به‌نسبت کند و پایداری کم الکتروکاتالیست‌های مبتنی بر پلاتین به‌شدت مانع تجاری‌سازی بیشتر سلول‌های سوختی هستند [۱۱ و ۱۲]. همچنین، گزارش‌های پژوهش‌ها نشان می‌دهد که کاتالیست‌های مبتنی بر

1. Direct methanol fuel cell

3. Melamine (Me)

2. Methanol oxidation reaction

4. Reduced graphene oxide (rGO)

تهیه نانوذرهای نیکل و مس و گرافن اکسید کاهاش یافته برای اجیای همزمان گرافن اکسید و نانوذرهای فلزی نیکل و مس، در مرحله اول، ۵ میلیگرم GO در ۵ میلیلتر حلal آلی اتیلن گلیکول در یک بشرکوچک ریخته و ۰/۱۵ میلیمول از هر یک از نمکهای نیکل (NiSO<sub>4</sub>.6H<sub>2</sub>O) به مقدار ۳۹/۵ میلیگرم) و مس (CuSO<sub>4</sub>. 5H<sub>2</sub>O به مقدار ۳۷/۵ میلیگرم) به آن افزوده شد و با امواج فراصوت مخلوط همگنی به دست آمد. سپس، این مخلوط با دستگاه ریزموچ خانگی (۲۴۵۰ مگاهرتز، ۸۵۰ وات) در ۵ نوبت به مدت ۶۰ ثانیه در ۸۵۰ وات گرمادهی و اجازه داده شد تا در دمای محیط آزمایشگاه سرد شود. پس از آن، مخلوط صاف و رسوب سیاه به دست آمده چندین بار با اتانول و آب مقطر شسته و در دمای ۵۰ درجه بسته باری خشک شد. در مرحله دوم، از ترکیب ملامین به عنوان سلسیوس خشک شد. در مرحله سوم، از ترکیب گرافن اکسید منبع نیتروژن برای دوپه شدن نیتروژن در شبکه گرافن اکسید کاهاش یافته استفاده شد؛ بدین ترتیب که پودرهای Ni-Cu/rGO بدست آمده و ۲ میلیگرم ملامین با ۷ میلیلتر اتیلن کل در حمام فراصوت همگن و سپس در آون با دمای ۵۰ درجه سلسیوس خشک شدند. در پایان پودر به دست آمده در دمای ۳۵۰ درجه سلسیوس به مدت سه ساعت در کوره گرمادهی شد و پودر سیاه کاتالیست Ni-Cu/N-rGO به دست آمد. روش سنتر پیشنهادی با تابش ریزموچ موثر و سریع است. در واقع در حال اتیلن گلیکول گرافن اکسید به گرافن اکسید کاهاش یافته تبدیل و به طور همزمان و در یک مرحله با نانوذرهای نیکل و مس کاهاش یافته، اصلاح شد [۴ و ۲۶]. برای مشخص شدن اثر نانوذرهای فلزی در اکسایش الکتروکاتالیستی متابول، الکتروود دیگر با استفاده از نانوذرهای نیکل با همین روش تهیه شد که با اختصار به صورت Ni/N-rGO نمایش داده شد. همچنین، برای مشخص شدن اثر ملامین، الکتروود شاهدی بدون استفاده از ملامین تهیه و به اختصار به صورت Ni-Cu/rGO نمایش داده شد. برای مشخص شدن زمان افزودن ملامین، الکتروود شاهد دیگری تهیه

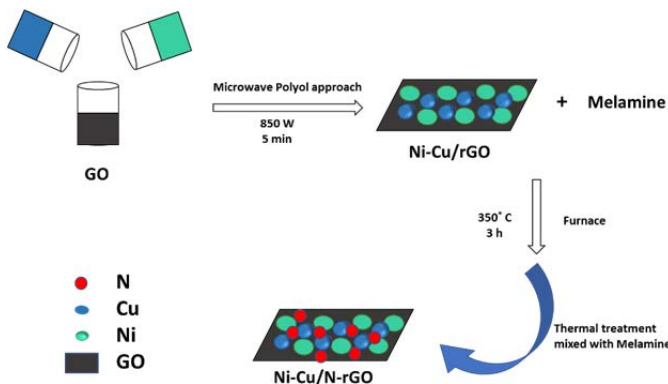
متانول (۹۹/۶٪)، اتیلن گلیکول، اتانول (۹۶٪)، NaOH (۹۶٪)، H<sub>2</sub>SO<sub>4</sub> (۹۵٪ تا ۹۷٪)، NiSO<sub>4</sub>.7H<sub>2</sub>O و CuSO<sub>4</sub>.5H<sub>2</sub>O با خلوص آزمایشگاهی از شرکت مرک بودند. همه مواد بدون خالص سازی بیشتر و محلول های آبی با دوبار تقطیر در سراسر آزمایش ها استفاده شدند.

#### دستگاه ها

اندازه گیری های الکتروشیمیایی در یک سلول الکتروشیمیایی مجهر به الکتروود کار (الکتروود کربن شیشه ای اصلاح شده با قطر ۲ میلی متر)، سیم پلاتین به عنوان الکتروود کمکی و Ag/AgCl به عنوان الکتروود مرجع انجام شد. روش های الکتروشیمیایی مانند آمپرولت سنجی چرخه ای (CV)، زمان- آمپرسنجی (CA) و طیف سنجی رهیاندی الکتروشیمیایی Smart Manager ZIVE LAB و نرم افزار EIS (EIS) با دستگاه ۶.۶.۴.۰ انجام شد. بررسی ساختار نانو کاتالیست با پراش پرتو ایکس (XRD)، PHILIPS PW 1730، هلند، تابش (Cu Ka) مشخص شد.

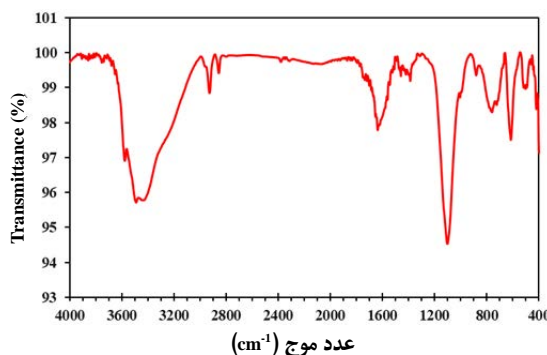
تهیه الکتروشیمیایی گرافن اکسید GO پودر گرافن اکسید از راه یک فرایند الکتروشیمیایی بدون واکنش جانی، سبز و مقرن به صرفه با لایه برداری الکتروشیمیایی الکتروود گرافیت با تری خشک معمولی در الکتروولت آبی H<sub>2</sub>SO<sub>4</sub> تهیه شد [۲۳]. به طور خلاصه، یک پیل الکتروشیمیایی دو الکتروودی برای لایه برداری الکتروشیمیایی مغز با تری راه اندازی شد که مغز گرافیتی با تری به عنوان آند و سیم پلاتین به عنوان کاتد در طول فرایند لایه برداری الکتروشیمیایی استفاده شد. یک پتانسیل ثابت ۲/۵ ولت در ابتدا در دو الکتروود به مدت ۱۰ دقیقه اعمال شد. پتانسیل الکتروود پس از آن به ۱۰ ولت افزایش و به مدت ۱۰ دقیقه حفظ شد. پودر گرافن اکسید لایه برداری شده با اتانول و آب یون زدوده شسته و با گریزانه جدا و بدون عملیاتی دیگر جمع آوری و در دمای ۵۰ درجه سلسیوس خشک شد.

شد که ملامین در ابتدا به همراه سنتز نانوذره‌های فلزی در سنتز به کار برده شد که به صورت Ni-Cu/N/rGO نمایش داده شد.



شکل ۱ طرح‌واره سنتز کاتالیست

گستره  $4000$  تا  $400$   $\text{cm}^{-1}$  می‌شود که نشان‌دهنده وجود نانوذره‌های اکسیدهای فلزی مس و نیکل موجود در نمونه است [۲۸].



شکل ۲ طیف FTIR نانوکاتالیست سنتز شده

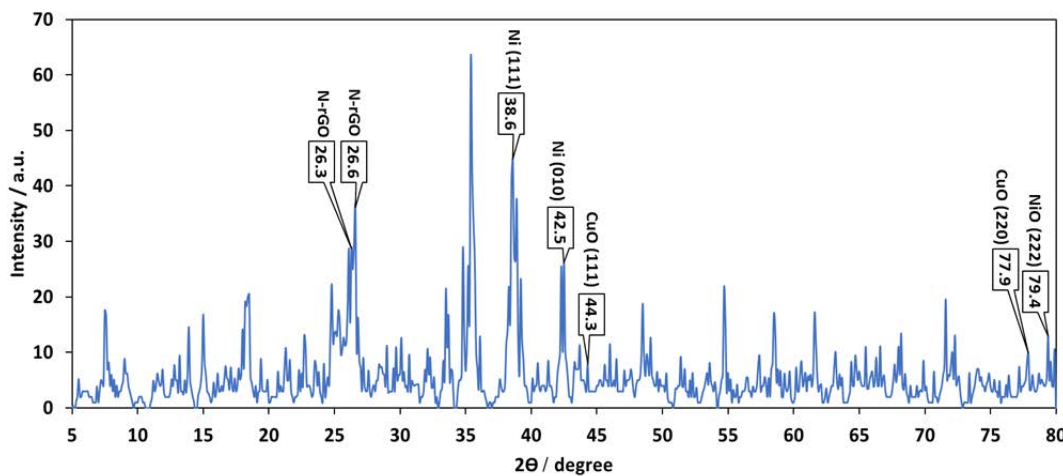
برای بررسی ساختار نمونه سنتز شده، پراش پرتو ایکس (XRD) به کار گرفته شد. شکل ۳ الگوی پراش به دست آمده برای کاتالیست سنتز شده با نانوذره‌های نیکل–مس در  $2\theta$  بین  $5$  تا  $80$  درجه را نشان می‌دهد. در الگوی به دست آمده قله‌های مربوط به صفحه‌های لابه‌های گرافن اکسید کاهش یافته و نیتروژن متصل به آن در زوایای  $26.6^\circ$  و  $26.3^\circ$  پدیدار می‌شوند [۳]. قله‌های پدیدار شده در  $2\theta$  برابر با  $38.6^\circ$  و  $42.5^\circ$  مربوط به

## نتیجه‌ها و بحث

بررسی ویژگی‌های الکتروکاتالیست سنتز شده شکل ۲ طیف FTIR کاتالیست Ni-Cu/N-rGO را نشان می‌دهد. در گستره  $3100$  تا  $3600$   $\text{cm}^{-1}$ ، یک نوار دوتایی پهن مشاهده می‌شود که نشان‌دهنده ارتعاش‌های کششی مربوط به N-H آمین نوع اول و O-H رطوبت نمونه با هم است. وجود آمین نوع اول با توجه به ساختار ملامین مورد تایید است. همچنین، حضور N-H در ساختار می‌تواند به صورت یک رابط عرضی بین مواد تشکیل‌دهنده و دو اکسید فلز باشد. نوار مشاهده شده در  $2922 \text{ cm}^{-1}$  مربوط به ارتعاش کششی C-H آلفاگیک، نوارهای گستره  $1646$  تا  $1653 \text{ cm}^{-1}$  و ناحیه  $1600$  بهترتیب مربوط به ارتعاش خمی آمین نوع اول و کششی C=C حلقه آروماتیکی هستند. از این دو نوار می‌توان نتیجه گرفت که نیتروژن در ساختار و حلقه آروماتیک وجود دارد. نوار  $1099 \text{ cm}^{-1}$  مربوط به C-N در  $\text{C}_2\text{H}_2$  است که با نوارهای دیگر آمین هم مورد تایید است [۲۷]. با توجه به ساختار نمونه سنتز شده، می‌توان در نظر گرفت که هیدروکسیدهای فلزی در حفره‌های کربنی قرار دارند. ناحیه  $690$  تا  $900 \text{ cm}^{-1}$  نیز مربوط به C-H خمی خارج صفحه آروماتیک است. ارتعاش فلز-اکسیژن موجب ایجاد نوارهایی در

سنتر نانوچندسازه نیکل- مس به عنوان یک ماده آندی کارآمد در پیل سوختی ...

صفحه‌های ۱۱۱ و ۱۰۰ شبکه نیکل است و زاویه  $79.4^\circ$  مربوط به صفحه ۲۲۲ نیکل اکسید است. قله‌ها در زوایای  $44.3^\circ$  و  $47.8^\circ$  صفحه‌های ۱۱۱ و ۲۲۰ مس اکسید را نشان می‌دهند.



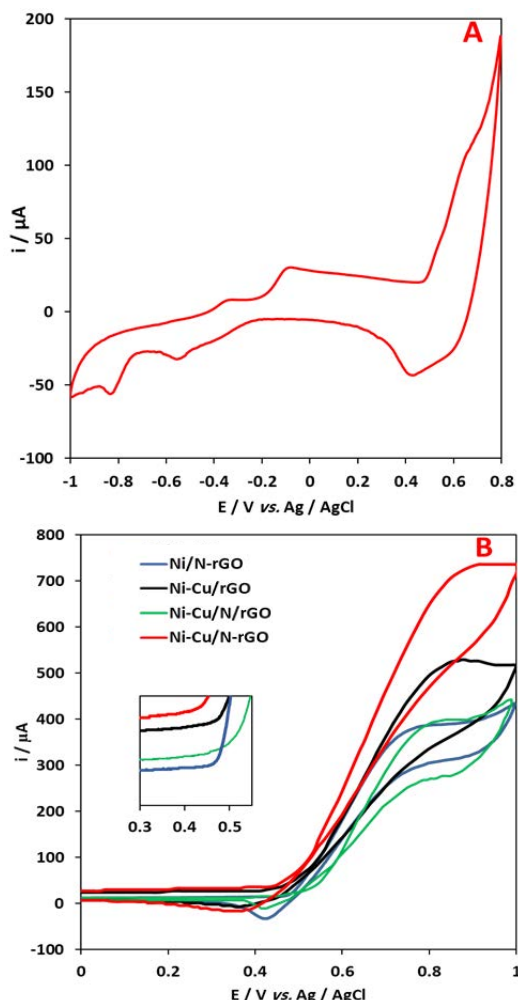
شکل ۳ الگوی XRD کاتالیست سنتز شده

بیشتر از جریان بر سطح الکتروکاتالیست‌های شاهد یعنی Ni/N-  
Ni/N-rGO و Ni-Cu/rGO با چگالی جریان‌های  
۳۸۳، ۵۳۴ و ۳۹۵ میکروآمپر است. افزون‌براین، پتانسیل شروع در  
نمودار ولت‌امپرسنجی اکسایش متابول برای الکترود اصلاح شده  
Ni-Cu/N-rGO برابر  $0.43^\circ$  ولت که منفی‌تر از سایر الکترودهای  
Ni-Cu/N/rGO و Ni-Cu/rGO با پتانسیل شروع  $0.46^\circ$  و  $0.48^\circ$  ولت است. جریان آندی بیشتر و پتانسیل شروع  
منفی‌تر برای اکسایش متابول نشان دهنده فعالیت الکتروکاتالیستی  
بهتر الکترکاتالیست سنتزی Ni-Cu/N-rGO نسبت به سایر  
حالات است. افزایش قابل توجه در فعالیت الکتروکاتالیستی  
اکسایش متابول روی سطح الکترود Ni-Cu/N-rGO نسبت به  
فعالیت‌های الکترودهای اصلاح شده Ni-Cu/rGO، Ni/rGO و  
Ni-Cu/N-rGO نشان دهنده فعالیت موثر نانوذره‌های  
و نیتروژن-دوپه شده با ملامین در گرافن اکسید کاهش یافته است که می‌تواند عملکرد الکتروکاتالیستی را با تأثیر هم‌افزایی  
کاتالیستی نانوذره‌های Ni-Cu و N برای MOR فراهم کند.

بررسی الکتروشیمی کاتالیست سنتز شده شکل ۴، نمودارهای ولت‌امپرسنجی الکترودهای اصلاح شده در حضور و غیاب متابول را نشان می‌دهد. با توجه به شکل A-۴ که جریان زمینه کاتالیست Ni-Cu/N-rGO را نشان می‌دهد، براساس قله‌های آندی در حدود پتانسیل  $-0.3^\circ$  و  $-0.1^\circ$  ولت مربوط به مس اکسید و در پتانسیل حدود  $-0.65^\circ$  ولت مربوط به نیکل اکسید، حضور این دو نانوذره‌های فلزی مس و نیکل در ساختار کاتالیست سنتز شده اصلاح شده برای کاتالیز اکسایش الکتروکاتالیستی این الکترود اصلاح شده می‌شود. فعالیت متابول در  $0.18^\circ$  مولار NaOH، مولار متابول مورد بررسی قرار گرفت. شکل B-۴ افزایش جریان که از ویژگی‌های شناخته شده اکسایش متابول روی سطح الکتروکاتالیست است را نشان می‌دهد. به عنوان یک واکنش واپاپیش شده سیستیکی، فعالیت اکسایش متابول را می‌توان با اندازه‌گیری پیک آندی نشان داد. جریان پیک آندی اکسایش متابول بر روی سطح این الکتروکاتالیست،  $(Ni-Cu/N-rGO)$ ، ۷۳۷ میکروآمپر است که

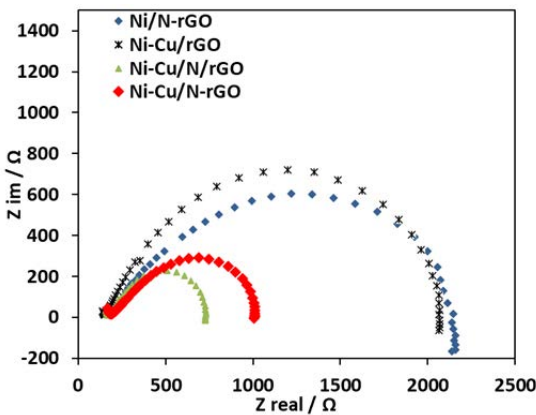
همچنین، همان‌طور که در بخش روش کار و تهیه کاتالیست در بالا ذکر شد، از ملامین به دو روش برای این منظور به کار گرفته شد که با نمادهای Ni-Cu/N-rGO (حالتی که ملامین در آخرین مرحله سنتر افزوده شده است) و Ni-Cu/rGO (که ملامین از ابتدا با نانوگرافن کاهش یافته به کار برد شده است). نتیجه‌ها نشان می‌دهد که حالت اول یعنی حالتی که ملامین در آخرین مرحله به سامانه افزوده می‌شود بیشترین کارایی را دارد (شکل ۴). مطالعه فعالیت الکتروشیمیایی نمونه‌های ساخته شده با تابش ریزموج انجام و پایداری آن‌ها با روش زمان-آمپرسنجی بررسی شد. پایداری نمونه‌ها در محلول سدیم هیدروکسید ۰/۱ مولار حاوی ۰/۱۸ مولار متانول در پتانسیل ثابت ۰/۷ ولت بررسی شد. شکل ۵ نمودارهای زمان-آمپرسنجی اکسایش متانول روی الکترود اصلاح شده با الکتروکاتالیست‌های متفاوت سنتز شده بر بستر گرافن اکسید کاهش یافته را نشان می‌دهد. افت ناگهانی جریان پس از چند ثانیه اولیه به دلیل پایین آمدن غلظت آنالیت در سطح الکترود اصلاح شده است و در ادامه پدیده نفوذ آنالیت به سطح الکترود است که فرایندی یکنواخت است. پس از آن، جریان در یک گرادیان به نسبت ثابت و کمتر ادامه می‌یابد که نشان‌دهنده پایداری الکتروکاتالیست‌های تهیه شده در برابر سومیت به دست آمده از اکسایش متانول است. مقایسه نمودار مربوط به Ni-Cu/N-rGO با نمودار مربوط به Ni-Cu/rGO نشان می‌دهد که سرعت کاهش جریان برای Ni-Cu/N-rGO کندر از سایرین است. همچنین، حالت پایدار آن، جریان بالاتری دارد. این نتیجه به دلیل اثر هم‌افزایی نیتروژن با منبع ملامین و نانوذره‌های فلزی نیکل و مس است که در سنتز این الکتروکاتالیست استفاده شده است.

نقش ملامین در افزایش جریان و پتانسیل شروع منفی‌تر اکسایش الکتروکاتالیستی متانول با مقایسه دو نمودار ولت‌آمپرسنجی الکترود اصلاح شده با Ni-Cu/N-rGO و حالتی که ملامین ندارد یعنی Ni-Cu/rGO به طور مشخص در شکل ۴ واضح است.



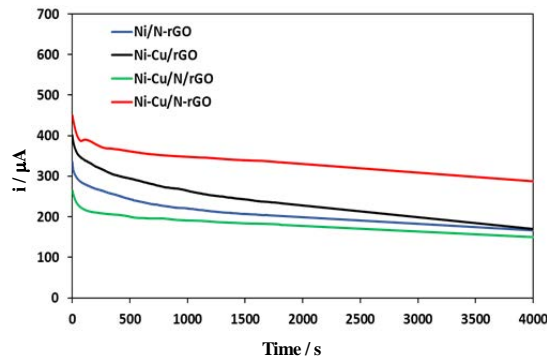
شکل ۴ نمودارهای ولت‌آمپرسنجی چرخه‌ای در جریان زمینه Ni-Cu/N-rGO در سدیم هیدروکسید ۰/۱ مولار (A) و در حضور متانول ۰/۱۸ مولار + سود ۰/۱ مولار برای الکترودهای اصلاح شده (B) Ni-Cu/N-rGO و Ni-Cu/N/rGO و Ni-Cu/rGO و Ni/N-rGO با سرعت جاروب ۱۰۰ میلی‌ولت بر ثانیه

(Ni-Cu/N/rGO) است که تاییدی بر نتیجه‌های اثر الکتروکاتالیستی و پایداری بررسی شده در این مطالعه است. نقش نانوذرهای مس در افزایش رسانایی سامانه را نیز به خوبی می‌توان از مقایسه نمودار نایکوئیست الکترود اصلاح شده با نانوذرهای نیکل (بدون استفاده از نانوذرهای مس) یعنی Ni/N-rGO با حالت‌های دیگر مشاهده کرد. همان‌طور که از شکل ۶ مشاهده می‌شود این الکترود اصلاح شده، بیشترین مقاومت سطح را دارد. بررسی رفتار الکتروکاتالیستی و پایداری این الکترود نشان داد که فعالیت الکتروکاتالیستی و پایداری آن نسبت به حالت‌های دیگر کمتر است. شکل ۶ همچنین، اثر و نقش مرحله افزودن ملامین را به خوبی نمایش می‌دهد.



شکل ۶ نمودار نایکوئیست کاتالیست‌های سنتز شده Ni/N-rGO و Ni-Cu/rGO و Ni-Cu/N/rGO و Ni-Cu/N-rGO در متابول ۰/۱۸ مولار و سدیم هیدروکسید ۰/۱ مولار در پتانسیل اعمال شده ۰/۷ ولت

الکترود اصلاح شده‌ای که ملامین در مرحله آخر به سامانه افزوده شده است، Ni-Cu/N-rGO، بهتر از حالتی است که ملامین از ابتدا به سامانه افزوده شده است، Ni-Cu/N-rGO که به احتمال حضور ملامین در مرحله اول سنتز منجر به پوشیده شدن گرافن اکسید کاهش یافته می‌شود و



شکل ۵ نمودارهای زمان-آمپرسنجی کاتالیست‌های Ni/N-rGO و Ni-Cu/rGO و Ni-Cu/N/rGO و Ni-Cu/N-rGO در متابول ۰/۱۸ مولار و سدیم هیدروکسید ۰/۱ مولار در پتانسیل اعمال شده ۰/۷ ولت

طیفسنجی رهیندی الکتروشیمیایی (EIS) برای مطالعه سطح الکترودهای اصلاح شده با کاتالیست‌های سنتزی استفاده شد. درک سرعت انتقال الکترون و مکان‌های الکتروفعال و همچنین، فعالیت ذاتی سطح یک الکتروکاتالیست از نکات مهمی است که با بررسی و تفسیر نمودار نایکوئیست<sup>۲</sup> طیفسنجی رهیندی الکتروشیمیایی کاتالیست به دست می‌آید [۲۹ و ۳۰]. شکل ۶ مقایسه‌ای بین نمودار نایکوئیست الکتروکاتالیست‌های آماده شده در پتانسیل ۰/۶ ولت را نشان می‌دهد. رفتار رهیندی الکتروشیمیایی الکتروکاتالیست‌ها در محلول سدیم هیدروکسید ۰/۱ مولار حاوی ۰/۱۸ مولار متابول بررسی شد. سرعت انتقال بار و نفوذپذیری الکتروولیت از عامل‌های مفیدی هستند که با این مطالعه قابل تشخیص هستند. با توجه به این شکل نقش موثر اجزا و ترتیب ترکیب سنتز شده در مقاومت انتقال بار، در ارتقای رسانایی الکترود اصلاح شده با Ni-Cu/N-rGO نسبت به سایر حالت‌ها مشخص است. بر پایه نمودار نایکوئیست طیفسنجی رهیندی الکتروشیمیایی (شکل ۶)، مقاومت سطحی الکترود اصلاح شده با ترکیب Ni-Cu/N-rGO، قطر نیم‌دایره نمودار نایکوئیست، کمتر از سایر الکتروکاتالیست‌های تهیه شده (Ni Cu/rGO, Ni/N-rGO, Ni/N-rGO) و

1. Electrochemical impedance spectroscopy (EIS)

2. Nyquist

نیتروژن دوپه شده فراوان و نانوذره های NiCu-N به عنوان مکان های کاتالیستی فعال، فعالیت و دوام عالی برای MOR در محیط های قلیایی را نشان داد. اثرهای هم افزایی کاتالیستی نیکل، مس و نیتروژن دوپه شده بر گرافن اکسید کاهش یافته موجب می شود که Ni-Cu/N-rGO فعالیت الکترو کاتالیستی و پایداری عالی را نشان دهد. در تهیه این کاتالیست از فلزهای ارزان قیمت استفاده شد که می تواند جایگزین مناسبی برای کاتالیست های مبتنی بر فلزهای نجیب باشد و توسعه فناوری های مبتنی بر ذخیره و تبدیل انرژی های تجدید پذیر را ارتقاء دهد.

درنتیجه کاهش رسانایی سامانه می شود. این نتیجه نیز موافق با نتیجه های بخش های پیشین این مطالعه است و همگی تایید می کنند که الکترود اصلاح شده، Ni-Cu/N-rGO، بهترین حالت برای اکسایش الکترو کاتالیستی متابول است.

### نتیجه گیری

به طور خلاصه، سنتز نانو چند سازه جدید Ni-Cu/N-rGO برای اکسایش الکترو کاتالیستی متابول به عنوان آند در یک پیل سوختی الکلی معرفی و با موفقیت کارایی آن به عنوان کاتالیست برای MOR بررسی شد. سنتز این نمونه با یک فرایند ساده و قابل واپاپیش و سریع با به کار گیری ریزموج و عملیات گرمایی تهیه شد. نمونه سنتز شده، Ni-Cu/N-rGO با

### مراجع

- [1] Staff JCE. Batteries and fuel cells. *Journal of Chemical Education*. 1978;55(6):399. doi: [10.1021/ed055p399](https://doi.org/10.1021/ed055p399)
- [2] Sharaf OZ, Orhan MF. An overview of fuel cell technology: Fundamentals and applications. *Renewable and Sustainable Energy Reviews*. 2014;32:810-853. doi: [org/10.1016/j.rser.2014.01.012](https://doi.org/10.1016/j.rser.2014.01.012)
- [3] Brett CMA, Brett AMO. *Electrochemistry: Principles, Methods, and Applications*. Oxford: Oxford university press; 1993.
- [4] Winter M, Brodd RJ. What are batteries, fuel cells, and supercapacitors?. *Chemical Reviews*. 2004;104(10):4245-4270. doi: [10.1021/cr020730k](https://doi.org/10.1021/cr020730k)
- [5] Kamyabi MA. Tadayyon-Nosratabad E, Jadali S. A sponge like Pd arrays on Ni foam substrate: Highly active non-platinum electrocatalyst for methanol oxidation in alkaline media. *Materials Chemistry and Physics*. 2020;257:123626. doi: [org/10.1016/j.matchemphys.2020.123626](https://doi.org/10.1016/j.matchemphys.2020.123626)
- [6] Jadali S, Kamyabi MA, Solla-Gullón J, Herrero E. Effect of Pd on the Electrocatalytic Activity of Pt towards oxidation of ethanol in alkaline
- solutions. *Appl. Sci.* 2021;11(3):1315. doi: [org/10.3390/app11031315](https://doi.org/10.3390/app11031315)
- [7] Kamyabi MA, Jadali S. Rational design of PdCu nanoparticles supported on a templated Ni foam: The cooperation effect of morphology and composition for electrocatalytic oxidation of ethanol. *International Journal of Hydrogen Energy*. 2021;46(79):39387-39403. doi: [org/10.1016/j.ijhydene.2021.06.106](https://doi.org/10.1016/j.ijhydene.2021.06.106)
- [8] Kamyabi MA, Hashemi Heris MK, Jadali S. Easy approach for decorating of poly 4-aminothiophenol with Pd nanoparticles: An efficient electrocatalyst for ethanol oxidation in alkaline media. *Journal of Solid State Electrochemistry*. 2021;25:1283-1292. doi: [10.1007/s10008-021-04903-3](https://doi.org/10.1007/s10008-021-04903-3)
- [9] Kamyabi MA, Ebrahimi-Qaratapeh K, Moharramnezhad M. Silica template as a morphology controlling agent for deposition of platinum nanostructure on 3D-Ni-foam and its superior electrocatalytic performance towards methanol oxidation. *Journal of Porous Materials*. 2020. doi.org/10.1007/s10934-020-01001-z
- [10] Edlund D. *Methanol fuel cell systems: Advancing towards commercialization*. Singapore: Pan

- Stanford Publishing Pte. Ltd.; 2011; doi: [10.4032/9789814303149](https://doi.org/10.4032/9789814303149)
- [11] Hamnett A. Mechanism and electrocatalysis in the direct methanol fuel cell. *Catalysis Today*, 1997;38(4):445-457. doi: [org/10.1016/S0920-5861\(97\)00054-0](https://doi.org/10.1016/S0920-5861(97)00054-0)
- [12] O'Hayre R, Cha S-W, Colella W, Prinz FB. *Fuel Cell Fundamentals*. US: John Wiley & Sons; 2016. doi: [10.1002/9781119191766](https://doi.org/10.1002/9781119191766)
- [13] Catherin Sesu D, Patil I, Lokanathan M, Parse H, Marbaniang P, Kakade B. Low density three-dimensional metal foams as significant electrocatalysts toward methanol oxidation reaction. *ACS Sustainable Chemistry & Engineering*. 2018;6(2):2062-2068. doi: [10.1021/acssuschemeng.7b03480](https://doi.org/10.1021/acssuschemeng.7b03480)
- [14] Samanta S, Bhunia K, Pradhan D, Satpati B, Srivastava R. NiCu<sub>2</sub>O<sub>4</sub> supported Ni-Cu ion-exchanged mesoporous zeolite heteronano architecture: An efficient, stable, and economical nonprecious electrocatalyst for methanol oxidation. *ACS Sustainable Chemistry & Engineering*. 2018;6(2):2023-2036, doi: [10.1021/acssuschemeng.7b03444](https://doi.org/10.1021/acssuschemeng.7b03444)
- [15] Jadali S, Kamyabi MA, Alizadeh T. The supported forest-like structure of PtSn as an effective deterrent for acetaldehyde formation during the electrocatalytic oxidation of ethanol. *Fuel*. 2022;325:124780. doi: [10.1016/j.fuel.2022.124780](https://doi.org/10.1016/j.fuel.2022.124780)
- [16] Xie LJ, Wu J-F, Chen C-M, Zhang C-M, Wan L, Wang J-L, et al. A novel asymmetric supercapacitor with an activated carbon cathode and a reduced graphene oxide-cobalt oxide nanocomposite anode. *Journal of Power Sources*. 2013;242:148-156. doi: [10.1016/j.jpowsour.2013.05.081](https://doi.org/10.1016/j.jpowsour.2013.05.081)
- [17] He Q, Li Q, Khene S, Ren X, Lopez F, Lozano-Castello D, et al. High-loading cobalt oxide coupled with nitrogen-doped graphene for oxygen reduction in anion-exchange-membrane alkaline fuel cells. *The Journal of Physical Chemistry C*. 2013;117(17):8697-8707. doi: [10.1021/jp401814f](https://doi.org/10.1021/jp401814f)
- [18] Solano E, Perez-Mirabet L, Martinez-Julian F, Guzman R, Arbiol J, Puig T, et al. Facile and efficient one-pot solvothermal and microwave-assisted synthesis of stable colloidal solutions of MFe<sub>2</sub>O<sub>4</sub> spinel magnetic nanoparticles. *Journal of Nanoparticle Research*. 2012;14(8):1034. doi: [10.1007/s11051-012-1034-y](https://doi.org/10.1007/s11051-012-1034-y)
- [19] Hu X, Yu JC, Gong J, Li Q, Li G. α-Fe<sub>2</sub>O<sub>3</sub> Nanorings prepared by a microwave-assisted hydrothermal process and their sensing properties. *Advanced Materials*. 2007;19(17):2324-2329. doi: [org/10.1002/adma.200602176](https://doi.org/10.1002/adma.200602176)
- [20] Su YL, Cheng SH. Sensitive and selective determination of gallic acid in green tea samples based on an electrochemical platform of poly(melamine) film. *Anal Chim Acta*. 2015;901:41-50. doi: [10.1016/j.aca.2015.10.026](https://doi.org/10.1016/j.aca.2015.10.026)
- [21] Sepehri Z, Bagheri H, Ranjbari E, Amiri-Aref M, Amidi S, Rouini M, et al. Simultaneous electrochemical determination of isoniazid and ethambutol using poly-melamine/electrodeposited gold nanoparticles modified pre-anodized glassy carbon electrode. *Ionics*. 2018;24:1253-1263. doi: [10.1007/s11581-017-2263-y](https://doi.org/10.1007/s11581-017-2263-y)
- [22] Leon A, Advincula Rigoberto C. Chapter 11 - Conducting polymers with superhydrophobic effects as anticorrosion coating. In: Tiwari A, Rawlins J, Hihara LH, Eds. *Intelligent coatings for corrosion control*. Boston: Butterworth-Heinemann; 2015. p.409-430. doi: [10.1016/B978-0-12-411467-8.00011-8](https://doi.org/10.1016/B978-0-12-411467-8.00011-8).
- [23] Liu J, Huanping Yang AB. A green approach to the synthesis of high-quality graphene oxide flakes via electrochemical exfoliation of pencil core. doi:[10.1039/C3RA41366G](https://doi.org/10.1039/C3RA41366G)
- [24] Jasuja K, Linn J, Melton S, Berry V. Microwave-reduced uncapped metal nanoparticles on graphene: Tuning catalytic, electrical, and raman properties. *The Journal of Physical Chemistry Letters*, 2010;1(12):1853-1860. doi: [10.1021/jz100580x](https://doi.org/10.1021/jz100580x)
- [25] Sharma S. Rapid microwave synthesis of CO tolerant reduced graphene oxide-supported

- platinum electrocatalysts for oxidation of methanol. The Journal of Physical Chemistry C. 2010;114(45):19459-19466. doi: 10.1021/jp107872z
- [26] Kim Y, Cho ES, Park SJ, Kim S. One-pot microwave-assisted synthesis of reduced graphene oxide/nickel cobalt double hydroxide composites and their electrochemical behavior. Journal of Industrial and Engineering Chemistry. 2015;33:108-114. doi: org/10.1016/j.jiec.2015.09.023
- [27] Lambert JB, Gronert S, Shurvell HF, Lightner D, Cooks, RG. Organic structural spectroscopy, 2nd Edition. UK: Pearson; 2010.
- [28] Kaur J, Rani S. CuO/NiO nano-composite synthesized from banana peels for grow light. Materials Today: Proceedings. 2023;91(2):1-6.
- [29] Chen Z, He YC, Chen JH, Fu XZ, Sun R, Chen Y, et al. PdCu alloy flower-like nanocages with high electrocatalytic performance for methanol oxidation, J. Phys. Chem. C 2018;122:8976-83. doi: org/10.1021/acs.jpcc.8b01095
- [30] Bandarenka AS. Exploring the interfaces between metal electrodes and aqueous electrolytes with electrochemical impedance spectroscopy, Analyst 2013;138:5540-54. doi: org/10.1039/c3an00791j

## رابطه کمی ساختار-فعالیت تعدادی از مشتق‌های فلاونوئیدی به عنوان مهارکننده‌های استیل‌کولین استراز برپایه الگوریتم مونت کارلو

زهرا نظری<sup>۱</sup>، شهین احمدی<sup>۲\*</sup> و علی الماسی راد<sup>۳</sup>

۱. دانشجوی دکترای عمومی داروسازی، گروه شیمی دارویی، دانشکده داروسازی، علوم پزشکی تهران، دانشگاه آزاد اسلامی، تهران، ایران.

۲. دانشیار گروه شیمی دارویی، دانشکده شیمی دارویی، علوم پزشکی تهران، دانشگاه آزاد اسلامی، تهران، ایران.

۳. استاد گروه شیمی دارویی، دانشکده داروسازی، علوم پزشکی تهران، دانشگاه آزاد اسلامی، تهران، ایران.

دریافت: شهریور ۱۴۰۲ بازنگری: دی ۱۴۰۳ پذیرش: اسفند ۱۴۰۳



DOI: 10.30495/JACR1.1403.1044821

### چکیده

در سال‌های اخیر، روشی مبتنی بر رویکرد مستقل از بهینه‌سازی مولکول برپایه توصیفگرهای ساختاری مولکولی و توپولوژیکی، به عنوان یک رویکرد جذاب در مدل‌سازی QSAR معرفی شده است. یکی از ویژگی‌های کلیدی این رویکرد به استفاده از توصیفگرهای برپایه سامانه ورودی-خط ورودی-مولکولی ساده‌شده (SMILES) برای توسعه مدل QSAR اشاره دارد. در این پژوهش، با هدف مطالعه و بررسی QSAR برخی از مشتق‌های فلاونوئیدی به عنوان مهارکننده‌های استیل‌کولین استراز برپایه الگوریتم مونت کارلو، مجموعه‌ای از ۸۸ مهارکننده استیل‌کولین استراز از مقاله‌های معتبر انتخاب شد. ساختار ترکیب‌های با ناماد SMILES به عنوان فایل‌های ورودی نرم افزار تعییف و به طور تصادفی به چهار سری شامل آموزش، آموزش نامرئی، واسنجی و مجموعه اعتبارسنجی تقسیم و مدل‌سازی انجام شد. توصیفگرهای بهینه مورد استفاده در مدل از ترکیب SMILES و نمودار بدون هیدروژن برپایه تابع هدف جدید انتخاب شدند. قدرت پیش‌بینی مدل‌ها با مجموعه‌های اعتبارسنجی، ارزیابی شد. نتیجه‌های بدست‌آمده از چهار سری تصادفی نشان داد که مدل‌ها پیشگو و قابل اعتماد از لحاظ آماری، هستند. توصیفگرهای بالهمیت افزاینده و کاهنده فعالیت مهارکننده استیل‌کولین استراز مشتق‌های فلاونوئید شناسایی شدند. همچنین،  $pIC_{50}$  تعداد زیادی از مشتق‌های فلاونوئید طبیعی مهارکننده آنزیم استیل‌کولین استراز محاسبه و گزارش شد. با به کارگیری مدل بدست‌آمده می‌توان  $pIC_{50}$  مشتق‌های فلاونوئید را به عنوان مهارکننده آنزیم استیل‌کولین استراز با روش بهینه‌سازی مونت کارلو و SMILES ترکیب‌ها، پیش‌بینی کرد.

**واژه‌های کلیدی:** QSAR، فلاونوئیدها، مهارکننده‌های استیل‌کولین استراز، SMILES، شاخص آرمانی همبستگی.

## مقدمه

می‌کند. شیمی دارویی مدرن بر روی روش‌های طراحی کامپیوترا داروها تمرکز دارد که از نظر زمان و هزینه مناسب هستند [۵ تا ۹]. هر یک از روش‌های شبیه‌سازی کامپیوترا ویژگی‌های بی‌همتای خود را دارد. روش مدل‌سازی رابطه کمی ساختار-فعالیت<sup>(۱)</sup> (QSAR) نقش مهمی در طراحی دارو دارد [۱۰ و ۱۱]. این روش، الگوهای ساختاری مهارکننده‌ها را بهتر شناسایی می‌کند و بینش بهتری در مورد سازوکار اثر دارو ارائه می‌دهد [۱۲ و ۱۳]. یک مدل QSAR توسعه‌یافته در قالب یک معادله ریاضی ارائه شده است که ویژگی‌های شیمیایی مولکول‌های موردمطالعه را با فعالیت‌های زیستی آن‌ها مرتبط می‌کند [۱۴ و ۱۵]. روش‌های متفاوت QSAR، بر پایه توصیفگرهای متفاوتی هستند که محاسبه برخی از آن‌ها آسان، ولی تفسیر آن‌ها دشوار است، مانند توصیفگرهای توپولوژیکی، در حالی که برخی دیگر به راحتی می‌توانند با ساختارهای شیمیایی مرتبط شوند. با این وجود، روش‌شناسی وابسته به ترکیب با درنظرگرفتن محاسبه‌های، آماده‌سازی مولکول، همترازی و توسعه مدل، زمان بر است [۱۶]. روشی مبتنی بر رویکرد مستقل از بهینه‌سازی مولکول که برپایه ویژگی‌های مولکولی ساختاری و توپولوژیکی است، در سال‌های اخیر به عنوان یک رویکرد جذاب در مدل‌سازی QSAR معرفی شده است. ویژگی کلیدی این رویکرد به استفاده از توصیفگرهای SMILES<sup>(۲)</sup> (SMILES) سامانه ورودی-خط ورودی-مولکولی ساده‌شده<sup>(۳)</sup> برای توسعه یک مدل QSAR اشاره دارد [۱۷]. در این پژوهش، یک مدل برای ۸۸ مشتق فلاونوئیدی دارای نقش مهارکننده‌گی استیل کولین استراز برپایه الگوریتم مونت کارلو ایجاد شد که نسبت به مدل‌های گزارش شده، جامع‌تر بود. تنها SMILES ترکیب‌ها، مستقل از بهینه‌سازی ساختارها، به عنوان ورودی مدل به کارگرفته شد. این روش برپایه الگوریتم مونت کارلو با یک تابع هدف جدید به نام شاخص

بیماری آزایمر<sup>(۴)</sup> یا بیماری فراموشی، یک نوع اختلال عملکرد مغزی است که به تدریج توانایی‌های ذهنی بیمار تحلیل می‌رود. آزایمر رایج‌ترین شکل زوال عقل است. این بیماری علاج‌ناپذیر را نخستین بار روانپزشک آلمانی به نام آلویز آزایمر در سال ۱۹۰۶ میلادی معرفی کرد. بهطورکلی، این بیماری در افراد بالای ۶۵ سال بروز پیدا می‌کند؛ هرچند که آزایمر زودرس (با شیوع کمتر) ممکن است زودتر از این سن نیز رخ دهد [۱]. یک گزارش نشان می‌دهد که حدود ۴۰ تا ۵۰ میلیون نفر در سراسر جهان از آزایمر رنج می‌برند و این تعداد تا سال ۲۰۵۰ به حدود ۱۳۱,۵ میلیون نفر افزایش خواهد یافت [۲]. علائم این بیماری با از دستدادن قدرت حفظ اطلاعات بهویژه حافظه موقت در دوران پیری آغاز می‌شود و به تدریج با از دستدادن قدرت تشخیص زمان، افسردگی، از دستدادن قدرت تکلم، گوشه‌گیری و سرانجام مرگ در اثر ناراحتی‌های تنفسی به پایان می‌رسد [۳]. ارتباط بین علائم بالینی آزایمر و اختلال در اعصاب کولینرژیک از دیرباز مشخص شده است. طبق فرضیه‌ای کاهش میانجی عصبی استیل کولین بدليل کاهش تولید آن یا افزایش فعالیت آنزیم تخریب‌کننده آن یعنی استیل کولین استراز (AChE<sup>(۵)</sup>) موجب افت توانایی‌های ذهنی می‌شود [۴]. بنابراین، مهار آنزیم AChE هدف درمانی برای مدیریت اختلالات مانند میاستنی گراویس، گلوكوم، دماس و بیماری آزایمر است [۴]. فلاونوئیدهای غذایی طبیعی با توجه بهویژگی‌های مهارکننده‌گی AChE پادآمیلوبیوزن، پاداکسنگی و پادالتهابی آن‌ها به عنوان کاندیدهای جایگزین برای درمان آزایمر توجه چشمگیری را به خود جلب کردند. شواهد تجربی از این فرضیه حمایت می‌کنند که فلاونوئیدهای ویژه ممکن است تا حدی با تداخل در سایر مسیرهای ایجاد‌کننده آزایمر مانند تولید و مونتاژ پیتیدهای آمیلوئید-β در توده‌های الیگومری نوروتوکسیک و همچنین، با کاهش تجمع تاو نقش حفاظتی در برابر بیماری آزایمر ایفا

1. Alzheimer

2. Acetylcholinesterase (AChE)

3. Quantitative structure-activity relationship (QSAR)

4. Simplified molecular-input line-entry system (SMILES)

آموزش نامرئی هر کدام در حدود ۳۰ درصد و به دو سری واستجی و آزمون هر کدام درحدود ۲۰ درصد از داده‌ها اختصاص یافت. این کار ۴ بار به صورت تصادفی انجام شد [۲۴]. درصد یکسانی سری‌های آموزش، آموزش نامرئی، واستجی و آزمون داده‌های هر شکافت با سایر شکافتها در جدول ۱ نشان داد شده است.

جدول ۱ درصد یکسانی ترکیب‌های سری آموزش، آموزش نامرئی، واستجی و اعتبارستجو هر شکافت با سایر شکافتها

شکافت				سری	
۴	۳	۲	۱		
۲۸,۴	۲۸,۴	۳۰,۷	۱۰۰	کل داده‌ها	شکافت ۱
۳۳,۳	۳۳,۳	۳۰,۲	۱۰۰	آموزش	
۳۰,۲	۲۶,۴	۳۷,۰	۱۰۰	آموزش نامرئی	
۲۸,۶	۲۹,۴	۱۱,۴	۱۰۰	واستجی	
۱۷,۶	۲۲,۹	۴۱,۲	۱۰۰	آزمون	
۲۵/۰	۲۹/۵	۱۰۰		کل داده‌ها	
۲۶/۴	۳۴/۰	۱۰۰		آموزش	شکافت ۲
۲۶,۴	۳۷,۷	۱۰۰		آموزش نامرئی	
۲۷,۸	۲۲,۹	۱۰۰		واستجی	
۱۷,۶	۱۷,۱	۱۰۰		آزمون	
۲۸,۴	۱۰۰			کل داده‌ها	
۳۳,۳	۱۰۰			آموزش	شکافت ۳
۳۰,۸	۱۰۰			آموزش نامرئی	
۲۲,۹	۱۰۰			واستجی	
۲۲,۹	۱۰۰			آزمون	
۱۰۰				کل داده‌ها	
۱۰۰				آموزش	شکافت ۴
۱۰۰				آموزش نامرئی	
۱۰۰				واستجی	
۱۰۰				آزمون	

انتخاب توصیف‌گرهای مولکولی مناسب در نرمافزار مدل‌سازی کورال، سه گزینه برای انتخاب توصیف‌گرهای بهینه وجود دارد: (۱) توصیف‌گرهای مولکولی بر

آرمانی همبستگی<sup>۱</sup> انجام شد. اینتابع جدید افزون بر ضریب تعیین<sup>۲</sup>(R<sup>۲</sup>) مدل، خطای میانگین را نیز در بهینه‌سازی وزن توصیف‌گرهای مولکولی درنظرمی‌گیرد. مدل قابل اطمینان و پیشگو با چهار تقسیم تصادفی ارزیابی شد. همچنین، به کمک بهترین مدل به دست آمده فعالیت مهارکنندگی استیل کولین استراز تعدادی از مشتقات طبیعی فلاونوئید پیش‌بینی و گزارش شد.

## داده‌ها و روش‌ها

این مطالعه به شکل یک مطالعه درون رایانه‌ای<sup>۲</sup> برپایه مهارکنندگی استیل کولین استراز، یک سری ۸۸ تابی از مشتق‌های فلاونوئید صورت پذیرفت.

### سری داده‌ها

در این پژوهش، ۸۸ ترکیب مهارکننده استیل کولین استراز از مقاله‌های معتبر بین‌المللی انتخاب شدند [۱۸ تا ۲۲]. داده‌های تجربی مربوط به اثر مهارکنندگی این ترکیب‌ها در برابر آنزیم استیل کولین استراز به صورت IC<sub>50</sub> که میانه غلظت بازدارندگی را نشان می‌دهد به کاربرده شد. برای مدل‌سازی رابطه کمی ساختار-فعالیت از تابع pIC<sub>50</sub>(-logIC<sub>50</sub>) این ترکیب‌ها که واحد IC<sub>50</sub> مول بر لیتر است به عنوان متغیر وابسته استفاده شد، که مقدار آن از ۸/۲۳ تا ۴,۰۶ متفاوت است. ساختارهای مولکولی ترکیب‌ها با نرمافزار رایگان BIOVIA draw 2016 رسم و به صورت نماد SMILES به عنوان داده‌های ورودی کورال استفاده شدند.

### تفکیک داده‌ها

برای ایجاد مدل QSAR، به کمک نرمافزار کورال و با روش تصادفی، داده‌ها به چهار سری آموزش، آموزش نامرئی، واستجی و آزمون تقسیم شدند [۲۳]. به دو سری آموزش و

1. Index of ideality of correlation

2. Insilco

همبستگی یک توصیفگر ویژه را نشان می‌دهد. عامل  $T$ ، ضریب آستانه است و از آن برای تشخیص توصیفگرهای متفاوت مولکولی بهدست آمده از SMILES به دو گروه فعال و نادر استفاده می‌شود و  $N$  تعداد چرخه‌های بهینه‌سازی مونت کارلو را نشان می‌دهد [۲۷]. وزن‌های همبستگی با روش مونت کارلو و باتابع هدف شاخص آرمانی همبستگی که در مقاله‌های متفاوت به عنوان تابع هدف مناسب برای یافتن وزن‌های همبستگی توصیفگرها معرفی شده، بهدست می‌آیند [۲۸]. در نرم افزار کورال معادله نهایی مدل به صورت معادله ۲ است.

$$pIC_{50} = C_0 + C_1 \times DCW(T, N) \quad (2)$$

عامل‌های  $C_0$  و  $C_1$  عده‌های ثابت‌اند و برای هر مدل پس از انجام بهینه‌سازی ضرایب و ایجاد رابطه خطی بین متغیر وابسته و  $DCW$  مربوط به مولکول‌ها بهدست می‌آیند. در واقع به کمک معادله ۲ می‌توان با داشتن  $DCW$  هر ساختار، فعالیت  $pIC_{50}$  آن را پیش‌بینی کرد.

#### روش مونت کارلو

معادله ۱ برای محاسبه  $DCW(T, N)$ ، مربوط به هر ترکیب، به وزن همبستگی هر توصیفگر مولکولی نیاز دارد. این ضرایب به کمک روش بهینه‌یابی مونت کارلو بهدست می‌آیند. تابع هدف مورداستفاده در این پژوهش که همان شاخص آرمانی همبستگی است، به صورت معادله ۳ تعریف می‌شود [۲۹].

$$TF = (r_T + r_{iT} - |r_T - r_{iT}| \times 0.1) + IIC \times 0.5 \quad (3)$$

که در آن،  $r_T$  و  $r_{iT}$  به ترتیب ضریب همبستگی برای سری یادگیری و یادگیری نامائی است. ضریب آرمانی همبستگی برای سری واسنجی با استفاده از معادله ۴ محاسبه می‌شود.

$$IIC = R_{CAL} \times \frac{\min(-MAE_{CAL}, +MAE_{CAL})}{\max(-MAE_{CAL}, +MAE_{CAL})} \quad (4)$$

پایه گراف مولکولی، (۲) توصیفگرهای مبتنی بر SMILES و (۳) توصیفگرهای هیبریدی که از ترکیب هر دو گراف و SMILES محاسبه می‌شوند [۲۵]. در اینجا، برای ایجاد مدل از توصیفگرهای هیبریدی بدون هیدروژن استفاده شد [۲۶]. برای انتخاب توصیفگرهای مناسب از بین توصیفگرهای هیبریدی یادشده، برپایه جستجوی جامع برای هر مجموعه تصادفی از داده‌ها، چندین مدل متفاوت با گروه‌های متفاوت توصیفگرها ایجاد شد و نتیجه‌های مدل‌سازی با این توصیفگرها مورد تجزیه و تحلیل قرار گرفت و از بین مدل‌های ایجاد شده، بهترین مجموعه توصیفگرها انتخاب شدند. معادله ۱ توصیفگرهای بهینه مولکولی را برای مدل  $pIC_{50}$  ترکیب‌های مهارکننده کلستریل استر ترانسفر<sup>۱</sup> پروتئین، نشان می‌دهد.

$$\begin{aligned} DCW(T, N) = & \sum CW(S_k) + \sum CW(SS_k) \\ & + \sum CW(SSS_k) + CW(BOND) \\ & + CW(NOSP) + CW(HALO) \\ & + CW(HARD) + CW(PAIR) \\ & + CW(Cmax) + CW(Nmax) \\ & + CW(Omax) + CW(Smax) \end{aligned} \quad (1)$$

در معادله ۱،  $DCW$ ، مجموع ضرایب همبستگی همه توصیفگرهای مولکولی مدل برای هر ترکیب،  $S_k$ ,  $SS_k$  و  $SSS_k$  ترکیبی از قطعه‌های تک عضوی، دو عضوی و سه عضوی هستند.  $BOND$  نشان‌دهنده حضور و یا عدم حضور پیوندهای متفاوت دوگانه (=)، سه‌گانه (#) و فضایی (@, @@) است.  $NOSP$  نشان‌دهنده حضور و یا عدم حضور اتم‌های نیتروژن، اکسیژن، گوگرد و فسفر در ساختار ترکیب‌ها است.  $HALO$  نشان‌دهنده حضور و یا عدم حضور هالوژن‌ها در ترکیب‌ها است.  $HARD$  مربوط به حضور  $NOSP$ ,  $BOND$  و  $HALO$  در  $SMILES$  است.  $Cmax$ ,  $Nmax$ ,  $Omax$  و  $Smax$  ساختارها است. توصیفگرهای  $IIC$ ،  $R_{CAL}$  به ترتیب، بیشینه تعداد حلقه‌ها، بیشینه تعداد نیتروژن، بیشینه تعداد اکسیژن، و بیشینه تعداد گوگرد در هر ساختار است.  $CW$ ، وزن

1. Cholesteryl ester transfer protein (CETP)

که  $\overline{\text{Defect}}_T$ ، میانگین نقص آماری برای سری آموزش است. نقص آماری (Defect) را می‌توان به عنوان مجموع نقص‌های آماری تمام ویژگی‌های موجود در نماد SMILES توصیف کرد (معادله ۹).

$$\text{Defect}_{\text{compound}} = \sum_{k=1}^{N_A} \text{Defect}_{A_k} \quad (9)$$

که  $N_A$ ، تعداد توصیفگرهای فعال برای یک ترکیب است. نقص آماری برای یک توصیفگر را می‌توان به صورت معادله ۱۰ تعریف کرد.

$$\begin{aligned} \text{Defect}_{A_k} &= \frac{|\text{P}_T(A_k) - \text{P}_{\text{CAL}}(A_k)|}{\text{N}_T(A_k) + \text{N}_{\text{CAL}}(A_k)} & (\text{A}_k > 0) \\ \text{Defect}_{A_k} &= 1 & (\text{A}_k = 0) \end{aligned} \quad (10)$$

عامل‌های  $P_T(A_k)$  و  $P_{\text{CAL}}(A_k)$ ، به ترتیب احتمال یک توصیفگر در سری آموزش و واسنجی هستند.

#### اعتبارسنجی مدل

اعتبارسنجی آماری مدل‌های QSAR ایجاد شده برپایه سه روش ارزیابی می‌شود: ۱) اعتبارسنجی داخلی یا اعتبارسنجی متقابل با تعیین  $R^2$ ،  $Q^2$ ،  $CCC$ ،  $IIC$  و  $F$  در مجموعه آموزشی، ۲) اعتبارسنجی خارجی با تعیین  $Q_{F1}^2$ ،  $Q_{F2}^2$ ،  $Q_p^2$  و  $Q_{F3}^2$  و ۳) با استفاده از ترکیب‌های سری آزمون، و  $\Delta r_m^2$  و  $r_m^2$  با توجه به اصل سوم سازمان تصادفی‌سازی داده‌ها یا درهم آمیختگی  $Y$  (جدول ۲). رابطه ریاضی این عامل‌های آماری در مقاله‌ها ارائه [۱۶، ۱۳ و ۳۰ تا ۳۲] و در جدول ۲ خلاصه شده‌اند. در جدول ۲،  $Y_{\text{Obs}}$  نقطه پایانی مشاهده شده و  $Y_{\text{Prd}}$  نقطه پایانی پیش‌بینی شده است.  $R_0^2$  و  $R^2$  مقدارهای ضریب تعیین بین نقاط پایانی مشاهده شده و پیش‌بینی شده به ترتیب با و بدون درنظر گرفتن عرض از مبدأ هستند و  $R^2_r$  میانگین ضریب تعیین مدل‌های تصادفی‌سازی شده است.

داده‌های مربوط به جمع مقادیر مثبت و منفی  $\Delta_k$  که مشابه خطای مطلق میانگین است، با معادله‌های ۵ تا ۷ محاسبه می‌شوند.

$${}^- \text{MAE}_{\text{CLB}} = -\frac{1}{N} \sum_{y=1}^{N^-} |\Delta_k| \quad (\Delta_k < 0) \quad (5)$$

$${}^+ \text{MAE}_{\text{CLB}} = +\frac{1}{N} \sum_{y=1}^{N^+} |\Delta_k| \quad (\Delta_k \geq 0) \quad (6)$$

$$\Delta_k = \text{Obs}_k - \text{Calc}_k \quad (7)$$

که در آن‌ها  $y$  تعداد MAE‌های مثبت و منفی،  $N^-$  تعداد  $N^+$ ،  $\Delta_k \geq 0$  و  $\text{Calc}_k$  مقدارهای آزمایشی و محاسباتی نقطه پایانی ( $pIC_{50}$ ) است و  $k$  از ۱ تا  $N$  تغییر می‌کند.

#### دامنه کاربرد مدل

فضای فیزیکوشیمیایی، ساختاری یا زیستی، داشت یا اطلاعاتی که مجموعه آموزشی مدل برپایه آن ایجاد و برای پیش‌بینی ترکیب‌های جدید استفاده می‌شود، به عنوان دامنه کاربرد مدل شناخته می‌شود. با توجه به اصل سوم سازمان توسعه و همکاری اقتصادی (OECD)، دامنه کاربرد برای اعتبارسنجی مدل QSAR ایجاد شده، توصیه می‌شود. در نرم افزار کورال، مدل QSAR مبتنی بر مونت کارلو، پراکندگی ویژگی‌های SMILES در سری‌های آموزش، آموزش نامرئی و واسنجی برای دستیابی به دامنه کاربرد استفاده می‌شود. اگر ترکیبی در گستره دامنه کاربرد قرار نگیرد، به عنوان یک داده پرت شناخته می‌شود و پیش‌بینی قابل اعتمادی از آن وجود ندارد. در نرم افزار کورال، اگر نابرابری زیر به دست آید، یک ترکیب در گستره دامنه کاربرد مدل قرار می‌گیرد، در غیر این صورت، به عنوان یک داده پرت شناخته می‌شود.

$$\text{Defect}_{\text{compound}} < 2 \times \overline{\text{Defect}}_T \quad (8)$$

1. Applicability domain

2. Organization for economic co-operation and development

رابطه کمی ساختار – فعالیت تعدادی از مشتق‌های فلاونوئیدی به عنوان ...

جدول ۲ معادله ریاضی معیارهای متفاوت آماری قابلیت پیش‌بینی برای مدل‌های ایجادشده با کورال

معیار پتانسیل پیش‌بینی	نوع اعتبارستنجی
$R^2 = 1 - \frac{\sum(Y_{obs} - Y_{prd})^2}{\sum(Y_{obs} - \bar{Y})^2}$	داخلی
$Q^2 = 1 - \frac{\sum(Y_{prd} - Y_{obs})^2}{\sum(Y_{obs} - \bar{Y}_{train})^2}$	
$Q_{F1}^2 = 1 - \frac{\sum(Y_{per(test)} - Y_{obs(test)})^2}{\sum(Y_{obs(test)} - \bar{Y}_{train})^2}$	
$Q_{F2}^2 = 1 - \frac{\sum(Y_{prd(test)} - Y_{obs(test)})^2}{\sum(Y_{obs(test)} - \bar{Y}_{ext})^2}$	خارجی
$Q_{F3}^2 = 1 - \frac{\sum(Y_{prd(test)} - Y_{obs(test)})^2}{\frac{n_{ext}}{n_{train}}}$	
$R_m^2 = R^2 \times \left(1 - \sqrt{R^2 - R_0^2}\right)$	
$CCC = \frac{2 \sum(X - \bar{X})(Y - \bar{Y})}{\sum(X - \bar{X})^2 + \sum(Y - \bar{Y})^2 + n((\bar{X} - \bar{Y})^2)}$	تصادفی‌سازی داده‌ها
$MAE = \frac{1}{n} \times \sum  Y_{obs} - Y_{prd} $	
$C_{R_p^2} = R \sqrt{(R^2 - R_p^2)}$	

همبستگی (IIC) و روش مونت‌کارلو برای چهار توزیع تصادفی  
داده‌ها به سری‌های آموزش، آموزش نامرئی، واسنجی و

نتیجه‌ها و بحث  
QSAR  
مدل‌های QSAR برای ترکیب‌های مهارکننده  
مدل‌های QSAR برای استرترانسفر پروتئین، برپایه تابع هدف شاخص آرمانی

مجموعه اعتبارستنجی محاسبه شده عبارت‌اند از:

مدل به دست آمده از شکافت ۱:

$$pIC_{50} = 0.2862(\pm 0.0909) + 0.1542(\pm 0.0025) \times DCW(1, 11) \quad (11)$$

$$(n_{TRN} = 28, R_{TRN}^2 = 0.861; n_{iTRN} = 28, R_{iTRN}^2 = 0.823; \\ n_{CAL} = 17, R_{CAL}^2 = 0.850; n_{VAL} = 15, R_{VAL}^2 = 0.888)$$

مدل به دست آمده از شکافت ۲:

$$pIC_{50} = -0.2090(\pm 0.0746) + 0.0991(\pm 0.0011) \times DCW(1, 10) \quad (12)$$

$$(n_{TRN} = 29, R_{TRN}^2 = 0.907; n_{iTRN} = 30, R_{iTRN}^2 = 0.867; \\ n_{CAL} = 18, R_{CAL}^2 = 0.721; n_{VAL} = 11, R_{VAL}^2 = 0.912)$$

مدل به دست آمده از شکافت ۳:

$$pIC_{50} = -1.2488(\pm 0.0910) + 0.1793(\pm 0.0022) \times DCW(1, 11) \quad (13)$$

$$(n_{TRN} = 28, R^2_{TRN} = 0.846; n_{iTRN} = 27, R^2_{iTRN} = 0.844; \\ n_{CAL} = 17, R^2_{CAL} = 0.880; n_{VAL} = 16, R^2_{VAL} = 0.816)$$

مدل به دست آمده از شکافت ۴:

$$pIC_{50} = -2.2701(\pm 0.1051) + 0.1390(\pm 0.0017) \times DCW(1, 8) \quad (14)$$

$$(n_{TRN} = 29, R^2_{TRN} = 0.868; n_{iTRN} = 29, R^2_{iTRN} = 0.868; \\ n_{CAL} = 18, R^2_{CAL} = 0.820; n_{VAL} = 12, R^2_{VAL} = 0.746)$$

مدل پیشگویی کرد، آمده است. نمایش SMILES مربوط به مشتق‌های فلانوئید با مشخص کردن سری آموزش (+)، آموزش نامرئی (-)، واسنجی (#) و اعتبارسنجی (\*) نیز در این جدول نشان داده شده است. همچنین، دامنه کاربرد مدل برای هر ترکیب در مدل‌های ۱ تا ۴ برپایه معادله مقدار نقص<sup>۲</sup> (معادله ۱۰)، نشان داده شده است (Y نشان‌دهنده این است که ترکیب در دامنه کاربرد مدل وجود دارد و N نشان‌دهنده این است که ترکیب در دامنه کاربرد مدل وجود ندارد). درصد ترکیب‌ها در دامنه کاربرد مدل‌ها به ترتیب ۹۵، ۸۸، ۹۰ و ۸۵ درصد برای مدل‌های ۱ تا ۴ بود. این نشان داد که چهار مدل قادر به پیش‌بینی بیش از ۸۵ درصد از داده‌های جدید هستند.

شکل ۱ نمایش گرافیکی مقدارهای داده‌های  $pIC_{50}$  تجربی در برابر  $pIC_{50}$  پیش‌بینی شده چهار مدل را نشان می‌دهند. همان‌طور که شکل ۱ نشان می‌دهد، همخوانی خوبی بین داده‌های تجربی و پیش‌بینی شده در مدل‌های پیشنهادی وجود دارد. این نتیجه‌ها تایید می‌کنند که همه مدل‌های QSAR ساخته شده، قابل اعتماد هستند و به خوبی برازش شده‌اند.

ویژگی‌های آماری مدل‌های QSAR ایجاد و محاسبه شده برپایه معادله‌های ۱۱ تا ۱۴ در جدول ۳ نشان داده شده است. این جدول نشان می‌دهد که همه مدل‌های QSAR تولید شده از نقطه نظر آماری مناسب هستند و با الزامات معیارهای اعتبارسنجی متفاوت همخوانی دارند. استحکام مدل‌های QSAR ایجاد شده با مقدارهای عددی  $R^2$  و  $Q^2$  که بیش از ۰/۷ و ۰/۶ بودند نشان داده شد [۳۰]. افزون‌براین، مقدار عددی  $R^2_m$  برای مجموعه اعتبارسنجی همه مدل‌های QSAR طراحی شده رضایت‌بخش بود و از معیارهای پیشنهادی روی<sup>۱</sup> و همکارانش پیروی می‌کند [۳۱]. قبل اعتماد بودن مدل‌های QSAR ساخته شده نیز با آزمون تصادفی‌سازی Y تایید شد [۳۲]. پس از چندین بار تکرار، مدل‌های تصادفی جدید توسعه یافته‌ند که مقدار  $R^2$  همه آن‌ها کمتر از ۰/۱ بود. این نتیجه‌ها نشان می‌دهد که همبستگی بین  $pIC_{50}$  و توصیفگرهای مولکولی برپایه همبستگی تصادفی نیست. افزون‌براین، برای چهار مدل،  $R_p^2$  بیشتر از ۰/۷۰ به دست آمد، که همبستگی غیرشانسی مدل‌های توسعه یافته را تأیید می‌کند [۳۲].

نتایج  $pIC_{50}$  تجربی که از مقالات معتبر استخراج شده و نتایج پیشگویی چهار مدل در جدول ۴ ارائه شده‌اند. افزون‌براین، مقدارهای DCW مربوط به هر ترکیب که با قراردادن آن‌ها در معادله‌های ۱۱ تا ۱۴، می‌توان  $pIC_{50}$  را برای هر ترکیب در هر

1. Roy

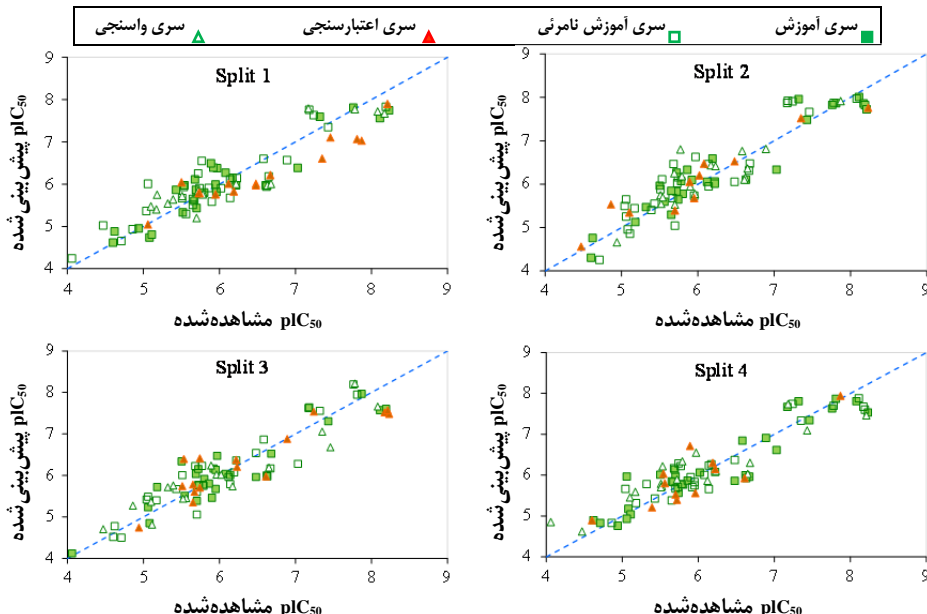
2. Defect value

## رابطه کمی ساختار – فعالیت تعدادی از مشتق‌های فلاونوئیدی به عنوان ...

جدول ۳ ویژگی‌های آماری برای مدل‌های QSAR مربوط به اثر مهارکنندگی مشتق‌های فلاونوئید برپایه تابع هدف شاخص آرمانی همبستگی برای شکافت‌های متفاوت

$\Delta R_m^2$	$\bar{R}_m^2$	$cR_p^2$	Y	تصادفی‌سازی	$\Pi C$	CCC	$Q_{F_3}^2$	$Q_{F_2}^2$	$Q_{F_1}^2$	Q <sup>2</sup>	RMSE	R <sup>2</sup>	n	سری	مدل*
		.۰۸۵۵	.۰۰۱۲	.۰۶۹۶	.۹۲۵					.۰۸۰۷	.۰۳۴۹	.۰۸۶۱	۲۸	آموزش	۱
		.۰۸۰۵	.۰۰۳۵	.۰۵۹۳	.۹۰۳					.۰۸۰۲	.۰۴۰۰	.۰۸۲۳	۲۸	آموزش نامرئی	
.۰۱۴۳	.۰۷۴۵	.۰۸۲۱	.۰۰۵۶	.۰۹۲۱	.۹۱۴	.۰۸۱۷	.۰۸۴۸	.۰۸۵۵	.۰۷۹۷	.۰۴۰۶	.۰۸۵۰	.۰۸۵۰	۱۷	واسنجی	
.۰۱۴۹	.۰۶۷۹		.۰۰۶۶	.۰۴۸۹	.۸۵۱					.۰۸۴۳	.۰۴۷۸	.۰۸۸۸	۱۵	اعتبارسنجی	
		.۰۸۹۲	.۰۰۲۹	.۰۸۸۹	.۹۵۱					.۰۸۹۴	.۰۳۳۱	.۰۹۰۷	۲۹	آموزش	۲
		.۰۸۶۰	.۰۰۱۴	.۰۶۷۳	.۹۱۵					.۰۸۴۸	.۰۴۲۶	.۰۸۶۷	۳۰	آموزش نامرئی	
.۰۲۳۴	.۰۴۹۸	.۰۷۰۲	.۰۰۳۷	.۰۸۴۸	.۸۴۵	.۰۸۷۱	.۰۶۸۳	.۰۶۸۴	.۰۶۴۷	.۰۳۸۰	.۰۷۲۱	.۰۷۲۱	۱۸	واسنجی	
.۰۰۹۷	.۰۷۸۷		.۰۰۹۱	.۰۶۶۵	.۹۴۴					.۰۸۵۹	.۰۳۳۸	.۰۹۱۲	۱۱	اعتبارسنجی	
		.۰۸۳۷	.۰۰۱۷	.۰۷۹۷	.۹۱۶					.۰۸۲۲	.۰۳۷۰	.۰۸۴۶	۲۸	آموزش	۳
		.۰۸۲۸	.۰۰۳۲	.۰۸۴۱	.۹۱۹					.۰۸۲۷	.۰۳۷۶	.۰۸۴۴	۲۷	آموزش نامرئی	
.۰۱۲۱	.۰۷۶۹	.۰۸۳۹	.۰۰۷۹	.۰۹۳۷	.۹۱۷	.۰۸۳۷	.۰۸۷۶	.۰۸۷۶	.۰۸۲۲	.۰۳۷۷	.۰۸۸۰	.۰۸۸۰	۱۷	واسنجی	
.۰۱۸۷	.۰۶۵۵		.۰۱۲۱	.۰۷۵۲	.۸۸۲					.۰۷۶۲	.۰۴۷۰	.۰۸۱۶	۱۶	اعتبارسنجی	
		.۰۸۳۶	.۰۰۶۲	.۰۸۶۹	.۹۲۹					.۰۸۵۰	.۰۳۸۶	.۰۸۶۸	۲۹	آموزش	۴
		.۰۸۴۶	.۰۰۴۳	.۰۵۹۹	.۹۲۴					.۰۸۴۶	.۰۳۴۱	.۰۸۶۸	۲۹	آموزش نامرئی	
.۰۲۱۴	.۰۵۹۳	.۰۷۷۶	.۰۰۸۵	.۰۹۰۵	.۸۶۷	.۰۷۷۸	.۰۷۸۴	.۰۸۰۰	.۰۷۴۷	.۰۴۷۶	.۰۸۲۰	.۰۸۲۰	۱۸	واسنجی	
.۰۰۱۷	.۰۶۴۶		.۰۰۹۶	.۰۷۷۵	.۸۶۳					.۰۶۰۵	.۰۴۱۴	.۰۷۴۶	۱۲	اعتبارسنجی	

\* به دست آمده از شکافت



شکل ۱ نمایش همبستگی بین  $pIC_{50}$  آزمایشی و محاسباتی برای مدل‌های ۱ تا ۴

جدول ۴ نمایش SMILES مربوط به مشتق‌های فلاونوئید با مشخص کردن سری آموزش (+)، آموزش نامنroe (-)، و نتیجه‌های آزمایشی (\*) و اعتبارسنجی (#) و انتسابی (#) در دامنه کاربردی مدل به ترتیب با Y و N نشان داده شده است.

شماره	شکافت										pIC <sub>50</sub> آزمایشی	شکافت				SMILES		
	دامنه کاربرد مدل		pIC <sub>50</sub> پیشگویی				DCW (T, N)					4	3	2	1			
	۴	۳	۲	۱	۴	۳	۲	۱	۴	۳	۲	۱	۴	۳	۲	۱		
۱	N	Y	Y	Y	۵,۵۶	۶,۰۳	۵,۷۸	۵,۸۲	۵۶,۳۵	۶۲,۹۲	۶۰,۳۴	۳۵,۸۵	۵,۹۶	*	#	#	+	O=C1C=C(Oc2cc(CCCCCCCCN3CCCC3)ccc12)c4ccc(cc4)c5cccc5
۲	Y	Y	Y	Y	۶,۳۰	۶,۰۷	۶,۰۹	۵,۸۳	۶۱,۶۸	۶۳,۲۳	۶۸,۰۱	۳۵,۹۳	۶,۱۹	*	-	+	*	COc1cccc1C2=CC(=O)c3ccc(CCCCCCCCCN4CCCC4)cc3O2
۳	N	Y	Y	Y	۶,۲۶	۵,۷۴	۶,۴۳	۶,۱۵	۶۱,۳۸	۶۱,۰۷	۶۶,۹۸	۳۸,۰۲	۶,۱۷	-	#	#	+	COc1cccc(c1)C2=CC(=O)c3ccc(CCCCCCCCN4CCCC4)cc3O2
۴	Y	Y	Y	Y	۶,۲۲	۶,۲۳	۶,۸۰	۶,۰۵	۶۱,۱۰	۶۶,۲۶	۷۰,۷۶	۴۰,۶۰	۵,۷۷	-	-	#	-	COc1ccc(cc1)C2=CC(=O)c3ccc(CCCCCCCCN4CCCC4)cc3O2
۵	Y	Y	Y	Y	۶,۱۰	۶,۰۴	۶,۴۷	۶,۲۷	۵۹,۵۴	۶۳,۰۳	۶۷,۳۲	۳۸,۸۰	۶,۱۸	-	+	*	+	COc1ccc(cc1OC)C2=CC(=O)c3ccc(CCCCCCCCCN4CCCC4)cc3O2
۶	Y	Y	N	Y	۶,۰۵	۶,۴۷	۶,۶۳	۶,۳۸	۶۳,۴۶	۶۵,۸۰	۶۸,۹۰	۳۹,۴۷	۵,۹۷	#	+	-	+	COc1cc(cc(OC)c1OC)C2=CC(=O)c3ccc(CCCCCCCCN4CCCC4)cc3O2
۷	N	Y	Y	Y	۵,۹۶	۵,۶۰	۵,۰۳	۵,۷۷	۵۹,۲۲	۶۰,۱۹	۵۷,۸۳	۳۵,۵۵	۵,۷۰	+	-	#	+	O=C1C=C(Oc2cc(CCCCCCCCN3CCCC3)ccc12)c4cccc4Oc5cccc5
۸	N	Y	Y	Y	۵,۱۹	۶,۰۱	۵,۸۸	۵,۶۷	۵۷,۹۸	۶۲,۸۰	۶۱,۴۱	۳۴,۹۰	۵,۰۱	#	-	-	-	Oc1cccc1C2=CC(=O)c3ccc(CCCCCCCCN4CCCC4)cc3O2
۹	Y	Y	N	Y	۵,۱۷	۵,۹۲	۵,۷۸	۵,۸۰	۵۷,۸۰	۶۲,۲۱	۶۰,۳۴	۳۵,۷۵	۵,۱۰	+	+	+	+	O=C1C=C(Oc2cc(CCCCCCCCN3CCCC3)ccc12)c4cccc(Oc5cccc5)c4
۱۰	Y	Y	Y	Y	۵,۷۵	۵,۶۷	۵,۷۳	۵,۹۹	۵۷,۷۸	۶۰,۶۵	۵۹,۸۸	۳۶,۹۹	۵,۹۵	-	+	-	+	Oc1cccc(c1)C2=CC(=O)c3ccc(CCCCCCCCCN4CCCC4)cc3O2
۱۱	Y	Y	Y	Y	۵,۴۰	۵,۷۷	۵,۸۳	۵,۸۴	۵۵,۱۵	۶۱,۲۹	۶۰,۹۲	۳۵,۹۹	۵,۷۲	*	-	+	#	O=C1C=C(Oc2cc(CCCCCCCCN3CCCC3)ccc12)c4ccc(Oc5cccc5)c4
۱۲	N	Y	Y	Y	۵,۷۱	۶,۱۷	۶,۱۰	۶,۳۹	۵۷,۴۰	۶۳,۸۳	۶۳,۰۷	۳۹,۰۷	۵,۹۲	-	+	+	+	Oc1ccc(cc1)C2=CC(=O)c3ccc(CCCCCCCCCN4CCCC4)cc3O2
۱۳	Y	Y	Y	Y	۵,۹۵	۵,۴۷	۵,۹۴	۵,۵۹	۵۹,۱۲	۵۹,۳۰	۶۲,۰۴	۳۴,۳۵	۵,۹۰	-	+	#	-	Cc1ccc(cc1)C2=CC(=O)c3ccc(CCCCCCCCCN4CCCC4)cc3O2
۱۴	Y	Y	Y	Y	۵,۸۳	۶,۱۳	۵,۶۸	۵,۷۶	۵۸,۲۷	۶۳,۶۲	۵۹,۳۵	۳۵,۴۶	۵,۹۵	-	+	*	*	Clc1ccc(cc1)C2=CC(=O)c3ccc(CCCCCCCCCN4CCCC4)cc3O2
۱۵	Y	Y	Y	Y	۵,۸۳	۵,۶۱	۵,۶۸	۵,۶۱	۵۸,۲۷	۶۰,۲۱	۵۹,۳۵	۳۴,۴۸	۵,۶۷	-	*	-	+	Brc1ccc(cc1)C2=CC(=O)c3ccc(CCCCCCCCCN4CCCC4)cc3O2
۱۶	Y	N	Y	Y	۵,۸۷	۵,۸۱	۶,۳۳	۵,۹۱	۵۸,۰۵	۶۱,۵۰	۶۵,۸۹	۳۶,۴۴	۵,۱۶	+	+	+	-	O=C1C=C(Oc2cc(CCCCCCCCN3CCCC3)ccc12)c4ccc(cc4)N5CCCC5
۱۷	N	Y	Y	Y	۵,۶۶	۶,۰۱	۵,۹۴	۶,۱۱	۵۷,۰۵	۶۲,۸۵	۶۲,۰۳	۳۷,۷۴	۶,۱۴	-	+	-	-	O=C1C=C(Oc2cc(CCCCCCCCCN3CCCC3)ccc12)c4cccc5cccc45
۱۸	Y	Y	Y	Y	۵,۷۸	۵,۷۲	۵,۴۷	۵,۵۴	۵۷,۹۱	۶۰,۹۲	۵۷,۲۸	۳۴,۰۷	۵,۳۲	-	#	+	#	O=C1C=C(Oc2cc(CCCCCCCCCN3CCCC3)ccc12)c4ccc(cc4)c5cccc5
۱۹	N	Y	Y	Y	۵,۶۹	۵,۰۴	۵,۰۴	۵,۲۰	۵۷,۱۳	۵۶,۶۵	۵۲,۹۲	۳۱,۸۰	۵,۷۰	-	-	-	#	CN(C)c1ccc(cc1)C2=CC(=O)c3ccc(CCCCCCCCCN4CCCC4)cc3O2
۲۰	Y	Y	Y	Y	۵,۸۴	۵,۷۸	۵,۸۴	۵,۶۵	۵۸,۳۶	۶۱,۳۳	۶۱,۰۲	۳۴,۷۶	۵,۶۵	+	*	+	-	CCN(CC)CCCCOc1ccc2C(=O)C=C(Oc2c1)c3ccc(cc3)N(C)C

ادامه جدول ۴

شکافت										pIC <sub>50</sub> آزمایشی	شکافت				SMILES	شماره	
۱	۲	۳	۴	۵	۶	۷	۸	۹	۱۰		۱	۲	۳	۴			
Y	Y	Y	N	۵/۸۰	۵/۴۶	۵/۰۹	۵/۲۹	۵۸/۰۶	۵۹/۲۴	۵۸/۴۸	۳۲/۴۶	۵/۵۶	*	#	+	-	۲۱
Y	Y	Y	Y	۵/۷۳	۵/۴۴	۵/۰۴	۵/۳۳	۵۷/۵۶	۵۹/۱۳	۵۷/۹۹	۳۲/۶۹	۵/۵۲	#	#	#	+	۲۲
Y	Y	Y	Y	۵/۱۸	۴/۸۵	۴/۹۶	۴/۷۴	۵۳/۵۷	۵۵/۳۲	۵۲/۰۷	۲۸/۸۵	۵/۰۸	+	+	-	+	۲۳
Y	Y	Y	Y	۵/۷۰	۵/۷۶	۵/۱۶	۵/۷۷	۵۷/۳۶	۶۱/۱۰	۶۰/۰۲	۳۵/۲۳	۵/۵۱	#	*	#	#	۲۴
N	N	N	Y	۵/۶۶	۵/۴۲	۵/۴۹	۵/۳۷	۵۷/۰۷	۵۹/۰۱	۵۷/۴۹	۳۲/۹۳	۵/۰۴	-	-	-	-	۲۵
N	Y	Y	Y	۵/۵۹	۵/۴۰	۵/۴۴	۵/۴۰	۵۶/۵۷	۵۸/۸۹	۵۶/۹۹	۳۳/۱۶	۵/۱۷	#	-	-	#	۲۶
N	N	Y	Y	۵/۰۴	۴/۸۲	۴/۸۶	۴/۸۱	۵۲/۵۷	۵۵/۰۹	۵۱/۰۷	۲۹/۳۲	۵/۱۱	+	#	-	+	۲۷
Y	Y	Y	N	۵/۵۶	۵/۷۱	۵/۶۵	۵/۷۹	۵۶/۳۶	۶۰/۸۶	۵۹/۰۲	۳۵/۷۰	۵/۷۲	+	*	+	*	۲۸
Y	Y	Y	Y	۵/۰۲	۵/۳۹	۵/۳۹	۵/۴۴	۵۶/۰۷	۵۸/۷۸	۵۶/۴۹	۳۳/۴۰	۵/۷۰	*	+	*	+	۲۹
Y	N	Y	Y	۵/۴۵	۵/۱۷	۵/۳۴	۵/۴۷	۵۵/۵۷	۵۸/۶۶	۵۵/۹۹	۳۳/۶۳	۵/۱۰	#	#	*	#	۳۰
Y	N	Y	Y	۴/۹۰	۴/۷۸	۴/۷۶	۴/۸۸	۵۱/۵۷	۵۴/۱۶	۵۰/۰۷	۲۹/۷۹	۴/۶۲	+	-	+	+	۳۱
Y	N	Y	Y	۵/۴۳	۵/۶۷	۵/۵۵	۵/۸۷	۵۵/۳۶	۶۰/۶۳	۵۸/۰۲	۳۶/۱۶	۵/۴۳	-	-	-	+	۳۲
Y	Y	Y	Y	۵/۳۸	۵/۳۵	۵/۳۰	۵/۵۱	۵۵/۰۷	۵۸/۵۴	۵۵/۴۹	۳۳/۱۶	۵/۶۵	-	*	+	-	۳۳
Y	Y	Y	Y	۴/۷۶	۴/۷۴	۴/۶۶	۴/۹۵	۵۰/۰۷	۵۲/۰۴	۴۹/۰۷	۳۰/۱۶	۴/۶۴	+	*	#	+	۳۴
Y	Y	Y	Y	۴/۶۲	۴/۷۱	۴/۵۶	۵/۰۳	۴۹/۵۷	۵۴/۳۹	۴۸/۰۷	۳۰/۷۳	۴/۴۷	#	#	*	-	۳۵
Y	Y	Y	Y	۷/۳۴	۶/۶۸	۷/۶۶	۷/۱۰	۶۹/۱۶	۶۷/۱۶	۶۹/۳۳	۴۴/۱۹	۷/۴۶	+	#	-	*	۳۶
Y	Y	Y	Y	۷/۰۹	۷/۳۱	۷/۴۸	۷/۳۵	۶۷/۳۷	۷۱/۲۰	۷۷/۴۸	۴۵/۷۸	۷/۴۳	#	+	+	-	۳۷
Y	Y	Y	Y	۷/۳۳	۷/۰۶	۷/۰۲	۶/۶۱	۶۹/۰۸	۶۹/۰۹	۷۷/۸۹	۴۰/۹۶	۷/۳۵	-	#	*	*	۳۸
Y	Y	Y	Y	۷/۱۸	۷/۰۷	۷/۰۱	۷/۰۸	۷۳/۰۳	۷۲/۹۳	۷۲/۸۱	۴۷/۱۵	۷/۱۱	-	+	+	+	۳۹
Y	Y	Y	Y	۷/۱۱	۷/۶۶	۷/۹۷	۷/۷۷	۷۲/۵	۷۳/۰۱	۷۲/۴۴	۴۸/۱۸	۷/۰۸	+	#	-	#	۴۰

ادامه جدول ۴

شکافت										pIC <sub>50</sub> آزمایشی	شکافت				SMILES	شماره				
۱	۲	۳	۴	۵	۶	۷	۸	۹	۱۰		۱	۲	۳	۴						
Y	Y	Y	Y	Y	Y,۹۴	Y,۹۷	Y,۹۱	Y, <sup>۰</sup> ۳	Y <sub>۰</sub> ,۴۵	Y <sub>۰</sub> ,۴۸	Y <sub>۰</sub> ,۸۸	Y <sub>۰</sub> ,۷۰	Y,۸۷	*	+	#	*	COc1ccc(cc1OC)C2=CC(=O)c3ccc(OCCN4CCC(C)CC4)cc3O2	۴۱	
Y	Y	N	Y	Y	Y, <sup>۰</sup> ۷۰	Y, <sup>۰</sup> ۲۲	Y, <sup>۰</sup> ۸۷	Y, <sup>۰</sup> ۷۷	Y, <sup>۰</sup> ۷۴	Y, <sup>۰</sup> ۹	Y, <sup>۰</sup> ۴۷	Y <sub>۰</sub> ,۵۷	Y, <sup>۰</sup> ۷۸	-	#	-	#	COc1cc(cc(OC)c1OC)C2=CC(=O)c3ccc(OCCN4CCC(C)CC4)cc3O2	۴۲	
Y	Y	N	Y	Y	Y, <sup>۰</sup> ۸۷	Y, <sup>۰</sup> ۹۵	Y, <sup>۰</sup> ۸۶	Y, <sup>۰</sup> ۶	Y <sub>۰</sub> ,۹۵	Y <sub>۰</sub> ,۳۶	Y <sub>۰</sub> ,۳۸	Y <sub>۰</sub> ,۹۳	Y, <sup>۰</sup> ۸۱	+	-	+	*	COc1ccc(cc1OC)C2=CC(=O)c3ccc(OCCCN4CCC(C)CC4)cc3O2	۴۳	
Y	Y	Y	Y	Y	Y, <sup>۰</sup> ۶۳	Y, <sup>۰</sup> ۲۰	Y, <sup>۰</sup> ۸۲	Y, <sup>۰</sup> ۸۱	Y, <sup>۰</sup> ۴۴	Y <sub>۰</sub> ,۹۷	Y <sub>۰</sub> ,۹۷	Y <sub>۰</sub> ,۷۵	Y, <sup>۰</sup> ۷۸	+	-	+	+	COc1cc(cc(OC)c1OC)C2=CC(=O)c3ccc(OCCCN4CCC(C)CC4)cc3O2	۴۴	
Y	Y	Y	Y	Y	Y, <sup>۰</sup> ۸۱	Y, <sup>۰</sup> ۵۶	Y, <sup>۰</sup> ۹۶	Y, <sup>۰</sup> ۶۰	Y <sub>۰</sub> ,۵۳	Y <sub>۰</sub> ,۸۲	Y <sub>۰</sub> ,۳۱	Y <sub>۰</sub> ,۷۹	Y, <sup>۰</sup> ۷۹	Y, <sup>۰</sup> ۳۲	+	-	+	+	COc1ccc(cc1)C2=CC(=O)c3ccc(OCCCCN4CCC(C)CC4)cc3O2	۴۵
Y	Y	Y	Y	Y	Y, <sup>۰</sup> ۷۴	Y, <sup>۰</sup> ۶۴	Y, <sup>۰</sup> ۹۲	Y, <sup>۰</sup> ۷۶	Y <sub>۰</sub> ,۰۰	Y <sub>۰</sub> ,۳۹	Y <sub>۰</sub> ,۹۴	Y <sub>۰</sub> ,۴۱	Y, <sup>۰</sup> ۱۸	#	+	-	-	COc1ccc(cc1)C2=CC(=O)c3ccc(OCCCCN4CCN(CCO)CC4)cc3O2	۴۶	
Y	Y	Y	Y	Y	Y, <sup>۰</sup> ۷۴	Y, <sup>۰</sup> ۵۴	Y, <sup>۰</sup> ۹۱	Y, <sup>۰</sup> ۶۳	Y <sub>۰</sub> ,۰۳	Y <sub>۰</sub> ,۷۰	Y <sub>۰</sub> ,۸۱	Y <sub>۰</sub> ,۶۲	Y, <sup>۰</sup> ۲۴	-	*	-	-	COc1ccc(cc1)C2=CC(=O)c3ccc(OCCCCCCN4CCC(C)CC4)cc3O2	۴۷	
Y	Y	Y	Y	Y	Y, <sup>۰</sup> ۶۷	Y, <sup>۰</sup> ۶۳	Y, <sup>۰</sup> ۸۷	Y, <sup>۰</sup> ۷۹	Y <sub>۰</sub> ,۵۱	Y <sub>۰</sub> ,۷۷	Y <sub>۰</sub> ,۴۴	Y <sub>۰</sub> ,۶۴	Y, <sup>۰</sup> ۱۷	+	-	-	#	COc1ccc(cc1)C2=CC(=O)c3ccc(OCCCCCCN4CCN(CCO)CC4)cc3O2	۴۸	
Y	Y	Y	Y	Y	Y, <sup>۰</sup> ۶۷	Y, <sup>۰</sup> ۵۲	Y, <sup>۰</sup> ۸۶	Y, <sup>۰</sup> ۶۷	Y, <sup>۰</sup> ۵۳	Y <sub>۰</sub> ,۵۸	Y <sub>۰</sub> ,۳۱	Y <sub>۰</sub> ,۶۶	Y, <sup>۰</sup> ۱۷	-	*	+	#	COc1ccc(cc1)C2=CC(=O)c3ccc(OCCCCCCN4CCC(C)CC4)cc3O2	۴۹	
Y	Y	Y	Y	Y	Y, <sup>۰</sup> ۶۰	Y, <sup>۰</sup> ۶۱	Y, <sup>۰</sup> ۸۲	Y, <sup>۰</sup> ۸۳	Y <sub>۰</sub> ,۰۱	Y <sub>۰</sub> ,۱۶	Y <sub>۰</sub> ,۹۴	Y <sub>۰</sub> ,۶۳	Y, <sup>۰</sup> ۶۸	Y, <sup>۰</sup> ۱۹	-	+	+	-	COc1ccc(cc1)C2=CC(=O)c3ccc(OCCCCCCN4CCN(CCO)CC4)cc3O2	۵۰
Y	Y	Y	Y	Y	Y, <sup>۰</sup> ۵۳	Y, <sup>۰</sup> ۴۸	Y, <sup>۰</sup> ۷۶	Y, <sup>۰</sup> ۷۶	Y, <sup>۰</sup> ۰۳	Y <sub>۰</sub> ,۵۸	Y <sub>۰</sub> ,۳۱	Y <sub>۰</sub> ,۶۶	Y, <sup>۰</sup> ۱۹	+	*	*	+	COc1ccc(cc1)C2=CC(=O)c3ccc(OCCCCCCN4CCC(C)CC4)cc3O2	۵۱	
Y	Y	Y	Y	Y	Y, <sup>۰</sup> ۴۶	Y, <sup>۰</sup> ۵۷	Y, <sup>۰</sup> ۷۲	Y, <sup>۰</sup> ۹۰	Y <sub>۰</sub> ,۰۱	Y <sub>۰</sub> ,۹۲	Y <sub>۰</sub> ,۹۵	Y <sub>۰</sub> ,۳۵	Y, <sup>۰</sup> ۲۱	#	*	+	*	COc1ccc(cc1)C2=CC(=O)c3ccc(OCCCCCCCN4CCN(CCO)CC4)cc3O2	۵۲	
Y	Y	Y	Y	Y	Y, <sup>۰</sup> ۲۱	Y, <sup>۰</sup> ۷۶	Y, <sup>۰</sup> ۴۰	Y, <sup>۰</sup> ۶۴	Y <sub>۰</sub> ,۸۲	Y <sub>۰</sub> ,۲۱	Y <sub>۰</sub> ,۵۵	Y <sub>۰</sub> ,۷۱	Y, <sup>۰</sup> ۳۹	*	#	-	#	COc1cc2OC(=CC(=O)c2cc1OC)c3ccc(cc3)[O]4CCN(Cc5cccc5)CC4	۵۳	
Y	Y	Y	Y	Y	Y, <sup>۰</sup> ۸۳	Y, <sup>۰</sup> ۷۷	Y, <sup>۰</sup> ۰۳	Y, <sup>۰</sup> ۹۴	Y <sub>۰</sub> ,۰۹	Y <sub>۰</sub> ,۰۴	Y <sub>۰</sub> ,۱۶	Y <sub>۰</sub> ,۱۵	Y, <sup>۰</sup> ۸۲	-	#	*	-	COc1cc2OC(=CC(=O)c2cc1OC)c3ccc(cc3)[O]4CCN(Cc5cccc5)CC4	۵۴	
Y	Y	Y	Y	Y	Y, <sup>۰</sup> ۳۱	Y, <sup>۰</sup> ۷۲	Y, <sup>۰</sup> ۱۲	Y, <sup>۰</sup> ۷۵	Y, <sup>۰</sup> ۰۵	Y <sub>۰</sub> ,۹۵	Y <sub>۰</sub> ,۷۶	Y <sub>۰</sub> ,۴۲	Y, <sup>۰</sup> ۱۸	-	+	+	#	COc1cc2OC(=CC(=O)c2cc1OC)c3ccc(cc3)[O]4CCN(Cc5cccc5)CC4	۵۵	
Y	Y	Y	Y	Y	Y, <sup>۰</sup> ۹۳	Y, <sup>۰</sup> ۲۳	Y, <sup>۰</sup> ۲۵	Y, <sup>۰</sup> ۰۵	Y <sub>۰</sub> ,۸۲	Y <sub>۰</sub> ,۷۹	Y <sub>۰</sub> ,۰۶	Y <sub>۰</sub> ,۱۶	Y, <sup>۰</sup> ۰۶	Y, <sup>۰</sup> ۰۶	+	+	-	*	COc1cc2OC(=CC(=O)c2cc1OC)c3cccc(OCC4CCN(Cc5cccc5)CC4)c3	۵۶
Y	Y	N	Y	Y	Y, <sup>۰</sup> ۶۱	Y, <sup>۰</sup> ۲۸	Y, <sup>۰</sup> ۳۳	Y, <sup>۰</sup> ۳۸	Y <sub>۰</sub> ,۹۰	Y <sub>۰</sub> ,۵۷	Y <sub>۰</sub> ,۹۳	Y <sub>۰</sub> ,۵۲	Y, <sup>۰</sup> ۰۳	+	-	+	+	COc1cc2OC=C(C(=O)c2cc1OC)c3ccc(cc3)[O]4CCN(Cc5cccc5)CC4	۵۷	
Y	Y	N	Y	Y	Y, <sup>۰</sup> ۲۳	Y, <sup>۰</sup> ۷۹	Y, <sup>۰</sup> ۴۳	Y, <sup>۰</sup> ۶۸	Y <sub>۰</sub> ,۱۷	Y <sub>۰</sub> ,۴۱	Y <sub>۰</sub> ,۰۳	Y <sub>۰</sub> ,۹۶	Y, <sup>۰</sup> ۱۴	-	-	-	-	COc1cc2OC=C(C(=O)c2cc1OC)c3ccc(OCC4CCN(Cc5cccc5)CC4)c3	۵۸	
Y	Y	Y	Y	Y	Y, <sup>۰</sup> ۷۱	Y, <sup>۰</sup> ۲۴	Y, <sup>۰</sup> ۰۵	Y, <sup>۰</sup> ۴۹	Y <sub>۰</sub> ,۶۶	Y <sub>۰</sub> ,۴۴	Y <sub>۰</sub> ,۳۲	Y <sub>۰</sub> ,۱۳	Y <sub>۰</sub> ,۰۳	Y <sub>۰</sub> ,۰۳	*	#	*	+	COc1cc2OC=C(C(=O)c2cc1OC)c3cccc(cc3)[O]4CCN(Cc5cccc5)CC4	۵۹
N	Y	N	Y	Y	Y, <sup>۰</sup> ۳۴	Y, <sup>۰</sup> ۷۵	Y, <sup>۰</sup> ۱۸	Y, <sup>۰</sup> ۷۹	Y <sub>۰</sub> ,۹۱	Y <sub>۰</sub> ,۱۵	Y <sub>۰</sub> ,۴۳	Y <sub>۰</sub> ,۴۳	Y <sub>۰</sub> ,۷۷	Y, <sup>۰</sup> ۷۹	#	-	#	#	COc1cc2OC=C(C(=O)c2cc1OC)c3cccc(OCC4CCN(Cc5cccc5)CC4)c3	۶۰

ادامه جدول ۴

شماره	شکافت												SMILES					
	دامنه کاربرد مدل				pIC <sub>50</sub> پیشگویی			DCW (T, N)					pIC <sub>50</sub> آزمایشی	شکافت				
	۴	۳	۲	۱	۴	۳	۲	۱	۴	۳	۲	۱	۴	۳	۲	۱		
۶۱	Y	Y	Y	Y	۴,۸۵	۴,۱۲	۳,۹۵	۴,۲۵	۵۱,۲۳	۵۰,۶	۴۱,۹۱	۲۵,۶۶	۴,۰۶	#	+	-	-	Cc1c(O)ccc2C(=O)C=C(Oc12)c3cccc3
۶۲	N	Y	Y	Y	۶,۱۴	۶,۰۴	۶,۲۵	۵,۸۷	۶۰,۴۷	۶۲,۹۸	۶۵,۱۱	۳۶,۱۷	۵,۶۹	+	+	#	+	Cc1c(OCCN2CCCC2)ccc3C(=O)C=C(Oc13)c4cccc4
۶۳	Y	Y	N	Y	۶,۰۷	۶,۰۲	۶,۲۰	۵,۹۰	۵۹,۹۷	۶۲,۸۷	۶۴,۶۱	۳۶,۴۱	۶,۰۲	+	#	*	-	Cc1c(OCCCN2CCCC2)ccc3C(=O)C=C(Oc13)c4cccc4
۶۴	Y	Y	Y	Y	۶,۰۰	۶,۰۰	۶,۱۵	۵,۹۴	۵۹,۴۷	۶۲,۷۵	۶۴,۱۱	۳۶,۶۴	۶,۶۲	+	+	#	-	Cc1c(OCCCCN2CCCC2)ccc3C(=O)C=C(Oc13)c4cccc4
۶۵	Y	Y	Y	Y	۵,۹۳	۵,۹۸	۶,۱۰	۵,۹۸	۵۸,۹۷	۶۲,۶۳	۶۳,۶۲	۳۶,۸۷	۶,۶۱	*	*	#	+	Cc1c(OCCCCCCN2CCCC2)ccc3C(=O)C=C(Oc13)c4cccc4
۶۶	Y	Y	Y	Y	۵,۸۶	۵,۹۶	۶,۰۵	۶,۰۱	۵۸,۴۷	۶۲,۵۲	۶۳,۱۲	۳۷,۱۱	۶,۱۲	#	-	+	*	Cc1c(OCCCCCCCN2CCCC2)ccc3C(=O)C=C(Oc13)c4cccc4
۶۷	Y	Y	Y	Y	۶,۱۷	۶,۲۳	۶,۴۶	۶,۱۱	۶۰,۷۲	۶۴,۲۳	۶۷,۲۴	۳۷,۷۴	۵,۶۸	-	-	-	+	CC1CCCCN1CCOc2ccc3C(=O)C=C(Oc3c2C)c4cccc4
۶۸	Y	Y	Y	Y	۶,۱۰	۶,۲۱	۶,۴۱	۶,۱۵	۶۰,۲۲	۶۴,۱۱	۶۶,۷۴	۳۷,۷۸	۶,۲۳	#	*	#	-	CC1CCCN1CCCOc2ccc3C(=O)C=C(Oc3c2C)c4cccc4
۶۹	Y	Y	Y	Y	۶,۰۳	۶,۱۹	۶,۳۶	۶,۱۸	۵۹,۷۳	۶۳,۹۹	۶۶,۲۴	۳۸,۲۱	۶,۶۰	#	#	#	-	CC1CCCCN1CCCCOc2ccc3C(=O)C=C(Oc3c2C)c4cccc4
۷۰	Y	Y	Y	Y	۵,۹۶	۶,۱۷	۶,۳۱	۶,۲۲	۵۹,۲۳	۶۳,۸۸	۶۵,۷۴	۳۸,۴۴	۶,۶۷	+	-	-	*	CC1CCCCN1CCCCCOe2ccc3C(=O)C=C(Oc3c2C)c4cccc4
۷۱	Y	Y	Y	Y	۵,۸۹	۶,۱۶	۶,۲۶	۶,۲۵	۵۸,۷۳	۶۳,۷۶	۶۵,۲۴	۳۸,۶۸	۵,۷۲	#	+	+	-	CC1CCCCN1CCCCCCOe2ccc3C(=O)C=C(Oc3c2C)c4cccc4
۷۲	Y	Y	Y	Y	۶,۱۹	۶,۴۲	۶,۱۶	۵,۹۰	۶۱,۰۵	۶۵,۴۵	۶۶,۰۰	۳۶,۳۹	۵,۷۴	-	*	-	-	Cc1c(OCCN2CCC(O)CC2)ccc3C(=O)C=C(Oc13)c4cccc4
۷۳	Y	Y	Y	Y	۶,۲۲	۶,۴۰	۶,۱۱	۵,۹۴	۶۱,۰۶	۶۵,۳۳	۶۳,۷۰	۳۶,۶۲	۵,۵۳	#	*	-	-	Cc1c(OCCCN2CCC(O)CC2)ccc3C(=O)C=C(Oc13)c4cccc4
۷۴	Y	Y	Y	Y	۶,۱۵	۶,۳۸	۶,۱۶	۵,۹۷	۶۰,۰۵	۶۵,۲۱	۶۳,۲۰	۳۶,۱۵	۶,۲۲	*	*	+	+	Cc1c(OCCCCN2CCC(O)CC2)ccc3C(=O)C=C(Oc13)c4cccc4
۷۵	Y	Y	Y	Y	۶,۰۸	۶,۳۶	۶,۰۱	۶,۰۱	۶۰,۰۶	۶۵,۰۹	۶۲,۷۰	۳۷,۰۹	۶,۲۲	-	-	+	#	Cc1c(OCCCCCCN2CCC(O)CC2)ccc3C(=O)C=C(Oc13)c4cccc4
۷۶	Y	Y	Y	Y	۶,۰۱	۶,۳۴	۵,۹۶	۶,۰۵	۵۹,۰۵	۶۴,۹۸	۶۲,۲۰	۳۷,۱۳	۵,۵۰	+	+	+	*	Cc1c(OCCCCCCCN2CCC(O)CC2)ccc3C(=O)C=C(Oc13)c4cccc4
۷۷	Y	Y	Y	Y	۵,۹۳	۵,۹۸	۶,۱۰	۵,۹۸	۵۸,۹۷	۶۲,۶۳	۶۳,۶۲	۳۶,۸۷	۶,۶۳	-	-	+	#	Cc1c(OCCCCCCN2CCCCC2)ccc3C(=O)C=C(Oc13)c4cccc4
۷۸	Y	Y	Y	Y	۵,۸۶	۵,۹۶	۶,۰۵	۶,۰۱	۵۸,۴۷	۶۲,۵۲	۶۳,۱۲	۳۷,۱۱	۶,۴۸	+	+	-	*	Cc1c(OCCCCCCN2CCCCC2)ccc3C(=O)C=C(Oc13)c4cccc4
۷۹	Y	Y	Y	Y	۵,۷۸	۵,۷۸	۶,۰۷	۵,۷۶	۵۷,۸۹	۶۱,۳۲	۶۳,۳۲	۳۵,۴۶	۵,۷۸	-	+	+	#	CN1CCN(CCCCCOc2ccc3C(=O)C=C(Oc3c2C)c4cccc4)CC1
۸۰	Y	Y	Y	Y	۵,۷۱	۵,۷۶	۶,۰۲	۵,۷۹	۵,۳۹	۶۱,۲۰	۶۲,۸۲	۳۵,۶۹	۵,۷۳	+	+	-	*	CN1CCN(CCCCCCOc2ccc3C(=O)C=C(Oc3c2C)c4cccc4)CC1

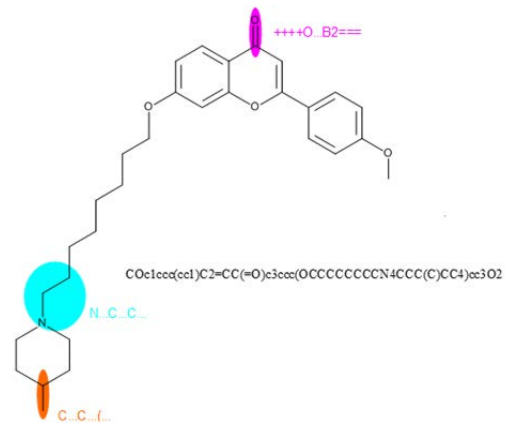
ادامه جدول ۴

شکافت										pIC <sub>50</sub> آزمایشی	شکافت				SMILES	شماره		
۴	۳	۲	۱	۴	۳	۲	۱	۴	۳	۲	۱	۴	۳	۲	۱			
Y	Y	Y	Y	6,۹۱	6,۸۸	6,۸۱	6,۵۷	66,۰۶	68,۴۷	70,۷۹	۴۰,۷۰	6,۸۹	+	*	#	-	CCN(CC)CCCCOc1ccc2C(=O)C=C(Oc2c1C)c3cccc3	۸۱
Y	N	Y	Y	6,۸۴	6,۸۷	6,۷۶	6,۶۰	65,۵۶	68,۳۵	70,۲۹	۴۰,۹۴	6,۵۸	+	-	#	-	CCN(CC)CCCCCOc1ccc2C(=O)C=C(Oc2c1C)c3cccc3	۸۲
Y	N	Y	Y	6,۳۷	6,۵۴	6,۵۲	5,۹۷	62,۱۷	66,۲۵	67,۸۷	۳۶,۱۶	6,۴۸	-	-	*	*	CN(C)CCCCOc1ccc2C(=O)C=C(Oc2c1C)c3cccc3	۸۳
Y	N	Y	Y	6,۳۰	6,۵۲	6,۴۷	5,۱	61,۶۷	66,۱۴	67,۳۷	۳۷,۱۰	6,۶۸	#	+	-	#	CN(C)CCCCCOc1ccc2C(=O)C=C(Oc2c1C)c3cccc3	۸۴
Y	Y	Y	Y	6,۰۳	5,۰۱	5,۶۹	5,۹۷	59,۷۴	59,۵۷	59,۵۰	۳۶,۱۶	5,۵۶	*	+	#	+	Cc1c(OCCCCCCN2CCOCC2)ccc3C(=O)C=C(Oc13)c4cccc4	۸۵
Y	Y	Y	Y	5,۹۷	5,۴۹	5,۶۴	5,۰۱	59,۲۵	59,۴۶	59,۰۰	۳۷,۱۰	5,۰۶	+	-	-	-	Cc1c(OCCCCCCN2CCOCC2)ccc3C(=O)C=C(Oc13)c4cccc4	۸۶
Y	Y	N	N	۴,۹۰	۴,۵۲	۴,۳۰	۴,۶۲	51,۵۸	53,۱۸	45,۴۸	۲۸,۰۶	۴,۶۰	*	-	+	+	COC(=O)[C@@@H]1CCCN1CCCCOc2ccc3C(=O)C=C(Oc3c2C)c4cccc4	۸۷
N	Y	N	N	۴,۸۳	۴,۵۰	۴,۲۵	۴,۶۵	51,۰۸	53,۰۶	۴۴,۹۸	۲۸,۲۹	۴,۷۱	+	-	-	-	COC(=O)[C@@@H]1CCCN1CCCCCOc2ccc3C(=O)C=C(Oc3c2C)c4cccc4	۸۸

(N...C...C...), و توالی دو کربن آلیفاتیک همراه با شاخه-دارشدن ((C...C...C...)) اشاره کرد. یک توصیفگر کاهنده مشترک در هر چهار شکافت هم وجود دارد که توالی کربن آلیفاتیک، شاخه‌دارشدن و پیوند دوگانه ((C...=...)(C...)) است. در مورد توصیفگر توالی یک نیتروژن آلیفاتیک و دو کربن آلیفاتیک (N...C...C...)، به عنوان توصیفگر افزاینده، می‌توان به مثال‌هایی اشاره کرد. ترکیب شماره ۸۱ ( $pIC_{50}=6.89$ ) و ( $pIC_{50}=6.48$ ) از نظر ساختاری خیلی شبیه به هم هستند، با این تفاوت که ترکیب شماره ۸۱ دارای این توصیفگر و ترکیب ۸۳ بدون این توصیفگر است. در مورد توصیفگر افزاینده ((C...C...)), با بررسی داده‌ها، به صورت کلی می‌توان گفت با افزایش تعداد n که همان افزایش تعداد کربن‌های آلیفاتیک است، فعالیت افزایش پیدا کرده است. در چندین چارچوب کلی متفاوت از داده‌ها، به صورت کلی این روند افزایشی مشاهده می‌شود. برای مثال، ترکیب شماره ۲۸ ( $pIC_{50}=5.51$ ) در مقایسه با ترکیب شماره ۲۴ ( $pIC_{50}=5.74$ )، ترکیب شماره ۲۹ ( $pIC_{50}=5.70$ ) در مقایسه با ترکیب شماره ۲۵ ( $pIC_{50}=5.4$ ), ترکیب شماره ۴۹ ( $pIC_{50}=8.17$ ) در مقایسه با ترکیب شماره ۴۵ ( $pIC_{50}=7.32$ ), ترکیب شماره ۵۰ ( $pIC_{50}=8.17$ ) در مقایسه با ترکیب شماره ۴۸ ( $pIC_{50}=7.17$ ), ترکیب شماره ۶۴ ( $pIC_{50}=6.62$ ) در مقایسه با ترکیب شماره ۶۲ ( $pIC_{50}=5.69$ ), ترکیب شماره ۶۹ ( $pIC_{50}=6.64$ ) در مقایسه با ترکیب شماره ۶۷ ( $pIC_{50}=5.97$ ), ترکیب شماره ۷۴ ( $pIC_{50}=6.22$ ), ترکیب شماره ۸۴ ( $pIC_{50}=6.68$ ) در مقایسه با ترکیب شماره ۸۳ ( $pIC_{50}=6.48$ ), فعالیت افزایش پیدا کرده است. به عنوان نتیجه مدل‌سازی، فعالیت یک سری از فلاونوئیدها برپایه بهترین مدل (مدل مربوط به شکافت<sup>(۳)</sup>) که بالاترین عامل‌های آماری برای سری واسنجی را داشت،  $pIC_{50}$  مربوط به تعدادی از فلاونوئیدهای طبیعی پیشگویی و گزارش شدند. نام فلاونوئیدها و نتیجه‌های این پیشگویی در جدول ۵ گزارش شده

### تفسیر مدل و پیش‌بینی فعالیت فلاونوئیدهای طبیعی

تفسیر مکانیکی، یکی دیگر از نتیجه‌های مهم مدل‌سازی QSAR است. به این معنی که توصیفگر افزاینده و کاهنده فعالیت گزارش شود و برپایه این نتیجه‌ها بتوان ترکیب‌هایی با فعالیت بالا پیشنهاد کرد. در روش بهینه‌سازی مونت کارلو به کمک نرم افزار کورال، با توجه به علامت و مقدارهای وزن همبستگی توصیفگرها می‌توان توصیفگرهای افزاینده یا کاهنده فعالیت را تشخیص داد. برای تشخیص عوامل افزاینده و کاهنده، سه اجرای مستقل مونت کارلو روی هر شکافت انجام می‌شود و ضرایب مربوط به توصیفگرها دارای سه حالت متفاوت خواهد بود. اگر ضریب یک توصیفگر در هر سه اجرا مثبت باشد، در این صورت به عنوان توصیفگر افزاینده معرفی می‌شود. در صورتی که ضریب توصیفگر منفی باشد، توصیفگر کاهنده خواهد بود و در صورتی که این ضریب در برخی اجراهای مثبت و در برخی از اجراهای منفی شود، این توصیفگر تعریف نشده است.



شکل ۲ مشتق فلاونوئید مهارکننده آنزیم استیل‌کولین استراز (ترکیب شماره ۵۱) با بالاترین اثر مهارکننده افزاینده موجود در مدل همراه با برخی عامل‌های ساختاری افزاینده فعالیت

از توصیفگرهای افزاینده، می‌توان به حضور همزمان اکسیژن و پیوند دوگانه (+---O...B2==), حضور دست‌کم یک حلقه (1.....), توالی یک نیتروژن آلیفاتیک و دو کربن آلیفاتیک

جامعی که در مقالات معتبر انجام شده است، فعالیت تعدادی از این ترکیب‌ها به صورت تجربی در آزمایشگاه اندازه‌گیری شده است که قابل مقایسه با فعالیت‌های بهدست‌آمده از راه مدل است. مقدارهای تجربی  $pIC_{50}$  این ترکیب‌ها در جدول ۵ همراه با ذکر مرجع مربوط آمده است.

همان‌طور که در جدول مشاهده می‌شود تعدادی از فلاونوئیدهای طبیعی گزارش شده، فعالیتی بیش از فعال‌ترین ترکیب‌های موجود در مدل دارند. ترکیب‌های شماره ۳۵، ۵۴، ۶۰ و ۶۲ تا ۶۶ دارای  $pIC_{50}$  بالای ۸ هستند. این ترکیب‌ها به عنوان ترکیب‌های فعال طبیعی برای مهار آنزیم استیل کولین استراز می‌توانند استفاده شوند. برپایه جستجوی

جدول ۵ نام، SMILES فلاونوئیدهای طبیعی و  $pIC_{50}$  پیشگویی شده آن‌ها برپایه بهترین مدل (مدل ۳)

شماره	نام فلاونوئید	SMILES	شکافت ۳	$pIC_{50}$ گزارش شده ۵	مرجع
۱	آرتلاستیسین	CC(=CCC1=C(Oc2c(CC=C(C)C)c(O)c(CC=C(C)C)c(O)c2C1=O)c3ccc(O)cc3O)C	۷/۷۷	-	-
۲	آرتلاستین	CC(=CCc1c(O)c(CC=C(C)C)c2OC3=C(C(Oc4cc(O)ccc34)C=C(C)C)C(=O)c2c1O)C	۵/۳۷	-	-
۳	آرتلاستوکروم	CC(=CCc1c2OC(C)(C)C=Cc2c(O)c3C(=O)C4=C(Oc13)c5ccc(O)cc5OC4C=C(C)C)C	۷/۲۴	-	-
۴	آرتوکارپسین	CC(=CCc1c(O)cc2OC(=CC(=O)c2c1O)c3ccc(O)cc3O)C	۴/۵۲	-	-
۵	آرتلاستوکارپین	CC(=CCc1c(O)c(CC=C(C)C)c2OC3=C(CC(Oc4cc(O)ccc34)C(C)(C)O)C(=O)c2c1O)C	۵/۱۷	-	-
۶	کارپلاتوفوران	CC(=CCc1c2OC(Cc2c(O)c3C(=O)C4=C(Oc13)c5ccc(O)cc5OC(C)C(C)O)C(C)(C)O)C	۶/۱۱	-	-
۷	آرتلاستوفوران	CC(=CCC1=C(Oc2c3CC(Oc3c(CC=C(C)C)c(O)c2C1=O)C(C)(C)O)c4ccc(O)cc4O)C	۷/۵۹	-	-
۸	پریمولتین	Oc1cccc2OC(=CC(=O)c12)c3cccc3	۳/۵۱	-	-
۹	کریسین	Oc1cc(O)c2C(=O)C=C(Oc2c1)c3cccc3	۴/۵۰	[۳۳]	
۱۰	تکتوکریزین	COc1cc(O)c2C(=O)C=C(Oc2c1)c3cccc3	۴/۴۷	[۳۴]	
۱۱	پرایتین	Oc1ccc(O)c2C(=O)C=C(Oc12)c3cccc3	۵/۱۸	-	-
۱۲	آپیژنین	Oc1ccc(cc1)C2=CC(=O)c3c(O)cc(O)cc3O2	۷/۳۵	[۳۵]	۵/۱۱
۱۳	آکاستین	COc1ccc(cc1)C2=CC(=O)c3c(O)cc(O)cc3O2	۷/۴۲	-	-
۱۴	گنکوازین	COc1cc(O)c2C(=O)C=C(Oc2c1)c3ccc(O)cc3	۵/۳۸	-	-
۱۵	اکیوئیدینین	COc1cc(O)c2C(=O)C=C(Oc2c1)c3cccc3O	۵/۰۶	[۳۶]	۴/۹۸
۱۶	بايكلين	Oc1cc2OC(=CC(=O)c2c(O)c1O)c3cccc3	۴/۷۳	[۳۷]	۴/۹۶
۱۷	اوروسکیلین	COc1c(O)cc2OC(=CC(=O)c2c1O)c3cccc3	۴/۴۷	-	-
۱۸	نگلتين	COc1cc(O)c2C(=O)C=C(Oc2c1)c3cccc3	۴/۸۰	-	-
۱۹	نوروگونین	Oc1cc(O)c2C(=O)C=C(Oc2c1O)c3cccc3	۵/۴۹	-	-
۲۰	ووگونین	COc1c(O)cc(O)c2C(=O)C=C(Oc12)c3cccc3	۵/۰۲	[۳۶]	۵/۲۰
۲۱	جرالدون	COc1cc(ccc1O)C2=CC(=O)c3ccc(O)cc3O2	۶/۸۲	-	-
۲۲	تبوبین	COc1ccc2C(=O)C=C(Oc2c1)c3ccc(OC)c(O)c3	۵/۶۰	-	-
۲۳	لوتولین	Oc1cc(O)c2C(=O)C=C(Oc2c1)c3ccc(O)c(O)c3	۵/۸۷	[۳۷]	۴/۷۶
۲۴	ع-هیدروکسی لوتوولین	Oc1ccc(cc1O)C2=CC(=O)c3c(O)c(O)c(O)cc3O2	۷/۴۵	-	-

رابطه کمی ساختار – فعالیت تعدادی از مشتق‌های فلاونوئیدی به عنوان ...

-	-	۷/۴۷	<chem>COc1cc(ccc1O)C2=CC(=O)c3c(O)cc(O)cc3O2</chem>	کربازوپول	۲۵
-	-	۷/۴۸	<chem>COc1ccc(cc1O)C2=CC(=O)c3c(O)cc(O)cc3O2</chem>	دیوسسمین (کربیزوپول)	۲۶
-	-	۶/۰۹	<chem>COc1cc(O)c2C(=O)C=C(Oc2c1)c3ccc(OC)c(O)c3</chem>	پیلوین	۲۷
-	-	۶/۰۹	<chem>COc1cc(O)c2C(=O)C=C(Oc2c1)c3ccc(OC)c(O)c3</chem>	ولوتین	۲۸
-	-	۶/۹۲	<chem>Oc1ccc(C2=CC(=O)c3c(O)cc(O)cc3O2)c(O)c1</chem>	نورارتونکارپتین	۲۹
-	-	۵/۵۵	<chem>COc1cc(O)c2C(=O)C=C(Oc2c1)c3ccc(OC)cc3O</chem>	آرتوكارپتین	۳۰
-	-	۷/۹۵	<chem>Oc1ccc(cc1)C2=CC(=O)c3c(O)c(O)c(O)cc3O2</chem>	اسکوتالارین	۳۱
-	-	۵/۰۷	<chem>COc1c(O)cc2OC(=CC(=O)c2c1O)c3ccc(O)cc3</chem>	هیسپیدولین	۳۲
-	-	۵/۳۹	<chem>COc1cc2OC(=CC(=O)c2c(O)c1O)c3ccc(O)cc3</chem>	سوربیفولین	۳۳
-	-	۸/۱۶	<chem>COc1ccc(cc1)C2=CC(=O)c3c(O)c(OC)c(O)cc3O2</chem>	پکتولینارین	۳۴
-	-	۵/۱۰	<chem>COc1cc2OC(=CC(=O)c2c(O)c1OC)c3ccc(O)cc3</chem>	سیرسیمارپتین	۳۵
-	-	۷/۵۶	<chem>COc1ccc(cc1)C2=C(O)C(=O)c3c(O)c(OC)c(O)cc3O2</chem>	میکانین	۳۶
-	-	۷/۹۰	<chem>Oc1ccc(cc1)C2=CC(=O)c3c(O)cc(O)c(O)c3O2</chem>	ایزوسکوتالارین	۳۷
-	-	۵/۴۰	<chem>COc1ccc2OC(=CC(=O)c2c1O)c3c(OC)cccc3OC</chem>	زاپوتینین	۳۸
-	-	۵/۱۲	<chem>COc1ccc2OC(=CC(=O)c2c1OC)c3c(OC)cccc3OC</chem>	زاپوتین	۳۹
-	-	۷/۹۶	<chem>COc1cc(OC)cc(c1)C2=CC(=O)c3c(OC)c(OC)cc3O2</chem>	سروسیلین	۴۰
-	-	۵/۳۵	<chem>COc1c(O)c2C(=O)C=C(Oc2c(OC)c1OC)c3cccc3</chem>	التین	۴۱
-	-	۶/۰۱	<chem>Oc1cc(O)c2C(=O)C=C(Oc2c1)c3cc(O)c(O)c3</chem>	تریستین	۴۲
-	-	۷/۱۷	<chem>COc1cc(cc(OC)c1O)C2=CC(=O)c3c(O)cc(O)cc3O2</chem>	تریسین	۴۳
-	-	۶/۵۲	<chem>COc1cc(O)c2C(=O)C=C(Oc2c1)c3cc(OC)c(OC)c(OC)c3</chem>	کورنیبوسین	۴۴
-	-	۵/۱۷	<chem>COc1c(O)cc2OC(=CC(=O)c2c1O)c3ccc(O)c(O)c3</chem>	نپتین	۴۵
-	-	۵/۴۹	<chem>COc1cc2OC(=CC(=O)c2c(O)c1O)c3ccc(O)c(O)c3</chem>	پدالیتین	۴۶
-	-	۷/۵۱	<chem>COc1cc(ccc1O)C2=CC(=O)c3c(O)c(O)c(O)cc3O2</chem>	نودی فلورتین	۴۷
-	-	۷/۶۶	<chem>COc1cc(ccc1O)C2=CC(=O)c3c(O)c(OC)c(O)cc3O2</chem>	جاسپوسیدین	۴۸
-	-	۵/۲۰	<chem>COc1cc2OC(=CC(=O)c2c(O)c1OC)c3ccc(O)c(O)c3</chem>	سیرسیلینول	۴۹
-	-	۷/۹۰	<chem>COc1ccc(cc1OC)C2=CC(=O)c3c(O)c(OC)c(O)cc3O2</chem>	اوپاتیلین	۵۰
-	-	۷/۸۱	<chem>COc1cc(ccc1O)C2=CC(=O)c3c(O)c(OC)c(O)cc3O2</chem>	سیرسیلینول	۵۱
-	-	۷/۸۱	<chem>COc1ccc(cc1O)C2=CC(=O)c3c(O)c(OC)c(O)cc3O2</chem>	اوپاتورین	۵۲
-	-	۸/۱۹	<chem>COc1ccc(cc1OC)C2=CC(=O)c3c(OC)c(OC)c(OC)cc3O2</chem>	سیننستین	۵۳
-	-	۷/۴۱	<chem>Oc1ccc(cc1O)C2=CC(=O)c3c(O)cc(O)c(O)c3O2</chem>	هیپولاتین	۵۴
-	-	۶/۲۲	<chem>COc1c(O)cc(O)c2C(=O)C=C(Oc12)c3ccc(O)c(O)c3</chem>	اونپوردین	۵۵
-	-	۵/۷۰	<chem>COc1cc(O)c2C(=O)C=C(Oc2c1OC)c3cccc(O)c3OC</chem>	وایتین	۵۶
-	-	۸/۴۱	<chem>COc1ccc(cc1)C2=CC(=O)c3c(O)c(OC)c(O)c(OC)c3O2</chem>	نوادنسین	۵۷
-	-	۵/۴۹	<chem>COc1c(O)c2C(=O)C=C(Oc2c(OC)c1OC)c3ccc(O)cc3</chem>	زانتمیکرول	۵۸
-	-	۸/۷۰	<chem>COc1ccc(cc1)C2=CC(=O)c3c(OC)c(OC)c(O)c(OC)c3O2</chem>	تنگرتین	۵۹
-	-	۷/۸۷	<chem>COc1ccc(C2=CC(=O)c3c(O)cc(OC)c(O)c3O2)c(O)c1OC</chem>	سرپیلن	۶۰

-	-	۸,۴۲	COc1ccc(cc1OC)C2=CC(=O)c3c(O)c(OC)c(O)c(OC)c3O2	هیمنوکسین	۶۱
-	-	۸,۷۳	COc1ccc(cc1O)C2=CC(=O)c3c(O)c(OC)c(O)c(OC)c3O2	گاردنین دی	۶۲
-	-	۸,۷۱	COc1ccc(cc1OC)C2=CC(=O)c3c(OC)c(OC)c(O)c(OC)c3O2	نوبیلتین	۶۳
-	-	۸,۷۴	COc1cc(cc(O)c1OC)C2=CC(=O)c3c(O)c(OC)c(O)c(OC)c3O2	اسکاپوسین	۶۴

همکارانش ۳۰ ترکیب فلاونوئید را سنتز کردند و یک مدل QSAR بر روی آن‌ها بدون انجام اعتبارسنجی خارجی ارائه دادند. آن‌ها از توصیفگرهای نرم‌افزار دارگون و PaDEL در ایجاد مدل استفاده کردند و از روش وایازش تقریب عملکرد  $R^2$  ژنتیکی (GFA)، برای مدلسازی بهره گرفتند و مقدار ۰,۶۸۳ را برای مدل گزارش کردند. آن‌ها حضور یک گروه هیدروکسیل در موقعیت ۳ حلقه فلاون را به عنوان توصیفگر افزاینده معرفی کردند [۴۱]. در سال ۲۰۲۳ سوفی و همکارانش یک مدل QSAR بر روی ۴۵ مشتق از فلاونوئیدها برآورد دادند. آن‌ها داده‌ها را به روش تصادفی به ترتیب به دو سری آموزش و آزمون ۳۶ و ۹ تابی تقسیم کردند. توصیفگرها به کمک کم آفیس و کم اسکچ استخراج و به روش وایازش خطی گام‌به‌گام، برآورده شد. برای این نتایج مدلسازی مقادیر  $R^2$  برای سری آموزش و آزمون به ترتیب، ۰,۸۰۱ و ۰,۸۲۴ به دست آمد. در این مطالعه، از جمله عوامل اصلی حاکم بر فعالیت پادکولین استراز، انکسار مولی گزارش شد. آنها حدود ۲۳ مشتق جدید هم برای این توصیفگرهای مهم، گزارش کردند [۴۲]. در سال ۲۰۲۳، نور و همکارانش یک مدل QSAR، بر روی ۳۱ مشتق از فلاونوئید با نقش مهارکنندگی استیل کولین استراز برآورد دادند. آن‌ها ساختار ترکیب‌ها را به روش DFT، بهینه و داده‌ها را به روش تصادفی به دو سری آموزش (۲۵ ترکیب) و آزمون (۶ ترکیب) تقسیم کردند. آنها از ویژگی‌های الکترونیکی، توصیفگرهای توپولوژیکی و لیپینسکی به کمک وایازش خطی چندگانه برای ایجاد مدل بهره بردن و مقدار  $R^2$  برای سری آموزش و آزمون به ترتیب ۰,۷۸۹ و ۰,۷۶۰ گزارش کردند. آن‌ها برای این نتایج مدلسازی ۹ مشتق جدید از فلاونوئید طراحی و گزارش کردند [۴۳]. با توجه به مرور کاملی که از

### مقایسه مدل با مدل‌های گزارش شده

گزارش‌های بسیاری در مورد مدلسازی QSAR برخی از مشتقان فلاونوئیدی دارای نقش مهارکنندگی استیل کولین استراز وجود دارد. در سال ۲۰۱۴، گویال و همکارانش یک مدل QSAR سه بعدی بر ۲۴ مشتق فلاونوئید با توصیفگرهای استخراج شده از نرم‌افزار VLifeQSAR و به کمک روش حداقل مربع‌های جزئی ارائه کردند. حدود ۱۹ ترکیب در سری آموزش و ۵ ترکیب در سری آزمون به صورت تصادفی قرار گرفتند (جدول ۶). در این مدل، نتایج آماری مدل مقایر  $R^2$  برای سری آموزش و آزمون به ترتیب، ۰,۸۲۲۷ و ۰,۷۸۹۳ گزارش شد [۳۸]. در سال ۲۰۱۷، داس و همکارانش یک مدل QSAR بر ۲۱ مشتق فلاونوئیدی را به روش وایازش<sup>۱</sup> خطی گام‌به‌گام برآورد دادند. توصیفگرهای مولکولی به کمک نرم‌افزار ChemSketch استخراج شد. در این مطالعه، به علت کوچک‌بودن تعداد داده‌ها از تقسیم داده‌ها به دو سری آموزش و آزمون چشم‌پوشی و تنها به اعتبارسنجی درونی اکتفا شد. مقدار  $R^2$  برای مدل ۰,۷۳۵ به دست آمد [۳۹]. در سال ۲۰۱۸، موتوكوماران و همکارانش، تحلیل تصویر چندمتغیره-رابطه کمی ساختار-فعالیت (MIA-QSAR) بر روی ۵۹ مشتق فلاونوئید را با روش حداقل مربع‌های جزئی انجام دادند. داده‌ها به روش تصادفی به دو سری آموزش و آزمون به ترتیب با تعداد ۳۹ و ۱۳ ترکیب تقسیم شد و مقدار  $R^2$  برای سری آموزش و آزمون به ترتیب ۰,۹۵۵ و ۰,۹۴۸ به دست آمد. در این روش با وجود مقدار  $R^2$  به نسبت بالا، تفسیر روشنی از متغیرهای افزاینده و کاهنده ارائه نشد [۴۰] در سال ۲۰۱۹ کارماکار و

1. Regression

## رابطه کمی ساختار – فعالیت تعدادی از مشتق‌های فلاونوئیدی به عنوان ...

تفسیر نبودند. برای مقایسه نتیجه‌های مدلسازی حاضر با مدل‌های گزارش شده توسط سایر پژوهشگران برای مشتقات فلاونوئیدی به عنوان مهارکننده‌های استیل‌کولیناستراز، با یک بررسی جامع، شش مدل در جدول ۶ گزارش شده است.

مدل‌های QSAR در این زمینه بیان شد، یکی از نقص‌های کلی در مدل‌ها تعداد بسیار کم ترکیب‌ها و گاهی عدم اعتبارسنجی خارجی مدل‌ها است. افزون بر آن، همان‌طور که اشاره شد، برخی از مدل‌ها مانند مدل MIA-QSAR قابل

جدول ۶ مقایسه مدل‌های QSAR گزارش شده برای مدلسازی مشتقات فلاونوئیدی به عنوان مهارکننده‌های استیل‌کولیناستراز

مرجع	R <sup>2</sup> test	R <sup>2</sup> train	مدل وایازشی	نوع توصیفگر و یا نرم‌افزار مورد استفاده	تعداد ترکیب‌ها در سری آزمون	تعداد ترکیب‌ها در سری آموزش	تعداد کل ترکیب‌ها	شماره
[۳۸]	۰,۷۸۹	۰,۸۲۳	حداقل مریع‌های جزئی	VLifeQSAR	۵	۱۹	۲۴	۱
[۳۹]	-	۰,۷۳۵	وایازش خطی چندگانه گام به گام	ACD ChemSketch	-	۲۱	۲۱	۲
[۴۰]	۰,۹۴۸	۰,۹۵۵	حداقل مریع‌های جزئی	2D image Descriptors	۱۳	۳۹	۵۲	۳
[۴۱]	-	۰,۶۸۳	وایازش خطی چندگانه	Dragon and PaDEL	-	۳۰	۳۰	۴
[۴۲]	۰,۸۲۴	۰,۸۰۱	وایازش خطی چندگانه گام به گام	Chemoffice and Chemsketch	۹	۳۶	۴۵	۵
[۴۳]	۰,۷۶۰	۰,۷۸۹	وایازش خطی چندگانه گام به گام	Electronic Properties, Lipinski and Topological Descriptors	۶	۲۵	۳۱	۶
مطالعه حاضر	۰,۸۱۶	۰,۸۴۶	وایازش خطی	CORAL	۱۶	۷۲	۸۸	۷

روشنی از توصیفگرها ارائه نمی‌دهد. مدل ارائه شده حاضر دارای مقادیر ضریب تعیین ( $R^2$ ) به نسبت بالایی در مقایسه با سایر روش‌های ارائه شده است. یکی دیگر از نتیجه‌های این مطالعه پیش‌بینی و گزارش pIC<sub>50</sub> بیش از ۶۰ مشتق فلاونوئیدی طبیعی به عنوان مهارکننده‌های استیل‌کولیناستراز است که تنها فعالیت تعداد محدودی از این ترکیب‌ها در آزمایشگاه اندازه‌گیری و در مقاله‌ها گزارش شده است.

### نتیجه‌گیری

روش‌های محاسباتی به عنوان ابزاری قدرتمند در طراحی و پیش‌بینی فعالیت داروها علیه بیماری‌های گوناگون، جایگاه ویژه‌ای یافته‌اند و توجه روزافزونی را به خود جلب کرده‌اند. در این پژوهش، مدل‌های QSAR برای ۸۸ مشتق فلاونوئیدی به عنوان مهارکننده‌های استیل‌کولیناستراز، با روش مونت‌کارلو

همان‌گونه که در جدول خلاصه شده، مطالعه حاضر نسبت به مطالعه‌های دیگر، بیشترین تعداد داده‌ها در سری آموزش و آزمون را دارند. توصیفگرها به کاررفته در این مدل تنها برپایه فرمت SMILES ترکیب‌ها، بدون نیاز به بهینه‌سازی سه بعدی ساختار که روشنی وقت‌گیر است، ایجاد شده است. در مدل‌های شماره ۲ و ۴، اعتبارسنجی خارجی برای مدلسازی انجام نشده است و فقط سری آموزش وجود دارد. در مورد مدل شماره ۳، مدلسازی برپایه تصویر دو بعدی مشتقات فلاونوئیدی انجام شده است. در این مورد نمی‌توان تفسیر روشنی از مدل برپایه سری‌های عاملی یا سایر توصیفگرهای مولکولی ارائه داد. در مورد مدل شماره ۱، مدل وایازشی مورد استفاده، از نوع روش حداقل مریع‌های جزئی است. بنابراین، این مدل هم، تفسیر

مولکولی در طی چندین مرحله اجرای روش مونت کارلو شناسایی شدند. افزون براین، فعالیت مهارکنندگی استیل کولین استراز بیش از ۶۰ مشتق فلافونوئیدی طبیعی به عنوان مهارکننده‌های استیل کولین استراز پیش‌بینی و مقدار IC<sub>50</sub> آن‌ها گزارش شد. برپایه نتایج به دست آمده از مدل‌سازی، امکان طراحی و شناسایی ترکیب‌های جدید با فعالیت مهارکنندگی بالاتر برای مقابله با بیماری آلزایمر فراهم شده است.

و برپایه شاخص آرمانی همبستگی (IIC) توسعه داده شدند. فرایند ساخت این مدل‌ها با به کارگیری نرم‌افزار CORAL و توصیف‌گر هیبریدی بهینه‌ای انجام گرفت که ترکیبی از SMILES و HFGs بود. مدل‌های پیشنهادی با شاخص‌های اعتبارسنجی داخلی و خارجی و همچنین آزمون تصادفی‌سازی Yارزیابی شدند. نتایج حاکی از ضریب تعیین رضایت‌بخش برای داده‌های آزمون بود. توصیف‌گرهای مؤثر در افزایش یا کاهش فعالیت مهارکنندگی استیل کولین استراز ترکیب‌های موردمطالعه، با تحلیل وزن همبستگی و بیشگی‌های متفاوت

## مراجع

- [1] Migliaccio R, Cacciamani F. The temporal lobe in typical and atypical Alzheimer disease. Handb Clin Neurol. 2022;187:449-66. doi: [10.1016/B978-0-12-823493-8.00004-3](https://doi.org/10.1016/B978-0-12-823493-8.00004-3)
- [2] Prince M, Wimo A, Guerchet M, Ali GC, Wu YT, Prina M. World Alzheimer Report 2015-The Global Impact of Dementia: An analysis of prevalence, incidence, cost and trends. London: Alzheimer's Disease International (ADI); 2015.
- [3] Prince M, Bryce R, Albanese E, Wimo A, Ribeiro W, Ferri CP. The global prevalence of dementia: A systematic review and metaanalysis. Alzheimers Dement. 2013;9(1):63-75.e2. doi: [10.1016/j.jalz.2012.11.007](https://doi.org/10.1016/j.jalz.2012.11.007)
- [4] Khan H, Amin S, Kamal MA, Patel S. Flavonoids as acetylcholinesterase inhibitors: Current therapeutic standing and future prospects. Biomedicine & Pharmacotherapy. 2018;101:860-70. doi: [10.1016/j.biopha.2018.03.007](https://doi.org/10.1016/j.biopha.2018.03.007)
- [5] Soleymani N, Ahmadi S, Shiri F, Almasirad A. QSAR and molecular docking studies of isatin and indole derivatives as SARS 3CLpro inhibitors. BMC Chemistry. 2023;17(1):32. doi: [10.1186/s13065-023-00947-w](https://doi.org/10.1186/s13065-023-00947-w)
- [6] Lorenz S, Amsel AK, Puhlmann N, Reich M, Olsson O, Kümmerer K. Toward application and implementation of in silico tools and workflows within benign by design approaches. ACS Sustainable Chemistry & Engineering. 2021;9(37):12461-75. doi: [10.1021/acssuschemeng.1c03070](https://doi.org/10.1021/acssuschemeng.1c03070)
- [7] Zhao P, Peng Y, Xu X, Wang Z, Wu Z, Li W, et al. In silico prediction of mitochondrial toxicity of chemicals using machine learning methods. Journal of Applied Toxicology. 2021;41(10):1518-26. doi: [10.1002/jat.4141](https://doi.org/10.1002/jat.4141)
- [8] Azimi A, Ahmadi S, Kumar A, Qomi M, Almasirad A. SMILES-based QSAR and molecular docking study of oseltamivir derivatives as influenza inhibitors. Polycyclic aromatic compounds. 2022;43(4):3257-3277. doi: [10.1080/10406638.2022.2067194](https://doi.org/10.1080/10406638.2022.2067194)
- [9] Nikkar M, Sayyadikordabadi R, Alizadeh O, Ghasemi G. Lipophilicity and biological activity study of several caspofungin antifungal drugs using QSAR and Monte Carlo methods. Iranian Journal of Chemistry and Chemical Engineering. 2022;41(12):4132-4150. doi: [10.30492/IJCCE.2022.535892.4880](https://doi.org/10.30492/IJCCE.2022.535892.4880)
- [10] Ahmadi S, Ghanbari H, Lotfi S, Azimi N. Predictive QSAR modeling for the antioxidant activity of natural compounds derivatives based on Monte Carlo method. Molecular Diversity. 2021;25(1):87-97. doi: [10.1007/s11030-019-10026-9](https://doi.org/10.1007/s11030-019-10026-9)
- [11] Shahin A, Roohallah K, Maryam M. Prediction of anti-cancer activity of 1,8-naphthyridin derivatives by using of genetic

- algorithm-stepwise multiple linear regression. 2018;28(3):181-194. doi: [10.29252/iau.28.3.181](https://doi.org/10.29252/iau.28.3.181)
- [12] Ahmadi S, Moradi Z, Kumar A, Almasirad A. SMILES-based QSAR and molecular docking study of xanthone derivatives as  $\alpha$ -glucosidase inhibitors. *Journal of Receptors and Signal Transduction.* 2022;42(4):361-372. doi: [10.1080/10799893.2021.1957932](https://doi.org/10.1080/10799893.2021.1957932)
- [13] Hamzehali H, Lotfi S, Ahmadi S, Kumar P. Quantitative structure-activity relationship modeling for predication of inhibition potencies of imatinib derivatives using SMILES attributes. *Scientific Reports.* 2022;12(1):21708. doi: [10.1038/s41598-022-26279-8](https://doi.org/10.1038/s41598-022-26279-8)
- [14] Ahmadi S, Abdolmaleki A, Jebeli Javan M. In silico study of natural antioxidants. *Vitam Horm.* 2023;121:1-43. doi: [10.1016/bs.vh.2022.09.001](https://doi.org/10.1016/bs.vh.2022.09.001)
- [15] Ghiasi T, Ahmadi S, Ahmadi E, Talei Bavil Olyai M, Khodadadi Z. The index of ideality of correlation: QSAR studies of hepatitis C virus NS3/4A protease inhibitors using SMILES descriptors. *SAR and QSAR in Environmental Research.* 2021;32(6):495-520. doi: [10.1080/1062936X.2021.1925344](https://doi.org/10.1080/1062936X.2021.1925344)
- [16] Ghasedi N, Ahmadi S, Ketabi S, Almasirad A. DFT based QSAR study on quinolone-triazole derivatives as antibacterial agents. *Journal of Receptors and Signal Transduction.* 2022;42(4):418-428. doi: [10.1080/10799893.2021.1988971](https://doi.org/10.1080/10799893.2021.1988971)
- [17] Ahmadi S, Mardinia F, Azimi N, Qomi M, Balali E. Prediction of chalcone derivative cytotoxicity activity against MCF-7 human breast cancer cell by Monte Carlo method. *Journal of Molecular Structure.* 2019;1181:305-311. doi: [10.1016/j.molstruc.2018.12.089](https://doi.org/10.1016/j.molstruc.2018.12.089)
- [18] Luo W, Chen Y, Wang T, Hong C, Chang LP, Chang CC, et al. Design, synthesis and evaluation of novel 7-aminoalkyl-substituted flavonoid derivatives with improved cholinesterase inhibitory activities. *Bioorganic & medicinal chemistry.* 2016;24(4):672-680. doi: [10.1016/j.bmc.2015.12.031](https://doi.org/10.1016/j.bmc.2015.12.031)
- [19] Luo W, Su Y-B, Hong C, Tian RG, Su LP, Wang YQ, et al. Design, synthesis and evaluation of novel 4-dimethylamine flavonoid derivatives as potential multi-functional anti-Alzheimer agents. *Bioorganic & medicinal chemistry.* 2013;21(23):7275-7282. doi: [10.1016/j.ejmech.2016.06.022](https://doi.org/10.1016/j.ejmech.2016.06.022)
- [20] Singh M, Kaur M, Singh N, Silakari O. Exploration of multi-target potential of chromen-4-one based compounds in Alzheimer's disease: Design, synthesis and biological evaluations. *Bioorganic & Medicinal Chemistry.* 2017;25(24):6273-6285. doi: [10.1016/j.bmc.2017.09.012](https://doi.org/10.1016/j.bmc.2017.09.012)
- [21] Shen Y, Zhang J, Sheng R, Dong X, He Q, Yang B, et al. Synthesis and biological evaluation of novel flavonoid derivatives as dual binding acetylcholinesterase inhibitors. *Journal of Enzyme Inhibition and Medicinal Chemistry.* 2009;24(2):372-380. doi: [10.1080/14756360802187885](https://doi.org/10.1080/14756360802187885)
- [22] Li RS, Wang XB, Hu XJ, Kong LY. Design, synthesis and evaluation of flavonoid derivatives as potential multifunctional acetylcholinesterase inhibitors against Alzheimer's disease. *Bioorganic & Medicinal Chemistry Letters.* 2013;23(9):2636-2641. doi: [10.1016/j.bmcl.2013.02.095](https://doi.org/10.1016/j.bmcl.2013.02.095)
- [23] Ghaedi A. Predicting the cytotoxicity of ionic liquids using QSAR model based on SMILES optimal descriptors. *Journal of Molecular Liquids.* 2015;208:269-279. doi: [10.1016/j.molliq.2015.04.049](https://doi.org/10.1016/j.molliq.2015.04.049)
- [24] Benfenati E, Toropov AA, Toropova AP, Manganaro A, Gonella Diaza R. CORAL software: QSAR for anticancer agents. *Chemical biology & drug design.* 2011;77(6):471-476. DOI: [10.1111/j.1747-0285.2011.01117.x](https://doi.org/10.1111/j.1747-0285.2011.01117.x)
- [25] Das NR, Sharma T, Mallick A, Toropova AP, Toropov AA, Achary PGR. Computational approach in designing and development of novel inhibitors of AKR1C1. In: Swarnkar T, Patnaik S, Mitra P, Misra S, Mishra M, editors. *Ambient Intelligence in Health Care.* Singapore: Springer; 2023. p. 325-337. doi: [10.1007/978-981-19-6068-0\\_32](https://doi.org/10.1007/978-981-19-6068-0_32)

- [26] Toropova AP, Toropov AA. CORAL: QSAR models for carcinogenicity of organic compounds for male and female rats. Computational biology and chemistry. 2018;72:26-32.  
**doi: 10.1016/j.combiolchem.2017.12.012**
- [27] Singh R, Kumar P, Devi M, Lal S, Kumar A, Sindhu J, et al. Monte Carlo based QSGFEAR: prediction of Gibb's free energy of activation at different temperatures using SMILES based descriptors. New Journal of Chemistry. 2022;46(39):19062-19072. **doi: 10.1039/D2NJ03515D**
- [28] Ahmadi S, Lotfi S, Kumar P. Quantitative structure-toxicity relationship models for predication of toxicity of ionic liquids toward leukemia rat cell line IPC-81 based on index of ideality of correlation. Toxicology Mechanisms and Methods. 2022;32(4):302-312. **doi: 10.1080/15376516.2021.2000686**
- [29] Ahmadi S. Mathematical modeling of cytotoxicity of metal oxide nanoparticles using the index of ideality correlation criteria. Chemosphere. 2020;242:125192. **doi: 10.1016/j.chemosphere.2019.125192**
- [30] Golbraikh A, Tropsha A. Beware of q2!. Journal of Molecular Graphics and Modelling. 2002;20(4):269-276. **doi: 10.1016/S1093-3263(01)00123-1**
- [31] Roy PP, Roy K. QSAR studies of CYP2D6 inhibitor aryloxypropanolamines using 2D and 3D descriptors. Chemical Biology & Drug Design. 2009;73(4):442-455. **doi: 10.1111/j.1747-0285.2009.00791.x**
- [32] Rücker C, Rücker G, Meringer M. y- Randomization and its variants in QSPR/QSAR. Journal of chemical information and modeling. 2007;47(6):2345-2357. **doi: 10.1021/ci700157b**
- [33] Taslimi P, Caglayan C, Gulcin İ. The impact of some natural phenolic compounds on carbonic anhydrase, acetylcholinesterase, butyrylcholinesterase, and  $\alpha$  glycosidase enzymes: An antidiabetic, anticholinergic, and antiepileptic study. Journal of Biochemical and Molecular Toxicology. 2017;31(12):21995. **doi: 10.1002/jbt.21995**
- [34] Cuong NM, Khanh PN, Nhung LTH, Ha NX, Huong TT, Bauerova K, et al. Acetylcholinesterase inhibitory activities of some flavonoids from the root bark of *Pinus krempfii* Lecomte: in vitro and in silico study. Journal of Biomolecular Structure and Dynamics. 2024;42(9):4888-4901. **doi: 10.1080/07391102.2023.2223664**
- [35] Balkis A, Tran K, Lee YZ, Balkis KN, Ng K. Screening flavonoids for inhibition of acetylcholinesterase identified baicalein as the most potent inhibitor. Journal of Agricultural Science. 2015;7(9):26-35. **doi: 10.5539/jas.v7n9p26**
- [36] Goel N, Garg A, Nagendra C, Reddy AM, Biswas R, Natarajan R, et al. In-vitro and in-silico cholinesterase inhibitory activity of bioactive molecules isolated from the leaves of *Andrographis nallamalayana* JL Ellis and roots of *Andrographis beddomei* CB Clarke. Journal of Molecular Structure. 2024;1301:137406. **doi: 10.1016/j.molstruc.2023.137406**
- [37] Xie Y, Yang W, Chen X, Xiao J. Inhibition of flavonoids on acetylcholine esterase: Binding and structure-activity relationship. Food & Function. 2014;5(10):2582-2589. **doi: 10.1039/c4fo00287c**
- [38] Goyal M, Grover S, Dhanjal JK, Goyal S, Tyagi C, Grover A. Molecular modelling studies on flavonoid derivatives as dual site inhibitors of human acetyl cholinesterase using 3D-QSAR, pharmacophore and high throughput screening approaches. Medicinal Chemistry Research. 2014;23:2122-2132. **doi: 10.1007/s00044-013-0810-2**
- [39] Das S, Laskar MA, Sarker SD, Choudhury MD, Choudhury PR, Mitra A, et al. Prediction of anti Alzheimer's activity of flavonoids targeting acetylcholinesterase in silico. Phytochemical Analysis. 2017;28(4):324-331. **doi: 10.1002/pca.2679**
- [40] Muthukumaran P, Rajiniraja M. MIA-QSAR based model for bioactivity prediction of flavonoid derivatives as acetylcholinesterase inhibitors. Journal of Theoretical Biology. 2024;42(9):4888-4901. **doi: 10.1080/07391102.2023.2223664**

- 2018;459:103-110. doi: **10.1016/j.jtbi.**  
**2018.09.030**
- [41] Karmakar A, Ambure P, Mallick T, Das S, Roy K, Begum NA. Exploration of synthetic antioxidant flavonoid analogs as acetylcholinesterase inhibitors: An approach towards finding their quantitative structure–activity relationship. *Medicinal Chemistry Research*. 2019;28:723-741. doi: **10.1007/s00044-019-02330-8**
- [42] Soufi H, Moussaoui M, Baammi S, Baassi M, Salah M, Daoud R, et al. Multi-combined QSAR, molecular docking, molecular dynamics simulation, and ADMET of flavonoid derivatives as potent cholinesterase inhibitors. *Journal of Biomolecular Structure and Dynamics*. 2024;42(12):6027-6041.  
doi: **10.1080/07391102.2023.2238314**
- [43] Nour H, Hashmi MA, Belaidi S, Errougui A, El Kouali M, Talbi M, et al. Design of acetylcholinesterase inhibitors as promising anti Alzheimer's agents based on QSAR, molecular docking, and molecular dynamics studies of liquiritigenin derivatives. *ChemistrySelect*. 2023;8(32):e202301466. doi: **10.1002/slct.202301466**

## ستتر، شناسایی و کاربرد چارچوب فلز-آلی (Fe) MIL-100 به عنوان جاذب حشره کش ایمیداکلوبرید

ترانه حاجی اشرفی<sup>۱\*</sup>، سارا کامل شیخ‌جرجه<sup>۲</sup>، عطیه حسین‌جانی<sup>۳</sup> و معصومه محمدنژاد<sup>۴</sup>

۱. استادیار گروه شیمی معدنی، دانشکده شیمی، دانشگاه الزهرا، تهران، ایران.
۲. دانشجوی کارشناسی ارشد شیمی معدنی، دانشکده شیمی، دانشگاه الزهرا، تهران، ایران.
۳. دانشجوی دکتری شیمی معدنی، دانشکده شیمی، دانشگاه الزهرا، تهران، ایران.
۴. استادیار گروه شیمی تجزیه، دانشکده شیمی، دانشگاه الزهرا، تهران، ایران.

دریافت: آذر ۱۴۰۳ بازنگری: بهمن ۱۴۰۳ پذیرش: اسفند ۱۴۰۳



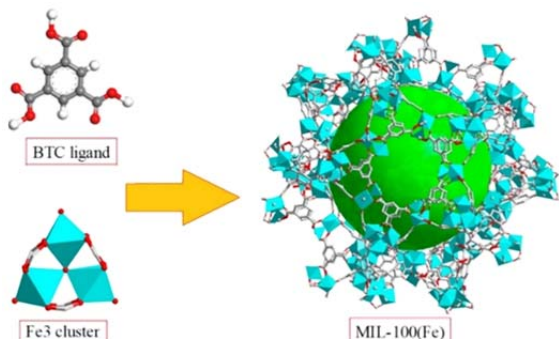
DOI: 10.30495/JACR1.1403.1193373

### چکیده

ایمیداکلوبرید به عنوان حشره کش یکی از این آفت‌کش‌ها با سمیت بالا و پایداری طولانی در آب است و موجب نگرانی زیست‌محیطی زیادی شده است. در این پژوهش، حذف آفت‌کش ایمیداکلوبرید به وسیله جاذب (Fe) MIL-100 با طیف-سنگی فرابنفش-مرئی بررسی شد. اثر عامل‌های متفاوت مانند زمان، pH و مقدار جاذب بر فرایند برجذب بررسی شد. بهینه‌سازی عامل‌های ذکر شده نشان داد که در pH برابر ۳، مدت ۶۰ دقیقه و مقدار جاذب ۵ میلی‌گرم، ۶۶ درصد از آلتینه مذکور از محیط آبی حذف می‌شود. هم‌دهاهای جذب و سیستیک این آلتینه بر MIL-100(Fe) نیز مطالعه شد و نشان داد مدل هم‌دما جذبی لانگمویر هم‌خوانی بیشتری نسبت به مدل هم‌دما جذبی فرنزیک دارد و سیستیک این واکنش از معادله درجه دوم پیروی می‌کند.

**واژه‌های کلیدی:** آفت‌کش، ایمیداکلوبرید، چارچوب‌های فلز-آلی، MIL-100(Fe)، برجذب.

مزیت چشمگیری برای حذف دارند [۳ و ۶]. تا به امروز، MIL-100 برای حذف یون‌های فلزی سنتگین و آلودگی‌های آلی از پساب‌های صنعتی استفاده و بررسی شده است [۴، ۶ و ۷]. در شکل ۱ طرح‌واره ساختار کلی (MIL-100(Fe) نشان داده شده است.



شکل ۱ آهن هشت‌وجهی و لیگاند BTC، طرح‌واره ساختار سه بعدی MIL-100 (Fe)

ایمیداکلوپرید از گروه شیمیایی نئونیکوتینوئیدها است و یکی از پرمصرفترین حشره‌کش‌های جهان است که به صورت تماسی و گوارشی بهویژه بر حشره‌های مکنده اثر خود را بر جای می‌گذارد. ایمیداکلوپرید به عنوان یک نوروتوکسین عمل می‌کند که در سامانه اعصاب مرکزی با عمل آنتاگونیستی<sup>۱</sup> که در محل سینپاپس گیرنده‌های نیکوتینی ایجاد می‌کند، اختلال به وجود می‌آورد و موجب مرگ حشره می‌شود. مواد شیمیایی با دخالت در انتقال محرك‌ها در سامانه عصبی حشره به طور ویژه، موجب بسته‌شدن مسیر نورونی نیکوتینرژیک می‌شوند. با مسدود کردن گیرنده‌های استیل کولین نیکوتین، ایمیداکلوپرید مانع از انتقال امواج از راه اعصاب و موجب فلنج حشره‌ها و مرگ ناگهانی می‌شود [۳]. از آنجایی که ایمیداکلوپرید بیشتر به گیرنده‌های نورونی حشره‌ها متصل می‌شود تا به گیرنده‌های نورونی پستانداران، این حشره‌کش سمیت بیشتری برای حشره‌ها نسبت

## مقدمه

در دهه‌های اخیر، پیچیدگی‌های محیط‌زیست و سلامت انسان موجب شده است تا پژوهشگران با جدیت بیشتری در جستجوی راهکارهای نوین برای کاهش خطرهای ناشی از حشره‌کش‌ها برآیند. در این راستا، نانومواد و چارچوب‌های فلز-آلی<sup>۲</sup> بهدلیل ویژگی‌های یگانه ساختاری و عملکردی خود، به عنوان یکی از گزینه‌های نویدبخش مطرح شده‌اند. چارچوب‌های فلز-آلی یکی از گروه‌های مهم مواد متخلخل هستند که کاربرد گسترده‌ای در جذب و جداسازی دارند [۱ و ۲]. یکی از نمونه‌های مهم در بین MOF‌های سنتز شده تاکون، MIL-100(Fe) با فرمول شیمیایی  $\text{Fe}_3\text{O}(\text{H}_2\text{O})_2\text{O}[\text{C}_6\text{H}_3(\text{CO}_2)_3]_2\cdot\text{nH}_2\text{O}$  است که بهدلیل پیچیکی و شیمیایی یگانه کاربردهای قابل توجهی پیدا کرده است. این چارچوب فلز-آلی از خانواده MIL<sup>۳</sup> است که توسط کریستین سره<sup>۴</sup> و همکارانش نخستین بار موفق به سنتز آن شده‌اند. این گروه از چارچوب‌های فلز-آلی توسط این گروه پژوهشی و به افتخار موسسه مواد لاوازیه فرانسه، MIL نامیده شده است [۳]. بهدلیل پایداری شیمیایی زیاد و پایداری در آب، این ماده از اهمیت ویژه‌ای برخوردار است. همچنین، MIL-100(Fe) دو مجموعه منفذ مزو متخلخل (با قطر ۲۵ تا ۲۹ آنگستروم) دارد که از راه پنچره‌های میکرومخلخل (با قطر ۵/۵ تا ۶/۸ آنگستروم) در دسترس است و مساحت سطح بالا دارد [۲ تا ۵]. در این ترکیب، مکان‌های اسید لوئیس آهن با حذف دو مولکول آب انتهایی از آهن هشت‌وجهی و خروج جزئی آئیون‌ها از راه فعالسازی در خلا در دسترس قرار می‌گیرند. بدین ترتیب MIL-100(Fe) تعداد زیادی از مکان‌های اسید لوئیس آهن تائید شده را در منافذ خود دارد. این مشخصه‌های ساختاری حاکی از آن است که این مواد

1. Metal-organic framework (MOF)

3. Christian Serre

2. Material Institute Lavoisier (MIL)

4. Antagonistic

ستز جاذب (MIL-100(Fe)) به روش بازروانی سنتز شد. ابتدا MIL-100(Fe) ۰/۳۷۸ گرم ۱،۳،۵-بنزن تری کربوکسیلیک اسید با ۰/۸۰۸ گرم آهن (III) نیترات ۹ آبه مخلوط و ۲ میلی لیتر آب یون زدوده به عنوان حلال به آن افزوده شد. سپس، مخلوط به دست آمده به مدت ۱۲ ساعت در دمای ۹۵ درجه سلسیوس بازروانی شد. در مرحله بعد و به منظور استخراج حلال، مخلوط ۱:۱ اتانول/آب یون زدوده، (۷۰ میلی لیتر اتانول و ۷۰ میلی لیتر آب یون زدوده) تهیه و به محلول به دست آمده از مرحله اول افزوده و دوباره در دمای ۷۰ درجه سلسیوس و rpm ۳۵۰ به مدت ۲۴ ساعت بازروانی شد. لازم به ذکر است که در طی ۲۴ ساعت مرحله استخراج حلال، حلال ۱:۱ اتانول/آب یون زدوده ۳ بار به کمک دستگاه گریزانه با سرعت rpm ۱۰۰۰۰ و در مدت ۱۰ دقیقه تعویض شد. در مرحله آخر ترکیب به کمک گریزانه از حلال جدا شد و به بوته چینی انتقال یافت تا در مدت ۹ ساعت در آون خلاً با دمای ۱۵۰ درجه سلسیوس خشک و فعالسازی شود [۱۱].

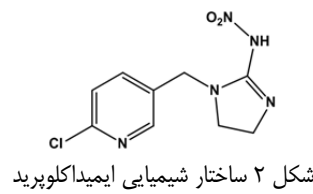
شناسایی فاز جاذب (MIL-100(Fe)) سنتز شده برای شناسایی ساختاری فاز جاذب (MIL-100(Fe)) طیف‌سنجی FTIR و پراش پرتو ایکس پودری (XRD) به کار گرفته شد. همچنین، روش BET برای به دست آوردن مساحت سطح، میانگین قطر حفره‌ها و حجم حفره‌ها و برای بررسی ویژگی‌های ظاهری و ریخت‌شناسی MOF سنتز شده، میکروسکوپ الکترونی روبشی (SEM) به کار گرفته شد.

### نتیجه‌ها و بحث

#### بررسی طیف FTIR

در طیف ارائه شده در شکل ۳ نوار پهنه‌ی که در ناحیه  $\text{cm}^{-1}$  ۳۴۰۴ مشاهده می‌شود، بیانگر ارتعاش‌های کششی  $\text{OH}$  و خمی  $\text{OHO}$  مربوط به آب آزاد و آب کثوردینه شده است. نوار

به پستانداران دارد. همچنین، این حشره‌کش از راه برگ، ساقه و ریشه جذب گیاه می‌شود و به آسانی با شیره گیاهی به سایر نقاط گیاه منتقل می‌شود و آفات مقاوم به ویژه مقاوم در مقابل سوموم فسفره‌دار آلی را به خوبی واپايش می‌کند [۸]. از نظر علم شیمی، ایمیداکلوپرید یک سامانه کلرونیکوتینیل است و سازوکار عمل آن بدین صورت است که با پیوند برگشت‌ناپذیر به گیرنده‌های استیل‌کولین نیکوتین حشره، نقش خود را ایفا می‌کند. نام شیمیایی ایمیداکلوپرید، نیتروژن [۱-(۳-کلرو-۶-پیریدیل) متیل-۴-۵-دی‌هیدروایمیدازول-۲-ایل] نیترامید است که در شکل ۲ ساختار شیمیایی آن نمایش داده شده است.



شکل ۲ ساختار شیمیایی ایمیداکلوپرید

در راستای علاوه‌مندی این گروه پژوهشی به بررسی کاربرد چارچوب‌های فلز-آلی به عنوان جاذب آلاینده‌های زیست محیطی [۹ و ۱۰]، در این پژوهش حذف آفتکش ایمیداکلوپرید از محیط آبی با جاذب MIL-100(Fe) با طیف-سنجدی UV-Vis مطالعه شد. عامل‌های متفاوت مانند زمان، pH، مقدار جاذب بر فرایند جذب و همچنین، هم‌دماهای جذب و سینتیک این آلاینده بر MIL-100(Fe) بررسی شد. نتیجه‌های بررسی‌های انجام شده نشان داد که این چارچوب فلز-آلی که یک ماده هیبریدی معدنی-آلی است می‌تواند به عنوان یک جاذب قدرتمند در جذب آلاینده ایمیداکلوپرید از محیط آبی عمل کند.

#### کارهای تجربی

می‌دهد. همان‌طور که مشاهده می‌شود الگوی ترکیب سنتز شده با الگوی پراش MIL شبیه‌سازی شده هم‌خوانی دارد که نشان‌دهنده سنتز موفقیت‌آمیز MIL-100(Fe) است [۱۱].

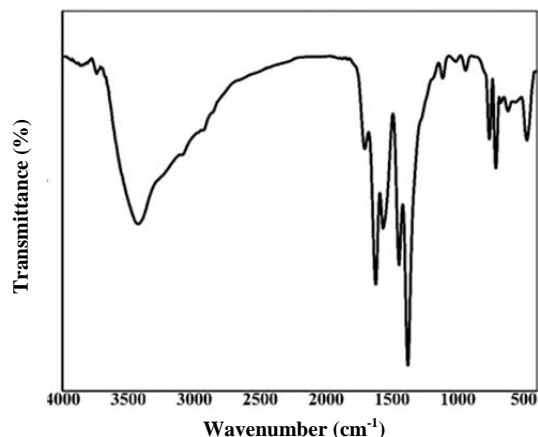
ریخت‌شناسی با میکروسکوپ الکترونی روبشی (SEM) در شکل ۴ نتیجه‌های بدست‌آمده از تصاویر دریافتی از FESEM نشان داده شده است. همان‌گونه که مشاهده می‌شود، ترکیب سنتز شده به‌واسطه تجمع ذره‌های مجزای چندوجهی به‌صورت توده‌های انباسته شده به‌دست آمده است. این ریخت‌شناسی، مطابق با ریخت‌شناسی هشت وجهی ساختار MIL-100 است که در متون علمی اشاره شده است [۱۳]. همچنین، تجزیه و تحلیل محاسباتی BFDH برای تخمین سطوحی که با احتمال در ریخت خارجی پدیدار می‌شوند، انجام شد [۱۴]. نتیجه‌ها نشان می‌دهد که در MIL-100(Fe)، صفحه (111) که در  $2\theta = 21^\circ$  برابر با  $2\theta = 110^\circ$  پدیدار می‌شود و صفحه‌های معادل آن از نظر بلورشناسی، مهم‌ترین نقش را در تعیین شکل بلوری<sup>۱</sup> هشت وجهی دارند (شکل ۴).

#### نتیجه‌های بدست‌آمده از روش BET

نتیجه‌های بدست‌آمده از روش BET نشان می‌دهد که مساحت سطح ترکیب سنتز شده  $10^{3} \times 10^{3} \text{ m}^2 \cdot \text{g}^{-1}$  و حجم حفره‌ها  $0.1299 \text{ m}^3 \cdot \text{g}^{-1}$  و میانگین شعاع حفره‌ها  $1.26 \text{ nm}$  است که با مقدارهای گزارش شده [۱۵] تا [۱۷] هم‌خوانی دارد. هم‌دمای جذب و واجدب  $\text{N}_2$  نمونه MIL-100(Fe) سنتز شده در دمای  $150^\circ\text{C}$  درجه سلسیوس، در شکل ۱۲-ب نشان داده شده است.

بررسی کاربرد MIL-100(Fe) به عنوان جاذب حشره کش /ایمید/کلورپرید

جزبی در ناحیه  $3087 \text{ cm}^{-1}$  مربوط به ارتعاش کششی ArC-H است. ارتعاش‌های خمی آروماتیک در  $709 \text{ cm}^{-1}$  و  $760 \text{ cm}^{-1}$  را می‌توان به ArC-H نسبت داد. نوارهایی که در گستره‌های  $1569 \text{ cm}^{-1}$  تا  $1448 \text{ cm}^{-1}$  و  $1379 \text{ cm}^{-1}$  تا  $1627 \text{ cm}^{-1}$  مشاهده می‌شود، به ترتیب مشخص کننده ارتعاش‌های نامتقارن و متقاضن گروه کربوکسیل متصل به فلز (COO-M) هستند که کمتر از گستره کربونیل در لیگاند بنزن تری‌کربوکسیلیک اسید آزاد ( $\text{cm}^{-1}$ )  $1690 - 1760 \text{ cm}^{-1}$  هستند. این وضعیت نشان می‌دهد که گروه‌های کربوکسیلیک اسید در لیگاند بنزن تری‌کربوکسیلیک اسید، به طور کامل پروتون‌زدایی شده و با بیون‌های فلز واکنش داده است. نوارهای جزبی در  $1112 \text{ cm}^{-1}$  و گستره  $711 \text{ cm}^{-1}$  تا  $759 \text{ cm}^{-1}$  به ترتیب نمایانگر ارتعاش‌های داخل صفحه‌ای و خارج صفحه‌ای گروه‌های C-H است. وجود نوار جزبی در ناحیه  $428 \text{ cm}^{-1}$  بیانگر ارتعاش‌های خمی مربوط به Fe-O-Fe است [۱۰].

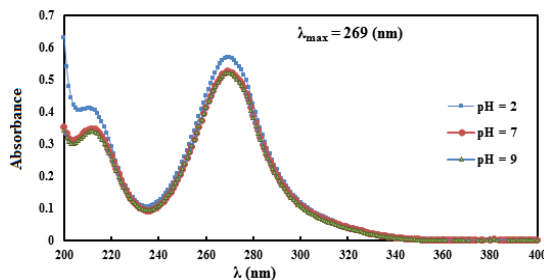


شکل ۳ طیف FTIR متعلق به MIL-100(Fe) سنتز شده

الگوی پراش پرتو/ایکس (JARCS) MIL-1015-f0(Fe) شکل ۱۱-ب الگوی پراش MIL سنتز شده و مقایسه آن با الگوی پراش MIL شبیه‌سازی شده (شکل ۱۱-الف) را نشان

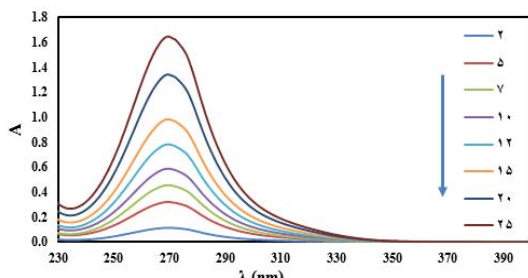
### بررسی طیف جذبی / ایمیداکلوپرید

برای محاسبه  $\lambda_{\text{max}}$  محلول‌هایی از ایمیداکلوپرید در pH های اسیدی، بازی و خنثی تهیه و طیف جذبی مربوط به ایمیداکلوپرید گرفته شد که در شکل ۵ نشان داده شده است. بیشینه جذب برای محلول ایمیداکلوپرید در طول موج ۲۶۹ nm ثبت شد. بنابراین، آزمایش‌های موردنظر در طول موج  $\lambda_{\text{max}}$  تعیین شده، انجام شدند.



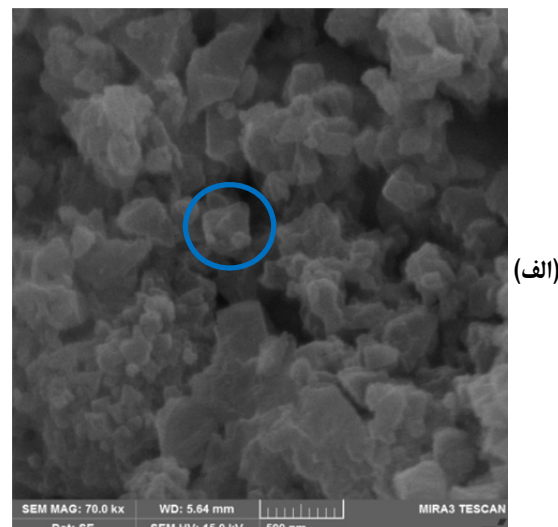
شکل ۵ طول موج بیشینه ایمیداکلوپرید در pH های متفاوت

رسم منحنی واسنجی محلول‌های استاندارد ایمیداکلوپرید منحنی واسنجی، برای پیداکردن ناحیه خطی و ارتباط شدت قله جذبی با غلظت، رسم شد. محلول‌هایی با غلظت‌های متفاوت با رقیق‌سازی از محلول مادر ایمیداکلوپرید ساخته شد که در شکل ۶ طیف جذبی آن‌ها نشان داده شده است و برای این شکل ۷، منحنی واسنجی از معادله خط  $A = 0.0671 C - 0.0268$  پیروی کرد و مقدار  $R^2$  برابر با  $0.9977$  بود.

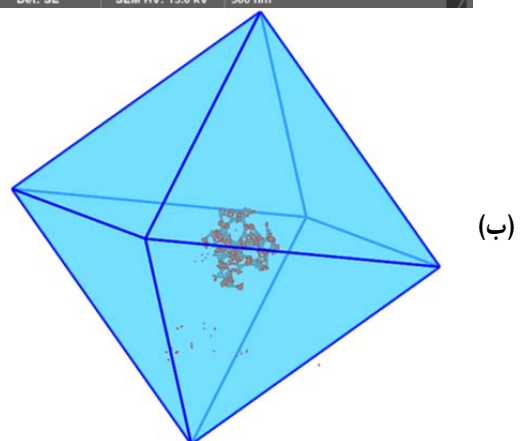


شکل ۶ طیف جذبی تغییرهای قله UV-Vis ناشی از تغییرهای غلظت محلول آبی ایمیداکلوپرید

رفتارهای بر جذب ایمیداکلوپرید بر روی (Fe) MIL-100 در شرایط متفاوت بررسی شد تا شرایط بهینه برای حذف بیشترین مقدار ایمیداکلوپرید از محلول آبی مشخص شود. برای بررسی عامل‌های موثر بر فرایند بر جذب ایمیداکلوپرید، عامل‌هایی مانند زمان، pH و مقدار جاذب بررسی شد.



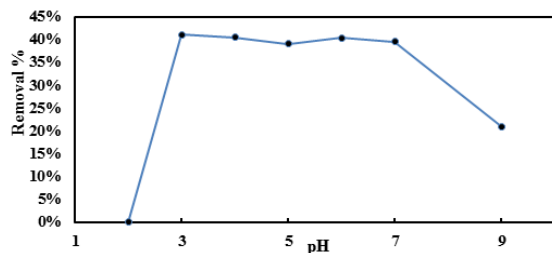
(الف)



(ب)

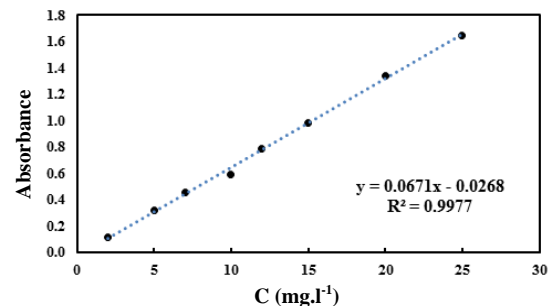
شکل ۴ تصویر از FESEM سنتز شده (الف) و نتیجه شکل بلوری به دست آمده از تجزیه و تحلیل BFDH (ب)

شد. شکل ۸ نتیجه‌های به دست آمده از بررسی اثر pH بر فرایند حذف ایمیداکلوپرید را نشان می‌دهد. همان‌طور که در شکل ۸ مشاهده می‌شود بیشترین حذف در pH برابر با ۳ رخ داده است. بنابراین، pH برابر با ۳ بعنوان مقدار بهینه برای حذف ایمیداکلوپرید از محلول آبی انتخاب شد. به تورکی بسیاری از MOF‌ها تحت شرایط اسیدی (pH برابر با ۳ تا ۵) بهترین عملکرد را دارند که با پروتونه شدن گروه‌های عاملی و برهم‌کنش‌های بار سطحی هم خوانی دارد.



شکل ۸ تاثیر pH (۲، ۳، ۴، ۵، ۶، ۷ و ۹) بر جذب ایمیداکلوپرید با MIL-100(Fe)

بررسی اثر زمان در فرایند بر جذب یکی دیگر از عامل‌های موثر در برهم‌کنش بین جاذب و جذب‌شونده زمان تماس است. برای بررسی اثر زمان، محلولی از ایمیداکلوپرید با غلظت  $10 \text{ mg.l}^{-1}$  تهیه شد. پیش از افزودن جاذب و انجام فرایند جذب، طیف جذبی UV-Vis محلول گرفته شد. سپس، ۲ میلی‌گرم از MIL-100(Fe) به محلول افزوده شد و در گستره زمانی ۶۰ دقیقه به فاصله ۱۵ دقیقه و در گستره ۶۰ تا ۱۵۰ دقیقه به فاصله ۳۰ دقیقه، پس از جداسازی جاذب، از محلول باقی‌مانده، دوباره طیف جذبی گرفته شد. برای به دست آوردن زمان بهینه، درصد حذف ایمیداکلوپرید با معادله ۱ محاسبه و نمودار تغییرهای آن نسبت به زمان رسم شد که نتیجه‌های آن در شکل ۹ قابل مشاهده است.



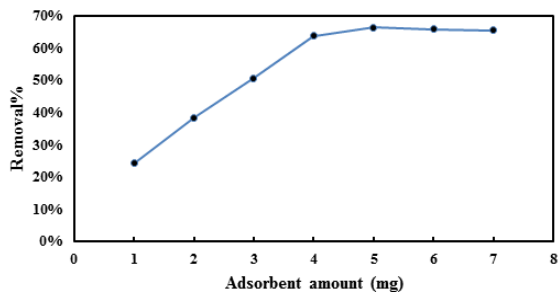
شکل ۷ منحنی واسنجی ایمیداکلوپرید

بررسی عامل‌های موثر در جذب ایمیداکلوپرید با MIL-100(Fe) در فرایند بر جذب، عامل‌های بسیاری مانند pH محلول، زمان تماس بین جاذب و جذب‌شونده و وزن جاذب تاثیرگذار هستند. بنابراین، هر یک از این عامل‌ها بررسی شد تا شرایط بهینه برای جذب مشخص شود. لازم به ذکر است که برای مقایسه بهتر تاثیر عامل مورد بررسی، عامل‌های دیگر در شرایط ثابت نگه داشته شد. درصد کاهش حذف‌شونده با معادله ۱ محاسبه شد.

$$\text{درصد کاهش حذف‌شونده} = ((C_0 - C_e)/C_0) \times 100 \quad (1)$$

که در آن  $C_0 (\text{mg.l}^{-1})$  غلظت اولیه آلاینده و  $C_e (\text{mg.l}^{-1})$  غلظت تعادلی آلاینده است.

بررسی اثر pH در فرایند بر جذب یکی از عامل‌های موثر در برهم‌کنش بین جاذب و جذب‌شونده pH محلول است. برای بهینه‌سازی pH محلول، محلول‌هایی از ایمیداکلوپرید با غلظت  $10 \text{ mg.l}^{-1}$  در pH های متفاوت ۲، ۳، ۴، ۵، ۶، ۷ و ۹ تهیه شدند و پیش از افزودن جاذب و انجام فرایند جذب، از آن‌ها طیف جذبی گرفته شد. پس از افزودن جاذب و انجام فرایند جذب، مقدار حذف ایمیداکلوپرید از معادله ۱ محاسبه و نمودار تغییرهای آن نسبت به pH رسم



شکل ۱۰ تاثیر مقدار MIL-100(Fe) مصرفی در حذف ایمیداکلوبرید

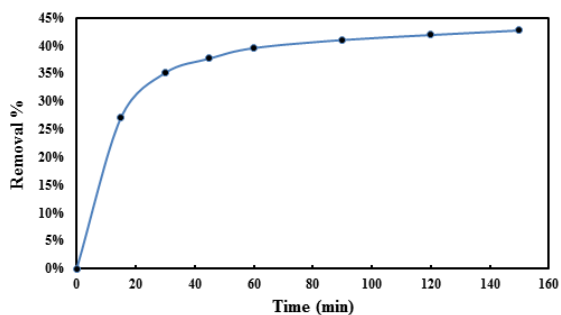
با توجه به شکل ۱۰ با افزایش مقدار جاذب تا ۵ mg، درصد حذف افزایش یافته و پس از این مقدار مکان‌های جذبی جاذب موجود اشباع و در نهایت با حضور مقادیر بیشتر جاذب، تعادل بین جذب و دفع مولکول‌های آلاینده برقرار شده است. با توجه به این نتیجه‌ها، مقدار ۵ میلی‌گرم به عنوان مقدار بهینه جاذب انتخاب شد. بنابراین، شرایط بهینه برای حذف ایمیداکلوبرید شامل ۵ میلی‌گرم جاذب، pH برابر با ۳ و مدت زمان ۶۰ دقیقه بود که حذفی برابر ۶۶ درصد از آنالیت ایمیداکلوبرید با جاذب MIL-100(Fe) را دربرداشت.

#### شناسایی فاز جاذب MIL-100(Fe) سنتز شده پس از عمل جذب

برای بررسی ساختار جاذب MIL-100(Fe) پس از انجام عمل جذب سم ایمیداکلوبرید و پی‌بردن به آن که پس از عمل جذب ساختار دستخوش چه تغییراتی شده بود، پراش پرتو ایکس و روش BET به کار گرفته شد.

#### مطالعه‌های پراش پرتو/ایکس

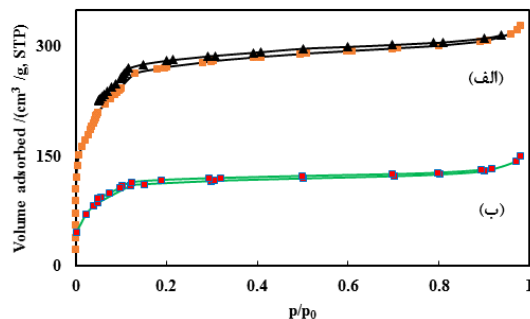
در الگوی پراش پرتو ایکس پودری پس از جذب سم ایمیداکلوبرید با جاذب MIL-100(Fe) (شکل ۱۱) تغییر خاص مشاهده نشد که نشان می‌داد جذب سم بر ساختار بلوری جاذب



شکل ۹ نمودار درصد حذف ایمیداکلوبرید بر حسب زمان با MIL-100(Fe)

با توجه به منحنی شکل ۹، تا زمان ۶۰ دقیقه، مقدار جذب ایمیداکلوبرید با جاذب (MIL-100(Fe) از محلول آبی افزایش یافته و از زمان ۶۰ دقیقه به بعد با گذشت زمان، ظرفیت جذب جاذب ثابت است. در توجیه این اثر باید اشاره کرد که در ابتدای فرایند جذب، تعداد مکان‌های جذب در دسترس، در جاذب زیاد است، ولی با گذشت زمان این مکان‌ها اشغال می‌شوند. در نتیجه، با کاهش مکان‌های جذبی، درصد حذف این آلاینده با جاذب ثابت باقی می‌ماند. از این‌رو، زمان ۶۰ دقیقه به عنوان زمان بهینه در نظر گرفته شد.

بررسی تاثیر مقدار MIL-100(Fe) در فرایند بر جذب از دیگر عامل‌های موثر در برهمکنش بین جاذب و جذب‌شونده، مقدار جاذب است. برای بررسی این عامل، ۱، ۴، ۳، ۲، ۱، ۵، ۶ و ۷ میلی‌گرم MIL-100(Fe) به محلول‌های ایمیداکلوبرید با غلظت  $10 \text{ mg.l}^{-1}$  افزوده شد. درصد حذف با معادله ۱ محاسبه شد. با افزایش مقدار MIL-100(Fe)، درصد بر جذب ایمیداکلوبرید، افزایش می‌یابد (شکل ۱۰) که به دلیل افزایش مکان‌های جذبی موجود در سطح MIL-100(Fe) است.



شکل ۱۲ هم‌دماهای جذب و واجدب  $N_2$  نمونه‌های (ب) MIL-100 (Fe) و (الف) Imid/MIL-100(Fe)

مطالعه هم‌دماهای جذب  
هم‌دما لانگمویر  
هم‌دما لانگمویر در مورد جذب‌سطحی تک لایه معتبر است و با معادله ۲ نمایش داده می‌شود.

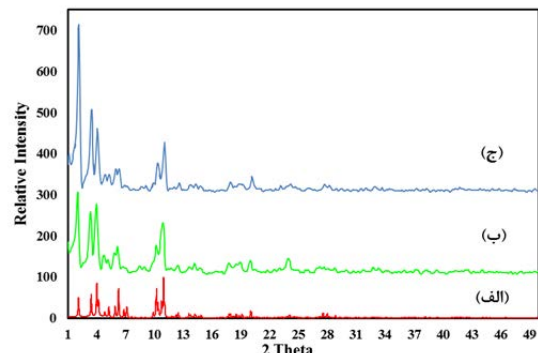
$$\frac{1}{q_e} = \frac{1}{q_m b C_e} + \frac{1}{q_m} \quad (2)$$

در معادله ۲، عامل‌های  $q_m$  بیانگر بیشینه ظرفیت جذب‌سطحی ( $mg\ g^{-1}$ )،  $q_e$  غلظت تعادلی آنالیت بر روی جاذب ( $mg\ g^{-1}$ ) که از معادله ۳ به دست می‌آید،  $C_e$  غلظت تعادلی آنالیت در محلول در حالت تعادلی ( $mg\ l^{-1}$ ) و  $b$  ثابت لانگمویر ( $l\ mg^{-1}$ ) هستند.

$$q_e = \frac{(C_0 - C_e)v}{m} \quad (3)$$

در معادله ۳،  $C_0$  ( $mg\ l^{-1}$ ) غلظت اولیه آلاینده، ( $l$ ) حجم محلول و ( $g$ ) وزن جاذب مورداستفاده است. برپایه معادله ۲ و با رسم نمودار  $1/q_e$  بر حسب  $1/C_e$ ، معادله خطی به دست می‌آید که با توجه به شبیه سازی این مدل می‌توان مقادیر  $q_m$  و  $b$  را محاسبه کرد. این هم‌دما با استفاده از نتیجه‌های آزمایش و معادله‌های ۲ و ۳ برای مدل لانگمویر به دست آمد و برپایه آن، نمودار جنبی هم‌دما رسم شد که در شکل ۱۳ نشان

سترنزشده تغییری ایجاد نکرده بود. همچنین، هیچ قله جدیدی در الگوی پراش Imid/MIL-100(Fe) دیده نشد.



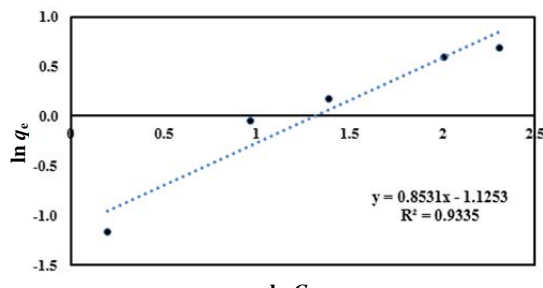
شکل ۱۱ الگوهای پراش شبیه‌سازی شده (الف)، (ب) و (ج) Imid/MIL-100(Fe) سنتزشده (ب) و (الف) Imid/MIL-100(Fe)

#### بررسی هم‌دماهای جذب و واجدب آنالیز BET

در شکل ۱۲ هم‌دماهای جذب و واجدب برای MIL-100 (Fe) و Imid/MIL-100(Fe) آورده شده است. حجم حفره‌های جاذب پس از جذب سم ایمیداکلوبپرید، به مقدار چشمگیری کاهش یافت ( $47/39$  درصد). این کاهش حجم بهعلت حضور مولکول‌های سم ایمیداکلوبپرید در حفره‌های MIL-100(Fe) است. همچنین، مساحت سطح MIL-100(Fe) نیز پس از جذب سم،  $59/48$  درصد کاهش پیدا کرد. از طرفی مقایسه داده‌های ارائه شده در شکل ۱۲ حاکی از آن است که هر دو هم‌دما از هم‌دماهای جذب نوع I پیروی می‌کنند. (این نوع هم‌دما که بیشتر با نام لانگمویر خوانده می‌شود، بیانگر ترکیب‌هایی است که حفره‌های بسیار کوچکی دارند ( $< 2\ nm$ )).

$$\ln q_e = \ln K_f + \frac{1}{n} \ln C_e \quad (5)$$

که در آن  $C_e$  غلظت آنالیت در محلول در حالت تعادلی (1) و  $K_f$  ثابت فرنندیج ( $(1/n)(mg^{-1})$ ) ( $mg^{-1}$ ) هستند. برپایه معادله خطی  $\ln K_f$  عرض از مبدأ و  $\frac{1}{n}$  شیب خط و نشاندهنده شدت جذب و  $K$  نمایانگر ظرفیت جذب است. ثابت  $n$  در این معادله ماهیت برهمنکش بین جاذب و جذب‌شونده را توصیف می‌کند. بزرگتر بودن مقدار این ثابت از عدد یک نشاندهنده فیزیکی بودن ماهیت برهمنکش است، ولی اگر  $n$  کوچکتر از یک باشد جذب به طریق شیمیایی انجام می‌گیرد. با معادله‌های ۳ و ۵ برای مدل فرنندیج، نمودار همدما جذبی رسم شد (شکل ۱۴). این نمودار از معادله  $Y = 0.7424 - X - 0.9581$  با مقدار  $R^2 = 0.9335$  برابر با  $0.9641$ ، پیروی می‌کند.



شکل ۱۴ نمودار خطی آزمایش همدما جذبی فرنندیج ایمیداکلوفپرید با pH برابر با ۳ و ۵ میلی‌گرم جاذب

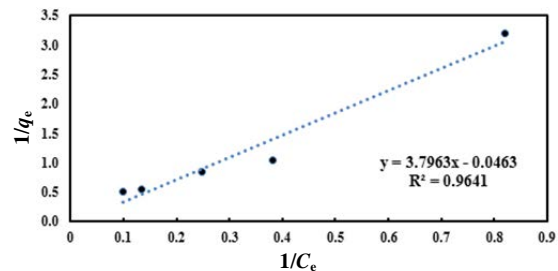
بررسی نمودارهای همدمای به دست آمده با بررسی دو همدما مطالعه شده و مقایسه  $R^2$  نمودار هم-دما لانگمویر برابر با  $0.9641$  و  $R^2$  نمودار همدما فرنندیج برابر  $0.9335$  می‌توان بیان کرد که مدل جذب ایمیداکلوفپرید بر جاذب MIL-100(Fe) با همدما جذبی لانگمویر همخوانی بیشتری دارد. البته نزدیکی ضریب‌های وایازش<sup>۱</sup> برای دو مدل بررسی شده گویای آن است که جذب ایمیداکلوفپرید بر جاذب

داده شده است. این نمودار از معادله  $Y = 3.728 X - 0.288$  با مقدار  $R^2$  برابر با  $0.9641$ ، پیروی می‌کند.

عامل اصلی معادله لانگمویر که صورت منحنی همدما را نشان می‌دهد، یک ثابت بدون بعد به نام عامل تعادل (RL) است که با معادله ۴ تعیین می‌شود که در آن  $C_e$  غلظت تعادلی آنالیند (mg l<sup>-1</sup>) و  $b$  عدد ثابت مدل همدما جذبی لانگمویر (mg l<sup>-1</sup>) است.

$$R_L = \frac{1}{1 + bC_e} \quad (4)$$

همدما با توجه به مقدار این فاکتور می‌تواند به صورت غیرمطلوب، خطی، مطلوب یا برگشت‌ناپذیر مطرح شود. زمانی که مقدار این فاکتور بین عدد صفر و یک باشد نشاندهنده این است که جذب ماده جذب‌شونده بر روی جاذب مطلوب است. اگر این فاکتور بزرگ‌تر از یک باشد بیانگر همدما نامطلوب، اگر برابر یک باشد بیانگر همدما خطی و زمانی که برابر صفر شود، بیانگر همدما غیرقابل بازگشت است.



شکل ۱۵ نمودار خطی آزمایش همدما جذبی لانگمویر ایمیداکلوفپرید با pH برابر با ۳ و ۵ میلی‌گرم جاذب

#### همدما فرنندیج

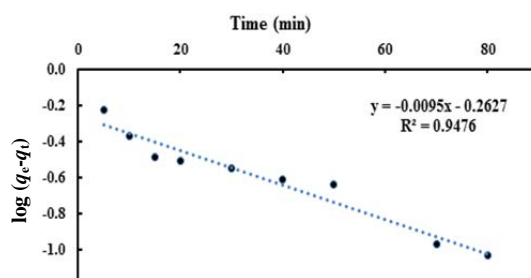
معادله دیگر برای جذب سطحی همدما، همدما فرنندیج است که برای تعیین کمی سامانه‌های جذب سطحی تعادلی به کار می‌رود. در این همدما انرژی‌های سطح ناهمگن است. صورت عمومی معادله فرنندیج از معادله ۵ پیروی می‌کند.

#### 1. Regression

یکی از مطالعه‌های مهم در فرایند جذب، بررسی سینتیک جذب و محاسبه ثابت سرعت فرایند است که به مطالعه‌های سینتیک معروف است. برای تعیین ثابت سرعت واکنش جذبی و اینکه کدام مدل سینتیکی برای فرایند جذب سطحی ایمیداکلوبپرید بر MIL-100(Fe) صدق می‌کند، از نتیجه‌های بهدست آمده در این پژوهش، استفاده شد.

برای بررسی مدل سینتیکی شبهدوجه اول بربایه معادله<sup>۷</sup> نمودار  $\log(q_e - q_t)$  بر حسب  $t$  رسم شد (شکل ۱۵). با توجه به معادله بهدست آمده ( $Y = -0.0095 X - 0.2627$ )، مقدار  $k_1$  ثابت سرعت برابر با  $0.0218 \text{ gmg}^{-1} \text{ min}^{-1}$  و مقدار  $R^2$  برابر با ۰.۹۶۴۱ بهدست آمد.

$$\log(q_e - q_t) = \log q_e - \frac{k_1}{2.303} t \quad (7)$$



شکل ۱۵ مدل سینتیکی شبهدوجه اول برای جذب ایمیداکلوبپرید با MIL-100(Fe).

برای بررسی مدل سینتیکی شبهدوجه دوم بربایه معادله<sup>۹</sup> نمودار  $\frac{t}{q_t}$  بر حسب  $t$  رسم شد (شکل ۱۶). با توجه به معادله بهدست آمده

( $Y = 0.5071 X + 1.6351$ )، مقدار  $k_2$  ثابت سرعت برابر با  $0.9953 \text{ min}^{-1}$  و مقدار  $R^2$  برابر با ۰.۹۹۷۲ بهدست آمد.

$$\frac{t}{q_t} = \frac{1}{k_2 q_e^2} + \frac{t}{q_e} \quad (9)$$

MIL-100(Fe) از هر دو الگوی جذبی پیروی می‌کند. مقدار  $q_m$  در هم‌دما لانگمویر که بیشینه ظرفیت جذب جاذب است، ۲۱.۵۹ میلی‌گرم بر گرم است که نشان‌دهنده آن است که جاذب (MIL-100(Fe)) دارای ظرفیت مطلوبی برای جذب است. عامل  $b$  در هم‌دما لانگمویر که نشان‌دهنده میل ترکیبی بین جاذب و جذب‌شونده است، برابر ۰.۱۷۵۷ است. یکی دیگر از عامل‌ها  $R_L$  است که با معادله‌های ۲ تا ۴ مقدار آن، برای MIL-100(Fe) محاسبه شد و مقدار آن بین صفر و یک ( $0 < R_L < 1$ ) به دست آمد. بنابراین، جذب ایمیداکلوبپرید بر روی MIL-100(Fe) مطلوب است. ثابت  $K_f$  در هم‌دما فرندیلیچ که نشان‌دهنده ظرفیت جذب جاذب است، برابر با ۰.۳۲۴۵ بهدست آمد. با توجه به اینکه مدل جذبی از هم‌دما لانگمویر پیروی می‌کند، ظرفیت جذب جاذب در مدل فرندیلیچ می‌باشد که از طرفی مدل لانگمویر محاسبه شود که این موضوع تایید شد. از طرفی عامل دیگر در مدل فرندیلیچ ثابت  $n$  است که در این معادله ماهیت برهم‌کنش بین جاذب و جذب‌شونده را توصیف می‌کند. بزرگترین مقدار این ثابت از عدد یک، نشان‌دهنده فیزیکی‌بودن ماهیت برهم‌کشن است، اما اگر  $n$  کوچکتر از یک باشد جذب به طریق شیمیایی انجام می‌گیرد. در این پژوهش مقدار آن ۰.۱۷۲۱ محاسبه شد. عامل‌های محاسبه شده این دو مدل جذبی در جدول ۱ آورده شده است.

جدول ۱ ثابت‌های مدل لانگمویر و فرندیلیچ برای جذب ایمیداکلوبپرید با MIL-100(Fe)

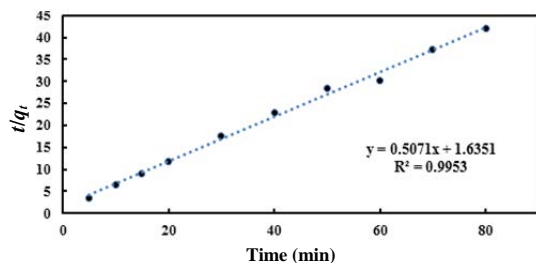
لانگمویر				فرندیلیچ		
$R_L$	$R^2$	$b$	$Q_m$	$R^2$	$n$	$K_f$
$R_L < 1$	۰.۹۶۴۱	۰.۱۷۵۷	۲۱.۵۹۸۲	۰.۹۳۳۵	۰.۱۷۲۱	۰.۳۲۴۵

بررسی سینتیک جذب ایمیداکلوبپرید بر MIL-100(Fe)

و تفاوت بسیار کم بین ظرفیت جذب در شرایط تعادل محاسباتی ( $q_e(\text{cal})$ ) و ظرفیت جذب در شرایط تعادل ( $q_e(\text{exp})$ ) در معادله سینتیک شبکه درجه دوم است. ازین‌رو، مدل سینتیک درجه اول مدل مناسبی برای جذب ایمیداکلوپرید بر-MIL-100(Fe) نیست و مدل شبکه درجه دوم می‌تواند به خوبی برای بیان سینتیک جذب ایمیداکلوپرید بر-MIL-100(Fe) منظور شود.

### نتیجه‌گیری

در این پژوهش به بررسی حذف سم ایمیداکلوپرید از محیط آبی به کمک طبقه مهمی از مواد هیربریدی آلی-معدنی یعنی چارچوب‌های فلز-آلی (MOF) پرداخته شده است. برایه نتیجه‌ها، حذف سم ایمیداکلوپرید با (Fe) MIL-100 از محلول با افزایش زمان تا ۶۰ دقیقه، افزایش مقدار جاذب به مقدار ۵ میلی‌گرم و pH برابر ۳، افزایش می‌یابد به طوری که درصد این سم از محیط آبی حذف می‌شود. ظرفیت جذب بالای (Fe) MIL-100 در حذف آلاینده مذکور به دلیل ساختار یگانه متخلخل و مساحت سطح بالای آن است که به موجب آن (Fe) MIL-100 را به بستر مناسبی برای حذف سم ایمیداکلوپرید تبدیل می‌کند. همچنین، مطالعه سینتیکی ایمیداکلوپرید با جاذب (Fe) MIL-100 نشان داد که مدل شبکه درجه دوم با مقدار  $R^2 = 0.9953$  و با تفاوت بسیار کم ظرفیت جذب در حالت تعادل به دست آمده از نتیجه‌های تجربی ( $q_e(\text{exp})$ ) به مقدار  $0.9916 \text{ mg.l}^{-1}$  و ظرفیت جذب در حالت محاسبه شده ( $q_e(\text{cal})$ ) به مقدار  $0.9719 \text{ mg.l}^{-1}$  می‌تواند مدل مناسبی برای بیان سینتیک جذب ایمیداکلوپرید بر (Fe) MIL-100 باشد. درک سازوکار جذب و شناخت چگونگی برهمنکش جاذب و جذب‌شونده در طراحی جاذب برایه چارچوب‌های فلز-آلی اهمیت دارد. در توجیه سازوکار جذب ایمیداکلوپرید بر جاذب باید پذیرفت که برهمنکش‌های ضعیف بین مولکولی مانند  $\pi-\pi$  و نیروهای قوی الکتروستاتیک در موقع جذب ایمیداکلوپرید بر جاذب-MIL-100 موثر هستند. براین‌پایه، ایمیداکلوپرید بهتر می‌تواند روی



شکل ۱۶ مدل سینتیکی شبکه درجه دوم برای جذب ایمیداکلوپرید با MIL-100(Fe)

نتیجه‌های به دست آمده از بررسی مدل‌های سینتیکی مقدارهای به دست آمده برای این دو مدل سینتیکی از نمودارهای شکل‌های ۱۵ و ۱۶، در pH برابر ۳، با ۵ میلی‌گرم جاذب و ایمیداکلوپرید با غلظت اولیه  $8 \text{ mg.l}^{-1}$  در جدول ۲ رایه شده‌اند.

جدول ۲ ضریب‌های سینتیک درجه اول و دوم جذب ایمیداکلوپرید با- MIL-100(Fe)

یمیداکلوپرید (mg.l <sup>-1</sup> )	غلظت			$q_e(\text{Exp})$	سینتیک درجه دوم			سینتیک درجه اول			$R^2$	K <sub>2</sub>	$q_e(\text{cal})$
	R <sup>2</sup>	K <sub>1</sub>	$q_e(\text{cal})$		R <sup>2</sup>	K <sub>1</sub>	$q_e(\text{cal})$	R <sup>2</sup>	K <sub>1</sub>	$q_e(\text{cal})$			
۸	۰.۹۹۵۳	۰/۱۵۷۲	۱/۹۷۱۹	۰.۹۴۷۶	۰/۰۲۱۸	۰/۵۴۶۱	۱/۹۹۱۶	۰.۹۶۴۱	۰/۹۶۴۱	۰/۹۹۵۳			

مطالعه‌های سینتیک جذب نشان داد که ضریب تعیین ( $R^2$ ) معادله شبکه درجه اول به مقدار  $0.9641$ ، کمتر از مقدار آن در معادله شبکه درجه دوم ( $0.9953$ ) است. از ظرفیت تفاوت زیادی در ظرفیت جذب در حالت تعادل به دست آمده از نتیجه‌های تجربی ( $q_e(\text{exp})$ ) به مقدار  $0.9916 \text{ mg.l}^{-1}$  و ظرفیت جذب در حالت محاسبه شده ( $q_e(\text{cal})$ ) به مقدار  $0.9719 \text{ mg.l}^{-1}$  در معادله شبکه درجه اول وجود دارد؛ در حالی که تفاوت بسیار کمی در ظرفیت جذب در حالت تعادل به دست آمده از نتیجه‌های تجربی ( $q_e(\text{exp})$ ) به مقدار  $0.9916 \text{ mg.l}^{-1}$  و ظرفیت جذب در حالت محاسبه شده ( $q_e(\text{cal})$ ) به مقدار  $0.9719 \text{ mg.l}^{-1}$  در معادله شبکه درجه دوم وجود دارد. بنابراین، بررسی نتیجه‌ها گویای مقدار ضریب تعیین معادله شبکه درجه دوم بالاتر

مناسب در محیط‌های آبی، هزینه پایین‌تر تولید نسبت به ترکیب‌های چندسازه‌ای و چارچوب‌های فلز‌آلی دوپهشده یا عامل‌دارشده است و معایب آن نسبت به سایر ساختارهای مطالعه شده، بازدهی و ظرفیت جذب پایین‌تر و نیاز به کاربری در محیط‌های اسیدی است.

سطح جذب شود. از طرفی مکان‌های اسید لوئیس موجود رو و درون MIL-100(Fe) که با قرارگیری در دمای بالا فعال می‌شوند، مکان‌های مناسبی برای جذب ایمیداکلورپرید هستند. همچنین، منافذ MIL-100(Fe) سبب به دامافتادن ایمیداکلورپرید در جاذب می‌شود. مزایای ساختار MIL-100(Fe) سنتز ساده و پایداری

## مراجع

- [1] Zhao X, Wang Y, Li DS, Bu X, Feng P. Metal-organic frameworks for separation. *Advanced Materials*. 2018;30(37):1705189. doi: [10.1002/adma.201705189](https://doi.org/10.1002/adma.201705189)
- [2] Han J, Xu D, Huang Y, Hua Y, Ding X, Lin Z, et al. Developing fine-tuned MOF membranes for highly efficient separation and adsorption of chemical pollutant in water. *Chemical Engineering Journal*. 2024;154508. doi: [org/10.1016/j.cej.2024.154508](https://doi.org/10.1016/j.cej.2024.154508)
- [3] Horcajada P, Surblé S, Serre C, Hong D-Y, Seo Y-K, Chang J-S, et al. Synthesis and catalytic properties of MIL-100 (Fe), an iron (III) carboxylate with large pores. *Chemical Communications*. 2007;27:2820-2. doi: [org/10.1039/B704325B](https://doi.org/10.1039/B704325B)
- [4] Chang M, Tang C, Wang C-C, Zhao C. From ore to MOF: a case of MIL-100 (fe) production from iron ore concentrates. *Progress in Natural Science: Materials International*. 2024;34(1):66-73. doi: [org/10.1016/j.pnsc.2024.01.013](https://doi.org/10.1016/j.pnsc.2024.01.013)
- [5] Flores CV, Obeso JL, Viltres H, Peralta RA, Ibarra IA, Leyva C. Efficient and effective removal of toluene from aqueous solution using MIL-100 (Fe). *Environmental Science: Water Research & Technology*. 2024;10(9):2142-7. doi: [10.1039/D4EW00503A](https://doi.org/10.1039/D4EW00503A)
- [6] Dhakshinamoorthy A, Alvaro M, Garcia H. Aerobic oxidation of benzylic alcohols catalyzed by metal- organic frameworks assisted by TEMPO. *Acs Catalysis*. 2011;1(1):48-53. doi: [org/10.1007/s10934-017-0489-8](https://doi.org/10.1007/s10934-017-0489-8)
- [7] Fang Y, Yang Z, Li H, Liu X. MIL-100 (Fe) and its derivatives: from synthesis to application for wastewater decontamination. *Environmental Science and Pollution Research*. 2020;27:4703-24. doi: [org/10.1016/j.cej.2014.07.119](https://doi.org/10.1016/j.cej.2014.07.119)
- [8] Agostoni V, Chalati T, Horcajada P, Willaime H, Anand R, Semiramoth N, et al. Towards an improved anti - HIV activity of NRTI via metal - organic frameworks nanoparticles. *Advanced Healthcare Materials*. 2013;2(12):1630-7. doi: [10.1002/adhm.201200454](https://doi.org/10.1002/adhm.201200454)
- [9] Mohammadnejad M, Hajiashrafi T, Rashnavadi R. An erbium-organic framework as an adsorbent for the fast and selective adsorption of methylene blue from aqueous solutions. *Journal of Porous Materials*. 2018;25:761-9. doi: [org/10.1007/s10934-017-0489-8](https://doi.org/10.1007/s10934-017-0489-8)
- [10] Mohammadnejad M, Hajiashrafi T, Rashnavadi R. Highly efficient determination of malachite green in aquatic product using Tb-organic framework as sorbent. *Journal of Porous Materials*. 2018;25:1771-81. doi: [org/10.1007/s10934-018-0590-7](https://doi.org/10.1007/s10934-018-0590-7)
- [11] Zhang F, Shi J, Jin Y, Fu Y, Zhong Y, Zhu W. Facile synthesis of MIL-100 (Fe) under HF-free conditions and its application in the acetalization of aldehydes with diols. *Chemical Engineering Journal*. 2015;259:183-90. doi: [org/10.1016/j.cej.2014.07.119](https://doi.org/10.1016/j.cej.2014.07.119)
- [12] Leclerc H, Vimont A, Lavalle J-C, Daturi M, Wiersum AD, Llwendly PL, et al. Infrared study of the influence of reducible iron (III) metal sites on the adsorption of CO, CO<sub>2</sub>, propane, propene and

- propyne in the mesoporous metal-organic framework MIL-100. *Physical Chemistry Chemical Physics.* 2011;13(24):11748-56. doi: org/10.1039/C1CP20502A
- [13] Tan F, Liu M, Li K, Wang Y, Wang J, Guo X, et al. Facile synthesis of size-controlled MIL-100 (Fe) with excellent adsorption capacity for methylene blue. *Chemical Engineering Journal.* 2015;281:360-7. doi: org/10.1039/C1CP20502A
- [14] Docherty R, Clydesdale G, Roberts K, Bennema P. Application of Bravais-Friedel-Donnay-Harker, attachment energy and Ising models to predicting and understanding the morphology of molecular crystals. *Journal of Physics D: Applied Physics.* 1991;24(2):89. doi: 10.1088/0022-3727/24/2/001
- [15] Shi J, Hei S, Liu H, Fu Y, Zhang F, Zhong Y, et al. Synthesis of MIL - 100 (Fe) at low temperature and atmospheric pressure. *Journal of Chemistry.* 2013;2013(1):792827. doi: org/10.1155/2013/792827
- [16] Mirbagheri NS, Heizmann PA, Trouillet V, Büttner J, Fischer A, Vierrath S. Adsorptive and photo-Fenton properties of bimetallic MIL-100 (Fe, Sn) and MIL-100 (Fe, Ir) MOFs toward removal of tetracycline from aqueous solutions. *Materials Advances.* 2024;5(14):5724-37. doi: org/10.1016/j.chemosphere.2021.129648
- [17] Férey G, Serre C, Mellot - Draznieks C, Millange F, Surblé S, Dutour J, et al. A hybrid solid with giant pores prepared by a combination of targeted chemistry, simulation, and powder diffraction. *Angewandte Chemie.* 2004;116(46):6456-61. doi.org/10.1002/ange.200460592

## حذف آلاینده‌های پساب صنعت خمیر و کاغذ با جاذب‌های زیستی و بررسی عامل‌های موثر

سید مهدی خوش‌فطرت<sup>۱\*</sup> و علی توکیه<sup>۲</sup>

۱. استادیار گروه شیمی، دانشکده علوم پایه، دانشگاه آیت‌الله بروجردی، بروجرد، ایران.

۲. دانشجوی کارشناسی ارشد گروه شیمی، دانشکده علوم پایه، دانشگاه آیت‌الله بروجردی، بروجرد، ایران.

دریافت: بهمن ۱۴۰۳ بازنگری: اسفند ۱۴۰۳ پذیرش: اسفند ۱۴۰۳



DOI: 10.30495/JACR1.1403.1197141

### چکیده

آلودگی پساب‌های صنایع کاغذ با آلاینده‌های متنوع شیمیایی و زیستی یک چالش زیستمحیطی مهم است. در این پژوهش، باگاس به عنوان جاذب زیستی انتخاب و پس از مشخصه‌یابی آن با طیف‌سنجی فروسرخ تبدیل فوریه (FTIR) و میکروسکوپ الکترونی روبشی گسیل میدانی (FESEM)، امکان حذف آلاینده‌های موجود در پساب صنعت خمیر و کاغذسازی با آن مطالعه شد. پژوهش در محیط آزمایشگاه انجام و عامل‌های موثر در حذف اکسیژن خواهی شیمیایی (COD) پساب مانند pH، دما و غلظت و زمان تماس جاذب بررسی شدند. نتیجه‌های آزمایش‌ها نشان داد که جاذب زیستی باگاس در غلظت‌های بالاتر و زمان‌های طولانی‌تر تماس، به طور معنی‌داری کارایی حذف COD و سایر آلاینده‌ها را افزایش می‌دهد. همچنین، pH نقشی موثر داشت. آزمایش‌های بسیار نشان داد که ۵ گرم باگاس در لیتر با زمان تماس ۳۰ دقیقه و در pH برابر با ۸/۹ بهترین کارایی را در حذف COD (۷۸/۶ درصد) داشت. این بازدهی در مقایسه با سایر جاذب‌های مورد مطالعه، یعنی پیت (حدود ۴۵ درصد) و الیاف خاص (حدود ۵۲ درصد)، به طور چشمگیری بالاتر بود. نتیجه‌های این پژوهش می‌تواند به بهبود فناوری‌های تصفیه پساب و استفاده از مواد طبیعی در فرایندهای زیستمحیطی کمک کند.

**واژه‌های کلیدی:** صنعت خمیر و کاغذ، آلاینده‌ها، باگاس، بر جذب، اکسیژن خواهی شیمیایی.

### مقدمه

رنگ‌ها، رادیونوکلئیدها، پلاستیک‌ها، نانوذره‌ها و عامل‌های بیماری‌زا اشاره کرد [۱ تا ۳]. این آلاینده‌ها موجب تغییر ویژگی‌های فیزیکی و شیمیایی آب می‌شوند و در نتیجه کیفیت آب را کاهش می‌دهند. سالانه با سنتز ترکیب‌های جدید، تنواع و تعداد این آلاینده‌ها افزایش می‌یابد. چنین آلاینده‌هایی سمی هستند و در صورت تجاوز از غلظت مجاز، بر موجودات زنده

از آلاینده‌های مهم تولید شده در صنایع می‌توان به آلاینده‌های متفاوتی مانند علف‌کش‌ها، فنل‌ها، فسفات، نیترات‌ها، مواد آلی، مواد مغذی، فراورده‌های دارویی و مراقبت شخصی، مواد پلی و پرفلوئوروآلکیل، بیوسیده‌ها، فلزهای سنگین،

حذف آلاینده‌های پساب صنعت خمیر و کاغذ با جاذب‌های زیستی...

حذف سرب ارزیابی کردند [۱۱]. نتیجه‌های تجربی نشان داد که اصلاح با نیتریک اسید موجب افزایش گروههای عاملی حاوی اکسیژن (عنی هیدروکسیل، کربوکسیل، کربونیل و استر) بر سطوح جاذب می‌شود. وجود گروههای عاملی سطحی ظرفیت جذب نمونه‌ها را برای حذف یون فلزهای سنگین مانند  $Pb^{2+}$  از محلول آبی تحت تاثیر قرار داد.

به‌طور خلاصه، کربن فعال اصلاح شده از باگاس نیشکر یک جاذب جدید، مفید و ارزان، با ظرفیت حذف کارآمد یون‌های محلول‌های آبی است [۱۱]. نانوبلورهای سلولز و نانوبلورهای سلولز اصلاح شده با سوکسینیک ایندیرید از خمیر باگاس سودا تحت عامل‌های متفاوت برای حذف یون‌های فلزهای سنگین  $Cd^{2+}$  و  $Pb^{2+}$  از محلول‌های آبی توسط اشرفی بیرگانی و همکارانش در سال ۲۰۲۲ استفاده شد. نتیجه‌ها نشان داد که هر دو نوع جاذب اصلاح شده و اصلاح نشده ظرفیت جذب بالاتری برای یون‌های سرب نسبت به یون‌های کادمیم داشتند.

سلولز زیست‌تخریب‌پذیر بر پایه باگاس نیشکر به عنوان جاذب برای حذف آلاینده‌های رنگی بلور ویولت و متیلن‌بلو نیز بررسی شده است [۱۲]. التعیم و همکارانش در سال ۲۰۲۲، تاثیر عامل‌های متفاوت مانند زمان تماس، مقدار جاذب، غلظت رنگ، دما و pH را بر مقدار حذب آلاینده‌های رنگی بررسی کردند. نتیجه‌ها نشان داد که مدل لانگمویر برای مطالعه رفتار تعادلی جذب رنگ‌های بلور ویولت و متیلن‌بلو با جاذب یادشده مناسب است. پیشنهاد شد که سازوکارهای شیمیایی ممکن است بر حذف رنگ‌های بلور ویولت و متیلن‌بلو تأثیر بگذارد.

بنابراین، در این پژوهش، امکان حذف آلاینده‌های موجود در پساب صنعت خمیر و کاغذسازی با جاذب‌های زیستی و بهینه‌سازی شرایط عملیاتی بررسی شد. در این راستا، سلولز زیست‌تخریب‌پذیر بر پایه باگاس نیشکر یک ماده موثر، سازگار با محیط‌زیست و کم هزینه [۱۳]، به عنوان جاذب استفاده شد. همچنین، تأثیر عامل‌هایی مانند مقدار جاذب، pH، زمان تماس

تأثیر منفی می‌گذارند [۴]. برای مثال، حدود ۴۰ درصد از دریاچه‌ها و رودخانه‌های کره زمین با فلزهای سنگین آلوده شده‌اند که می‌تواند به‌دلیل فعالیت‌های صنعتی، کشاورزی و خانگی باشد. فلزهای سنگین زیست‌تخریب‌پذیر نیستند و تمایل به تجمع زیستی دارند [۵]. این فلزها پایدار هستند و می‌توانند به‌طور مستقیم یا غیرمستقیم بر اندامگان‌های متفاوت زیستی تأثیر بگذارند. بسیاری از یون‌های فلزهای سنگین سمی یا سلطان‌زا هستند و حتی در غلظت‌های بسیار کم، می‌توانند موجب آسیب به اندامگان‌های بسیاری مانند ریه‌ها، کلیه‌ها، کبد، پروستات، مری، معده و پوست شوند [۶]. همچنین، می‌توانند موجب اختلالات و بیماری‌های عصبی مانند بیماری‌های آنژیوم و پارکینسون شوند. بنابراین، حذف این آلاینده‌های آبی مانند مهم است. روش‌های زیادی برای تصفیه آلاینده‌های آبی مانند جذب، تبادل یونی، رسوب، جداسازی غشایی، تبدیل الکتروشیمیایی و تجزیه زیستی به کار گرفته شده است [۷]. روش‌های متدائل مانند تبادل یونی و حذف الکتروشیمیایی، معایب بسیاری از جمله حذف ناقص، نیاز به انرژی بالا و تولید لجن سمی را نشان می‌دهند [۸]. بنابراین، نیاز است راه حل‌های مؤثر و سازگار با محیط‌زیست توسعه یابد. فرایند «برجذب» به دلیل انعطاف‌پذیری، هزینه کم، عملکرد بالا، بازسازی کارآمد و سازگاری با محیط‌زیست به‌طور گسترشده‌ای به کار گرفته شده است [۹]. به‌طور کلی، تمرکز بر استفاده از مواد طبیعی و تجدیدپذیر به عنوان جاذب در فرایند جذب است. در این زمینه، جاذب‌های زیستی به‌دلیل فراوانی و ماهیت غیرسمی توجه گسترشده‌ای را به خود جلب کردند [۱۰].

فالله نیشکر (باگاس) و مواد جانی به دست آمده از آن (خاکستر و بیت) به گونه موثری می‌توانند آلودگی‌های پساب صنعت خمیر و کاغذ را برطرف کنند. سومیانوتانکون<sup>۱</sup> و همکارانش در سال ۲۰۲۳، کربن فعال ساخته شده از باگاس نیشکر را با اکسایش نیتریک اسید، اصلاح و ظرفیت آن را برای

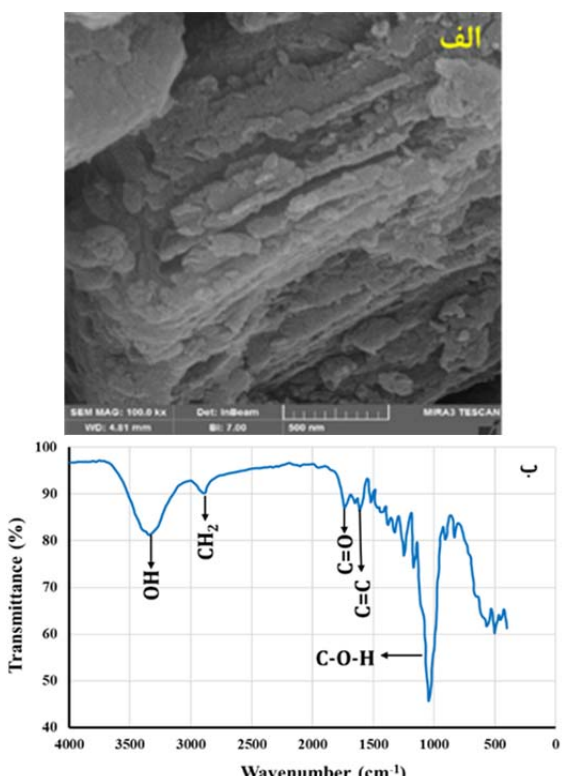
1. Somyanonthanakun

تکرار شدند تا دقیق و اعتبار نتایجها تضمین شود.

### نتایجها و بحث

مشخصه‌یابی با گاس مورد استفاده

برای توصیف ریخت شناسی با گاس مورد استفاده میکروسکوپ الکترونی روبشی گسیل میدانی (FESEM) به کار گرفته شد. تصویر FESEM مربوط به با گاس (شکل ۱-الف) نشان می‌دهد که این ترکیب شامل لایه‌های پیوسته‌ای است که ممکن است بالیگنین و همی‌سلولز تشکیل شده باشد.



شکل ۱ تصویر FESEM (الف) و طیف FTIR (ب) جاذب با گاس

طیف FTIR در شکل ۱-ب برای جاذب با گاس، نشان دهنده حضور گروه‌های عاملی متفاوت است که در فرایند جذب آلاینده‌ها در آب نقش دارند. نوار پهن مشاهده شده در  $\text{cm}^{-1}$  ۳۳۳۴ به ارتعاش کششی گروه هیدروکسیل (OH) در با گاس

بر مقدار حذف آلاینده‌ها بررسی شد تا شرایط بهینه برای دستیابی به بیشینه کارایی در حذف آلاینده‌ها تعیین شود. هم‌دماهای جذب برای درک بهتر سازوکارهای حذف آلاینده‌ها نیز مطالعه شد.

### کارهای تجربی

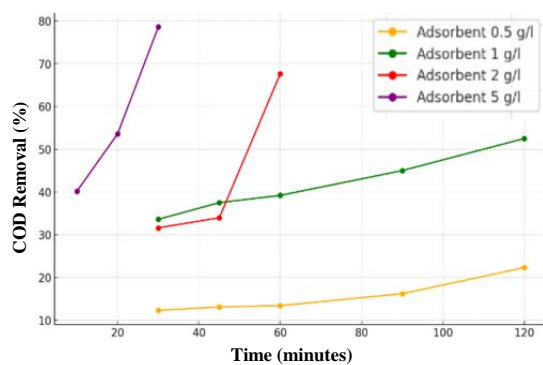
#### مواد و دستگاه‌ها

با گاس، پیت و الیاف خاص مورد استفاده در این پژوهش از کارخانه قند پارس تهیه شدند. مواد شیمیایی شامل سدیم هیدروکسید و هیدروکلریدریک اسید برای تنظیم pH، از شرکت قطران شیمی تهیه شدند. پساب کارخانه کاغذ پارس برای بررسی کارایی جاذب مورد نظر، استفاده شد. تحلیل ویژگی‌های ریخت‌شناسی با میکروسکوپ الکترونی روبشی گسیل میدانی (FESEM) مدل S4160 ساخت شرکت هیتاچی ژاپن انجام شد. طیف‌های فروسرخ تبدیل فوریه (FTIR) با طیف‌سنج Shimadzu مدل Spectrum GX ثبت شدند. برای اندازه‌گیری مقدار اکسیژن خواهی شیمیایی (COD) از دستگاه طیف‌سنج Hach مدل DR 1900 ساخت آمریکا استفاده شد.

### روش پژوهش

این پژوهش به صورت آزمایشگاهی و با هدف ارزیابی کارایی جاذب‌های زیستی (پیت، الیاف خاص، با گاس) در حذف آلاینده‌های پساب کارخانه کاغذ پارس انجام گرفت. عامل‌ها و سطوح پژوهش در این مطالعه برایه بررسی تأثیر عامل‌های متفاوت مانند مقدار جاذب، pH و زمان تماس بر مقدار حذف آلاینده‌ها انتخاب شدند. در این راستا، مقدار حذف COD که به طور کلی نشان‌دهنده کارایی جاذب‌ها در جذب آلاینده‌ها است، اندازه‌گیری شد. این عامل‌ها به طور ویژه، برپایه نتایج‌های تجربی و نیاز به یافتن شرایط عملیاتی مناسب برای دستیابی به بیشینه کارایی در حذف آلاینده‌ها از پساب‌های صنعت خمیر و کاغذسازی، انتخاب شدند. نمونه‌برداری تصادفی از پساب در شرایط فعل کارخانه صورت گرفت. همه آزمایش‌ها سه بار

جادب در لیتر در زمان ۶۰ دقیقه به درصد حذف ۶۷٪ درصد می‌رسد که نشان‌دهنده کارایی بالاتر نسبت به غلظت‌های پایین‌تر است. در نهایت، ۵ گرم جاذب در لیتر بالاترین کارایی حذف را نشان می‌دهد و حتی در زمان کوتاه ۳۰ دقیقه به بیشینه درصد حذف ۷۸.۶ دست می‌یابد. این نتیجه‌ها نشان می‌دهند که افزایش مقدار جاذب و زمان تماس، به‌طور مؤثری کارایی حذف COD را بهبود می‌بخشد، به‌گونه‌ای که مقدارهای بالاتر جاذب به حذف مؤثرتر آلاینده‌ها منجر می‌شود. به‌طور کلی، نتیجه‌ها نشان می‌دهند که با افزایش مقدار جاذب‌ها، مقدار حذف آلاینده‌ها بهبود یافته است. این بهبود به دلیل افزایش تعداد مکان‌های فعال برای جذب آلاینده‌ها و افزایش تماس آلاینده‌ها با جاذب‌ها است.



شکل ۲ کارایی جاذب با مقدارهای متفاوت برای حذف COD در زمان‌های متفاوت

#### تأثیر pH بر کارایی جاذب‌ها

برای تحلیل تأثیر pH بر کارایی جاذب‌ها در کاهش COD، تغییرهای pH در هر غلظت جاذب به صورت مستقل و با میانگین درصد حذف COD در زمان‌های متفاوت مقایسه شد. برپایه شکل ۳، با مقدار ۰.۵ گرم جاذب در لیتر، مشاهده می‌شود که با افزایش pH از ۸ به ۹.۵، درصد حذف COD از ۱۷.۵٪ به ۳۳٪ درصد (در زمان ۱۲۰ دقیقه)، افزایش یافته است. این نتیجه نشان می‌دهد که در این غلظت، pH بالاتر موجب

مربوط است. در ۲۸۸۰  $\text{cm}^{-1}$ ، نواری مشاهده می‌شود که به کشش‌های متقارن و نامتقارن گروه  $\text{CH}_2$ - است. همچنین، وجود نوارهایی در ۱۷۴۰  $\text{cm}^{-1}$  و ۱۶۱۰  $\text{cm}^{-1}$  به ترتیب نشان‌دهنده ارتعاش کششی گروه کربونیل ( $\text{C}=\text{O}$ ) و گروه الکن ( $\text{C}=\text{C}$ ) است. نوار با شدت زیاد مربوط به ارتعاش کششی گروه کربوکسیلیک اسید ( $\text{C}-\text{OH}$ ) در ۱۰۵۳  $\text{cm}^{-1}$  در احتمال حضور ترکیبات اسیدی در باکس است.

از زیبایی داده‌های آزمایشگاهی (حذف اکسیژن‌خواهی شیمیایی) ( $(\text{COD}^{\prime})$ ) تأثیر عامل‌های متفاوت شامل pH، زمان تماس و مقدار جاذب‌ها بر درصد حذف COD و روندهای جذب مناسب‌ترین جاذب با مدل‌های لانگمویر و فرونالیچ بررسی شد.

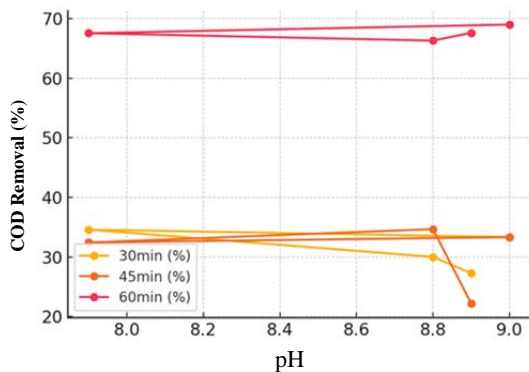
#### اثر غلظت جاذب

به‌طور کلی، نتیجه‌ها نشان داد که جاذب با غلظت ۰.۵ گرم بر لیتر کمترین کارایی را داشت و با افزایش غلظت به ۱، ۲، و ۵ گرم بر لیتر، کارایی حذف به‌طور چشمگیری افزایش یافت (شکل ۲). همچنین، مشاهده شد که در همه غلظت‌ها، با افزایش زمان تماس، مقدار حذف COD افزایش یافت، هرچند که این افزایش در زمان‌های پایانی و با نزدیک‌شدن جاذب به حالت اشباع، کمتر شد. بهترین عملکرد مربوط به غلظت ۵ گرم بر لیتر و زمان تماس ۳۰ دقیقه بود که توانست حدود ۷۸.۶ درصد از COD را حذف کند. این نتیجه‌ها تأیید می‌کند که مقدار بالاتر جاذب و زمان تماس طولانی‌تر می‌تواند به کارایی بهتر در حذف آلاینده‌ها منجر شود. در غلظت ۰.۵ گرم بر لیتر، کمترین کارایی مشاهده می‌شود و درصد حذف COD در طول زمان به تدریج افزایش می‌یابد، ولی نسبت به سایر غلظت‌ها درصد حذف آلاینده‌ها پایین‌تری دارد. با ۱ گرم جاذب در لیتر، با افزایش زمان تماس، کارایی حذف بهبود یافته و درصد حذف بیشتری نسبت به غلظت ۰.۵ گرم بر لیتر مشاهده می‌شود. با ۲ گرم

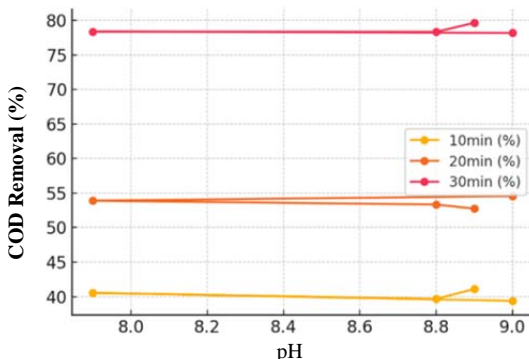
1. Chemical oxygen demand (COD)

## خوش فطرت و همکاران

برای مقدار ۲ گرم جاذب در لیتر، تا pH برابر با ۸/۸ تغییرات چشمگیری در درصد حذف COD مشاهده نمی شود. هرچند که با افزایش pH به ۸/۹ بهویژه در زمان های کمتر تغییر حذف COD به نسبت محسوس است (شکل ۵). این روند برای مقدار ۵ گرم جاذب در لیتر نیز رخ داد (شکل ۶).



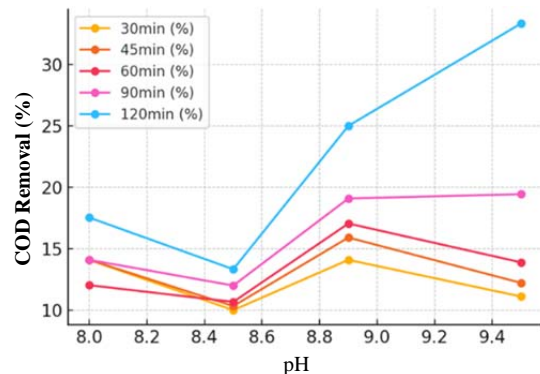
شکل ۵ تاثیر pH بر کارایی حذف با مقدار ۲ گرم جاذب در لیتر



شکل ۶ تاثیر pH بر کارایی حذف با مقدار ۵ گرم جاذب در لیتر

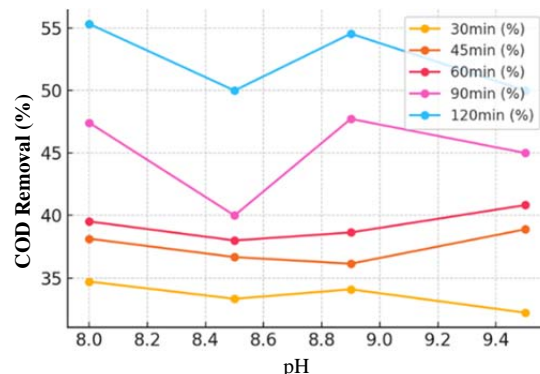
با توجه به داده های موجود، بهترین گستره pH برای حذف آلاینده ها به نظر می رسد که بین ۸/۸ تا ۹/۵ باشد، زیرا در این گستره، جاذب ها کارایی بهتری در کاهش COD داشته اند.

افزایش کارایی حذف آلاینده ها شده است. همچنین، در pH بالاتر (بین ۸/۹ تا ۹/۵) کارایی بهتری را در حذف COD نشان داده است.



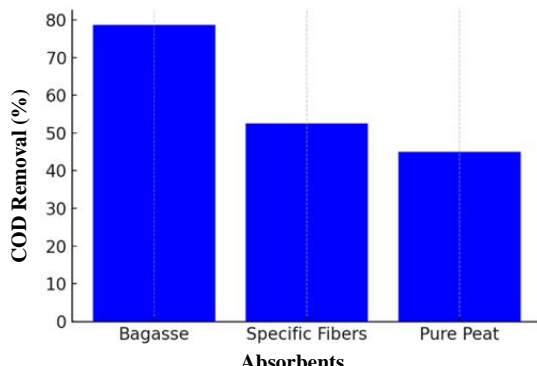
شکل ۳ تاثیر pH بر کارایی حذف با مقدار ۰/۵ گرم جاذب در لیتر

همان طور که در شکل ۴ مشاهده می شود، با مقدار ۱ گرم جاذب در لیتر و تغییر pH در گستره ۸ تا ۹/۵، در زمان دقیقه، درصد حذف COD از ۵۵/۳۳ درصد در pH برابر با ۸/۹ درصد در pH برابر با ۸/۹ تغییر کرده است. این نتیجه ها نشان می دهد که افزایش pH تا حدودی کارایی حذف را کاهش داده است، ولی تفاوت چندانی مشاهده نمی شود.

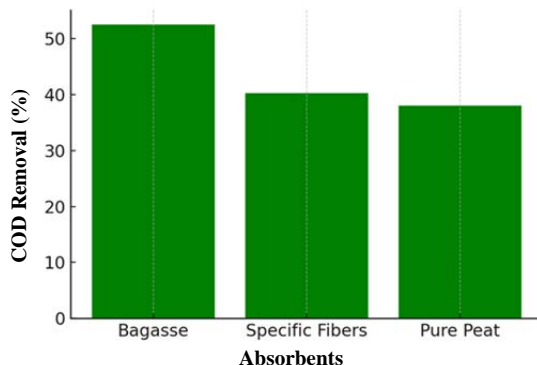


شکل ۴ تاثیر pH بر کارایی حذف با مقدار ۱ گرم جاذب در لیتر

حذف آلاینده‌های پساب صنعت خمیر و کاغذ با جاذب‌های زیستی...



شکل ۷ مقایسه کارایی جاذب‌ها در حذف COD با مقدار ۵ گرم جاذب در لیتر در زمان تماس ۳۰ دقیقه



شکل ۸ مقایسه کارایی جاذب‌ها در حذف COD با مقدار ۱ گرم جاذب در لیتر در زمان تماس ۱۲۰ دقیقه

تحلیل جامع داده‌های برای شناسایی شرایط بهینه برپایه داده‌های بهدست آمده، شرایط مناسب برای حذف آلاینده‌های موجود در پساب خروجی کارخانه کاغذ پارس با جاذب‌های زیستی (پیت، الیاف خاص، و باگاس) شناسایی شد. بهترین شرایط برای حذف COD با توجه به سه عامل کلیدی یعنی مقدار جاذب، pH، و زمان تماس تعیین شد. در این مطالعه، مشخص شد که ۵ گرم جاذب در لیتر، بیشترین کارایی را در حذف COD داشته است. در این غلظت و با زمان تماس ۳۰ دقیقه، درصد حذف COD به ۷۸,۶ درصد رسید که این مقدار در مقایسه با غلظت‌های پایین‌تر بهطور چشمگیری بیشتر بود. این نتیجه‌ها نشان داد که افزایش مقدار جاذب منجر به

#### تأثیر زمان تماس

برپایه داده‌های بهدست آمده با افزایش زمان تماس، مقدار حذف COD بهطور کلی افزایش یافت که نشان‌دهنده بهبود کارایی جاذب‌ها در جذب آلاینده‌ها بود. برای مثال، برای ۵ گرم جاذب در لیتر، در زمان ۱۰ دقیقه، درصد حذف COD برابر با ۴۰,۲ درصد بود. با افزایش زمان تماس به ۲۰ دقیقه، درصد حذف COD به ۷۸,۶ درصد رسید. در زمان ۳۰ دقیقه، درصد حذف COD به ۷۸,۶ درصد رسید. در این غلظت و این دوره زمانی بود. این روند نشان می‌دهد که زمان تماس بیشتر، فرستت بیشتری را برای واکنش‌های شیمیایی و جذب مؤثر آلاینده‌ها فراهم می‌کند و به جاذب اجازه می‌دهد تا آلاینده‌های بیشتری را جذب کند. بنابراین، زمان تماس یک عامل کلیدی در بهبود کارایی جذب جاذب‌ها است.

مقایسه جاذب‌های متفاوت (پیت، الیاف و باگاس) با بررسی نتیجه‌های بهدست آمده برای جاذب‌های متفاوت (باگاس، الیاف خاص و پیت خالص) در شرایط متفاوت غلظت و زمان تماس، مشاهده شد که عملکرد جاذب‌ها به طور چشمگیری با تغییر این دو عامل متفاوت بود. در غلظت‌های بالاتر و زمان‌های تماس طولانی‌تر، کارایی حذف COD افزایش یافت. کارایی جاذب‌های یادشده با مقدار ۵ گرم جاذب در لیتر و در زمان تماس ۳۰ دقیقه در شکل ۷ با یکدیگر مقایسه شده‌اند.

همان‌گونه که مشاهده می‌شود، باگاس بهترین عملکرد را در حذف COD نشان داده است (۷۸,۶ درصد). این نشان می‌دهد که باگاس، بهدلیل ویژگی‌های سطحی و قابلیت جذب بالا، توانسته است در شرایط یادشده نسبت به دو جاذب دیگر، کارایی بهتری داشته باشد. روند یادشده برای کارایی جاذب‌های یادشده با مقدار ۱ گرم جاذب در لیتر و مدت تماس ۱۲۰ دقیقه نیز مشاهده شد (شکل ۸).

## خوش فطرت و همکاران

آلاینده‌ها از محیط‌های آبی فراهم می‌کنند. در این پژوهش، هم‌دماهای لانگمویر و فرنزلیچ به عنوان مدل‌های متداول، بررسی شدند.

### هم‌دما لانگمویر

مدل هم‌دما لانگمویر بر پایه سه فرضیه اصلی بنا شده است: (۱) سطح جاذب یکنواخت است و تمام مکان‌های جذب انرژی یکسانی دارند. (۲) جذب مولکول‌ها به صورت یک لایه رخ می‌دهد و مولکول‌های جذب شده با یکدیگر تداخل ندارند. (۳) ظرفیت جذب جاذب محدود است و پس از رسیدن به بیشینه ظرفیت، افزایش غلظت مولکول‌ها تأثیری بر مقدار جذب ندارد. معادله هم‌دما لانگمویر به صورت زیر است:

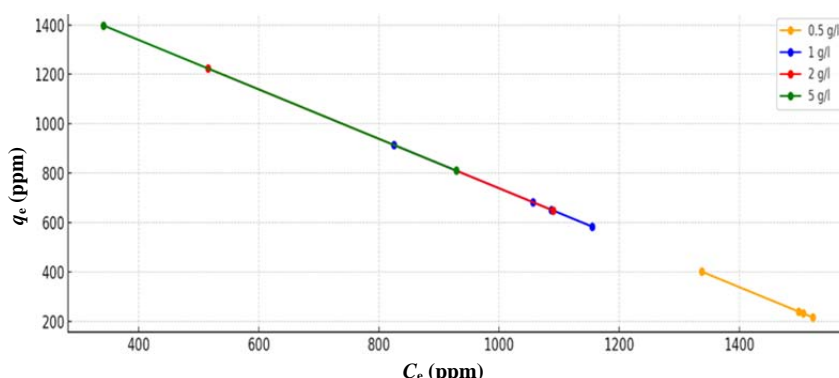
$$\frac{K_e C_e}{K_e C_e + 1} = \frac{q_e}{q_{\max}} \quad (1)$$

که در آن  $q_e$  مقدار ماده جذب شده،  $q_{\max}$  بیشینه ظرفیت جذب، ثابت هم‌دما و  $C_e$  غلظت تعادلی است. شکل ۹، نشان‌دهنده مقدار جذب ( $q_e$ ) در برابر غلظت تعادلی ( $C_e$ ) برای مقدارهای متفاوت جاذب با گاس (۰,۱,۲,۵ و ۵ گرم در لیتر) است.

افزایش تعداد مکان‌های فعال برای جذب آلاینده‌ها شد و کارایی حذف را بهبود بخشید. همچنین، بررسی تأثیر pH بر کارایی حذف نشان داد که pH بین ۸/۸ تا ۹/۵ مناسب‌ترین گستره برای جذب بهتر آلاینده‌ها بود. زمان تماس نیز به عنوان یکی از عامل‌های مؤثر بر کارایی حذف آلاینده‌ها بررسی و مشخص شد که با افزایش زمان تماس از ۱۰ دقیقه به ۳۰ دقیقه، میزان حذف آلاینده‌ها به طور چشمگیری افزایش یافت. به طور خلاصه، شرایط بهینه برای حذف بیشترین مقدار COD با جاذب‌های زیستی شامل ۵ گرم جاذب در لیتر، گستره pH بین ۸/۸ تا ۹/۰ و زمان تماس ۳۰ دقیقه بود. در این شرایط، جاذب‌ها، به ویژه با گاس، بیشترین کارایی را در حذف آلاینده‌ها داشت. این نتیجه‌ها به پژوهشگران و مدیران محیط‌زیست کمک می‌کند تا در طراحی و پیاده‌سازی سامانه‌های تصفیه پساب از این شرایط بهینه استفاده کنند و بهبود چشمگیری در کیفیت پساب خروجی به دست آورند.

### هم‌دماهای جذب

هم‌دماهای جذب به عنوان مدل‌هایی برای توصیف تعادل جذب مواد در سطح جاذب‌ها به کار گرفته می‌شوند. این هم‌دماها اطلاعات مفیدی را در مورد کارایی و ظرفیت جاذب‌ها در حذف



شکل ۹ هم‌دما لانگمویر فرایند حذف

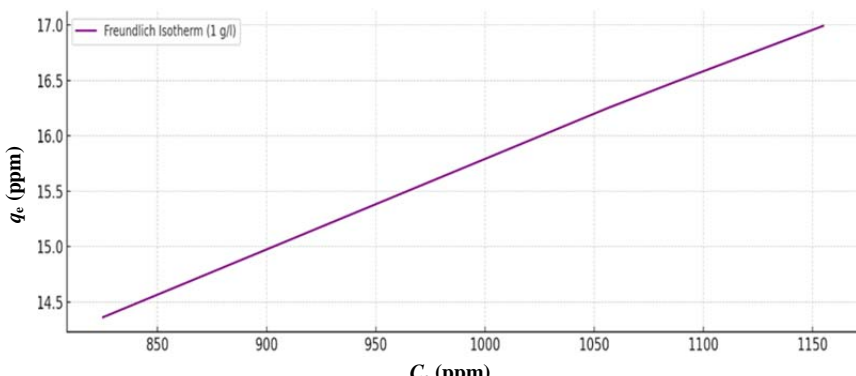
## حذف آلاینده‌های پساب صنعت خمیر و کاغذ با جاذب‌های زیستی...

آزمایش باشد که این جاذب را به گزینه‌ای مؤثر برای حذف آلاینده‌ها تبدیل کرده است.

### هم‌دما فروندلیچ

مدل هم‌دما فروندلیچ یک مدل تجربی است که برای توصیف جذب بر روی جاذب‌های غیرهمگن به کارگرفته می‌شود. شکل ۱۰ مقدار جذب را برای یک مقدار ویژه (۱ گرم در لیتر) برپایه مدل فروندلیچ نشان می‌دهد. نظریه‌های مربوط به ثابت  $K_F$  و نمای  $n$  به صورت فرضی برای این نمودار در نظر گرفته شده است.

نتایج برآش داده‌ها با مدل لانگمویر نشان می‌دهد که جاذب موردمطالعه ظرفیت جذب بالایی ( $q_0 = 0.98 \text{ ppm}$ ) دارد که کارایی آن را نسبت به دیگر جاذب‌ها برتر می‌سازد. ثابت تعادل جذب ( $K_F$  برابر با  $5/2 \text{ L ppm}^{-1}$ ) بیانگر تمایل شدید جاذب به آلاینده و تشکیل پیوندهای قوی است که به احتمال ماهیت شیمیایی دارند و فرایند جذب را گرمایش می‌کند. این نتایج، که با مطالعات مشابه همخوانی دارد، نشان می‌دهد جذب به صورت تک‌لایه‌ای و بر سطحی همگن رخ داده است. بهبود عامل‌های جذب در مقایسه با پژوهش‌های پیشین می‌تواند ناشی از اصلاحات ساختاری جاذب یا بهینه‌سازی شرایط



شکل ۱۰ هم‌دما فروندلیچ فرایند حذف

بطور کلی، نتایج این پژوهش نشان می‌دهد جاذب موردمطالعه با ترکیب سازوکارهای جذب شیمیایی (برپایه مدل لانگمویر) و فیزیکی (برپایه مدل فروندلیچ)، از ظرفیت جذب بالا و میل ترکیبی قابل توجه برخوردار است. این ویژگی‌های یگانه، کارایی بالای جاذب را در حذف آلاینده‌ها تأیید می‌کند و آن را به گزینه‌ای مناسب برای کاربردهای عملی تصفیه تبدیل می‌کند.

مقایسه درصد حذف COD با جاذب‌های موردمطالعه در این پژوهش و پژوهش‌های دیگر

نتیجه برآش داده‌ها با مدل فروندلیچ ( $q_e = 0.58 \left( \frac{mg}{ppm} \right)^{\frac{1}{n}}$ ) نشان‌دهنده جذب مطلوب و فیزیکی آلاینده‌ها بر سطحی غیرهمگن است. مقدار بالای  $K_F$  بیانگر ظرفیت جذب بالا و  $n > 1$  مؤید سهولت فرایند جذب است. این نتایج بیانگر کارایی برتر جاذب موردمطالعه نسبت به پژوهش‌های مشابه است که به احتمال ناشی از ویژگی‌های یگانه جاذب و شرایط بهینه‌سازی شده آزمایش است. رفتار گرمایشی سامانه و همخوانی نتایج با مدل فروندلیچ، کارایی این جاذب را در حذف آلاینده‌ها تأیید می‌کند.

## خوش فطرت و همکاران

حذف COD نسبت به سایر جاذب‌ها نشان داده است. بنابراین، باگاس می‌تواند در حذف آلاینده‌ها از پساب‌های صنعتی موثر باشد.

در جدول ۱ مقایسه‌ای از مقدار حذف COD در این پژوهش و مطالعه‌های پیشین ارائه شده است. همان‌گونه که از این جدول مشاهده می‌شود، جاذب باگاس با مقدارها و زمان‌های متفاوت تماس بطور چشمگیری کارایی بهتری در

جدول ۱ مقایسه درصد حذف COD باگاس با جاذب‌های دیگر

مرجع	پژوهش حاضر	درصد حذف COD	زمان تماس (دقیقه)	pH	غلظت جاذب (گرم در لیتر)	جادب مورد استفاده
[۱۱]	۷۸,۶	۳۰	۸,۸-۹	۵	یاگاس	
[۱۲]	۳۱,۲	۳۰	۷	۰/۵	کربن فعال یاگاس	
[۱۳]	۴۵,۰	۱۲۰	۸	۱	نانوبلور سلوزل	
	۵۴,۰	۶۰	۸	۱	سلولز زیست تخریب پذیر بر پایه یاگاس	

عنوان یکی از عامل‌های مهم در فرایند جذب نقش داشت. افزایش زمان تماس موجب افزایش فرصت برای جذب بیشتر آلاینده‌ها شد. غلظت جاذب یکی از عامل‌های مؤثر بر مقدار جذب آلاینده‌ها بود. در این پژوهش مشخص شد که افزایش مقدار جاذب به نحو معنی‌داری موجب کاهش غلظت آلاینده‌ها شد. مقدار ۵ گرم جاذب در لیتر، بیشترین کارایی را در حذف COD داشت. در این غلظت و با زمان تماس ۳۰ دقیقه، درصد حذف COD به ۷۸,۶ درصد رسید که این مقدار در مقایسه با مدارهای پایین‌تر به طور چشمگیری بیشتر بود. مقایسه کارایی این جاذب با جاذب‌های زیستی استفاده شده در پژوهش‌های دیگر نشان داد که باگاس به طور چشمگیری از کارایی بالاتری برخودار است. در مجموع، این روش پژوهش امکان بررسی دقیق و علمی تأثیر جاذب‌های زیستی در تصفیه پساب صنعتی را فراهم آورد.

## نتیجه‌گیری

استفاده از باگاس به عنوان جاذب زیستی به دلیل ساختار متخلخل آن و قابلیت جذب بالا، در بسیاری از مطالعه‌ها به عنوان یک روش مؤثر برای کاهش آلاینده‌های آلی و معدنی مطرح شده است. ساختار سلوزلی باگاس موجب می‌شود تا فلزهای سنگین و ترکیب‌های آلی به خوبی جذب شوند و به کاهش آلودگی آب کمک کنند. پیت، به عنوان ماده‌ای زیستی، به دلیل ویژگی‌های یگانه مانند سطح بالای جذب و قابلیت بالا در نگهداری مواد آلاینده، از اهمیت ویژه‌ای برخوردار است. نتیجه‌های این پژوهش نشان داد که استفاده از جاذب‌های زیستی مانند باگاس و پیت، در حذف آلاینده‌های موجود در پساب صنعت خمیر و کاغذ مؤثر است. pH یکی از عامل‌های کلیدی در کارایی جذب بود. تنظیم pH موجب بهبود چشمگیر کارایی جذب آلاینده‌ها شد. زمان تماس نیز به-

## مراجع

- [1] Srihanam P, Prapasri A, Janthar M, Leangtanom P, Thongsomboon W. Efficient dye removal using manganese oxide-modified nanocellulosic films from sugarcane bagasse. International Journal of

Biological Macromolecules. 2024;280:135910. doi: org/10.1016/j.ijbiomac.2024.135910

- [2] Al-Hazmi HE, Luczak J, Habibzadeh S, Hasarin MS, Mohammadi A, Esmaeili A, et al. Polysaccharide nanocomposites in wastewater

- treatment: A review. *Chemosphere*. 2024;347:140578. doi: [org/10.1016/j.chemosphere.2023.140578](https://doi.org/10.1016/j.chemosphere.2023.140578)
- [3] Bhatt A, Sahu N, Dada AC, Prajapati SK, Arora P. Assessing sustainability of microalgae-based wastewater treatment: Environmental considerations and impacts on human health. *Journal of Environmental Management*. 2024;354:120435. doi: [org/10.1016/j.jenvman.2024.120435](https://doi.org/10.1016/j.jenvman.2024.120435)
- [4] Ye S, Chen Y, Yao X, Zhang J. Simultaneous removal of organic pollutants and heavy metals in wastewater by photoelectrocatalysis: A review. *Chemosphere*. 2021;273:128503. doi: [org/10.1016/j.chemosphere.2020.128503](https://doi.org/10.1016/j.chemosphere.2020.128503)
- [5] Shoma K, Kansha Y. Comprehensive review of industrial wastewater treatment techniques. *Environmental Science and Pollution Research*. 2024;31(39):51064-51097. doi: [org/10.1007/s11356-024-34584-0](https://doi.org/10.1007/s11356-024-34584-0)
- [6] Ramírez-Coronel AA, Mohammadi MJ, Sh Majdi H, Zabibah RS, Teherian M, Prosetio DB, et al. Hospital wastewater treatment methods and its impact on human health and environments. *Reviews on Environmental Health*. 2024; 39(3):423-434. doi: [org/10.1515/reveh-2022-0216](https://doi.org/10.1515/reveh-2022-0216)
- [7] Kallawar, GA, Bhanvase BA. A review on existing and emerging approaches for textile wastewater treatments: Challenges and future perspectives. *Environmental Science and Pollution Research*. 2024;31(2):1748-1789. doi: [org/10.1007/s11356-023-31175-3](https://doi.org/10.1007/s11356-023-31175-3)
- [8] Zamora-Ledezma C, Negrete-Bolagay D, Figueroa F, Zamora-Ledezma E, Ni M, Alexis F, et al. Heavy metal water pollution: A fresh look about hazards, novel and conventional remediation methods. *Environmental Technology & Innovation*. 2021;22:101504. doi: [org/10.1016/j.eti.2021.101504](https://doi.org/10.1016/j.eti.2021.101504)
- [9] Salehi E, Shams S. A review of renewable biosorbents for pollutant removal by adsorption process. *Advanced and Intelligent Materials Mechanics Journal*. 2022;2(3):257-298. doi: [org/10.52547/masm.2.3.257](https://doi.org/10.52547/masm.2.3.257)
- [10] Rajendran S, Priya AK, Senthil Kumar P, Hoang TKA, Sekar K, Chong KY, et al. A critical and recent developments on adsorption technique for removal of heavy metals from wastewater-A review. *Chemosphere*. 2022;303:135146. doi: [org/10.1016/j.chemosphere.2022.135146](https://doi.org/10.1016/j.chemosphere.2022.135146)
- [11] Somyanonthanakun W, Ahmed R, Krongtong V, Thongmee S. Studies on the adsorption of Pb(II) from aqueous solutions using sugarcane bagasse-based modified activated carbon with nitric acid: Kinetic, isotherm and desorption. *Chemical Physics Impact*. 2023;6:100181. doi: [org/10.1016/j.chphi.2023.100181](https://doi.org/10.1016/j.chphi.2023.100181)
- [12] Ashrafi Birgani S, Talaeipour M, Hemmasi A, Bazyar B, Larijani K. Removal of heavy metal ions using cellulose nanocrystals and succinic anhydride-modified cellulose nanocrystals prepared from bleached soda bagasse pulp. *BioResources*. 2022;17(3):4886. doi: [org/10.15376/biores.17.3.4886-4904](https://doi.org/10.15376/biores.17.3.4886-4904)
- [13] Omer AS, El Naeem GA, Abd-Elhamid AI, Farahat OOA, El-Bardan AA, Soliman HMA, et al. Adsorption of crystal violet and methylene blue dyes using a cellulose-based adsorbent from sugarcane bagasse: Characterization, kinetic and isotherm studies. *Journal of Materials Research and Technology*. 2022;19:3241-54. doi: [org/10.1016/j.jmrt.2022.06.045](https://doi.org/10.1016/j.jmrt.2022.06.045)

## حذف رنگ آزو (زرد مستقیم ۸۶) از پساب واحدهای رنگزنانی پارچه‌های کتانی با ۴-سولفوکالیکس [۴]آرن

مجتبی قربانی<sup>۱\*</sup>، سعید تقواوی گنجعلی<sup>۲\*</sup>، علی اکبر طرانی<sup>۳</sup> و مرسدہ ملکزاده<sup>۴</sup>

۱. دانشجوی دکترا دانشکده شیمی، واحد تهران شمال، دانشگاه آزاد اسلامی، تهران، ایران.
۲. استاد دانشکده شیمی، واحد تهران شمال، دانشگاه آزاد اسلامی، تهران، ایران.
۳. دانشیار پژوهشگاه شیمی و مهندسی شیمی ایران، تهران، ایران.
۴. استادیار دانشکده شیمی، واحد تهران شمال، دانشگاه آزاد اسلامی، تهران، ایران.

دریافت: آبان ۱۴۰۲ بازنگری: بهمن ۱۴۰۳ پذیرش: اسفند ۱۴۰۳



DOI: 10.30495/JACR1.1403.1044845

### چکیده

مقاله حاضر روش سنتز ۲۳، ۱۷، ۱۱، ۵-پاراترشیوپوتیلکالیکس [۴]آرن و ۲۳، ۱۷، ۱۱، ۵-تتراسولفونیک اسید کالیس [۴]آرن (4-S-calix[4]calix) و استفاده از 4-S-calix[4] یا همان مشتق سلفونه ۲۳، ۱۷، ۱۱، ۵-پاراترشیوپوتیلکالیکس [۴]آرن به عنوان میزان مولکولی مؤثری برای جذب رنگ آزو زرد مستقیم ۶۴ در محیط آبی را نشان می‌دهد. پاراترشیوپوتیلکالیکس [۴]آرن و مشتق سلفونه شده آن با طیفسنجی فروسرخ تبدیل فوریه (FTIR) شناسایی شدند. این ماده شیمیایی بهدلیل ثبات و داشتن شکل مخروطی سخت، توان بالقوه‌ای را در برهمنشنهای میزان و مهمان نشان می‌دهد. از این‌رو، مولکول 4-S-calix[4] برای بررسی ویژگی کمپلکس و شدت جذب رنگ زرد مستقیم ۶۴ به عنوان مهمان استفاده شدند. ثابت تشکیل ( $K_f$ ) برای کمپلکس DY86 با مقایسه شدت جذب، تخمین زده شد. مقدار تخمین‌زده شده برای ثابت تشکیل برابر با  $10^4 \times 4.6 \text{ M}^{-1}$  بود. نسبت استوکیومتری کمپلکس با نمودار بنسی هیلدبراند به صورت ۱:۱ تعیین شد.

**واژه‌های کلیدی:** زرد مستقیم ۶۴، نمودار بنسی هیلدبراند، ۴-سولفوکالیکس [۴]آرن، جذب.

### مقدمه

منسوجات، چرم، رنگرزی، مواد غذایی، بنزین، فناوری لیزر، کاغذ، رنگ، جوهر، چاپگر، نمایشگرهای بلوری مایع، سامانه‌های الکتروپتیکال و لوازم آرایشی کاربرد گسترده‌ای دارند. به طور تقریبی ۱۵ تا ۱۵ درصد از خروجی کلی رنگ‌های آزو به

رنگ‌های آزو، گروهی از رنگ‌ها هستند که از راه جفت‌شدن ترکیب‌های دیازونیم با فلکلاس یا آمینهای آروماتیک، سنتز می‌شوند. این رنگ‌ها در صنایع متفاوت، از جمله الیاف و

به کارگیری کرین فعال مشتق شده از مغز گشنبیز برای حذف مؤثر کنگو قرمز از پساب را ارائه کردند [۱۲]. پاوان<sup>۴</sup> و همکارانش روش سل-ژل را برای سنتز ژروژل هیبریدی آنلین-پروپیل سیلیکا به منظور جذب قرمز کنگو از محلول‌های آبی، به کار گرفتند [۱۳]. در سال‌های اخیر، بر مطالعه روش‌های جداسازی شیمیایی و توسعه مواد استخراج جدید به منظور جداسازی مولکول‌ها و بیون‌ها، تمرکز چشمگیری شده است. ساختارهای فوق مولکولی می‌توانند به عنوان بلوک‌های ساختمانی برای ساخت ترکیب‌های پیچیده و مکان‌هایی برای پیوند گروه‌های عاملی استفاده شوند. گیرنده‌های درشت‌حلقه، شامل اترهای تاجی [۱۴]، کرپیتندها، سیکلودکسترن‌ها، اسفراندها [۱۵] و [۱۶] و کالیکس‌آرن‌ها [۱۷] و [۱۸] هستند. الیگومرهای حلقوی فتل که گروه‌های اتیلن آن‌ها را بهم پیوند می‌دهند، به عنوان ترکیب‌های کالیکس‌آرن شناخته می‌شوند [۱۹]. کالیکس‌آرن استوانه‌ای هستند و دارای ابعاد حفره متفاوتی هستند. از این‌رو تشکیل بسیاری از کمپلکس‌های میزان-مهمان را تسهیل می‌کنند. قطر حفره داخلی کالیکس‌آرن [۴] آرن حدود  $3.0 \text{ \AA}$  است. جذب و فلورسانس پرتو فراغنش به دلیل وجود ادھاری فنلی در داخل کالیکس‌آرن‌ها رخ می‌دهد. درنتیجه، پژوهش‌های زیادی روی فتووفیزیک کالیکس‌آرن‌ها انجام شده است. کالیکس‌آرن‌ها به دلیل ویژگی‌های چشمگیر خود، به عنوان مولکول میزان استفاده می‌شوند [۲۰]. برهم-کنش‌های ضعیف، مانند پیوندهای هیدروژنی، الکترواستاتیکی،  $\pi-\pi$  و گشتاورهای دوقطبی-دوقطبی، تأثیر زیادی بر تشکیل ساختارهای پیچیده دارند [۲۱] و [۲۲]. از آنجایی که پاراترشیوبوتیل کالیکس [۴] آرن‌ها حلالیت محدودی در آب دارند، می‌توان با فرایند مشتق‌سازی، کالیکسارن‌های محلول در آب به دست آورد [۱۹]. سنتز انواع متفاوت کالیکسارن‌ها با ویژگی انحلال‌پذیری مشخص شرح داده شده است [۲۳] تا [۲۶]. انواع متفاوتی از مشتق‌های محلول در آب کالیکس‌آرن‌ها، از جمله

محیط منتشر می‌شود [۱] و [۲]. رنگ‌های آزو و فراورده‌های تخریب به دست آمده از آن‌ها سمیت ذاتی هستند و توانایی سلطان‌زایی و جهش‌زایی در بسیاری از گونه‌های زنده را دارند. بنابراین، به کارگیری یک روش پیش‌تصفیه برای حذف مؤثر پساب حاوی رنگ‌های آزو لازم است [۳]. آمین‌های آروماتیک با فرایند کاهش رنگ‌های آزو سنتز می‌شوند. برخی از آمین‌های آروماتیک که شامل گروه‌های هیدروکسیل یا کربوکسیل هستند با تماس مستقیم یا قرار گرفتن در محیط، خطر چشمگیری برای سلامتی انسان ایجاد می‌کنند. اکسایش زیست‌شیمیایی راه حل مؤثری برای تصفیه رنگ‌های آزو نیست. یک رویکرد بسیار کارآمد برای حذف این رنگ‌ها از پساب، به کارگیری روش استخراج جامد-مایع است. این روش شامل استفاده از جاذب‌های معدنی یا آلی است که از منابع طبیعی و مصنوعی مشتق شده‌اند. برای مثال، می‌توان به کرین فعال، زئولیت‌ها، دانه‌های کوارتز و پلی‌آمین‌ها اشاره کرد. به طور معمول ترکیبی از روش‌های فیزیک‌شیمیایی و زیستی برای تصفیه پساب رنگی به کار گرفته می‌شود. این روش‌ها، شامل صافش و لخته‌سازی [۴]، اکسایش از طریق ازن‌زنی [۵]، انعقاد [۶]، جذب [۷] و رنگ‌زدایی با قارچ [۸]، تجزیه الکتروشیمیایی و فوتوكاتالیستی است. در مقایسه با سایر روش‌های حذف، جذب دارای ظرفیت حذف کل مولکول رنگ، سادگی، سرعت، مقرن به صرفه بودن و قابلیت به کارگیری دوباره است [۶]. جاذب‌های متفاوتی، مانند کرین فعال، کیتین، خاک رس، خاکستر بادی، زغال‌سنگ نارس، سیلیکا و بیوچار در مطالعه‌های پیشین به کار گرفته شده‌اند [۷] و [۹]. میتال<sup>۱</sup> و همکارانش از ضایعات خاکستر و کیک سویا به عنوان جاذب برای جذب متیل اورانث استفاده کردند [۱۰]. لیسنکو<sup>۲</sup> و همکارانش [۱۱] مفهوم به کارگیری جاذب‌های کربنی مبتتنی بر سلولز را برای تصفیه آب آلوده به رنگ‌های آلی، مطرح کردند. ناما سیوایام<sup>۳</sup> و همکارانش یک روش جذب با

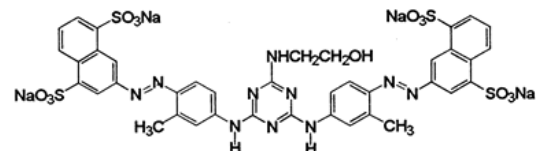
## قطرانی و تقویتی گنجعلی و همکاران

اتanol، متanol، استون،  $\text{KH}_2\text{PO}_4$  و  $\text{Na}_2\text{HPO}_4$  از شرکت مرک و رنگ زرد مستقیم ۶۵ از شرکت الوان ثابت، تهیه شد.

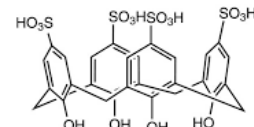
### سترن ۱۱،۵-۲۳،۱۷-پاراترشیوپوتیل کالیکس[۴]آرن

سترن پاراترشیوپوتیل کالیکس[۴]آرن برپایه روش گوتچه و همکارانش انجام شد [۲۷]. ۲۰ گرم ( $0.133$  مول) پارا ترشیو بوتیل فنل پودرشده به یک بالن دو لیتری سه دهانه که به همزن مکانیکی، مبرد بازروانی و دماستنج مجهز بود، منتقل شد.  $0.24$  گرم ( $0.006$  مول) سدیم هیدروکسید با  $20$  میلی لیتر محلول  $37$  درصد فرمالدئید در یک ظرف مجزا مخلوط و سپس به بالن اصلی منتقل شد. محلول به دست آمده  $40$  دقیقه در دمای اتاق هم زده شد. پس از آن، دمای بالن با حمام پارافینی به  $120$  درجه سلسیوس افزایش یافت و تا تبدیل رنگ محلول از روشن به یک توده زرد تیره، دراین دما نگه داشته شد. سپس، بالن از حمام روغن خارج شد تا به دمای اطراف برسد. پس از سرد کردن،  $160$  میلی لیتر دیفنیل اتر گرم به داخل بالن حاوی محلول افروده شد. مخلوط به دست آمده به مدت  $2$  ساعت در دمای اتاق هم زده شد تا انحلال کامل مخلوط واکنش در دیفنیل اتر به دست آمد. بالن دوباره وارد حمام روغن شد و تا دمای  $120$  درجه سلسیوس گرم و به مدت  $2$  ساعت، به طور مداوم هم زده شد و در طی آن گاز نیتروژن از یک دهانه وارد و از دهانه دیگر خارج شد. در طول این مدت، رنگ محلول از زرد به خاکستری تبدیل شد. پس از توقف تبخیر آب، دهانه بالن بسته شد و محتويات داخل بالن با شوف بالن به مدت  $4$  ساعت در دمای  $250$  درجه سلسیوس، تحت بازروانی قرار گرفت. رنگ خاکستری به قهوه ای و سپس به سیاه تغییر کرد. پس از آن،  $160$  میلی لیتر اتیل استات برای ایجاد رسوب به بالن افزوده شد. ترکیب به دست آمده به مدت  $30$  دقیقه هم زده شد. این ترکیب به مدت  $48$  ساعت دست نخورده باقی ماند تا رسوب سفیدرنگی به دست آید. رسوب جمع آوری شده، با به کارگیری صافی شیشه ای، صاف شد. رسوب به دست آمده به ترتیب با  $20$

سولفوناتو، آمینو، نیترو، کربوکسیل و فسفوناتو کالیکس آرن ها سنتز شده است. کالیکس آرن های سولفونه شده، حلایت بالایی در آب از خود نشان می دهند. کالیکس آرن های محلول در آب ویژگی های آب گریز و آب دوست دارند و می توانند، به طور مؤثر مولکول های شیمیایی خنثی و گونه های یونی را در خود محصور کنند. هدف از این مطالعه تبدیل محیط آب گریز کالیکس[۴]آرن ها به محیط آب دوست کالیکس[۴]آرن ها از راه پیوند سرهای آب دوست  $\text{SO}_3^-$  بود. مولکول میزان آب دوست که یک مشتق سولفونه شده از پاراترشیوپوتیل کالیکس[۴]آرن هاست، در بررسی ویژگی های کمپلکس و شدت جذب رنگ زرد مستقیم  $186$  (DY86)، به عنوان مهمان، استفاده شد. شکل ۱ طرح واره ساختارهای شیمیایی پاراسولفوناتو کالیکس[۴]آرن و رنگ آزو را نشان می دهد که دارای حلایت در آب هستند.



(ب)



(الف)

شکل ۱ طرح واره ساختارهای شیمیایی پاراسولفوناتو کالیکس[۴]آرن (الف) و زرد مستقیم  $186$  (ب)

## بخش تجربی

### مواد و روش ها

ترکیب پاراترشیوپوتیل فنل از شرکت آکرس<sup>۲</sup>، فرمالدئید، سدیم هیدروکسید، سولفوریک اسید، دیفنیل اتر، اتیل استات،

1. Direct yellow 86 (DY86)

2. Acros

acidic H exchanged +3H<sub>2</sub>O)), 8.66 (s, 8H of Ar); <sup>13</sup>C-NMR δ (ppm): 35.02 (Ar-CH<sub>2</sub>-Ar), 131.02 (C(H) of Ar), 132.53 (Ar-CH<sub>2</sub>-Ar), 140.29 and 155.95 (C-OH and C-SO<sub>3</sub>H); FTIR ν<sub>max</sub> (cm<sup>-1</sup>): 1049, 1187, 3188, 3431.

## نتیجه‌ها و بحث

### بررسی طیف‌های FTIR

شکل ۱-الف طیف فروسرخ تبدیل فوریه ترکیب کالیکس[۴]آرن را نشان می‌دهد. گروه‌های فنلی در cm<sup>-1</sup> ۳۱۷۹ نشان داده می‌شوند. ناحیه طیفی ۱۴۰۰ تا ۱۶۰۰ cm<sup>-1</sup> به وجود حلقه‌های آромاتیک نسبت داده می‌شود. نوار مشاهده شده در ۲۹۵۴ cm<sup>-1</sup> مربوط به فرکانس ارتعاشی گروه‌های CH<sub>3</sub> است. نوار مشاهده شده در ۱۰۴۱ cm<sup>-1</sup> مربوط به C-O-C-اتر است. نوارهایی که در عددهای موجی ۲۹۰۴ و ۲۸۶۷ cm<sup>-1</sup> مشاهده می‌شوند، به ترتیب به ارتعاش‌های متقارن C-H گروه‌های متیل و متیلن مربوط هستند. نوارهایی که در عددهای موج ۱۶۰۳, ۱۶۰۱, ۱۴۸۱ و ۱۳۰۷ cm<sup>-1</sup> مشاهده می‌شوند، مربوط به حالت‌های ارتعاشی مرتبط با کشش پیوندهای کربن-کربن (C-C) و خمین پیوندهای کربن-کربن-هیدروژن (C-C-H) در حلقه‌های آромاتیک هستند. نوارهای مشاهده شده در ۱۱۵۷, ۱۱۲۴, ۱۱۰۱, ۱۰۴۱ و ۹۴۶ cm<sup>-1</sup> به خمین درون صفحه پیوندهای آромاتیک C-H نسبت داده می‌شوند. نوارهایی که در ۸۱۶, ۷۸۲ و ۷۳۸ cm<sup>-1</sup> مشاهده می‌شوند، نشان‌دهنده حالت‌های ارتعاشی مرتبط با خمس خارج از صفحه پیوندهای آروماتیک کربن-هیدروژن (C-H) و کربن-کربن (C-C) است. حالت‌های ارتعاشی که در ۱۴۴۸, ۱۳۶۱, ۱۲۴۲ و ۸۹۰ cm<sup>-1</sup> مشاهده می‌شوند، به ترتیب به ارتعاش‌های خمینی، جنبه‌هایی، پیچشی و گهواره‌ای گروه عاملی CH<sub>2</sub> نسبت داده می‌شوند. نوار مشاهده شده در ۱۲۸۵ cm<sup>-1</sup> به حالت تغییر شکل گروه CH<sub>3</sub> نسبت داده می‌شود. نوارهای مشاهده شده در ۸۷۱ و ۷۸۲ cm<sup>-1</sup> به حالت‌های ارتعاشی مرتبط با ارتعاش‌های کششی C-C-H خارج از صفحه نسبت داده

میلی‌لیتر اتیل استات و ۱۰ میلی‌لیتر استیک اسید N و در پایان با ۱۰ میلی‌لیتر استون، شسته شد. در پایان، کالیکس[۴]آرن بلوری با رنگ سفید درخشان با بازده ۴۸ درصد به دست آمد که نقطه ذوب آن ۳۴۲-۳۴۴ درجه سلسیوس و داده‌های طیفی آن به شرح زیر بود.

<sup>1</sup>H-NMR δ (ppm): 0.34 (s, 4H), 1.21 (s, 36H), 3.50 (d, 4H, J=12.8 Hz), 4.26 (d, 4H, J=12.8 Hz), 7.05 (s, 8H); <sup>13</sup>C-NMR δ (ppm): 31.5, 32.4, 34.0, 126.1, 128.2, 144.5, 146.8; FTIR ν<sub>max</sub> (cm<sup>-1</sup>): 1200, 1400, 2953, 3169.

سنتر ۱۱, ۱۷, ۲۳-تتراسولفورونیک اسید کالیکس[۴]آرن (4-S-calix[4]

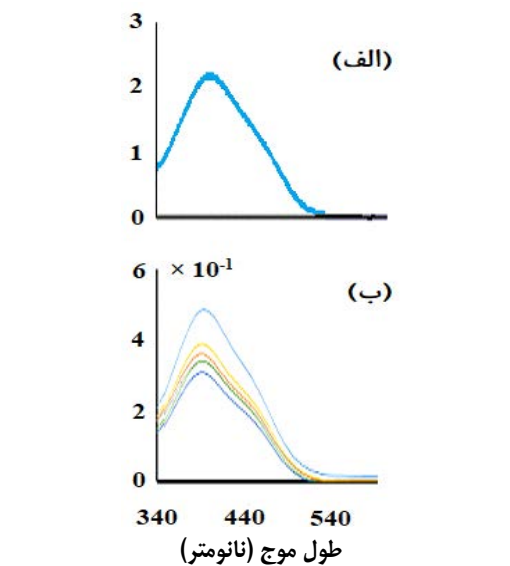
سنتر [4]-S-calix[4] برپایه روش لامارتین<sup>۱</sup> و همکارانش انجام شد [۲۸]. ۱۰ میلی‌لیتر سولفوریک اسید غلیظ (با خلوص ۹۷ درصد) به یک بالن ۱۰۰ میلی‌لیتری دو دهانه مجهز به چگالنده و همزن مغناطیسی ریخته و ۲/۵ گرم تترا-پارا-ترشیو-بوتیل کالیکس[۴]آرن، به تدریج افزوده شد. مخلوط به دست آمده به مدت ۴ ساعت در دمای ۸۰ درجه سلسیوس تحت بازروانی قرار گرفت. مخلوط واکنش با صافی شیشه‌ای با تخلخل ۳, ۲/۵ میلی‌لیتر اتانول در دمای ۰ درجه سلسیوس شسته شد. رسوب به دست آمده به ۵۰ میلی‌لیتر متانول افزوده شد. پس ازان، ۰/۵ گرم زغال فعل به محلول به دست آمده، افزوده شد. پس ازان، محلول به ظرفی حاوی ۲۵۰ میلی‌لیتر اتیل استات، افزوده شد. در پایان، محلول با کاغذ صافی، صاف شد. رسوب به دست آمده در گستره دمایی ۳۰ تا ۴۰ درجه سلسیوس در خلاء خشک شد. در پایان، بلورهای قهقهه‌ای روشن [4]-S-calix[4] با بازده ۵۰ درصد به دست آمد که نقطه ذوب آن ۳۰۰ درجه سلسیوس و داده‌های طیفی آن به شرح زیر بود.

<sup>1</sup>H-NMR δ (ppm): 5.80 (s, 4Ar-CH<sub>2</sub>-Ar), 5.97 (s, 14H, (8

1. Lamartine

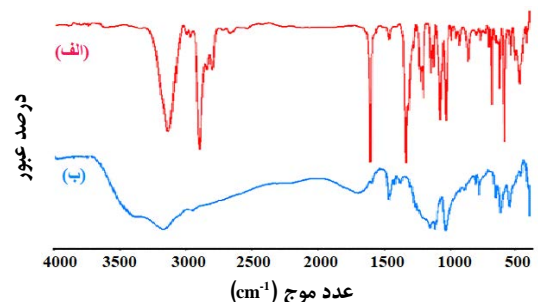
## قطرانی و تقویت گنجعلی و همکاران

طیف جذبی زرد مستقیم ۸۶ در محلول آبی در غلظت‌های متفاوت [۴]-S-calix[۴] در شکل ۲-ب نشان داده است. در غلظت  $M \times 10^{-5}$  نمونه [۴]-S-calix[۴] کاهش جذب مشاهده شد که با یک جابه‌جایی آبی ۲ نانومتری از طول موج اولیه ۳۹۵ نانومتر همراه بود. در غلظت  $M \times 10^{-4}$  نمونه [۴]-S-calix[۴] جذب کاهش نسبی و یک جابه‌جایی به سمت طول موج کوتاه‌تر، یعنی ۳۹۲ نانومتر در ناحیه آبی را نشان داد. در غلظت  $M \times 10^{-3}$  از [۴]-S-calix[۴] افزایش جذب مشاهده شد و یک جابه‌جایی به سمت ناحیه قرمز در طول موج ۳۹۳ نانومتر مشاهده شد. هنگامی که غلظت [۴]-S-calix[۴] افزایش یافت، شدت نوارها کاهش اولیه و به دنبال آن افزایش را نشان داد که با یک جابه‌جایی قرمز در طیف یعنی ۳۹۴ و ۳۹۵ نانومتر همراه بود. این تغییرها درنتیجه تشکیل کمپلکس بین [۴]-S-calix[۴] و زرد مستقیم ۸۶ مشاهده شد.



شکل ۲ طیف‌های جذبی زرد مستقیم ۸۶ با غلظت  $10^{-5} \times 10^{-4}$  مولار در pH برابر با ۷/۰ (الف) و در چندین غلظت از [۴]-S-calix[۴] در گستره ۰/۰ تا ۰/۵ میلی‌مولار (ب)

می‌شود. نواری که در عدد موج  $816 \text{ cm}^{-1}$  مشاهده می‌شود به ارتعاش کشنشی پیوندهای کربن-کربن (C-C) نسبت داده می‌شود. نواری که در عدد موج  $708 \text{ cm}^{-1}$  مشاهده می‌شود، مربوط به ارتعاشی خمشی پیوندهای کربن-هیدروژن به خارج از صفحه مولکولی است [۲۹]. طیف فروسرخ تبدیل فوریه کالیکس [۴]-آرن سولفونه شده در شکل ۱-ب نشان داده شده است. نوارهای جذبی که در گستره طیفی  $950 \text{ cm}^{-1}$  تا  $1040 \text{ cm}^{-1}$  دیده می‌شوند، به ترتیب به وجود ارتعاش‌های کشنشی C-S گروه‌های عاملی  $\text{S}=\text{O}$  و ارتعاش کشنشی پیوندهای C-S نسبت داده می‌شوند. ناپدیدشدن نوار در  $2954 \text{ cm}^{-1}$  که مربوط به ارتعاشی گروه‌های  $\text{CH}_3$  متصل به گروه ترشیوبوتیل است، ممکن است به حذف گروه‌های ترشیوبوتیل از ساختار حلقه نسبت داده شود. وجود یک نوار در  $1038 \text{ cm}^{-1}$  ممکن است به جذب اتر C-O-C نسبت داده شود [۳۰].



شکل ۱ طیف‌های FTIR نمونه‌های ۵،۱۱،۱۷،۲۳-پاراترشیوبوتیل کالیکس [۴]-آرن (الف) و ۵،۱۱،۱۷،۲۳-تراسولفونیک اسید کالیکس [۴]-آرن (ب)

### بررسی طیف‌های جذبی

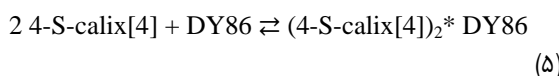
طیف جذبی زرد مستقیم ۸۶ در آب در pH برابر با ۷ ثبت شد (شکل ۲-الف). نوار جذبی با طول موج ۳۹۵ نانومتر برای زرد مستقیم ۸۶ مشاهده شد. طیف جذب زرد مستقیم ۸۶ در غلظت  $M \times 10^{-5}$  با قانون بیر همخوانی داشت. از این‌رو، غلظت  $M \times 10^{-5}$  در آزمایش‌ها به کار گرفته شد.

حذف رنگ آزو (زرد مستقیم ۶۸) از پساب واحدهای رنگزنانی پارچه‌های ...

با  $K_{f1}$  مقدار  $K_{f1}$  بیشتر باشد). نمودار دوگانه متقابل محاسبه شد.

$$(1/\Delta_i) = (1/K_{f1} \times \Delta_{\max} \times [4\text{-S-calix}[4]]_i) + (1/\Delta_{\max}) \quad (4)$$

در معادله ۴ نشان‌دهنده تفاوت مشاهده شده در جذب مهمان با افزودن  $[4\text{-S-calix}[4]$  است.  $\Delta_{\max}$  نشان‌دهنده تفاوت مشاهده شده در جذب مهمان هنگام محصورشدن در داخل مولکول میزان است. نمودار  $1/(A - A_0)$  در برابر  $1/[4\text{-S-calix}[4]]$  یک رابطه خطی را نشان می‌دهد (شکل ۳-الف). اگر نسبت استوکیومتری ۱:۲ فرض شود، می‌توان نوشت:



ثابت تعادل ( $K_{f2}$ ) با معادله ۶ نشان داده می‌شود:

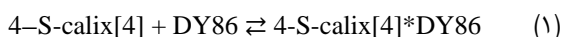
$$K_{f2} = \frac{[\text{میزان}][\text{مهمان}]}{[\text{کمپلکس}]} \quad (6)$$

با توجه به  $[4\text{-S-calix}[4]]_0 >> [(4\text{-S-calix}[4])_2^* \text{DY86}] >> [4\text{-S-calix}[4]^* \text{DY86}]$  می‌توان نوشت:

$$(1/\Delta_i) = (1/K_{f2} \times \Delta_{\max} \times [4\text{-S-calix}[4]]_i^2) + (1/\Delta_{\max}) \quad (7)$$

ممکن است با رسم  $1/[4\text{-S-calix}[4]]_0^2$  در برابر  $1/(A - A_0)$  یک خط مستقیم به دست آید (شکل ۳-ب).

تعیین ثابت تشکیل کمپلکس  $4\text{-S-calix}[4]^* \text{DY86}$  نسبت استوکیومتری ۱:۱ برای کمپلکس تشکیل شده بین  $4\text{-S-calix}[4]$  و رنگ آزو DY86 و نمودار بنسی هیلدبراند<sup>۱</sup> به کار گرفته شد. ایجاد تعادل برای تشکیل کمپلکس به صورت زیر فرض شد:



ثابت تعادل  $K_{f1}$  عبارت است از نسبت غلظت‌های  $4\text{-S-calix}[4]$  در هنگام پیوند به غلظت دو واکنش‌دهنده به طور جداگانه است (معادله ۲).

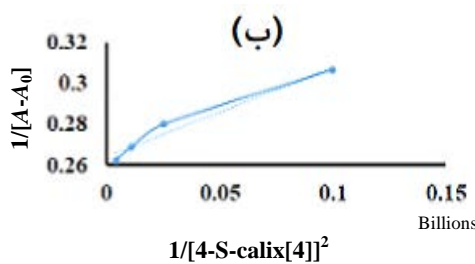
$$K_{f1} = \frac{[\text{میزان}][\text{مهمان}]}{[\text{کمپلکس}]} \quad (2)$$

غلظت‌های تعادلی  $4\text{-S-calix}[4]$  و  $\text{DY86}$  به ترتیب با  $[4\text{-S-calix}[4]]$  و  $[\text{DY86}]$  و غلظت تعادلی کمپلکس به صورت  $[4\text{-calix}[4]^* \text{DY86}]$  نشان داده می‌شوند. نتیجه‌های تجربی نشان می‌دهد که جذب DY86 با تشکیل کمپلکس بهبود می‌باید. به طور کلی، همبستگی بین غلظت‌های تعادلی و جذب به صورت زیر نشان داده می‌شود.

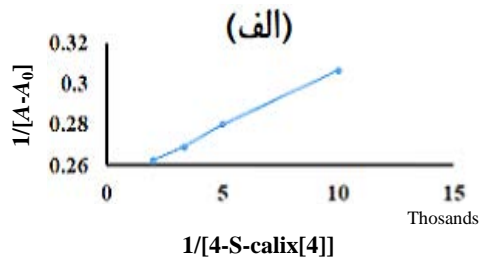
$$([\text{DY86}]/[4\text{-S-calix}[4]^* \text{DY86}]) = ((A_1 - A_0)/(A - A_0)) \quad (3)$$

متغیر  $[\text{DY86}]_0$  غلظت اولیه DY86 را نشان می‌دهد،  $A$  نشان‌دهنده جذب در غلظت معینی از  $[4\text{-S-calix}[4]]$  و  $A_0$  به ترتیب نشان‌دهنده جذب DY86 در یک محلول آبی به صورت خالص و کمپلکس هستند. غلظت مولکول میزان  $(4\text{-S-calix}[4])$  باید بیست برابر بیشتر از مولکول مهمان  $(\text{DY86})$  باشد (غلظت  $[4\text{-S-calix}[4]]$  باید از غلظت کمپلکس

1. Benesi-Hildebrand



شکل ۳ نمودار بنسی هیلدراند که نسبت استوکیومتری ۱:۱ و ۲:۱ را بین [4-S-calix[4]] و DY86 نشان می‌دهد.



**نتیجه‌گیری**  
 کالیکس[۴] آرن ۱۱، ۱۷، ۲۳-۵-تتراسولفونیک اسید (4-S-calix[4]) که ترکیبی با حفره‌های آب‌گزیر و گروه‌های آب‌دوست است، سنتز و برای جذب رنگ آزو محلول در آب به کار گرفته شد. تغییرهای مشاهده شده در طیف جذب ممکن است به تشکیل کمپلکس بین زرد مستقیم ۸۶ و 4-S-calix[4] نسبت داده شود. شدت جذب در غیاب و حضور مشتق کالیکسارن اندازه‌گیری شد. نسبت استوکیومتری ۱:۱ برای واکنش بین [4-S-calix[4]] و DY86 نشان داده شد. ثابت تشکیل کمپلکس  $10^{4.6} \text{ M}^{-1}$  محاسبه شد.

**سپاسگزاری**  
 از حمایت و همکاری دانشگاه آزاد اسلامی (واحد تهران شمال) و پژوهشگاه شیمی و مهندسی شیمی ایران (CCERCI) کمال تشكر و قدردانی را داریم.

نمودارهای بنسی هیلدراند تمایل بیشتری به تمرکز بر غلظت‌های کمتر در مقایسه با غلظت‌های بالاتر دارند. شبیه رابطه خطی تحت تأثیر مختصات y نقطه با کمترین غلظت است. با این حال، مقادیر  $K$  به دست آمده از نمودارهای بنسی هیلدراند ممکن است به عنوان تخمین‌های اولیه برای عامل‌ها در مطالعه واپاش غیرخطی (NLR) که با به کار گیری برنامه SAS/STAT انجام شده است، باشد. مطالعه حاضر، نسبت استوکیومتری ۱:۱ را برپایه نمودارهای بنسی هیلدراند پیشنهاد می‌کند. معادله با اندازه‌گیری‌های جذب و غلظت‌های 4-S-calix[4] برآورده می‌شود.

$$A = ((A_0 + A_1 K_1 [4\text{-S-calix}[4]]_0) / (1 + K_1 [4\text{-S-calix}[4]]_0)) \quad (8)$$

## مراجع

- [1] Field JA, Lettinga G, Svitelskaya A, Slenders P, Borger A, Tan NC. Degradation of azo dye Mordant Yellow 10 in a sequential anaerobic and bioaugmented aerobic bioreactor. Water Science and Technology. 2000;42(5-6):337-44. doi: [10.2166/wst.2000.0533](https://doi.org/10.2166/wst.2000.0533)
- [2] Kokol V, Doliška A, Eichlerová I, Baldrian P, Nerud F. Decolorization of textile dyes by whole cultures of *Ischnoderma resinosum* and by purified laccase and Mn-peroxidase. Enzyme and Microbial Technology. 2007;40(7):1673-7. doi: [10.1016/j.enzmictec.2006.08.015](https://doi.org/10.1016/j.enzmictec.2006.08.015)
- [3] Sklyar V, Kalyuzhnyi S. Biomimetic mineralisation of azo dyes and their breakdown products in anaerobic-aerobic hybrid and UASB reactors. Water Science and Technology.

- 2000;41(12):23-30. doi: [10.2166/wst.2000.0233](https://doi.org/10.2166/wst.2000.0233)
- [4] Moghaddam SS, Moghaddam MR, Arami M. Coagulation/flocculation process for dye removal using sludge from water treatment plant: Optimization through response surface methodology. *J Hazard Mater.* 2010;175(1-3):651-7. doi: [10.1016/j.jhazmat.2009.10.058](https://doi.org/10.1016/j.jhazmat.2009.10.058)
- [5] Santos VP, Pereira MF, Faria PC, Órfão JJ. Decolourisation of dye solutions by oxidation with  $H_2O_2$  in the presence of modified activated carbons. *Journal of Hazardous Materials.* 2009;162(2-3):736-42. doi: [10.1016/j.jhazmat.2008.05.090](https://doi.org/10.1016/j.jhazmat.2008.05.090)
- [6] Dabrowski A. Adsorption - from theory to practice. *Adv Colloid Interface Sci.* 2001;93(1-3):135-224. doi: [10.1016/S0001-8866\(00\)00082-8](https://doi.org/10.1016/S0001-8866(00)00082-8)
- [7] Uzun I. Kinetics of the adsorption of reactive dyes by chitosan. *Dyes and Pigments.* 2006;70(2):76-83. doi: [10.1016/j.dyepig.2005.04.016](https://doi.org/10.1016/j.dyepig.2005.04.016)
- [8] Rodriguez Couto S. Dye removal by immobilised fungi. *Biotechnol Adv.* 2009;27(3):227-35. doi: [10.1016/j.biotechadv.2008.12.001](https://doi.org/10.1016/j.biotechadv.2008.12.001)
- [9] Praveen S, Jegan J, Bhagavathi Pushpa T, Gokulan R, Bulgari L. Biochar for removal of dyes in contaminated water: an overview. *Biochar.* 2022;4(1):1-16. doi: [10.1007/s42773-022-00131-8](https://doi.org/10.1007/s42773-022-00131-8)
- [10] Mittal A, Malviya A, Kaur D, Mittal J, Kurup L. Studies on the adsorption kinetics and isotherms for the removal and recovery of Methyl Orange from wastewaters using waste materials. *J Hazard Mater.* 2007;148(1-2):229-40. doi: [10.1016/j.jhazmat.2007.02.028](https://doi.org/10.1016/j.jhazmat.2007.02.028)
- [11] Lysenko AA, Astashkina OV, Shevchenko AO, Udaltsova NN, Ibragimova RI, Khramkova NV, Timoshenko SI, Kryukova OV. Method of purification of carbon sorbent. RU2141450 patent. 1999.
- [12] Namasivayam C, Kavitha D. Removal of Congo Red from water by adsorption onto activated carbon prepared from coir pith, an agricultural solid waste. *Dyes and Pigments.* 2002;54(1):47-58. doi: [10.1016/S0143-7208\(02\)00025-6](https://doi.org/10.1016/S0143-7208(02)00025-6)
- [13] Pavan FA, Dias SLP, Lima EC, Benvenutti EV. Removal of Congo red from aqueous solution by anilinepropylsilica xerogel. *Dyes and Pigments.* 2008;76(1):64-9. doi: [10.1016/j.dyepig.2006.08.027](https://doi.org/10.1016/j.dyepig.2006.08.027)
- [14] Lee M, Oh SY, Pathak TS, Paeng IR, Cho BY, Paeng KJ. Selective solid-phase extraction of catecholamines by the chemically modified polymeric adsorbents with crown ether. *J Chromatogr A.* 2007;1160(1-2):340-4. doi: [10.1016/j.chroma.2007.06.033](https://doi.org/10.1016/j.chroma.2007.06.033)
- [15] Yilmaz E, Memon S, Yilmaz M. Removal of direct azo dyes and aromatic amines from aqueous solutions using two beta-cyclodextrin-based polymers. *J Hazard Mater.* 2010;174(1-3):592-7. doi: [10.1016/j.jhazmat.2009.09.093](https://doi.org/10.1016/j.jhazmat.2009.09.093)
- [16] Bilensoy E. Cyclodextrins in pharmaceuticals, cosmetics, and biomedicine. US: John Wiley & Sons; 2011. doi: [10.1002/9780470926819](https://doi.org/10.1002/9780470926819)
- [17] Chen M, Shang T, Fang W, Diao G. Study on adsorption and desorption properties of the starch grafted p-tert-butyl-calix[n]arene for butyl Rhodamine B solution. *J Hazard Mater.* 2011;185(2-3):914-21. doi: [10.1016/j.jhazmat.2010.09.107](https://doi.org/10.1016/j.jhazmat.2010.09.107)
- [18] Gutsche CD. Calixarenes: An introduction. UK: Royal Society of Chemistry; 2008. doi: [10.1039/9781847558190](https://doi.org/10.1039/9781847558190)
- [19] Ryzhkina IS, Kiseleva YV, Murtazina LI, Solovieva SE, Manin NG, Konovalov AI. Disperse systems based on a dodecyl derivative of p-sulfonatocalix[6]arene: Self-organization and physicochemical properties in a wide range of concentrations and temperatures. *Macrocycles.* 2017;10(2):190-5. doi: [10.6060/mhc170518r](https://doi.org/10.6060/mhc170518r)
- [20] Habibi Z, Taghvaei-Ganjali S, Zadmard R, Mehrazar M. Calixarene dimers as host molecules for inositol hexaphosphate, IP6, in aqueous solution. *Letters in Organic Chemistry.* 2018;15(9):747-52. doi: [10.2174/1570178615666171221142658](https://doi.org/10.2174/1570178615666171221142658)
- [21] Sgarlata C, Bonaccorso C, Gulino FG, Zito V, Arena G, Sciotto D. Inclusion of aromatic and

- aliphatic anions into a cationic water-soluble calix[4]arene at different pH values. *Tetrahedron Letters.* 2009;50(14):1610-3. doi: [10.1016/j.tetlet.2009.01.100](https://doi.org/10.1016/j.tetlet.2009.01.100)
- [22] Tian L, Zhou S, Zhao J, Xu Q, Li N, Chen D, et al. Sulfonate-modified calixarene-based porous organic polymers for electrostatic enhancement and efficient rapid removal of cationic dyes in water. *J Hazard Mater.* 2023;441:129873. doi: [10.1016/j.jhazmat.2022.129873](https://doi.org/10.1016/j.jhazmat.2022.129873)
- [23] Taghvaei-Ganjali S, Zadmard R, Saber-Tehrani M. Immobilization of chlorosulfonyl-calix[4]arene onto the surface of silica gel through the directly esterification. *Applied Surface Science.* 2012;258(16):5925-32. doi: [10.1016/j.apsusc.2011.09.019](https://doi.org/10.1016/j.apsusc.2011.09.019)
- [24] Razaghian F, Taghvaei-Ganjali S, Hashemi MM, Zadmard R, Dehaghi SM. Copper-catalyzed synthesis of a novel inherently chiral calix[4]arene pyrazine derivative. *Letters in Organic Chemistry.* 2018;15(11):922-5. doi: [10.2174/1570178615666180412121751](https://doi.org/10.2174/1570178615666180412121751)
- [25] Lakomehsari KR, Ganjali ST, Zadmard R, Roshan M. A novel azo-calixaren derivative based on 2,6-diamino pyridine: Synthesis, characterization and antibacterial evaluation. *Letters in Organic Chemistry.* 2017;14(4):300-4. doi: [10.2174/1570178614666170321122533](https://doi.org/10.2174/1570178614666170321122533)
- [26] Hassibi E, Ganjali ST, Hashemi MM, Zadmard R, Dehaghi SM. Conformational mobility study in mono quinone derivative of calix[4]arene by low temperature NMR spectroscopy. *Letters in Organic Chemistry.* 2020;17(2):101-6. doi: [10.2174/1570178616666190228130119](https://doi.org/10.2174/1570178616666190228130119)
- [27] Gutsche CD, Iqbal M, Stewart D. Calixarenes. 19. Syntheses procedures for p-tert-butylcalix[4]arene. *The Journal of Organic Chemistry.* 2002;51(5):742-5. doi: [10.1021/jo00355a033](https://doi.org/10.1021/jo00355a033)
- [28] Lamartine R, De Vains JB, Choquard P, Marcillac A, inventors. Transdiffusia SA, assignee. Process for the dealkylating sulfonation of p-alkyl calixarenes. US5,952,526 patent. 1999.
- [29] Furur VL, Borisoglebskaya EI, Zverev VV, Kovalenko VI. The hydrogen bonding and conformations of p-tert-butylcalix[4]arene as studied by IR spectroscopy and by DFT calculations. *Spectrochim Acta A Mol Biomol Spectrosc.* 2005;62(1-3):483-93. doi: [10.1016/j.saa.2005.02.001](https://doi.org/10.1016/j.saa.2005.02.001)
- [30] Handayani D, Frimadasi W, Kusumaningsih T, editors. Synthesis and characterization of chitosan-pt-butylcalix[4]arene acid. IOP Conference Series: Materials Science and Engineering. 2018. doi: [10.1088/1757-899X/333/1/012011](https://doi.org/10.1088/1757-899X/333/1/012011)

## Nanomaterials in the production of green hydrogen: Technical perspectives on the selection of nanomaterials, characteristics, production methods, and commercial applications

M. Mirzaee<sup>1,\*</sup>, T. Mohebbi<sup>2</sup>, M. Hamedanian<sup>3</sup>

1. Assistant professor of Non-metallic Materials Research Group, Niroo Research Institute, Tehran, Iran.

2. Ph.D Student of Chemistry Department, Kashan University, Kashan, Iran.

3. Associate Professor of Chemistry Department, Kashan University, Kashan, Iran.

**Abstract:** Hydrogen production has garnered significant attention due to increased awareness of the depletion of fossil fuel resources. Storage and production have been highlighted as developmental priorities. Additionally, the role of nanomaterials in the production, storage, and commercial use of hydrogen is of great importance. This article examined the energy characteristics of hydrogen, green hydrogen, nanomaterials used for production, their production methods, and commercial applications. Initially, a general overview of hydrogen energy and its main characteristics was provided. Then, the importance of green hydrogen was carefully reviewed. Besides using nanomaterials in green hydrogen production, nanomaterials' production methods were also considered. Technical and economic evaluations and the possibilities of using hydrogen in well-known energy applications were studied. Using environmentally friendly nanoparticles for hydrogen production instead of chemical nanoparticles can help reduce operational costs. Reusing nanoparticles through entrapment methods is also possible to save on cost. In conclusion, future directions based on the research findings are outlined.

**Keywords:** Energy, Green hydrogen, Nanomaterials, Production, Storage, Photosynthesis.

**Microwave-assisted synthesis of nickel-copper nanocomposite as an efficient anode material in alcohol fuel cell for methanol electrocatalytic oxidation****M.A. Kamyabi<sup>1,\*</sup>, B. Jalilian**

1. Professor of Department of Chemistry, Faculty of Science, University of Zanjan, Zanjan, Iran.

2. MSc. Student of Department of Chemistry, Faculty of Science, University of Zanjan, Zanjan, Iran.

**Abstract:** In this study, the synthesis and application of bimetallic nickel-copper nanocomposites and reduction of graphene oxide simultaneously using microwaves were performed. The proposed synthesis method is a simple, fast and controllable process. The electrochemical behavior of the synthesized catalyst was investigated for methanol oxidation reaction (MOR) in alkaline medium. The effect of melamine on the electrocatalytic activity of the synthesized catalyst was studied by cyclic voltammetry (CV), chronoamperometry (CA) and electrochemical impedance spectroscopy (EIS) methods. Also, investigating the effect of melamine as a source of nitrogen leading to nitrogen doping in the reduced graphene oxide network showed that it partially had led to the formation of NiCu-N structures. The metal-nitrogen bond increased the catalytic activity towards MOR. The promoting effect of melamine was proved by an increase of 203  $\mu$ A in the current and a decrease of 20 mV in the onset potential compared to other synthesized control catalysts during MOR activity. The results indicated the excellent performance of the synthesized catalyst as an anode in a direct methanol fuel cell.

**Keywords:** Fuel Cell, Microwave radiation, Electrocatalytic oxidation of methanol, Conductive polymer, Melamine.

**Quantitative structure-activity relationship of some flavonoid derivatives as acetylcholinesterase inhibitors based on Monte Carlo algorithm****Z. Nazari<sup>1</sup>, S. Ahmadi<sup>2,\*</sup>, A. Almasirad<sup>3</sup>**

1. M.D. Student of Pharmacy, Department of Medicinal Chemistry, Faculty of Pharmacy, Tehran Medical Science, Islamic Azad University, Tehran, Iran.

2. Associate Prof. of Department of Pharmaceutical Chemistry, Faculty of Pharmaceutical Chemistry, Tehran Medical Sciences, Islamic Azad University, Tehran, Iran.

3. Professor of Department of Medicinal Chemistry, Faculty of Pharmacy, Tehran Medical Sciences, Islamic Azad University, Tehran, Iran.

**Abstract:** A method based on an independent approach of molecule optimization based on structural and topological molecular features has recently been introduced as an attractive approach in the QSAR modeling. A key feature of this approach refers to the use of descriptors based on the Simplified Molecular Input Line Input System (SMILES) to develop the QSAR model. In this research, by studying the QSAR of some flavonoid derivatives as acetylcholinesterase inhibitors based on the Monte Carlo algorithm, a set of 88 acetylcholinesterase inhibitors was selected from peer reviewed papers. The structures of the compounds in SMILES format were defined as software input files and randomly divided into four series including training, invisible training, calibration and validation sets and modeling was done. The optimal descriptors used in the model were selected from the combination of SMILES and hydrogen suppressor graph based on a new objective function. Finally, the predictive power of models was evaluated by validation sets. The results of four random series showed that predictive and statistically reliable models were obtained. The most important descriptors that increase and decrease the acetylcholinesterase inhibitory activity of flavonoid derivatives were identified. Finally, acetylcholinesterase inhibitory ( $pIC_{50}$ ) of a large number of natural flavonoid derivatives were calculated and reported. Using the obtained model, it is possible to predict  $pIC_{50}$  of flavonoid derivatives as acetylcholinesterase enzyme inhibitors using Monte Carlo and SMILES optimization methods.

**Keywords:** QSAR, Flavonoids, Acetylcholinesterase inhibitor, SMILES, Index of ideality of correlation.

\* Corresponding author Email:

s.ahmadi@tautmu.ac.ir &  
ahmadi.chemometrics@gmail.com

## Synthesis, characterization and application of MIL-100(Fe) metal-organic framework as an adsorbent for the imidacloprid insecticide

T. Hajiashrafi<sup>1,\*</sup>, S. Kamelsheykhrajeh<sup>2</sup>, A. HosseiniJani<sup>3</sup>, M. Mohammadnejad<sup>4</sup>

1. Assistant Prof. of Department of Inorganic Chemistry, Faculty of Chemistry, Alzahra University, Tehran, Iran.
2. MSc. Student of Department of Inorganic Chemistry, Faculty of Chemistry, Alzahra University, Tehran, Iran.
3. PhD. Student of Department of Inorganic Chemistry, Faculty of Chemistry, Alzahra University, Tehran, Iran.
4. Assistant Prof. of Department of Analytical Chemistry, Faculty of Chemistry, Alzahra University, Tehran, Iran.

**Abstract:** Imidacloprid as an insecticide is one of these pesticides, which has high toxicity, relatively high solubility and long-term stability in water, and has created a significant environmental concern. In this research, the removal of imidacloprid pesticide was investigated by using MIL-100(Fe) adsorbent and UV-Vis device. The effects of different parameters such as time, pH, and adsorbent on the adsorption process were investigated. Optimization of effective parameters was shown that at pH=3, 60 minutes, and 5 mg adsorbent, 66% of the pollutants were removed from the aqueous solution. Also, the adsorption isotherms and kinetics of this pollutant were studied on the MIL-100 (Fe) adsorbent, which indicated that Langmuir adsorption isotherm model was more consistent with the Freundlich adsorption isotherm model, and the kinetics of this reaction follow the quadratic equation.

**Keywords:** Pesticide, Imidacloprid, Metal-Organic Frameworks, MIL-100(Fe), Adsorption.

\* Corresponding author Email:  
t.hajiashrafi@alzahra.ac.ir

**Removal of pollutants from pulp and paper industry wastewater using biosorbents and evaluation of effective parameters****S.M. Khoshfetrat<sup>1,\*</sup>, A. Tokiyeh<sup>2</sup>**

1. Assistant Prof. of Department of Chemistry, Faculty of Science, Ayatollah Boroujerdi University, Boroujerd, Iran.

2. MSc. Student of Department of Chemistry, Faculty of Science, Ayatollah Boroujerdi University, Boroujerd, Iran.

**Abstract:** The contamination of paper industry effluents with diverse chemical and biological pollutants represents a significant environmental challenge. In this study, bagasse was investigated as a biosorbent for pollutant removal from pulp and paper industry wastewater. The adsorbent was characterized using Fourier-transform infrared spectroscopy (FTIR) and field emission scanning electron microscopy (FESEM) prior to application. The laboratory-scale study examined critical parameters affecting chemical oxygen demand (COD) removal, including pH, adsorbent concentration, and contact time. Additionally, pH played a crucial role. Multiple tests revealed that bagasse achieved optimal COD removal efficiency (78.6%) at an adsorbent concentration of 5 g/l, a contact time of 30 minutes, and a pH of 9.8. This performance was notably superior to that of other tested adsorbents, namely peat (~45%) and specialty fibers (~52%). The findings of this study can contribute to advancing wastewater treatment technologies and promoting the use of natural materials in environmental processes.

**Keywords:** Pulp and paper industry, Pollutants, Bagasse, Adsorption, Chemical oxygen demand.

## Removal of azo dye (Direct Yellow 86) from the wastewater of linen fabric dyeing units using 4-sulfocalixarene

M. Ghorbani<sup>1,\*</sup>, S. Taghvai Ganjali<sup>2,\*</sup>, A.A. Tarlani<sup>3</sup>, M. Saber Tehrani<sup>4</sup>

1. PhD Student of Faculty of Chemistry, Tehran North Branch, Islamic Azad University, Tehran, Iran.

2. Professor of Faculty of Chemistry, Tehran North Branch, Islamic Azad University, Tehran, Iran.

3. Associate Prof. of Chemistry and Chemical Engineering Research Institute of Iran (CCERCI), Tehran, Iran.

4. Assistant Prof. of Chemistry, Tehran North Branch, Islamic Azad University, Tehran, Iran.

**Abstract:** This article presents the synthesis method of 5,11,17,23-para-tert-butyl calix[4]arene and 5,11,17,23-tetrasulfonic acid calix[4]arene (4-S-calix[4]) and the use of 4-S-calix[4], the sulfonated derivative of 5,11,17,23-para tert-butyl calix[4]arene, as a very efficient molecular host for the adsorption of Direct Yellow 86, an azo dye, in an aqueous environment. Para-tert-butyl calix[4]arene and sulfonated derivative of para-tert-butyl calix[4]arene were identified using Fourier transform infrared spectroscopy (FTIR). Due to its stability and rigid conical form, this chemical displays potency potential in host-guest interactions. Hence, the compound 4-S-calix[4] was used as a guest molecule in order to examine the characteristics of the complex and the absorption intensity of Direct Yellow 86 dye. The estimation of the formation constant ( $K_f$ ) for the complex between 4-S-calix[4] and DY86 was conducted by comparing the absorption intensity. The formation constant was predicted to be  $4.6 \times 10^4 \text{ M}^{-1}$ . The stoichiometric ratio of the compound was discovered to be 1:1 by the use of the Benesi-Hildebrand diagram.

**Keywords:** Direct yellow 86, Benesi Hildebrand diagram, 4-sulfocalix[4]arene, Absorption.

\* Corresponding author Email:  
[s\\_taghvaei@iau\\_tnb.ac.ir](mailto:s_taghvaei@iau_tnb.ac.ir) &  
[Mojtaba\\_Ghorbani@ccerci.ac.ir](mailto:Mojtaba_Ghorbani@ccerci.ac.ir)

## Editorial Board

H. R. Aghabozorg	Prof., Research Institute of Petroleum Industry
M. R. Jafari Nasr	Prof., Petrochemical Research and Technology Co.
A. Katbab	Prof., Polymer Science Faculty, Amirkabir University of Technology
M. Khosravi	Prof., Faculty of Chemistry, Islamic Azad University, Tehran North Branch
H. Mahdavi	Prof., Department of Chemistry, University of Tehran
R. Mahjoub	Prof., Department of Chemistry, Tarbiat Modares University
M. R. Sohrabi	Prof., Faculty of Chemistry, University of Tehran
S. Taghvaei-Ganjali	Prof., Faculty of Chemistry, Islamic Azad University, Tehran North Branch
R. Zadmard	Associate Prof., Chemistry and Chemical Engineering Research Center of Iran

## Advisory Board

Abbasian, A.	Assistant Prof. of Organic Chemistry, Islamic Azad University, Science and Research Branch
Davallo M.	Associate Prof. of Chemistry, Islamic Azad University, North Tehran Branch
Ehsani, M.R.	Professor of Chemical Engineering, Isfahan University of Technology
Ezzatzadeh E.	Assistant Prof. of Organic Chemistry, Islamic Azad University, Ardabil Branch
Fakoor M.	Assistant Prof. of Applied Chemistry, Islamic Azad University, North Tehran Branch
Fatoorehchi, H.	Assistant Prof. of Chemical Engineering, University of Tehran
Ganjali, M.R.	Professor of Analytical Chemistry, University of Tehran
Hadi Bidakhavidi, M.	Associate Prof. of Analytical Chemistry, University of Qome
Heidari H.	Assistant Prof. of Inorganic Chemistry, Alzahra University
Honarkar, H.	Assistant Prof., of Polymer Chemistry, Iran Polymer and Petrochemical Institute
Ipaktschi, Y.	Professor of Organic Chemistry, University of Giessen, Germany
Irandoekht, A.A.	Assistant Prof. of Chemical Engineering, Research Institute of Petroleum Industry
Islampour, R.	Professor of Physical Chemistry, Kharazmi University
Mirzaaghayan, M.	Professor of Organic Chemistry, Institute of Chemistry and Chemical Engineering of Iran
Moghimi, A.	Professor of Organic Chemistry, Imam-Hossein University
Mojtahedi, M.M.	Professor of Inorganic Chemistry, Institute of Chemistry and Chemical Engineering of Iran
Parastar Shahri, H.	Associate Prof. of Analytical Chemistry, Sharif University of Technology
Pirsa, S.	Associate Prof. of Analytical Chemistry, Urmia University
Pouretedal H.R.	Professor of Analytical Chemistry, Malek Ashtar University of Technology
Pourmortazavi, S.M.	Associate Prof. of Analytical Chemistry, Malek Ashtar University of Technology
Rahmani F.	Assistant Prof. of Chemical Engineering, University of Kurdistan
Rezapour, M.	Assistant Prof. of Analytical Chemistry, Research Institute of Petroleum Industry
Saber Tehrani M.	Assistant Prof. of Applied Chemistry, Islamic Azad University, North Tehran Branch
Sadegh Hassani, S.	Assistant Prof. of Analytical Chemistry, Research Institute of Petroleum Industry
Sedaghat S.	Professor of Applied Chemistry, Islamic Azad University Shahr-e-Qods Branch
Sheydaei M.	Professor of Applied Chemistry, Kharazmi University
Tadayon, F.	Assistant Prof., of Analytical Chemistry, Islamic Azad University, North Tehran Branch
Tarlani, A.A.	Associate Prof. of Inorganic Chemistry, Institute of Chemistry and Chemical Engineering of Iran
Zahedi P.	Associate Prof. of Chemical Engineering, University of Tehran

**Nanomaterials in the production of green hydrogen: Technical perspectives on the selection of nanomaterials, characteristics, production methods, and commercial applications** 81

M. Mirzaee, T. Mohebbi, M. Hamedanian

**Microwave-assisted synthesis of nickel-copper nanocomposite as an efficient anode material in alcohol fuel cell for methanol electrocatalytic oxidation** 82

M.A. Kamyabi, B. Jalilian

**Quantitative structure-activity relationship of some flavonoid derivatives as acetylcholinesterase inhibitors based on Monte Carlo algorithm** 83

Z. Nazari, S. Ahmadi, A. Almasirad

**Synthesis, characterization and application of MIL-100(Fe) metal-organic framework as an adsorbent for the imidacloprid insecticide** 84

T. Hajiashrafi, S. Kamelsheykhrajeh, A. Hosseiniyani, M. Mohammadnejad

**Removal of pollutants from pulp and paper industry wastewater using biosorbents and evaluation of effective parameters** 85

S.M. Khoshfetrat, A. Tokiyeh

**Removal of azo dye (Direct Yellow 86) from the wastewater of linen fabric dyeing units using 4-sulfocalixarene** 86

M. Ghorbani, S. Taghvai Ganjali, A.A. Tarlani, M. Saber Tehrani

# JARC

## Journal of Applied Research in Chemistry

Vol. 18, No. 4, Winter 2025

*Copyright and Publisher:  
Islamic Azad University, North Tehran Branch*

---

### Scientific Rank Certificate

The Ministry of Science, Research and Technology Commission of Assessment and  
Certification of publications at its session dated 22/9/1391 has assigned  
the rank of "**Scientific-Research Journal**" to the  
**JOURNAL OF APPLIED RESEARCH IN CHEMISTRY**  
Ref. No.: 3/196219; Dated: 29 December 2012

---

**Manager-in-Chief: Prof. H. R. Aghabozorg**

**Editor-in-Chief: Prof. S. Taghvaei**

**Executive Manager: Assistant Prof. F. Motiee**

*Editors:*

**Prof. R. Islampour**

**Prof. H. R. Aghabozorg**

**Prof. S. Taghvaei**

**Prof. A. R. Mahjoub**

*Head of Secretariat:*

**M. Alem (Ph. D)**

*Designer:*

**M. Saki Entezami**

**Address:**

**Shahid Babaee Highway (West to East), Tehran, Shahid  
Abbaspour Blvd., Haghigheh Haghmiyeh, Tehran, Iran.**

**Tel-Fax: 021-77009848**

**Email: jacr@iau-tnb.ac.ir**

**www.jacr.ir**



## Journal of Applied Research in Chemistry

Vol. 18, No. 4, Winter 2025

- **Nanomaterials in the production of green hydrogen: Technical perspectives on the selection of nanomaterials, characteristics, production methods, and commercial applications** 81  
M. Mirzaee, T. Mohebbi, M. Hamedanian
- **Microwave-assisted synthesis of nickel-copper nanocomposite as an efficient anode material in alcohol fuel cell for methanol electrocatalytic oxidation** 82  
M.A. Kamyabi, B. Jalilian
- **Quantitative structure-activity relationship of some flavonoid derivatives as acetylcholinesterase inhibitors based on Monte Carlo algorithm** 83  
Z. Nazari, S. Ahmadi, A. Almasirad
- **Synthesis, characterization and application of MIL-100(Fe) metal-organic framework as an adsorbent for the imidacloprid insecticide** 84  
T. Hajiashrafi, S. Kamelsheykhrajeh, A. Hosseini, M. Mohammadnejad
- **Removal of pollutants from pulp and paper industry wastewater using biosorbents and evaluation of effective parameters** 85  
S.M. Khoshfetrat, A. Tokiyeh
- **Removal of azo dye (Direct Yellow 86) from the wastewater of linen fabric dyeing units using 4-sulfocalixarene** 86  
M. Ghorbani, S. Taghvai Ganjali, A.A. Tarlani, M. Saber Tehrani